

GM 67373

TRAVAUX ETE 2012, PROPRIETE CAUMONT

Documents complémentaires

Additional Files



Licence



Licence

Cette première page a été ajoutée
au document et ne fait pas partie du
rapport tel que soumis par les auteurs.

Énergie et Ressources
naturelles

Québec 

Travaux été 2012

Du 16 juin au 17 août 2012

PROPRIÉTÉ CAUMONT

Région de la Baie James

SNRC: 32N07 – 32N08 – 32N09

Le 7 décembre 2012

GM 67373



450 rue de la Gare-du-Palais

1^{er} étage

Québec (Québec)

G1K 3X2

Tel : 418-614-0940

Fax : 418-614-0627

www.monarquesresources.com

Ressources naturelles et Faune, Québec

31 MAI 2013

Service de la Géoinformation

REÇU AU MRNF

27 DEC. 2012

DIRECTION DES TITRES MINIERS

Jonathan Lalancette, Ing.

Maude Lévesque Michaud, Ing. Jr

1260761

SOMMAIRE

La propriété Caumont, constituée de 99 cellules, est située dans le secteur de Nemiscau, à approximativement 300 kilomètres de la ville de Chibougamau dans le Nord-du-Québec et appartient à 100% à la compagnie Ressources Monarques Inc. Elle est divisée en quatre blocs : Lac Nemiscau, Kaname, Caumont Ouest et Caumont Est. Géologiquement la propriété se trouve dans la ceinture volcano-sédimentaire de la formation du Lac des Montagnes de la sous-province de l'Opatca dans la province du Supérieur. La géologie locale se compose principalement d'amphibolite, de méta-sédiments riches en quartz, de schiste à biotite-sillimanite, de pegmatite, de basalte et d'intrusions mafiques et ultramafiques. Les indices Montagne et Tent, situé au sud du Lac Caumont, présentent un contexte intéressant pour un potentiel de gîte de sulfures massifs magmatiques Ni-Cu-EGP associés à des intrusions ultramafiques. Des travaux antérieurs de prospection, de géophysique et de forage y ont eu lieu en 1962, 1975 et 1987. De plus, des contextes favorables à des minéralisations aurifères associées à du cisaillement et/ou de l'hydrothermalisme ont été observé sur la propriété. En 2012, Ressources Monarques a réalisé des travaux de prospection, de cartographie et d'échantillonnage sur une bonne portion de la propriété Caumont. En tout, 119 échantillons choisis ont été récoltés. Plusieurs secteurs de la propriété montrent des résultats en Cu, Ni, Pd, Pt et Au d'intérêts économiques et méritent que l'on y consacre des travaux supplémentaires.

ABSTRACT

The Caumont property, consisting of 99 claims, is located near Nemiscau, about 300 km from the city of Chibougamau in the Northern Quebec, and is full-owned by Monarques Resources Inc. The property is composed of four blocks: Lac Nemiscau, Kaname, Caumont West and Caumont East. Geologically, the property overlies the Lac des Montagnes formation, a volcano-sedimentary belt of the Opatca subprovince in the Superior province. The local geology mainly consists of amphibolites, quartz-rich metasediments, biotite and sillimanite bearing schists, pegmatites, basalts and mafic/ultramafic intrusions. The Montagne and Tent showings, located south of the Lac Caumont, has a good potential for Ni-Cu-PGE magmatic massive sulphides associated with ultramafic intrusions. Prospecting, geophysical survey and drilling were done on this showing in 1962, 1974 and 1987. Also, favorable contexts for gold mineralization associated with shear zone and/or hydrothermal activity was observed on the property. In 2012, Monarques Resources conducted prospecting, mapping and sampling on a good portion of Caumont property. A total of 119 grab samples were collected. Several areas of the property show economic interest results in Cu, Ni, Pd, Pt and Au and need more works.

TABLE DES MATIÈRES

SOMMAIRE	II
ABSTRACT	II
TABLE DES MATIÈRES	III
LISTE DES FIGURES	V
LISTE DES TABLEAUX	V
INTRODUCTION	1
A) OBJECTIFS	1
B) SOURCES DES RENSEIGNEMENTS ET DES DONNÉES	1
DESCRIPTION DE LA PROPRIÉTÉ	2
A) LOCALISATION	2
B) SUPERFICIE ET TYPE DE TITRE	2
C) DÉTENTEUR	2
TOPOGRAPHIE, ACCESSIBILITÉ, INFRASTRUCTURE ET CLIMAT	5
A) TOPOGRAPHIE ET VÉGÉTATION	5
B) ACCESSIBILITÉ	5
C) INFRASTRUCTURE	5
D) CLIMAT	6
HISTORIQUE	7
A) TRAVAUX ANTÉRIEURS EFFECTUÉS PAR LE GOUVERNEMENT DU QUÉBEC	7
B) TRAVAUX ANTÉRIEURS EFFECTUÉS PAR DES COMPAGNIES D'EXPLORATION	7
CONTEXTE GÉOLOGIQUE	10
A) GÉOLOGIE RÉGIONALE	10
B) GÉOLOGIE LOCALE	10
TYPE DE GÎTE MINÉRAL	14
A) SULFURES MASSIFS MAGMATIQUES NI-CU-EGP ASSOCIÉS AUX INTRUSIONS ULTRAMAFIQUES	14
B) CHROMITITES STRATIFORMES	16
C) SULFURES MASSIFS EXHALATIFS (SEDEX)	17
D) FORMATION DE FER RUBANÉES	17

E) GISEMENT D'OR DISSÉMINÉ ET DE REMPLACEMENT.....	18
TRAVAUX EFFECTUÉS.....	19
A) DESCRIPTION DES TRAVAUX	19
B) EXÉCUTEURS DES TRAVAUX 2012	22
C) RÉSULTATS ET INTERPRÉTATION	23
Bloc Lac Nemiscau	23
Bloc Caumont Ouest	23
MÉTHODE D'ÉCHANTILLONNAGE	27
PRÉPARATION, ANALYSE ET SÉCURITÉ DES ÉCHANTILLONS	29
A) PRÉPARATION DES ÉCHANTILLONS	29
B) ANALYSE DES ÉCHANTILLONS.....	29
C) MESURES DE CONTRÔLE DE LA QUALITÉ DES ANALYSES	30
<i>ALS Chemex</i>	30
<i>Ressources Monarques</i>	31
CONCLUSIONS ET RECOMMANDATIONS.....	33
A) CONCLUSIONS.....	33
B) RECOMMANDATIONS	34
RÉFÉRENCES	35
DATE ET PAGE DE SIGNATURE	38
ANNEXE 1: LISTE DES CELLULES.....	39
ANNEXE 2: RAPPORTS JOURNALIERS	43
ANNEXE 3: LISTE DES AFFLEUREMENTS.....	56
ANNEXE 4: LISTE DES ÉCHANTILLONS ET ANALYSES	73
ANNEXE 5: CONTRÔLE DE QUALITÉ.....	86
ANNEXE 6: CERTIFICATS D'ANALYSES.....	121
ANNEXE 7: PROTOCOLES D'ÉCHANTILLONNAGE (INTERNE)	129
ANNEXE 8: PROTOCOLES DE LABORATOIRE (ALS CHEMEX).....	143

LISTE DES FIGURES

Figure 1: Localisation régionale des propriétés de Ressources Monarques.....	3
Figure 2: Localisation des cellules de la propriété Caumont	4
Figure 3: Géologie régionale	12
Figure 4: Géologie locale	13
Figure 5: Carte des travaux (Bloc Lac Némiscau)	20
Figure 6 : Carte des travaux (Bloc Caumon Ouest).....	21
Figure 7: Photo illustrant l'indice Tent. On observe un affleurement de gabbro / pyroxénite recoupé par un dyke aplitique contenant des veinules de chalcopryrite. Un échantillon pris dans le gabbro (L943066) retourne 0,83% Cu, 0,52% Ni, 1,67 g/t Pd et 0,11 g/t Pt.....	25
Figure 8: Dyke aplitique avec veinules de chalcopryrite échantillonné sur l'indice Tent. L'échantillon L943431 retourne jusqu'à 4,29% Cu, 4,34 g/t Au, 16,65 g/t Ag et 1,74 g/t Pd.....	26
Figure 9: Affleurement de roche métasédimentaire fortement cisailé. Deux (2) échantillons y ont été récoltés (L943046 et L943418) et titrent respectivement à 0,239 et 0,167 g/t Au.	27

LISTE DES TABLEAUX

Tableau 1: Formations géologiques.....	11
Tableau 2: Estimé des ressources, dépôt Nisk-1, 2008	15
Tableau 3: Équipe d'exploration pour les travaux de la première phase.....	22
Tableau 4: Équipe d'exploration pour les travaux de la seconde phase	22
Tableau 5: Résultats des échantillons des dykes aplitiques.....	24

INTRODUCTION

A) OBJECTIFS

Les travaux de prospection et d'échantillonnage de l'été 2012 sur la propriété Caumont ont permis de répondre aux objectifs suivants :

- Prospector et échantillonner des secteurs du Bloc Caumont Ouest n'ayant pas fait l'objet de traverses géologiques lors des travaux réalisés en 2010 et 2011;
- Prospector et échantillonner le secteur avoisinant l'indice Montagne afin d'identifier de possibles extensions de la minéralisation;
- Prospector et échantillonner le secteur du Bloc Lac Nemiscau à l'aide d'un support hélicoptère;
- Expliquer les anomalies géophysiques électromagnétiques (conducteurs) et magnétiques repérées lors des levés hélicoptères réalisés en 2010 et 2011 sur ces portions de la propriété.

B) SOURCES DES RENSEIGNEMENTS ET DES DONNÉES

Le contenu du présent rapport provient :

- des travaux de cartographie et de prospection effectués entre le 16 juin et le 17 août 2012;
- des échantillons d'affleurements et de blocs erratiques provenant du secteur couvert par la cartographie géologique et la prospection;
- des travaux statutaires répertoriés au Ministère des Ressources Naturelles du Québec (MRN).

DESCRIPTION DE LA PROPRIÉTÉ

A) LOCALISATION

La propriété Caumont se situe dans le nord-ouest de la province de Québec. Elle se trouve à environ 225 kilomètres, à vol d'oiseau, au nord-ouest de la ville de Chibougamau (**Figure 1**). Elle se situe entre les coordonnées 384 125 mE et 420 300 mE en longitude et entre 5 694 350 mN et 5 714 440 mN en latitude (UTM NAD83 Zone 18).

B) SUPERFICIE ET TYPE DE TITRE

La propriété Caumont est constituée de quatre blocs de cellules contigües et de forme irrégulière. Ces blocs sont dénommés Caumont Est, Caumont Ouest, Kaname et Lac Nemiscau. Ils totalisent 99 cellules d'une superficie totale de 5 292,5 hectares (**Figure 2**). Il s'agit de cellules désignées sur carte (CDC) situés dans les feuillets SNRC 32N07, 32N08 et 32N09. La liste complète des claims est énumérée dans le tableau de l'**Annexe 1**.

C) DÉTENTEUR

Tous les cellules sont détenus à 100% par Ressources Monarques Inc. Ces cellules sont enregistrés en bonne et due forme auprès du Ministère des Ressources Naturelles du Québec. Les travaux requis au prochain renouvellement et les dates d'expiration sont indiqués dans le tableau joint à l'**Annexe 1**.

NUMÉRIQUE

Page(s) de dimension(s) hors standard numérisée(s) et positionnée(s) à la suite des présentes pages standard

DIGITAL FORMAT

Non-standard size page(s) scanned and placed after these standard pages

TOPOGRAPHIE, ACCESSIBILITÉ, INFRASTRUCTURE ET CLIMAT

A) TOPOGRAPHIE ET VÉGÉTATION

La topographie des différents blocs de la propriété Caumont consiste en des terrains relativement plats d'une altitude moyenne de 300 mètres avec une dénivellation inférieure à 20 mètres. Environ 10% de la propriété est recouvert par des lacs et rivières. Plusieurs tourbières sont aussi présentes, principalement sur le bloc Caumont ouest. Le drainage des eaux de surface s'effectue le long de ruisseaux ou par des écoulements superficiels en direction de la rivière Nemiscau qui s'écoule vers le sud-ouest. La végétation est typique de la taïga et est principalement constituée d'épinettes noires, de pins dispersés, de bouleaux et de mélèzes. Le bloc lac Némiscau a été affecté par des feux de forêt au cours des 50 dernières années. La forêt dans le secteur n'a aucune valeur commerciale.

L'épaisseur de mort-terrain est généralement inférieure à 5 m et localement jusqu'à 15 m. Les dépôts glaciaires de la région consistent en un diamicton sableux, comprenant généralement une bonne proportion de fragments (20% à 30%) (Charbonneau, 2007). Les sols sont dominés par les podzols, ayant une épaisseur variable dépendamment de la qualité du drainage.

B) ACCESSIBILITÉ

Les blocs de la propriété Caumont se trouvent au sud-ouest du Relais Routier Nemiscau situé au KM 291 sur la Route du Nord. Cette route de gravier entretenue à l'année débute près de Chibougamau. On y accède en prenant la route provinciale 167 nord en direction du Lac Albanel sur 20 kilomètres à partir de Chibougamau. Il est aussi possible de l'atteindre à partir de Matagami par la Route de la Baie James. L'intersection de ces deux routes est au KM 275 de la Route de la Baie James. À partir de cette intersection, le relais routier est situé à environ 130 kilomètres. Un réseau de routes secondaires a été développé à proximité de la propriété grâce aux travaux d'Hydro-Québec dans le secteur. Bien qu'il soit possible d'accéder à certaines parcelles de la propriété par le Lac Nemiscau et la rivière Nemiscau, la plupart demeure accessible qu'à l'aide d'un support hélicopté.

C) INFRASTRUCTURE

Le Relais Routier Nemiscau est opéré par Cree Construction and Development Corporation (CCDC) et offre des services de restauration, de logement et d'entretien de machinerie légère et lourde. Dans la région, Hydro-Québec possède le campement Nemiscau et les sous-stations électriques Nemiscau et Albanel. L'aéroport de Nemiscau est desservi par des vols réguliers d'Air Creebec à

partir de Montréal via Chibougamau.

D) CLIMAT

Le climat de la région est typique du moyen nord québécois, avec des températures moyennes de -20°C en janvier et de 17°C en juillet. Les températures estivales atteignent parfois plus de 30°C et les températures hivernales avoisinent les -40°C sur de courts laps de temps. La période de gel débute habituellement tôt en novembre, pour se prolonger jusqu'à la fin du mois d'avril. Les précipitations moyenne annuelle est de 80 cm.

HISTORIQUE

A) TRAVAUX ANTÉRIEURS EFFECTUÉS PAR LE GOUVERNEMENT DU QUÉBEC

De 1963 à 1978, le Ministère des Ressources Naturelles du Québec a effectué des travaux de cartographie régionale et locale. Il s'agit des travaux suivants :

- Carte de la région Fort-Rupert (Gillain et Remick, 1963);
- Géologie de la région du Lac des Montagnes (Valiquette, 1963);
- Géologie de la région du Lac Lemare (Valiquette, 1964);
- Géologie de la région du Lac Cramoisy (Valiquette, 1965);
- Géologie de la région du Lac Nemiscau (Wallach, 1973);
- Cartographie dans la région du Lac Champion (Dubé, 1974a);
- Géochimie des sédiments de ruisseau de la région du Lac Champion (Dubé, 1974b);
- Compilation de la cartographie de la région de la Rivière Nemiscau (Valiquette, 1975);
- Compilation de la cartographie dans la région des Lacs Champion, Tesecau et de la Rivière Rupert (Dubé, 1978).

B) TRAVAUX ANTÉRIEURS EFFECTUÉS PAR DES COMPAGNIES D'EXPLORATION

En 1962, la compagnie Noranda Exploration a rapporté sept trous de forage (Oille et Wiltsey, 1962). Trois d'entre eux (C62-1, C62-2 et C62-3) totalisant 343 mètres ont été faits au sud du Lac Caumont, sur le bloc Caumont Ouest. Ils ont intercepté des méta-sédiments, de la pegmatite, des roches ultramafiques et des gneiss à quartz-biotite. Les minéralisations observées se résument à la présence de pyrite et/ou de pyrrhotite localement. Aucune analyse n'a été rapportée.

En 1963, Inco a réalisé plusieurs forages sur leur propriété Nemiscau. Trois d'entre eux sont à proximité de la propriété Caumont. Les deux premiers sont situés approximativement à 4 kilomètres au nord-est du bloc Kaname (Moss, 1963a). Ils totalisent 42 mètres. La principale lithologie interceptée est un méta-sédiment. Quelques sulfures et la présence de graphite expliquent le conducteur ciblé. Aucun résultat anomal n'a été rapporté. Le troisième trou a été foré à environ 5 kilomètres au sud-est du bloc Caumont Ouest, soit à la bordure de la propriété Dumulon (Moss, 1963b). Il a une longueur de 18 mètres. La principale lithologie interceptée est un méta-sédiment et les meilleurs résultats obtenus sont de 0,1% Cu et 0,05% Ni sur 1,4m associés avec une zone contenant 80% de pyrrhotite.

De 1973 à 1975, la compagnie Canex Placer a réalisé des travaux dans le secteur du Lac Caumont et du Lac Valiquette. Une grande campagne de reconnaissance géologique ciblant des formations de roches ultramafiques a tout d'abord été effectuée (Burns, 1973). La plupart de ces formations se situe à l'est du Lac Nemiscau et au sud du Lac Valiquette. Un levé géophysique aéroporté EM et Mag a ensuite été fait (Broadbent et Paterson, 1974). Trois secteurs ont été survolés, le premier à l'est du Lac Nemiscau, le deuxième a couvert le secteur du Lac des Montagnes et du Lac Valiquette tandis que le troisième a survolé le secteur du Lac Voirdye. Plusieurs anomalies ont été détectées. Des travaux de géophysiques et géologiques ont suivis sur des anomalies détectées par le levé aéroporté (Boniwell et Isenor, 1974). Un conducteur de 12 mètres de large a été détecté au sud du Lac Caumont et un échantillon choisi pris sur un affleurement de ce conducteur a donné 1,02% Cu. Selon les travaux effectués sur la grille B-2, un conducteur de 18 mètres de large se situe au contact entre des métavolcanites et des roches gabbroïques. Sur la grille C-6, au sud-est du Lac Valiquette et du Lac des Montagnes, un conducteur d'intensité moyenne d'une longueur de 305 mètres a été détecté. Celui-ci a la même orientation que la structure régionale. Sur la grille C-9, un conducteur de forte intensité a été détecté sur une longueur de 365 mètres. La compagnie a ensuite réalisé une campagne de forage en 1975 ainsi que d'autres levés géophysiques EM et Mag au sol (Hilgendorf, 1975). Sur les neuf trous de forage de la campagne, quatre d'entre eux ont été réalisés au sud du Lac Caumont (B-2-1, B-1-1, B-3-1 et B-3-2). Les lithologies principales interceptées sont du basalte, de l'amphibolite, de la pegmatite et de la péridotite. Les meilleurs résultats proviennent du trou B-1-1 (0,45% Ni et 0,77% Cu sur 1,46m). La minéralisation est constituée de pyrrhotite et de chalcopyrite allant de massives à disséminées.

Dans le début des années 80, la Société de Développement de la Baie James (SDBJ) a réalisé plusieurs travaux sur le secteur dans le cadre de campagnes à l'échelle régionale. En 1979, une campagne de reconnaissance géologique afin de cartographier les formations ultramafiques a eu lieu (Borduas, 1979). En 1980, le Projet LIEN visait la prospection pour le lithium dans les pegmatites à partir des anomalies de sédiments de fond de lac (Otis, 1980). Une anomalie de 25 ppm Li a été rapportée dans le Lac Caumont. Ce secteur a été survolé en hélicoptère et de la pegmatite blanche a été observée à l'extrémité sud du Lac Caumont. Par contre, ces pegmatites n'ont pas été cartographiées ou prospectées. En 1981, un levé aéroporté EM et Mag a couvert le secteur du Lac des Montagnes (Fortin, 1981). La suite des travaux de la SDBJ n'a pas eu lieu à l'intérieur des limites de la propriété Caumont.

En 1987, la compagnie Ressources Fort Rupert a rapporté des travaux de cartographie, d'échantillonnage et de prospection au BeepMat sur leur propriété Lac Caumont, qui correspond à l'emplacement du bloc Caumont Ouest actuel (Lamothe, 1987). Les résultats analytiques ont

retourné de faibles valeurs en or et des valeurs significatives en Ni, Cu, Pd et Pt associées aux unités ultramafiques (jusqu'à 0,44% Ni, 0,43% Cu, 1,3 g/t Pd et 0,13 g/t Pt). Des chapeaux de fer dans des quartzites à amphibole ont été observés au sud des intrusions ultramafiques, mais il n'y a pas eu de valeur significative dans les analyses.

Également en 1987, la compagnie Muscocho Exploration a réalisé un levé gradiométrique au sol sur leur propriété Lac des Montagnes (Brunelle, 1987). Un levé VLF au sol de 108,5 kilomètres a ensuite été complété sur la même propriété (Gilliatt, 1987). La suite des travaux ne s'est pas concentrée dans le secteur du Lac Caumont.

En 2002, Soquem a réalisé un levé HLEM et Mag sur une petite grille dans le bloc du Lac Nemiscau (Jourdain, 2002). Une anomalie EM a été détectée dans la partie nord de la grille.

En 2010, Exploration Nemaska a effectué un levé aéroporté EM et Mag ayant couvert les blocs Lac Nemiscau et Kaname (Letourneau et al., 2010). Les blocs Caumont Ouest et Caumont Est ont été couverts par le même type de levé en 2011 (Desaulniers, 2011). Ce levé a été commandé par Ressources Monarques afin d'obtenir la couverture complète de la propriété.

En 2010 et 2011, Ressources Monarques (auparavant Exploration Nemaska) a réalisé des travaux de prospection, cartographie, échantillonnage et décapage dans l'ensemble de la propriété Caumont (Lévesque Michaud & Caron, 2012). En tout, 98 échantillons choisis et 248 échantillons par rainures ont été pris. Sept sites ont été l'objet de travaux de décapage mécanique. Les meilleurs résultats d'analyses sont de 1,32% Cu, 0,76% Ni et 1,05 ppm Pd.

En mai 2012, une visite géologique dans la partie ouest du Bloc Caumont Ouest par Ressources Monarques a eu lieu. Quinze (15) échantillons choisis dans des horizons de pyrite massive et dans des formations de fer rubanées ont été pris (Lalancette & Lévesque Michaud, 2012). Un échantillon titre à 0,99% Cu et un autre titre à 16,1 g/t Ag.

CONTEXTE GÉOLOGIQUE

A) GÉOLOGIE RÉGIONALE

La propriété Caumont est située dans la partie nord-est de la province géologique du Supérieur, qui elle se situe en plein cœur du Bouclier canadien. La province du Supérieur s'étend du Manitoba jusqu'au Québec et est composée principalement de roches d'âge Archéen. Le métamorphisme régional est au faciès des schistes verts, mais les alentours des corps intrusifs peuvent aller jusqu'au faciès des amphibolites, voire des granulites. Au Québec, la partie Est de la province du Supérieur est divisée en plusieurs sous-provinces, soit du sud vers le nord : Pontiac, Abitibi, Opatica, Nemiscau, Opinaca, La Grande, Ashuanipi, Bienville et Minto (Hocq & al., 1994). La région couverte dans ce rapport est située dans la sous-province de Nemiscau. La **Figure 3** montre la position de la propriété Caumont dans la province du Supérieur.

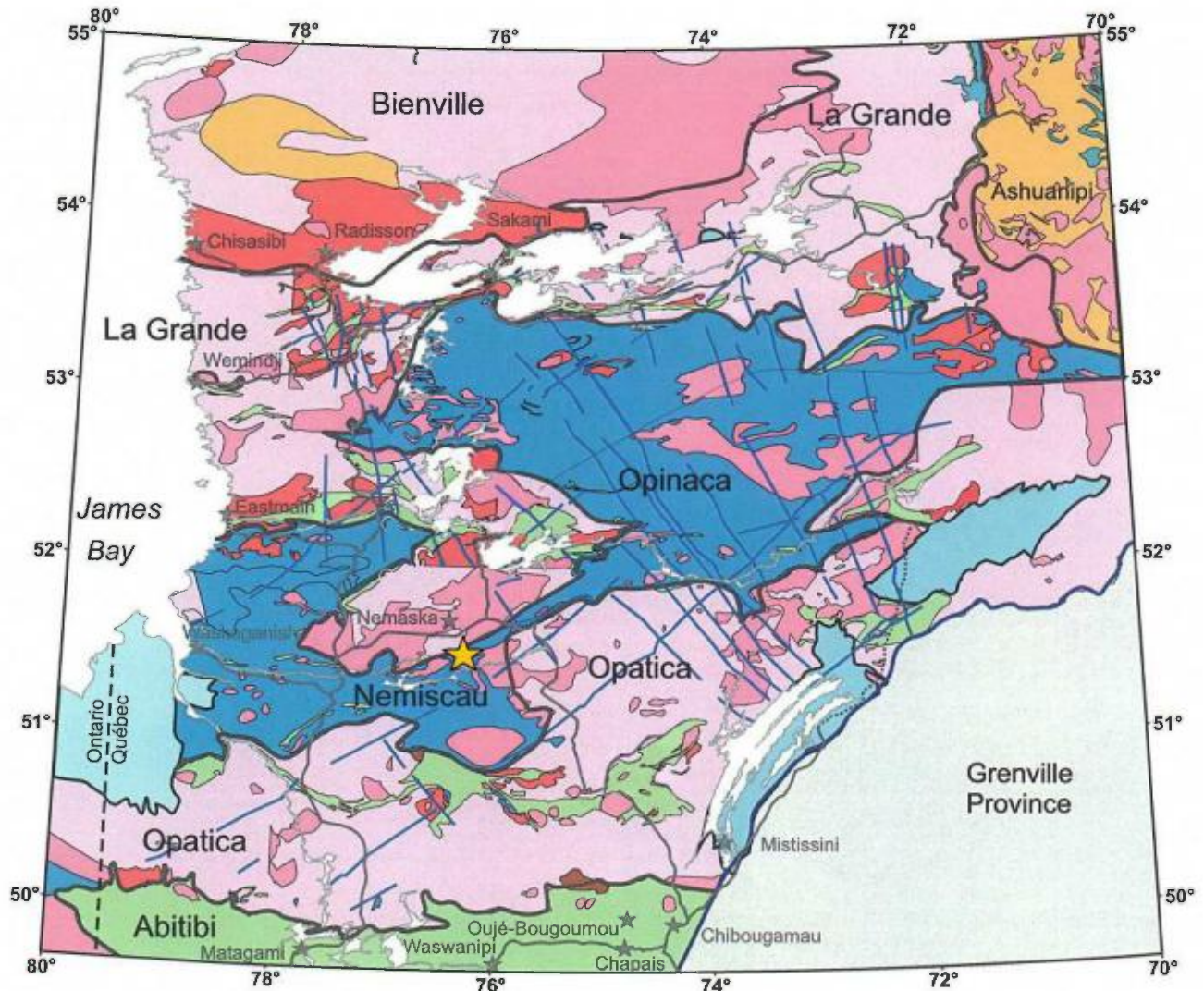
B) GÉOLOGIE LOCALE

La propriété Caumont est située dans la formation volcano-sédimentaire du Lac des Montagnes, entre les granitoïdes et les orthogneiss du Lac Champion et les orthogneiss et les granitoïdes indifférenciés de l'Opatica NE. La ceinture volcano-sédimentaire du Lac des Montagnes est une séquence de méta-sédiments alumineux et d'amphibolites contenant des basaltes et des sills ultramafiques. Ces roches sont très cisillées et elles sont recoupées par 20% de granitoïdes tardifs (leucogranite et pegmatite à biotite). La position de la propriété ainsi que de la ceinture du Lac des Montagnes en relation avec les terranes du Lac Champion et de l'Opatica NE est présentée à la **Figure 4**.

La formation volcano-sédimentaire du Lac des Montagnes a une orientation nord-est. La propriété Caumont se situe dans la partie sud-ouest de cette formation. Le secteur est principalement composé d'amphibolites, de méta-sédiments riches en quartz, de schistes à biotite-sillimanite, de pegmatites, de basaltes et d'intrusions ultramafiques. La géophysique démontre l'extension des intrusions ultramafiques et des formations de fer. Le secteur au nord de la formation du Lac des Montagnes est principalement composé d'orthogneiss avec des intrusions de granite tandis que le secteur au sud, lui, est principalement composé de méta-sédiments, mais contient également des intrusions granitiques. Ces formations sont indiquées dans le **tableau 1**, tiré de Valiquette (1975).

Tableau 1: Formations géologiques

Pléistocène et Holocène	Moraines, eskers, dépôts alluvionnaires, tourbières réticulées, cordons morainiques.
Protérozoïque	11 – Diabase.
Archéen	10 – Pegmatites : - blanches à muscovite, tourmaline, grenat et magnétique; - roses à microcline.
	9 – Granite rose et blanc.
	8 – Granite gris à oligoclase et hornblende marqué à plusieurs endroits de phénocristaux de microcline rose.
	7 – Roches ultramafiques (serpentinites, roches à aiguilles de trémolite).
	6 – Gneiss à plagioclase et hornblende.
	5 – Roches métasomatiques à cordiérite et anthophyllite.
	4 – Méta-sédiments, schiste à biotite, schiste à biotite et grenat. Schistes porphyroblastiques : - avec biotite, sillimanite, grenat; - avec biotite, cordiérite, grenat; - avec biotite, andalousite, grenat; - avec biotite, sillimanite, andalousite et staurotide; - avec biotite, andalousite, cordiérite, sillimanite; - méta-sédiments à amphiboles.
	3 – Méta-sédiments riches en quartz, schiste à quartz, séricite et sillimanite, quartzite impure.
	2 – Amphibolite métavolcanique à coussinets.
	1 – Gneiss à oligoclase.



- Route
- Route d'hiver
- ◆ Roches kimberlitiques
- ⊗ Mines
- ★ Propriété Caumont



Paléozoïque

- Roches sédimentaires
- Roches sédimentaires clastiques et dolomitiques
- Dykes de diabase

Archéen

- Granite et paragneiss
- Paragneiss
- Tonalite, monzodiorite et monzonite
- Gabbro et diorite

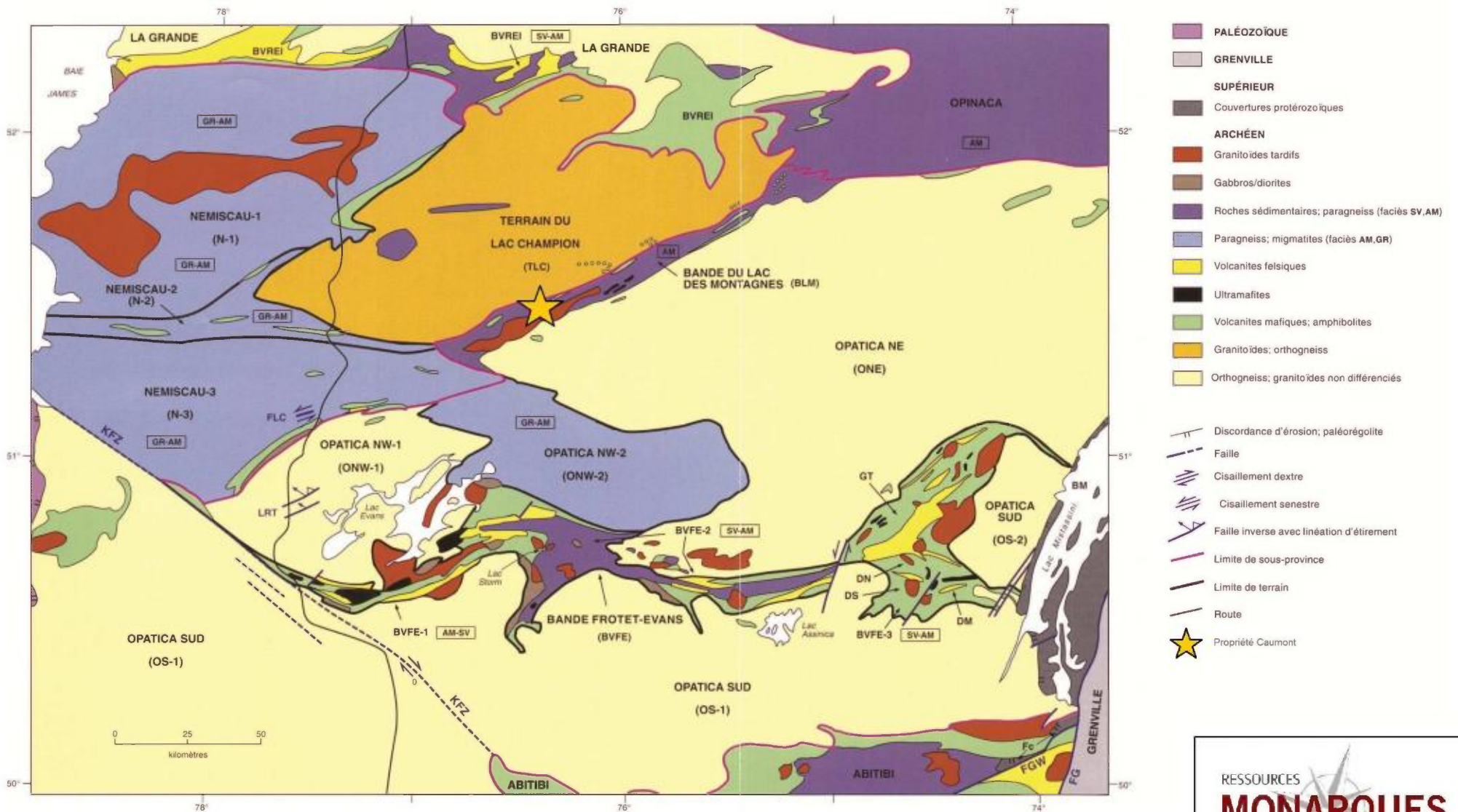
- Séquence volcano-sédimentaire
- Granulite
- Socle tonalitique (gneiss et tonalite)

RESSOURCES
MONARQUES
 RESSOURCES

Figure 3: Géologie régionale

**PROPRIÉTÉ
 CAUMONT**

Modifié de Perreault et al. (2006)
 Date: 10 octobre 2012



RESSOURCES
MONARQUES
 RESOURCES

Figure 4: Géologie locale

**PROPRIÉTÉ
 CAUMONT**

Modifiée de Thérberge (2011)
 Date: 10 octobre 2012

TYPE DE GÎTE MINÉRAL

A) SULFURES MASSIFS MAGMATIQUES NI-CU-EGP ASSOCIÉS AUX INTRUSIONS ULTRAMAFIQUES

Un large groupe de dépôts contenant du nickel, du cuivre et des éléments du groupe du platine (EGP) se retrouvent sous forme de concentrations de sulfures associées à une variété de roches magmatiques mafiques et ultramafiques (Eckstrand et al, 2004; Naldrett, 2004). Les magmas provenant du manteau supérieur contiennent de petites quantités de nickel, de cuivre, d'EGP et des quantités variables mais mineures de soufre. Ils montent à travers la croûte et se refroidissent quand ils rencontrent les roches plus froides de la croûte. Si la teneur en soufre du magma initial est suffisante, ou si le soufre est ajouté à partir de roches crustales encaissantes, des gouttelettes de sulfures liquides se forment dans le magma. Puisque les coefficients de partage du nickel, du cuivre, du fer et des EGP favorisent les liquides sulfurés aux liquides silicatés, ces éléments se joignent préférentiellement aux gouttelettes de sulfures présentes dans le magma environnant. Ces gouttelettes de sulfures, plus denses, ont tendance à couler vers le fond du magma où ils forment des concentrations de sulfures. Lors du refroidissement, le liquide sulfuré se cristallise pour former les gisements de minerai contenant ces métaux.

Deux principaux types sont distingués (Eckstrand et Hulbert, 2007), celui où le nickel et le cuivre sont dominants et celui où les EGP sont dominants. Dans le premier, le Ni et le Cu sont les principaux produits d'intérêt économique. Ils se produisent sous forme de minerais riches en sulfures et sont associés aux filons-couches mafiques à ultramafiques et aux coulées volcaniques ultramafiques (komatiitiques). Le deuxième type est exploité principalement pour les EGP trouvés dans les sulfures faiblement disséminés dans des intrusions litées mafiques et ultramafiques.

Les corps magmatiques mafiques et ultramafiques qui hébergent les minerais sulfurés de Ni-Cu sont variés en termes de forme et de composition et peuvent être subdivisés en quatre sous-types (Eckstrand et Hulbert, 2007) :

- 1) Impact météoritique avec mélange de magma provenant d'une source mantellique au matériel en fusion (Sudbury, en Ontario, est le seul exemple connu).
- 2) Rift et continental coulées basaltiques associées à des dykes mafiques et des corps sous forme de dykes (Noril'sk-Talnakh, Russie, Jinchuan, Chine; Complexe de Duluth, Minnesota; Muskox, Nunavut; et Crystal Lake Intrusion, Ontario).
- 3) Volcanisme komatiitique (riche en magnésium) lié à des filons-couches et des intrusions

(Thompson, Manitoba; Raglan et Marbridge, Québec; Langmuir, Ontario; Kambalda et Agnew, Australie; Pechenga, Russie; Shangani, Trojan; et Hunter's Road, Zimbabwe).

- 4) Autres intrusions mafiques / ultramafiques (Voisey's Bay, Labrador; Lynn Lake, Manitoba; Giant Mascot, Colombie-Britannique; Kotalahti, Finlande; Rana, Norvège; Selebi-Phikwe, Botswana).

Les EGP du second type de dépôt comprennent Os, Ir, Ru, Rh, Pt et Pd. Le platine et le palladium sont les plus abondants de ces derniers et ils déterminent la valeur économique des minerais, bien Rh, Ni, Cu et Au sont généralement récupérés aussi. Ce type de dépôt est associé à des intrusions mafiques et ultramafiques. Il existe deux principaux sous-types de dépôts d'EGP (Eckstrand et Hulbert, 2007) :

- 1) Reef-type ou gîtes stratiformes, qui se produisent dans des intrusions mafiques/ultramafiques bien litées (le Merensky Reef et l'UG-2 Reef du complexe de Bushveld, Afrique du Sud; le J-M Reef du complexe de Stillwater, Montana; le Main Sulphide Zone dans le Great Dyke, Zimbabwe).
- 2) Brèche magmatique, laquelle qui se produit sous forme d'amas ou d'intrusions mafiques/ultramafiques litées (Platreef du complexe de Bushveld Nord, Afrique du Sud; Lac des Îles et dépôts de Marathon, Ontario).

Les occurrences de Ni-Cu-EGP présentes sur la propriété Caumont appartiennent au sous-type intrusion mafique / ultramafique. Puisque les gisements de sulfures Ni-Cu-EGP magmatiques sont invariablement associées à des corps magmatiques mafiques et/ou ultramafiques, ces types de dépôts constituent une cible de premier ordre pour l'exploration.

Situé à environ 55 km à l'est de la propriété Caumont, le dépôt Nisk-1 a été décrit comme un dépôt de sulfures de nickel-cuivre magmatique associée à une intrusion ultramafique (Trudel, 2008). Une estimation actualisée des ressources pour le dépôt Nisk-1 (propriété Nisk), calculées par RSW Inc en 2008 sont décrites dans le **tableau 2**:

Tableau 2: Estimé des ressources, dépôt Nisk-1, 2008

Catégorie de ressource	Tonnage	Ni %	Cu %	Co %	Pt g/t	Pd g/t
Mesuré	1 255 000	1,09	0,56	0,07	0,20	1,11
Indiqué	783 000	1,00	0,53	0,06	0,29	0,91
Inféré	1 053 000	0,81	0,32	0,06	0,50	1,06

B) CHROMITITES STRATIFORMES

La chromite est extraite presque exclusivement à partir d'accumulations massives à semi-massives présentes dans des roches ultramafiques à mafiques (Duke, 1996). Les gisements de chromite sont normalement classés selon deux modèles en fonction de la géométrie du dépôt, les caractéristiques pétrologiques et l'environnement tectonique. Les gîtes de chromite stratiforme possèdent deux caractéristiques essentielles, soient la concordance des couches de chromites avec le litage des intrusions mafiques et ultramafiques différenciées, et l'existence de textures de cumulats d'origine ignée. Les dépôts podiformes sont irréguliers, mais essentiellement lenticulaires, souvent allongés sous forme de crayons. Ils sont encaissés dans des complexes ophiolitiques ou des péridotites de type alpin.

Les gîtes stratiformes de chromite sont rencontrés dans de vastes intrusions magmatiques litées pour lesquelles on observe généralement une différenciation avec une zone inférieure ultramafique, et une zone supérieure mafique. Les intrusions se divisent en deux grandes catégories en ce qui concerne la morphologie (Duke, 1996). La première correspond aux massifs tabulaires qui se sont mis en place dans des filons-couches pour lesquels on observe une relation de concordance entre le litage et la base de l'intrusion (ou le plancher). Le complexe de Stillwater et le Filon-Couche de Bird River sont des exemples de cette catégorie. La deuxième catégorie correspond aux complexes mis en place sous forme d'entonnoirs pour lesquels le litage est légèrement incliné vers le centre de l'intrusion et discordant avec le plancher. Des exemples de ces intrusions sont les complexes du Bushveld et de Muskox (Duke, 1996). Ils sont généralement enrichi en Co, Cu, Ni et EGP.

Les gisements stratiformes de chromite sont tous compris dans des intrusions litées mafiques à ultramafiques. Les lits de chromites peuvent être inter-lités avec une grande variété de lithologies. La chromite peut être en contact avec de la péridotite, de la norite, de la gabbronorite, de la dunite, de l'harzburgite, de la pyroxénite, de la troctolite, de l'anorthosite ou encore du gabbro (Schulte et al., 2010). Toutefois, la chromite des roches plus primitives est généralement plus riche en chrome et les minéralisations économiques de chromites sont essentiellement retrouvées en contact avec des péridotites différenciées du magma gabbroïque parent (Duke, 1996).

Les intrusions litées sont généralement mises en place dans des cratons granitiques et gneissiques stables tels que le Bouclier Canadien (Duke, 1996). Les intrusions litées avec des minéralisations en chromite peuvent aussi être retrouvé dans des ceintures de roches vertes archéennes comme c'est le cas pour l'intrusion de Bird River au Manitoba (Stowe, 1994).

C) SULFURES MASSIFS EXHALATIFS (SEDEX)

Tel qu'indiqué par Lydon (1996), les dépôts sédimentaires exhalatifs (SEDEX) sont des corps composés de Zn, Pb et Ag, soit minéralisés en sphalérite et galène. Ces dépôts sont généralement de forme tabulaire et sont composés d'une ou plusieurs lentilles stratiformes et concordantes.

Les SEDEX se retrouvent dans des environnements sédimentaires ou encore volcanosédimentaires. Ils se situent dans des séquences clastiques ou carbonatées possédant une importante perméabilité. Ce type de gisement se développe généralement autour de failles normales synsédimentaire où des fluides hydrothermaux ont été expulsés au travers d'un réseau de fractures sous-jacent à la minéralisation. Ce gîte est typiquement stratiforme et syngénétique.

Les faciès lités dans des dépôts distaux et proximaux sont composés de minéraux sulfurés, de produits hydrothermaux tels que les carbonates, les cherts, de la barytine et de l'apatite. Le principal sulfure retrouvé dans la plupart des dépôts de type SEDEX est la pyrite, bien que dans certains dépôts, la pyrrhotite est prédominante.

L'altération hydrothermale associée aux dépôts SEDEX peut se présenter de nombreuses façons. Occasionnellement, elle se développe au mur et au toit de la minéralisation. Elle peut être de type carbonatation (les carbonates s'enrichissent en fer et manganèse), silicification, albitisation et parfois même tourmalinisation. Cette altération hydrothermale peut s'étirer verticalement ou encore horizontalement (Jébrak et Marcoux, 2008).

Puisque les gîtes SEDEX sont synsédimentaires, l'âge de la minéralisation est généralement assumée comme étant la même ou du moins très proche à celle de la roche encaissante. On retrouve deux grandes périodes où les SEDEX se sont développés de façon importante, soit au Protérozoïque (2.5Ga à 542Ma) et au Phanérozoïque (542Ma à aujourd'hui). Certains gisements mineurs sont plus vieux que 1,8 Ga, mais aucun n'a été découvert avant 2,2 Ga (Leach et al. 2005).

D) FORMATION DE FER RUBANÉES

Lors de la campagne de cartographie-prospection des étés 2010 et 2011, des formations de fer rubanées ont été observées dans les propriétés Duval, Valiquette, Caumont et Bourier. Ces formations de fer sont encaissées dans des méta-sédiments riches en quartz et des schistes à biotite-sillimanite. Des exemples connus de ce type de gîte sont les mines Wabush et Fermont dans la Fosse du Labrador. Les formations de fer peuvent également être aurifères. La mine Lupin au Canada est un exemple de gîte aurifère dans une formation de fer à grunérite.

E) GISEMENT D'OR DISSÉMINÉ ET DE REMPLACEMENT

Les gîtes d'or disséminé de remplacement consistent en des amas de sulfures disséminés à massifs à minéralisation aurifère, généralement composés de pyrite ou de pyrrhotite, dans lesquels la répartition du minerai n'est pas liée à la présence de filons de quartz et, à quelques exceptions près, dans lesquels les teneurs en métaux communs sont faibles alors que la teneur en or dépasse la teneur en argent.

Ils sont encaissés dans des roches d'origines volcaniques et d'origines sédimentaires (Poulsen, 1996). Le meilleur exemple archéen de ce type de dépôt associé au volcanisme est Hemlo (Ontario) dans la Province du Supérieur. Les gisements de sulfures de type "remplacement", comme ceux de l'Island Mountain, en Colombie-Britannique et de Kretza River, au Yukon, sont des exemples de ce type de dépôts associés aux sédiments.

Ces gisements aurifères sont généralement stratiformes (Poulsen, 1996). Cela est attribué au fait qu'ils se forment à l'intérieur, et dans la direction d'unités lithotectoniques bien définies. Les dépôts se produisent généralement au niveau des contacts entre les unités lithologiques distinctes ou uniquement dans une unité particulière. La forme lenticulaire à tabulaire de la plupart des gisements est telle qu'elles sont géométriquement concordantes avec les roches encaissantes. Chaque dépôt comprend habituellement plusieurs gisements subparallèles qui sont disposées de façon empilée ou parallèle les uns avec les autres. Les axes des corps minéralisés sont généralement parallèles aux fabriques linéaires du secteur.

Les roches ont subi une déformation pénétrative au cours du métamorphisme régional, ce qui a donné lieu à au moins une génération de fabriques tectoniques qui se superpose aux principales unités lithologiques (Poulsen, 1996). Dans la plupart des cas, une forte foliation, amplifiée dans les zones de failles, est subparallèle à l'orientation lithologique régionale.

La minéralisation dans ce type de dépôt est sulfurée. Elle est principalement composée de pyrite, pyrrhotite, arsénopyrite, chalcopyrite, sphalérite et galène. À quelques exceptions près, les dépôts ont de faibles teneurs en métaux de base (moins de un pourcent pour tous les métaux combinés) et des teneurs en or supérieures à celles de l'argent. L'arsénopyrite est un constituant commun.

Le contenu en sulfure de plusieurs de ces gisements est suffisant pour produire des réponses géophysiques et, en raison de la nature des sulfures disséminés, les méthodes de polarisation induite devrait être le plus efficace (Poulsen, 1996).

TRAVAUX EFFECTUÉS

A) DESCRIPTION DES TRAVAUX

Du 16 juin au 20 juin 2012, une première intervention de travaux de prospection, de cartographie géologique et d'échantillonnage a eu lieu sur les blocs Caumont Ouest et Lac Nemiscau¹. Une seconde intervention sur le bloc Caumont Ouest a suivi les 16 et 17 août 2012. Un support hélicoptère a été nécessaire au déroulement des travaux lors des deux interventions. Afin d'aider à repérer les anomalies géophysiques électromagnétiques et magnétiques, des "BeepMat" ont été utilisés. Il s'agit d'un appareil aussi appelé "tapis de prospection" permettant de détecter les anomalies magnétiques et électromagnétiques au sol. Il nécessite un seul opérateur par appareil. Les rapports journaliers sont joints en **Annexe 2**.

Les travaux effectués comprennent :

- la description de 92 fiches d'affleurement (**Annexe 3**) contenant des informations sur la cartographie, les lithologies, les structures, les minéralisations et les échantillons;
- le prélèvement et l'analyse de 119 échantillons choisis (**Annexe 4**);
- l'analyse de 8 échantillons pour le contrôle de qualité (**Annexe 5**).

Les **figures 5 et 6** présentent respectivement la carte des traverses géologiques effectuées et la localisation des échantillons choisis dans le Bloc Lac Nemiscau et dans le Bloc Caumont Ouest.

Les certificats d'analyse sont ajoutés à ce rapport en **Annexe 6**.

¹ Une première visite du bloc caumont ouest avait eu lieu le 31 mai 2012 mais a fait l'objet d'un rapport distinct (Lalancette & Lévesque-Michaud, 2012).

NUMÉRIQUE

Page(s) de dimension(s) hors standard numérisée(s) et positionnée(s) à la suite des présentes pages standard

DIGITAL FORMAT

Non-standard size page(s) scanned and placed after these standard pages

B) EXÉCUTEURS DES TRAVAUX 2012

Lors des deux interventions, les travaux de cartographie géologique, de prospection et d'échantillonnage ont été faits par une équipe supervisée par Jonathan Lalancette, ingénieur géologue. Les **tableaux 3 et 4** présentent tous les membres de l'équipe impliqués dans ces deux interventions. Le support hélicoptère a été fourni par la compagnie Hélicoptères Canadiens Ltée (hélicoptères de type AS350 BA) et les "BeepMat" sont loués chez Instrumentation GDD Inc.

Tableau 3: Équipe d'exploration pour les travaux de la première phase

Poste	Nom
Ingénieur	Jonathan Lalancette
Géologue stagiaire	Louis-Philippe Richard
Ingénieur junior	Paméla Tremblay, Maude Lévesque-Michaud
Étudiants	Richard Audet, Clovis Cameron Auger, Andrée Poirier, Laurisha Bynoe
Technicien	Jean-François Dion
Manoeuvre	Samuel Gagnon, Jean-Pierre D'Amboise
Autochtone	Robert Ratt, Jonathan Gunner
Pilote hélicoptère	Zsombor Györfi
Mécanicien hélicoptère	Marc-André Pouliot

Tableau 4: Équipe d'exploration pour les travaux de la seconde phase

Poste	Nom
Ingénieur	Jonathan Lalancette
Ingénieur junior	Paméla Tremblay, Maude Lévesque-Michaud
Étudiants	Clovis Cameron Auger, Andrée Poirier
Technicien	Jean-François Dion
Manoeuvre	Arnaud Bourassa
Autochtone	Robert Ratt, Denis Longshap
Pilote hélicoptère	Jason Gamache

C) RÉSULTATS ET INTERPRÉTATION

BLOC LAC NEMISCAU

Le bloc du Lac Némiscau a été visité le 17 juin 2012 ainsi que le 20 juin 2012.

La minéralisation recherchée sur le Bloc Lac Nemiscau est principalement les sulfures magmatiques associés aux métaux Ni-Cu-EGP dans des intrusions de roches ultramafiques et/ou des roches volcaniques et intrusives de compositions mafiques. Ce bloc présente des anomalies magnétiques, et très peu d'anomalies électromagnétiques d'où le peu d'intérêt pour des minéralisations conductrices. Lors des travaux, des intrusions de roches ultramafiques (péridotite) ont été observées et échantillonnées, mais il n'y a pas de minéralisation potentiellement économique qui a été notée en surface pour les secteurs qui ont été couverts.

Parmi les dix (10) échantillons pris dans le secteur du Bloc Lac Nemiscau (**figure 5**), les seules valeurs anormales obtenues sont en nickel (2 170ppm, 659ppm et 618ppm Ni) et ces valeurs se trouvent toutes dans des échantillons de péridotite, une roche pouvant contenir jusqu'à 2 000 ppm dans sa composition normale. Il ne s'agit donc pas de valeurs anormales étant donné le type de roche dans laquelle elles sont contenues.

BLOC CAUMONT OUEST

Le bloc Caumont Ouest a été visité le 18, le 19 et le 20 juin 2012 ainsi que le 16 et le 17 août 2012. Un total de 109 échantillons choisis y a été récolté (**figure 6**). Deux types de minéralisations d'intérêts ont été observés le bloc Caumont Ouest. Le premier type observé est les sulfures magmatiques Ni-Cu-EGP associés aux intrusions de roches ultramafiques et/ou aux roches volcaniques et intrusives de compositions mafiques. Aussi, des métasédiments avec des minéralisations en pyrite et en arsénopyrite laissent présager un potentiel pour un gisement d'or disséminé de remplacement. Lors de l'exécution des travaux de cartographie et d'échantillonnage, plusieurs affleurements de roches métasédimentaires ont été observés et échantillonnés. Quelques échantillons ont aussi été collectés sur des affleurements de roches ultramafiques (péridotite) et de roches volcaniques et/ou intrusives de composition mafique.

Un nouvel indice de Cu-Ni a été découvert durant le programme d'exploration 2012. L'indice *Tent*, situé à environ 1 km au nord-est de l'indice Montagne, consiste en des roches gabbroïques et/ou pyroxénitiques montrant une minéralisation en pyrrhotite et en chalcopyrite (échantillon choisi

L943066 : 0,83% Cu, 0,52% Ni, 1,67 g/t Pd et 0,11 g/t Pt) (**figure 7**). Les roches de composition mafiques et ultramafiques sont recoupées par des dykes aplitiques à quelques endroits. Quelques échantillons ont été récoltés près de l'indice *Tent* dans ces dykes (**figure 8**) où on retrouve des veinules de chalcopryrite. Les résultats de ces échantillons sont présentés au **tableau 5**. La minéralisation dans ces dykes aplitiques pourrait provenir d'une remobilisation de la minéralisation des roches mafiques-ultramafiques encaissantes.

Tableau 5: Résultats des échantillons des dykes aplitiques

#Échantillon	Cu (%)	Au (g/t)	Ag (g/t)	Pd (g/t)
L943022	4,02	1,095	15,4	1,945
L943431	4,29	4,34	16,65	1,74
L943432	3,58	0,808	13,1	1,625

Quelques centaines de mètres à l'est de cet indice, un échantillon choisi (échantillon L943057) dans un paragneiss riche en muscovite et contenant 15 % d'arsénopyrite disséminée et des veines de quartz fumé titre à 1,6 g/t Au. À une dizaine de mètres au nord de cet échantillon, un métasédiment contenant environ 20% de porphyres de grenat ainsi que 5% d'arsénopyrite et 5% de pyrite titre à 0,219 g/t Au.

À l'extrémité ouest du bloc Caumont Ouest, une roche métasédimentaire fortement cisailé et présentant une ségrégation minérale (bandes felsiques silicifiées en alternance avec bandes chloriteuses) a été observée. Deux (2) échantillons y ont été pris (L943046 et L943418) et titrent respectivement à 0,239 g/t et 0,167 g/t Au (**figure 9**).



Figure 7: Photo illustrant l'indice Tent. On observe un affleurement de gabbro / pyroxenite recoupé par un dyke aplitique contenant des veinules des veinules de chalcopyrite. Un échantillon prit dans le gabbro (L943066) retourne 0,83% Cu, 0,52% Ni, 1,67 g/t Pd et 0,11 g/t Pt.

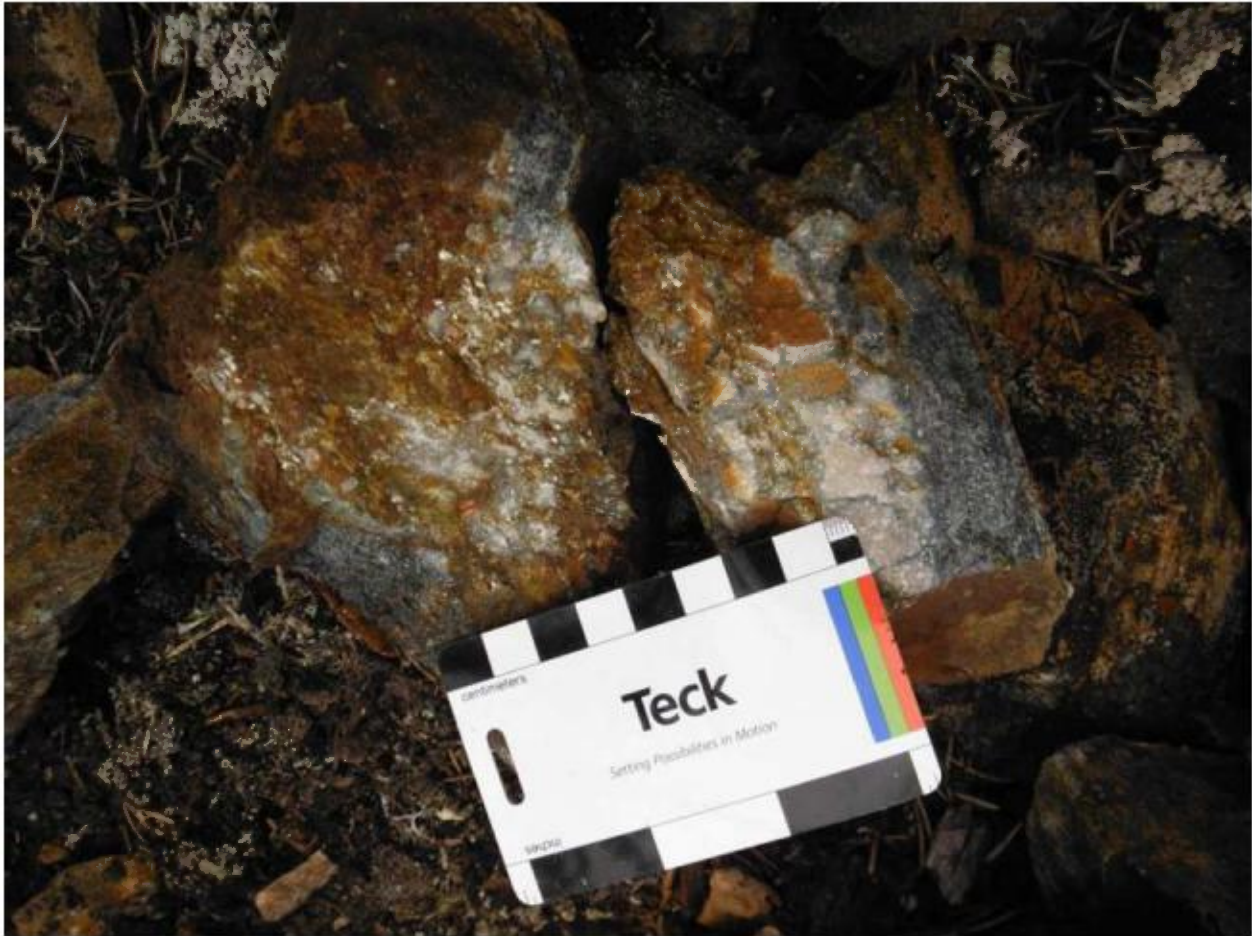


Figure 8: Dyke aplitique avec veinules de chalcoppyrite échantillonné sur l'indice Tent. L'échantillon L943431 retourne jusqu'à 4,29% Cu, 4,34 g/t Au, 16,65 g/t Ag et 1,74 g/t Pd.



Figure 9: Affleurement de roche métasédimentaire fortement cisailé. Deux (2) échantillons y ont été récoltés (L943046 et L943418) et titrent respectivement à 0,239 et 0,167 g/t Au.

MÉTHODE D'ÉCHANTILLONNAGE

Lors des travaux de prospection sur la propriété Caumont, l'échantillonnage effectué consistait à choisir sur le terrain des échantillons de roches contenant des sulfures ou tout autre type de minéralisation afin de détecter la présence de métaux précieux et de métaux de base.

Le "BeepMat", un appareil servant à détecter la conductivité et la susceptibilité magnétique, a été utilisé par les équipes d'exploration lors de la première phase de la campagne. Plusieurs zones conductrices ont ainsi été détectées et échantillonnées. Lors de la seconde phase, l'échantillonnage a été réalisé sans tenir compte de la conductivité de la roche.

Les échantillons ont été prélevés au marteau et au ciseau à froid sur le terrain puis mis à l'intérieur de sacs de plastique soigneusement fermés et identifiés. Le protocole d'échantillonnage est joint à l'**Annexe 7**. Le poids moyen est de 1 kilogramme par échantillon. La localisation de chaque échantillon est enregistrée à l'aide d'un GPS (Garmin GPSmap 60Cx). Chacune des étapes de l'échantillonnage est effectuée sous la supervision d'un chef d'équipe (ingénieur, géologue stagiaire ou ingénieur junior) qui s'occupe également de mettre à jour quotidiennement la compilation des échantillons dans une base de données.

Les échantillons d'affleurement ont été prélevés sur différentes lithologies (métabasalte, péridotite, métasédiments, amphibolite, formation de fer, veines de quartz, dyke aplitique et sulfures massifs). Une attention particulière a été portée aux minéraux pouvant être d'intérêt économique en contenant ou en étant associés à des métaux précieux ou des métaux de base (chalcopyrite, pyrite, pyrrhotite, arsénopyrite, etc.).

PRÉPARATION, ANALYSE ET SÉCURITÉ DES ÉCHANTILLONS

A) PRÉPARATION DES ÉCHANTILLONS

Le personnel de Ressources Monarques a préparé les envois d'échantillons. Les échantillons ont alors été mis dans des sacs soigneusement fermés et identifiés. Ils ont ensuite été expédiés directement chez ALS Chemex à Val D'Or par le personnel de Ressources Monarques en trois (3) différents lots où ils y ont été préparés et analysés. Tous les échantillons de roche sont préparés selon la méthode PREP-31 qui inclut le séchage, le concassage et la pulvérisation. Un protocole détaillé est fourni à l'**Annexe 8**.

Des analyses complémentaires avec la méthode PGM-ICP23 ont aussi été demandées sur quelques échantillons à partir des pulpes entreposées chez ALS Chemex à Val D'Or. Les analyses ont été faites en deux (2) différents lots.

B) ANALYSE DES ÉCHANTILLONS

Les échantillons ont été envoyés au laboratoire ALS Chemex pour être analysés selon les méthodes ME-MS41, Cu-OG46, PGM-ICP23, Au-TL43, ME-MS81 et Li-OG63. Les protocoles détaillés de ces méthodes sont jointes à l'**Annexe 8**.

L'ensemble des échantillons ont été soumis à la méthode d'analyse ME-MS41 (51 éléments). Un échantillon préparé (0,5 g) est digéré par l'eau régale dans un bloc de graphite chauffant. Après refroidissement, la solution obtenue est diluée à 12,5 ml avec de l'eau déminéralisée, mélangée et analysée par ICP-AES. La détermination de l'or par ME-MS41 est semi-quantitative en raison du faible poids d'échantillon utilisé (0,5 g). Si les teneurs en cuivre sont supérieures à 1% (> 10000 ppm), la méthode Cu-OG46 est utilisée (ME-OG46, mais seulement pour le cuivre). La méthode Cu-OG46 a été demandée pour les 3 échantillons présentant plus de 1% Cu (> 10000 ppm), cette méthode permet d'obtenir des limites de détection plus élevées qui sont de 0,001% à 40% pour le cuivre.

La préparation et le dosage pour les éléments du groupe du platine (Pt, Pd) et l'Au par la méthode PGM-ICP23 se fait à partir d'un poids moyen de 30 grammes. Il s'agit d'une pyroanalyse avec fusion au plomb. Le dosage s'effectue par spectrométrie d'émission atomique à source de plasma à couplage inductif (ICP-AES). Un total de trente-trois (33) échantillons a été soumis à cette méthode.

Aussi, quatre-vingt-douze (92) échantillons ont été soumis à la méthode Au-TL43 pour l'analyse de l'or. Celle-ci s'effectue à partir d'une aliquote de 25 g. L'échantillon est digéré dans un mélange de 3 parties d'acide chlorhydrique pour une partie d'acide nitrique (eau régale). L'or est déterminé par spectrométrie d'émission atomique à source de plasma à couplage inductif (ICP-AES).

Finalement, un (1) échantillon a été analysé selon les méthodes ME-MS81 et Li-OG63. La méthode ME-MS81 est particulièrement utilisée pour obtenir des résultats pour les éléments de terres rares. Un échantillon préparé est ajouté à du métaborate de lithium. Ils sont mélangés et ensuite soumis à une fusion à 1000°C. Le résultat est refroidi puis dissout dans une solution acide (4% HNO₃ et 2% HCl). Le dosage s'effectue par spectrométrie d'émission atomique à source de plasma à couplage inductif (ICP-AES). La méthode Li-OG63 s'effectue selon le même principe que la méthode ME-OG62, soit une digestion à quatre acides et un dosage par spectrométrie d'émission atomique à source de plasma à couplage inductif (ICP-AES), mais uniquement pour le lithium. Il est essentiel d'utiliser cette méthode pour obtenir les teneurs en lithium, puisqu'il n'est pas possible d'analyser pour le lithium avec la méthode ME-MS81, car la fusion se fait à partir de métaborate de lithium.

C) MESURES DE CONTRÔLE DE LA QUALITÉ DES ANALYSES

Le contrôle de la qualité analytique est un processus complexe et nécessite des nombreuses procédures de suivi. Le contrôle de la qualité analytique a été effectué par ALS Chemex ainsi que par Ressources Monarques Inc.

ALS CHEMEX

Dans chaque lot, ALS Chemex introduit des blancs ainsi que divers matériaux de référence:

- GEOMS-03, MRGeo08, LKSD-3, GBM908-5 et GBM908-10 pour la méthode ME-MS41 ;
- MP-1b et OGGGeo08 pour la méthode Cu-OG46 ;
- GLG307-4, OxK95, GPP-01, GPP-02 et GAu-11a pour la méthode PGM-ICP23 ;
- GLG307-4, OREAS-151a, OREAS 503 et OxC88 pour la méthode Au-TL43 ;
- OREAS 146 et SY-4 pour la méthode ME-MS81 ;
- LS-1 et LS-3 pour la méthode Li-OG63.

De plus, un total de dix (10) échantillons a été dupliqué par le laboratoire, dont quatre (4) échantillons ont été redosés par la méthode ME-MS41, trois (3) par la méthode PGM-ICP23 et quatre (4) par la méthode Au-TL43. Aucun problème analytique n'a été détecté dans le contrôle effectué par le laboratoire.

RESSOURCES MONARQUES

Un contrôle interne a été réalisé par Monarques pour assurer un contrôle de qualité adéquat lors de la préparation des échantillons. Des blancs de silice, des répliques et des standards certifiés sont insérés dans les envois d'échantillons à des intervalles réguliers avec une proportion de 2% de blancs de silice, 2% de répliques et 2% de matériaux de référence certifiés. La méthode de travail prévoit que ces échantillons sont insérés dans une séquence prédéterminée, ce qui simplifie la gestion, la préparation et l'expédition des échantillons. Les échantillons du contrôle de qualité sont insérés par le géologue de Monarques avant chaque expédition. Le protocole d'échantillonnage interne est développé à l'**Annexe 7**.

Les résultats du contrôle de qualité interne sont présentés à l'**Annexe 5** sous forme de tableaux et de graphiques. Les graphiques sont des histogrammes ou des courbes. Lorsque mentionné, une échelle logarithmique a été utilisée afin de mieux visualiser le graphique permettant ainsi d'augmenter l'écart pour les faibles valeurs et de diminuer celui des valeurs élevées. L'absence de donnée pour un élément dans un graphique à échelle logarithmique signifie que la valeur était négative, soit sous la limite de détection. Un traitement statistique a également été fait pour les répliques afin d'identifier les valeurs s'écartant de plus ou moins deux fois et trois fois l'écart-type.

Trois (3) standards ont été analysés dans les séquences d'échantillons (**Annexe 5, table 1**). Le standard utilisé est l'OREAS-13b, acheté auprès d'Ore Research & Exploration PTY LTD, en Australie. Les analyses retournées sont proches des valeurs certifiées analysées par la pyro-analyse avec récupération au plomb (**Graphique A5.2**) et par la digestion 4-acides (**Graphique A5.3**). Le **Graphique A5.1** présente les résultats selon la méthode Au-TL43 pour deux standards, tandis que le **Graphique A5.4** présente tous les résultats des trois standards, incluant les éléments pour lesquels il n'y a pas de valeur certifiée. Aucune réanalyse n'a été demandée. Toutefois, nous notons que le cobalt, le chrome et le zinc sont plus résistants et ne sont pas complètement dissous dans l'eau régale (méthode ME-MS41).

Les blancs utilisés pour ces programmes sont des blocs de quartz provenant de la Mine SITEC, située dans la région de Charlevoix, au Québec. Les analyses des deux (2) blancs insérés sont présentées à l'**Annexe 5, table 2**. Les **Graphiques A5.5 et A5.6** démontrent que ces blancs contiennent de faibles enrichissements en certains éléments (Ce, Cr, La, Mn et P). Ceci s'explique par le fait que le quartz utilisé est légèrement rosé et présente des grains de feldspaths et des oxydes, mais, dans l'ensemble, il est relativement homogène. L'enrichissement en As de l'échantillon L943079 semble être relié à une contamination des échantillons précédents (>1% As

pour L943077 et 6150ppm pour L943078). Une réanalyse n'a toutefois pas été demandée puisque la cause de l'enrichissement du blanc de silice en As est identifiée, que la contamination semble dissipée à l'échantillon L943080 (10,2ppm As) et qu'elle ne semble pas avoir affecté d'autres éléments.

Finalement, les répliques sont des échantillons pris en double sur le terrain. Trois (3) répliques ont été réalisées et chacune présente une bonne correspondance entre les deux échantillons formant une paire (**Annexe 5, table 3 et Graphiques A5.7 et A5.8**). Les résultats d'aucun élément ne s'écarte de plus de deux fois l'écart-type pour chaque réplique. Une excellente correspondance est toutefois peu probable étant donné la nature hétérogène du milieu échantillonné, soit un assemblage de minéraux formant une roche.

CONCLUSIONS ET RECOMMANDATIONS

A) CONCLUSIONS

La propriété Caumont est à un stade précoce d'exploration. Les travaux de cartographie géologique et d'échantillonnage de roches réalisés sur la propriété à l'été 2012 ont tout de même permis de mieux comprendre la géologie et les minéralisations présentes et d'expliquer les anomalies EM. La propriété Caumont présente un bon potentiel pour quelques types de gisement, principalement pour les gisements de type Cu-Ni-EGP magmatique, les gisements d'or disséminé et de remplacement ou les gisements d'or associé à des fluides hydrothermaux.

La présence de l'indice Montagne sur la propriété et du nouvel indice Tent montre bien le potentiel pour les gîtes de type Cu-Ni-EGP. Un échantillon choisi récolté en 2011 sur l'indice Montagne avait titré à 1,08% Cu, 0,4% Ni et 0,5 g/t Pd et une rainure rapporte 0,63% Cu, 0,43% Ni et 0,6 g/t Pd sur 2,5 m. L'indice Tent quant à lui, découvert à l'été 2012 et récolté dans un gabbro/pyroxénite, rapporte 0,83% Cu, 0,52% Ni, 1,67 g/t Pd et 0,11 g/t Pt.

Aussi, quelques secteurs de la propriété montrent un potentiel pour les minéralisations aurifères associées à une zone de cisaillement:

- Associé à l'indice Tent, des dykes aplitiques recoupant les roches mafiques et ultramafiques montrent un potentiel aurifère. Le meilleur retourne jusqu'à 4,29% Cu, 4,34 g/t Au, 16,65 g/t Ag et 1,74 g/t Pd. La minéralisation pourrait provenir d'une remobilisation de la minéralisation de la roche encaissante.
- À 100 m à l'est de l'indice Tent, l'échantillon L943057 récolté dans un métasédiment riche en muscovite avec 15% d'arsénopyrite et des veines de quartz titre à 1,6 g/t Au.
- À une dizaine de mètres de cet échantillon, l'échantillon choisi L943077, récolté dans un métasédiment avec 20% de porphyres de grenat, 5% d'arsénopyrite et 5% de pyrite titre à 0,219 g/t Au.
- À l'extrémité ouest du bloc Caumont Ouest, un métasédiment présentant une ségrégation minérale (alternance de bandes silicifiées avec bandes chloriteuses) avec des traces de sulfures a été échantillonné. Les échantillons L943046 et L943418 titrent respectivement à 0,239 g/t et 0,167 g/t.

Aucune chromite n'a été observée en affleurement lors des travaux, mais la présence d'une minéralisation en chromite reliée associée à des intrusions mafiques et ultramafiques est également considéré comme une possibilité.

Un trou de forage historique fait sur la propriété révèle également un potentiel pour une minéralisation Zn-Pb. En effet, le trou B-3-1 a rapporté une intersection de 0,73% Zn et 0,39% Pb dans un schiste à quartz-biotite (Hilgerndorf, 1975). Le schiste contient des petites veines de calcite (2 cm de large), lesquelles contiennent 5% de galène et 5% de sphalérite. De la pyrrhotite et de la chalcopryrite ont aussi été noté dans le schiste. Ces teneurs en Zn-Pb dans des roches métasédimentaires indiquent un bon potentiel pour la découverte d'un gisement de type SEDEX.

B) RECOMMANDATIONS

Bien que de nombreux travaux aient été effectués au cours des trois dernières années sur la propriété Caumont, cette dernière présente une grande superficie et plusieurs secteurs sont encore inexplorés. Une compilation GIS complète est fortement suggérée. Cette information sera utilisée pour préparer des cartes de compilation, pour faire avancer l'interprétation géologique de la propriété et de la minéralisation connue, et pour générer des cibles de forage au diamant.

Des travaux de décapages et de rainurages ainsi qu'un levé géochimique d'humus devraient être réalisés à l'été 2013 dans le secteur de l'indice Montagne et Tent. Le tout devrait permettre de bien cibler un levé géophysique et éventuellement des forages au diamant, qui pourraient être exécutés à la fin 2013.

Pour l'ensemble de la propriété, des travaux de suivi sont à prévoir sur l'ensemble des anomalies aurifères identifiées au cours de la campagne de l'été 2012. Des travaux de décapages et de rainurages devront être réalisés sur les meilleures cibles. Puisque plusieurs secteurs de la propriété sont peu affleurant, des levés géochimiques ainsi que de des travaux géophysiques seront à considérer.

Il sera important de doser toutes les roches mafiques et ultramafiques de PGE, car la minéralisation PGE n'est pas toujours associée à des sulfures. L'échantillonnage systématique de toutes les unités est recommandé.

RÉFÉRENCES

- BONIWELL, J.B., ISENER, F.M. (1974). Report on Ground Geophysical & Geological Follow-Up, James Bay Joint Venture. Canex Placer Ltd, GM 34023.
- BORDUAS, B. (1979). Recherche de nickel et d'amiante sur le territoire de la Baie James, Rapport Projet Miami. SDBJ, GM 38184.
- BROADBENT, C.H., PATERSON N.R. (1974). Helicopter Geophysical Survey, James Bay Nickel Venture. Canex Placer Ltd, GM 34022.
- BRUNELLE, S. (1987). Report on Geophysical Surveys, Lac des Montagnes Property. Explorations Muscocho Ltee, GM 44641.
- BURNS, J.G. (1973). Summary Report, Geological Reconnaissance July-August 1973, James Bay Nickel Venture. Canex Placer Ltd, GM 34021.
- BUSSIÈRES, Y., RICHARD, L.P., LÉVESQUE-MICHAUD, M. (2011). Cartographie et prospection 2010, Tranchées et rainurages 2010, Propriété Lac des Montagnes. Exploration Nemaska inc, GM 65439.
- CHARBONNEAU, R. (2007). Campagne régionale d'échantillonnage de till 2006, propriété Lac des Canards. Gestion IAMGOLD-QUEBEC Inc. GM 63228.
- DESAULNIERS, E. (2011). Heliborne Magnetic and TDEM Survey, Nemaska Project, Québec. Prepared by ED Géophysique for Ressources Monarques.
- DUBÉ, C. (1974a). Rapport préliminaire de la région du Lac Champion. MRN, DP 278.
- DUBÉ, C. (1974b). Géochimie des sédiments de ruisseau : Région du Lac Champion (Nouveau-Québec). MRN, DP 419.
- DUBÉ, C. (1978). Région des Lacs Champion, Tesecau et de la Rivière Rupert (Territoire de Mistassini et d'Abitibi) – Compilation. MRN, DPV 585.
- DUCHARME, M. (2001a). Compilation et interprétation, Compilation géoscientifique – Géologie 1 :50000, 32N07 – Lac Nemiscau. Système d'information géominière du Québec, Ministère des Ressources Naturelles et de la Faune, CGSIGEOM32N07.
- DUCHARME, M. (2001b). Compilation et interprétation, Compilation géoscientifique – Géologie 1 :50000, 32N08 – Lac de la Sicotière. Système d'information géominière du Québec, Ministère des Ressources Naturelles et de la Faune, CGSIGEOM32N08.
- DUCHARME, M. (2001c). Compilation et interprétation, Compilation géoscientifique – Géologie 1 :50000, 32N09 – Lac Champion. Système d'information géominière du Québec, Ministère des Ressources Naturelles et de la Faune, CGSIGEOM32N09.
- DUKE, J.M. (1996). Gîtes stratiformes de chromite; dans Géologie des types de gîtes minéraux du Canada, rév. par O.R. Eckstrand, W.D. Sinclair et R.I. Thorpe, Commission géologique du Canada, Géologie du Canada, n°8; (aussi The Geology of North America, vol. P-1, Geological Society of America).

- ECKSTRAND, O. R., HULBERT, J. H. (2007). Magmatic nickel-copper-platinum group element deposits, *in* Goodfellow, W.D. (ed.), Mineral deposits of Canada: A synthesis of major deposit types, district metallogeny, the evolution of geological provinces, and exploration methods. Geological Association of Canada, Mineral Deposits Division, Special Publication No. 5, p. 205-222.
- ECKSTRAND, O. R., GOOD, D. J., YAKUBCHUK, S., GALL, Q. (2004). World distribution of Ni, Cu, PGE, and Cr deposits and camps. Geological Survey of Canada, unpublished update of Open File 3791a.
- FORTIN, R. (1981). Rapport final, Levé géophysique aéroporté, Régions de Elmer Eastmain, Lac des Montagnes, Lac du Glas, Projet S80-5117. SDBJ, GM 38445.
- GILLAIN, P.R., REMICK, J.H. (1963). Région de Fort-Rupert. MRN, Carte 1510.
- GILLIATT, J. (1987). Report on VLF-EM Survey, over the Lac des Montagnes Claim Group. Explorations Muscocho Ltee, GM 46065.
- HILGENDORF, C. (1975). Report on Diamond Drilling and Ground Geophysical Follow-Up, James Bay Venture. Canex Placer Ltd, GM 34024.
- HOCQ, M., VERPAELST, P., CLARK, T., LAMOTHE, D., BRISEBOIS, D., BRUN, J., MARTINEAU, G. (1994). Géologie du Québec. MRN, MM 94-01.
- JEBRAK, M., MARCOUX, E. (2008). Géologie des ressources minérales, Ressources naturelles et Faune, 667p.
- JOURDAIN, V. (2002). Rapport sur la champagne d'exploration, Projet EM-Baie (1320). Soquem inc, GM 60504.
- LALANCETTE, J., LÉVESQUE MICHAUD, M. (2012). Visite géologique du 31 mai 2012, Propriété Caumont, Région de la Baie James. Ressources Monarques.
- LAMOTHE, G. (1987). Rapport de travaux d'exploration, Projet Nemiscau, Propriété « Lac Caumont ». Ressources Fort Rupert Ltee, GM 45890.
- LEACH, D. L., BRADLEY, D., GARDOLL, S., HUSTON, D., MARSH, E. (2005a). The distribution of SEDEX Pb-Zn deposits through Earth history: Mineral Deposit Research: Meeting the Global Challenge, Biennial SGA Meeting, 8th, Beijing, China, August 2005, Proceedings, p. 145-149.
- LETOURNEAU, O., PAUL, R., BOIVIN, M. (2010). Data Acquisition Report, Helicopter-Borne TDEM and Magnetic Survey, Lac des Montagnes Project. Exploration Nemaska inc, GM 65177.
- LÉVESQUE MICHAUD, M., CARON, Y. (2012). Travaux de prospection 2010-2011, Propriété Caumont, Région de la Baie James. Ressources Monarques.
- LYDON, J. W. (1983). Chemical parameters controlling the origin and deposition of sediment-hosted stratiform lead-zinc deposits, *in* Sangster, D. F. (ed.), Sediment-hosted stratiform lead-zinc deposits. Mineralogical Association of Canada, Short Course Handbook 8, p. 175-250.
- MOSS, R.D. (1963a). Sampling Record, Nemiscau Property. Canadian Nickel Co Ltd, GM 16448-D.
- MOSS, R.D. (1963b). Sampling Record, Nemiscau Property. Canadian Nickel Co Ltd, GM 16448-E.

- NADRETT, A. J. (2004). Magmatic sulfide deposits: Geology, geochemistry and exploration. Heidelberg, Springer Verlag. 728 pages.
- OILLE, V.A., WILTSEY, W.J. (1962). 7 Diamond Drill Hole Logs. Noranda Expl Co Ltd, Noranda Mines Ltd, GM 12655.
- OTIS, M. (1980). Projet LIEN. SDBJ, GM 37998.
- PERREAULT, S., HOULE, P., DOUCET, P., MOORHEAD, J., COTÉ, S., MOUKHSIL, A., LACHANCE, S., BELLEMARE, Y., TOGOLA, N., GOSSELIN, C. BUTEAU, P. (2006). Rapport sur les activités d'exploration minière au Québec 2005. MRNF, DV 2006-01.
- POULSEN, K. H. (1996). Disseminated and replacement gold, *in* O. R. Eckstrand, W. D. Sinclair, and R. I. Thorpe (eds.), Geology of Canadian Mineral Deposit Types. Geological Survey of Canada, Geology of Canada, No. 8, p. 383-392.
- SCHULTE, F.R., TAYLOR, D.R., PIATAK, N.M., SEAL II, R.R. (2010). Stratiform chromite deposit model, USGS, p.1-9.
- STOWE, C.W. (1994). Compositions and tectonic settings of chromite deposits through time, Economic Geology, Vol. 89, p.528-546.
- THÉBERGE, D. (2011). NI 43-101 Technical Report, Pertaining to : The Lac des Montagnes Property, James Bay Area. Prepared for Monarques Resources Inc.
- TRUDEL, P. (2008). Calcul des ressources du gisement, NISK-1, propriété du Lac Levac. RSW Inc., GM 63867.
- VALIQUETTE, G. (1963). Géologie de la région du Lac des Montagnes, Territoire de Mistassini. MRN, RP 500.
- VALIQUETTE, G. (1964). Géologie de la région du Lac Lemare, Territoire de Mistassini. MRN, RP 518.
- VALIQUETTE, G. (1965). Géologie de la région du Lac Cramoisy, Territoire de Mistassini. MRN, RP 534.
- VALIQUETTE, G. (1975). Région de la Rivière Nemiscau. MRN, RG 158.
- WALLACH, J. (1973). Geology of the Nemiscau Lake Area, Mistassini Territory. MRN, DP 146.
- ZUIDERVEEN, J. (1988). Diamond Drill record, Lac Levac Property. Explorations Muscocho Ltée., GM 47653.

DATE ET PAGE DE SIGNATURE

Signé à Chicoutimi, le 7 décembre 2012

Jonathan Lalancette, Ing.

OIQ # 138534



Maude Lévesque-Michaud, Ing. jr

OIQ # 5015957

REÇU AU MRNF
27 DEC. 2012
DIRECTION DES TITRES MINIERES

38

1260761

ANNEXE 1: LISTE DES CELLULES

Propriété	Feuillet	No titre		Date d'inscription	Date d'expiration	Superficie (ha)	Travaux requis	Droits requis	Détenteur
Caumont	32N08	CDC	2308503	2011-08-19	2013-08-18	53.65	1 200 \$	53 \$	100% Ressources Monarques (87630)
Caumont	32N08	CDC	2308504	2011-08-19	2013-08-18	53.65	1 200 \$	53 \$	100% Ressources Monarques (87630)
Caumont	32N08	CDC	2308505	2011-08-19	2013-08-18	53.64	1 200 \$	53 \$	100% Ressources Monarques (87630)
Caumont	32N08	CDC	2308506	2011-08-19	2013-08-18	53.64	1 200 \$	53 \$	100% Ressources Monarques (87630)
Caumont	32N08	CDC	2308507	2011-08-19	2013-08-18	38.31	1 200 \$	53 \$	100% Ressources Monarques (87630)
Caumont	32N08	CDC	2308508	2011-08-19	2013-08-18	53.62	1 200 \$	53 \$	100% Ressources Monarques (87630)
Caumont	32N09	CDC	2308509	2011-08-19	2013-08-18	53.61	1 200 \$	53 \$	100% Ressources Monarques (87630)
Caumont	32N09	CDC	2308510	2011-08-19	2013-08-18	53.61	1 200 \$	53 \$	100% Ressources Monarques (87630)
Caumont	32N09	CDC	2308511	2011-08-19	2013-08-18	53.60	1 200 \$	53 \$	100% Ressources Monarques (87630)
Caumont	32N09	CDC	2308512	2011-08-19	2013-08-18	53.60	1 200 \$	53 \$	100% Ressources Monarques (87630)
Caumont	32N09	CDC	2308513	2011-08-19	2013-08-18	53.60	1 200 \$	53 \$	100% Ressources Monarques (87630)
Caumont	32N09	CDC	2308514	2011-08-19	2013-08-18	53.55	1 200 \$	53 \$	100% Ressources Monarques (87630)
Caumont	32N09	CDC	2323750	2011-11-15	2013-11-14	53.58	1 200 \$	53 \$	100% Ressources Monarques (87630)
Caumont	32N09	CDC	2323751	2011-11-15	2013-11-14	53.57	1 200 \$	53 \$	100% Ressources Monarques (87630)
Caumont	32N09	CDC	2323752	2011-11-15	2013-11-14	53.56	1 200 \$	53 \$	100% Ressources Monarques (87630)
Caumont	32N09	CDC	2323753	2011-11-15	2013-11-14	53.56	1 200 \$	53 \$	100% Ressources Monarques (87630)
Caumont	32N09	CDC	2323754	2011-11-15	2013-11-14	53.56	1 200 \$	53 \$	100% Ressources Monarques (87630)
Caumont	32N07	CDC	2229615	2010-05-06	2014-05-05	53.72	1 200 \$	53 \$	100% Ressources Monarques (87630)
Caumont	32N07	CDC	2229621	2010-05-06	2014-05-05	53.69	1 200 \$	53 \$	100% Ressources Monarques (87630)
Caumont	32N07	CDC	2229624	2010-05-06	2014-05-05	53.68	1 200 \$	53 \$	100% Ressources Monarques (87630)
Caumont	32N07	CDC	2229625	2010-05-06	2014-05-05	53.68	1 200 \$	53 \$	100% Ressources Monarques (87630)
Caumont	32N07	CDC	2160850	2008-06-13	2014-06-12	53.70	1 200 \$	53 \$	100% Ressources Monarques (87630)
Caumont	32N07	CDC	2160851	2008-06-13	2014-06-12	53.70	1 200 \$	53 \$	100% Ressources Monarques (87630)
Caumont	32N07	CDC	2160852	2008-06-13	2014-06-12	53.69	1 200 \$	53 \$	100% Ressources Monarques (87630)
Caumont	32N07	CDC	2160853	2008-06-13	2014-06-12	53.69	1 200 \$	53 \$	100% Ressources Monarques (87630)
Caumont	32N07	CDC	2160854	2008-06-13	2014-06-12	53.69	1 200 \$	53 \$	100% Ressources Monarques (87630)
Caumont	32N07	CDC	2160855	2008-06-13	2014-06-12	53.68	1 200 \$	53 \$	100% Ressources Monarques (87630)
Caumont	32N07	CDC	2160856	2008-06-13	2014-06-12	53.68	1 200 \$	53 \$	100% Ressources Monarques (87630)
Caumont	32N07	CDC	2160857	2008-06-13	2014-06-12	53.67	1 200 \$	53 \$	100% Ressources Monarques (87630)
Caumont	32N07	CDC	2160858	2008-06-13	2014-06-12	53.67	1 200 \$	53 \$	100% Ressources Monarques (87630)
Caumont	32N08	CDC	2160860	2008-06-13	2014-06-12	53.74	1 200 \$	53 \$	100% Ressources Monarques (87630)
Caumont	32N08	CDC	2160861	2008-06-13	2014-06-12	53.74	1 200 \$	53 \$	100% Ressources Monarques (87630)
Caumont	32N08	CDC	2160862	2008-06-13	2014-06-12	53.73	1 200 \$	53 \$	100% Ressources Monarques (87630)
Caumont	32N08	CDC	2160863	2008-06-13	2014-06-12	53.73	1 200 \$	53 \$	100% Ressources Monarques (87630)
Caumont	32N09	CDC	2161825	2008-06-20	2014-06-19	53.59	1 200 \$	53 \$	100% Ressources Monarques (87630)
Caumont	32N09	CDC	2161826	2008-06-20	2014-06-19	53.59	1 200 \$	53 \$	100% Ressources Monarques (87630)
Caumont	32N09	CDC	2161835	2008-06-23	2014-06-19	53.58	1 200 \$	53 \$	100% Ressources Monarques (87630)
Caumont	32N09	CDC	2162149	2008-06-23	2014-06-22	53.55	1 200 \$	53 \$	100% Ressources Monarques (87630)
Caumont	32N09	CDC	2162150	2008-06-23	2014-06-22	53.55	1 200 \$	53 \$	100% Ressources Monarques (87630)
Caumont	32N09	CDC	2162163	2010-06-17	2014-06-22	53.54	1 200 \$	53 \$	100% Ressources Monarques (87630)
Caumont	32N07	CDC	2238398	2008-06-20	2014-06-16	53.67	1 200 \$	53 \$	100% Ressources Monarques (87630)

Propriété	Feuillet	No titre		Date d'inscription	Date d'expiration	Superficie (ha)	Travaux requis	Droits requis	Détenteur
Caumont	32N08	CDC	2238865	2010-06-29	2014-06-28	53.73	1 200 \$	53 \$	100% Ressources Monarques (87630)
Caumont	32N09	CDC	2238880	2010-06-29	2014-06-28	53.54	1 200 \$	53 \$	100% Ressources Monarques (87630)
Caumont	32N09	CDC	2238881	2010-06-29	2014-06-28	53.54	1 200 \$	53 \$	100% Ressources Monarques (87630)
Caumont	32N09	CDC	2238882	2010-06-29	2014-06-28	53.54	1 200 \$	53 \$	100% Ressources Monarques (87630)
Caumont	32N09	CDC	2238883	2010-06-29	2014-06-28	53.54	1 200 \$	53 \$	100% Ressources Monarques (87630)
Caumont	32N09	CDC	2238884	2010-06-29	2014-06-28	53.54	1 200 \$	53 \$	100% Ressources Monarques (87630)
Caumont	32N09	CDC	2238885	2010-06-29	2014-06-28	53.54	1 200 \$	53 \$	100% Ressources Monarques (87630)
Caumont	32N09	CDC	2238886	2010-06-29	2014-06-28	53.53	1 200 \$	53 \$	100% Ressources Monarques (87630)
Caumont	32N09	CDC	2238887	2010-06-29	2014-06-28	53.53	1 200 \$	53 \$	100% Ressources Monarques (87630)
Caumont	32N09	CDC	2238888	2010-06-29	2014-06-28	53.53	1 200 \$	53 \$	100% Ressources Monarques (87630)
Caumont	32N09	CDC	2238889	2010-06-29	2014-06-28	53.53	1 200 \$	53 \$	100% Ressources Monarques (87630)
Caumont	32N09	CDC	2250910	2010-09-23	2014-09-22	53.62	1 200 \$	53 \$	100% Ressources Monarques (87630)
Caumont	32N08	CDC	2250911	2010-09-23	2014-09-22	53.64	1 200 \$	53 \$	100% Ressources Monarques (87630)
Caumont	32N08	CDC	2250912	2010-09-23	2014-09-22	53.64	1 200 \$	53 \$	100% Ressources Monarques (87630)
Caumont	32N08	CDC	2250913	2010-09-23	2014-09-22	53.63	1 200 \$	53 \$	100% Ressources Monarques (87630)
Caumont	32N09	CDC	2250914	2010-09-23	2014-09-22	53.57	1 200 \$	53 \$	100% Ressources Monarques (87630)
Caumont	32N09	CDC	2250915	2010-09-23	2014-09-22	53.60	1 200 \$	53 \$	100% Ressources Monarques (87630)
Caumont	32N09	CDC	2250916	2010-09-23	2014-09-22	53.61	1 200 \$	53 \$	100% Ressources Monarques (87630)
Caumont	32N09	CDC	2250917	2010-09-23	2014-09-22	53.61	1 200 \$	53 \$	100% Ressources Monarques (87630)
Caumont	32N09	CDC	2250930	2010-09-23	2014-09-22	53.61	1 200 \$	53 \$	100% Ressources Monarques (87630)
Caumont	32N09	CDC	2250931	2010-09-23	2014-09-22	53.61	1 200 \$	53 \$	100% Ressources Monarques (87630)
Caumont	32N09	CDC	2250932	2010-09-23	2014-09-22	53.61	1 200 \$	53 \$	100% Ressources Monarques (87630)
Caumont	32N08	CDC	2250933	2010-09-23	2012-09-22 *	53.64	1 200 \$	53 \$	100% Ressources Monarques (87630)
Caumont	32N08	CDC	2250934	2010-09-23	2014-09-22	53.64	1 200 \$	53 \$	100% Ressources Monarques (87630)
Caumont	32N08	CDC	2250935	2010-09-23	2014-09-22	53.64	1 200 \$	53 \$	100% Ressources Monarques (87630)
Caumont	32N08	CDC	2250936	2010-09-23	2014-09-22	53.64	1 200 \$	53 \$	100% Ressources Monarques (87630)
Caumont	32N08	CDC	2250937	2010-09-23	2014-09-22	53.63	1 200 \$	53 \$	100% Ressources Monarques (87630)
Caumont	32N08	CDC	2250938	2010-09-23	2014-09-22	53.63	1 200 \$	53 \$	100% Ressources Monarques (87630)
Caumont	32N08	CDC	2250939	2010-09-23	2014-09-22	53.62	1 200 \$	53 \$	100% Ressources Monarques (87630)
Caumont	32N08	CDC	2250940	2010-09-23	2014-09-22	53.62	1 200 \$	53 \$	100% Ressources Monarques (87630)
Caumont	32N08	CDC	2250941	2010-09-23	2014-09-22	53.62	1 200 \$	53 \$	100% Ressources Monarques (87630)
Caumont	32N09	CDC	2250942	2010-09-23	2014-09-22	53.59	1 200 \$	53 \$	100% Ressources Monarques (87630)
Caumont	32N09	CDC	2250943	2010-09-23	2014-09-22	53.59	1 200 \$	53 \$	100% Ressources Monarques (87630)
Caumont	32N09	CDC	2250944	2010-09-23	2014-09-22	53.59	1 200 \$	53 \$	100% Ressources Monarques (87630)
Caumont	32N09	CDC	2250948	2010-09-23	2014-09-22	53.58	1 200 \$	53 \$	100% Ressources Monarques (87630)
Caumont	32N09	CDC	2250955	2010-09-23	2014-09-22	53.58	1 200 \$	53 \$	100% Ressources Monarques (87630)
Caumont	32N09	CDC	2250956	2010-09-23	2014-09-22	53.58	1 200 \$	53 \$	100% Ressources Monarques (87630)
Caumont	32N09	CDC	2250957	2010-09-23	2014-09-22	53.60	1 200 \$	53 \$	100% Ressources Monarques (87630)
Caumont	32N09	CDC	2250958	2010-09-23	2014-09-22	53.60	1 200 \$	53 \$	100% Ressources Monarques (87630)
Caumont	32N09	CDC	2250959	2010-09-23	2014-09-22	53.60	1 200 \$	53 \$	100% Ressources Monarques (87630)
Caumont	32N09	CDC	2250960	2010-09-23	2014-09-22	53.59	1 200 \$	53 \$	100% Ressources Monarques (87630)

Propriété	Feuillet	No titre		Date d'inscription	Date d'expiration	Superficie (ha)	Travaux requis	Droits requis	Détenteur
Caumont	32N09	CDC	2250961	2010-09-23	2014-09-22	53.61	1 200 \$	53 \$	100% Ressources Monarques (87630)
Caumont	32N09	CDC	2250962	2010-09-23	2014-09-22	53.62	1 200 \$	53 \$	100% Ressources Monarques (87630)
Caumont	32N09	CDC	2250963	2010-09-23	2014-09-22	53.60	1 200 \$	53 \$	100% Ressources Monarques (87630)
Caumont	32N09	CDC	2250964	2010-09-23	2014-09-22	53.59	1 200 \$	53 \$	100% Ressources Monarques (87630)
Caumont	32N09	CDC	2250965	2010-09-23	2014-09-22	53.59	1 200 \$	53 \$	100% Ressources Monarques (87630)
Caumont	32N09	CDC	2250966	2010-09-23	2014-09-22	53.60	1 200 \$	53 \$	100% Ressources Monarques (87630)
Caumont	32N09	CDC	2250967	2010-09-23	2014-09-22	53.57	1 200 \$	53 \$	100% Ressources Monarques (87630)
Caumont	32N09	CDC	2250968	2010-09-23	2014-09-22	53.59	1 200 \$	53 \$	100% Ressources Monarques (87630)
Caumont	32N09	CDC	2250969	2010-09-23	2014-09-22	53.57	1 200 \$	53 \$	100% Ressources Monarques (87630)
Caumont	32N09	CDC	2250970	2010-09-23	2014-09-22	53.58	1 200 \$	53 \$	100% Ressources Monarques (87630)
Caumont	32N09	CDC	2250971	2010-09-23	2014-09-22	53.57	1 200 \$	53 \$	100% Ressources Monarques (87630)
Caumont	32N09	CDC	2250972	2010-09-23	2014-09-22	53.58	1 200 \$	53 \$	100% Ressources Monarques (87630)
Caumont	32N08	CDC	2251792	2010-09-29	2012-09-28 *	53.63	1 200 \$	53 \$	100% Ressources Monarques (87630)
Caumont	32N08	CDC	2251793	2010-09-29	2014-09-28	53.63	1 200 \$	53 \$	100% Ressources Monarques (87630)
Caumont	32N08	CDC	2251794	2010-09-29	2014-09-28	53.63	1 200 \$	53 \$	100% Ressources Monarques (87630)
Caumont	32N08	CDC	2251795	2010-09-29	2014-09-28	53.63	1 200 \$	53 \$	100% Ressources Monarques (87630)
Caumont	32N08	CDC	2251796	2010-09-29	2014-09-28	53.62	1 200 \$	53 \$	100% Ressources Monarques (87630)
99						5292.49	118 800 \$	5 247 \$	

* En date du 18 octobre 2012, les cellules identifiées sont en cours de renouvellement auprès du MRN.

ANNEXE 2: RAPPORTS JOURNALIERS

RAPPORT JOURNALIER		Date: 16-06-2012		MÉTÉO :		Chaud et ensoleillé			
				CAMPEMENT :		Nemiscau			
COMMENTAIRES SUR LES TRAVAUX:									
Départ du campement de la première équipe vers 7h30 et retour vers 14h45. Départ de la dernière équipe vers 10h00 et retour vers 16h15.									
Louis-Philippe, Jean-Pierre, Robert et Jonathan G. sont allés faire une tranchée et du rainurage sur le conducteur central de la propriété Dumulon.									
Trois équipes sont allés faire de la cartographie et échantillonnage sur la propriété Caumont, Bloc Lac Nemiscau.									
COMMENTAIRES SUR LES TRAVAUX AU CAMPEMENT:									
Jacque a préparé du matériel pour descendre à Sirmac le 18 juin prochain.									
COMMENTAIRES SUR LA GÉOLOGIE:									
ÉQUIPE 1 :		Géologue : J. Lalancette		Assistant : S. Gagnon et L. Bynoe		Propriété : Caumont		Claim : 2160851- 2160852- 2160853	
						Ech. De :		Ech. À : L943051	
								BeepMat : 1	
Commentaires : Traverse dans le secteur sud-centre de la propriété Caumont Nemiscau. Plusieurs affleurements rencontrés. L'anomalie magnétique est expliquée par la présence d'intrusions de péridotite. Des mégagabbros et des métasédiments ont aussi été vus, recoupés par des pegmatites. Un seul échantillon a été récolté dans une péridotite.									
ÉQUIPE 2 :		Géologue : P. Tremblay et M.L. Michaud		Assistant : J-F. Dion		Propriété : Caumont		Claim : 2229624- 2160855	
						Ech. De : L943009		Ech. À : L943015	
								BeepMat : 1	
Commentaires : Prospection sur l'anomalie magnétique au NE du Bloc Lac Nemiscau de la propriété Caumont. Beaucoup d'affleurements de péridotite et de metabasalte ont été observés et échantillonnés. Il n'y a pas eu de sulfures observés. Plusieurs altérations ont été caractérisées dans ce secteur. En tout, six échantillons ont été pris: un dans le metabasalte et cinq dans la péridotite fraîche ou altérée.									
ÉQUIPE 3 :		Géologue : R. Audet		Assistant : C. Auger et A. Poirier		Propriété : Caumont		Claim : 2160850- 2160851	
						Ech. De : L943034		Ech. À : L943035	
								BeepMat : 1	
Commentaires : Importante couverture de sable sur l'ensemble des 2 claims visités. Plusieurs affleurements de migmatite décimétriques ont tout de même été observés, sans minéralisation. Le bouton au centre des claims vers le nord est plutôt composé d'amphibolite avec des zones contenant un peu de magnétite, plusieurs veines de quartz et de feldspath. Une veine carbonatée avec chlorite y a été échantillonnée ainsi qu'un metabasalte à PO aux abords des amphibolites.									
PERSONNEL EXTERNE		TÂCHES				COMPAGNIE			
Zsombor Gyórfi		Pilote				Canadian Helicopters			
Marc-André Pouliot		Mécanicien				Canadian Helicopters			

RAPPORT JOURNALIER		Date: 17-06-2012		MÉTÉO :			
				Chaud et ensoleillé			
				CAMPEMENT :			
COMMENTAIRES SUR LES TRAVAUX:							
Louis-Philippe, Samuel et Robert sont allés terminer l'échantillonnage de la tranchée sur le conducteur central de la propriété Dumulon. Sortie à 12h30.							
Trois équipes sont allés faire de la cartographie et échantillonnage sur le bloc Caumont Ouest de la propriété Caumont. Sortie à 14h30.							
Laurisha et Jean-Pierre sont allés visiter une pegmatite, inaccessible à pied, sur la propriété Whabouchi. Sortie vers 13h30. JP a ensuite aidé à la préparation pour Sirmac.							
COMMENTAIRES SUR LES TRAVAUX AU CAMPEMENT:							
Jacque a préparé du matériel pour descendre à Sirmac le 18 juin prochain.							
COMMENTAIRES SUR LA GÉOLOGIE:							
<p>ÉQUIPE 1 : Géologue : J. Lalancette et P. Tremblay Assistant : Propriété : Caumont Claim : 2250956-2250955-2250970-2250965-2250960 Ech. De : L943036 Ech. À : L943042 BeepMat : 1</p> <p>Commentaires : Traverse Est-Ouest sur la propriété Caumont Ouest. Départ à partir des zones rainurées en 2011. Toutes les anomalies EM visitées avant d'être rendus à mi-chemin entre les rainurages et le Lac Caumont sont situés dans des zones de tourbières où sableuses et aucun conducteur n'a pu être détecté au BeepMat. Une formation de fer interlitée avec des métasédiments présentant des traces de sulfures à 1% a été rencontrée. De nombreux affleurements de métasédiments sont oxydés et conducteurs. De la PO, PY et localement des traces de CP ont été échantillonnées. Les métasédiments présentent des grenats roses.</p>							
<p>ÉQUIPE 2 : Géologue : M.L. Michaud Assistant : R. Ratt et J-F. Dion Propriété : Caumont Claim : 2250948-2250965 Ech. De : L943016 Ech. À : L943022 BeepMat : 1</p> <p>Commentaires : Visite des anomalies EM et Mag dans une partie du bloc Caumont Ouest qui n'avait pas encore été prospectée. Il s'agit du prolongement des intrusions ultramafiques à l'Est de l'indice Montagne. Beaucoup d'affleurements de péridotite ont été observés et des bandes de gabbro ou amphibolite cisaillées ont également été notées. De la minéralisation est souvent associée à ces cisaillements (pyrrhotite, chalcopyrite). Des veines felsiques riches en pyrite ont aussi été observés en fin de journée. Des travaux antérieurs ont eu lieu à tous ces endroits, mais plusieurs échantillons sont tout de même repris dans le secteur.</p>							
<p>ÉQUIPE 3 : Géologue : R. Audet Assistant : C. Auger et A. Poirier Propriété : Caumont Claim : 2250940-2250916-2250917-2250961-2250915-2250930-2250957-2250966 Ech. De : L943044 Ech. À : L943045 BeepMat : 1</p> <p>Commentaires : Visite des anomalies EM et Mag dans une partie du bloc Caumont Ouest qui n'avait pas encore été prospectée. Le territoire couvert comportait surtout des tourbières et très peu d'affleurements. Les anomalies n'ont donc pas pu être confirmées. Finalement, un affleurement plus au sud-ouest de metabasalte a été échantillonné avec une minéralisation en PY et PO. Un contact flou existe entre ce basalte et une migmatite.</p>							
PERSONNEL EXTERNE		TÂCHES		COMPAGNIE			
Zsombor Györfi		Pilote		Canadian Helicopters			
Marc-André Pouliot		Mécanicien		Canadian Helicopters			

RAPPORT JOURNALIER		Date: 18-06-2012		MÉTÉO :		Chaud et ensoleillé		
				CAMPEMENT :		Nemiscau		
COMMENTAIRES SUR LES TRAVAUX:								
Départ du campement de la première équipe vers 7h30 et retour vers 14h45. Départ de la dernière équipe vers 8h15 et retour vers 15h45.								
Quatre équipes sont allées faire de la cartographie et échantillonnage sur le bloc Caumont Ouest de la propriété Caumont.								
Jean-Pierre et Jacque sont partis en matinée pour le projet Sirmac.								
Samuel et Jonathan G. ont fait l'aller-retour au camp Broadback pour apporter du matériel (projet Sirmac).								
COMMENTAIRES SUR LES TRAVAUX AU CAMPMENT:								
COMMENTAIRES SUR LA GÉOLOGIE:								
ÉQUIPE 1 :	Géologue : J. Lalancette et P. Tremblay	Assistant :	Propriété : Caumont	Claim : 2250948-2250970-2250965-2250960	Ech. De : L943043	Ech. À :	BeepMat : 1	
					Ech. De : L943076	Ech. À : L943082		
Commentaires : Visite de la série d'anomalies EM à l'est du Lac Caumont. Deux types de M4 ont été échantillonnés. Des métasédiments avec 15-30% de grenats roses porphyroblastiques (4-7mm) sont localement magnétiques et présentent variablement AS, PY, PO et CP. Des métasédiments fortement silicifiés et très riches en amphiboles (+60%) sont localement très conducteurs et présentent des traces de PY, PO et CP.								
ÉQUIPE 2 :	Géologue : M.L. Michaud	Assistant : R. Ratt et J-F. Dion	Propriété : Caumont	Claim : 2250948-2250965	Ech. De : L943023	Ech. À : L943025	BeepMat : 1	
					Ech. De : L943064	Ech. À : L943067		
Commentaires : Échantillonnage et prospection sur les affleurements de péridotite et de gabbro à l'Est du bras du Lac Caumont, dans le Bloc Caumont Ouest de la propriété Caumont. Plusieurs échantillons dans des zones cisillées avec des sulfures (pyrrhotite et chalcopryrite) ont été pris. Un affleurement de métasédiments amphibolitisés au nord de la série d'intrusions ultramafiques contient des veines de quartz rouillées qui ont aussi été échantillonnées. Le secteur entre la péridotite et le ruisseau (du camp d'indien) est peu affleurant, on y retrouve une alternance de metabasalte et de métasédiments.								
ÉQUIPE 3 :	Géologue : L-P. Richard	Assistant : C. Auger	Propriété : Caumont	Claim : 2250957-2250966-2250959	Ech. De : L943088	Ech. À : L943094	BeepMat : 1	
Commentaires : Visite du centre de la propriété Caumont (Bloc Ouest). Quelques anomalies EM n'avaient jamais été visitées. On a atterri sur le site 1400 pour commencer la journée. On a trouvé de la péridotite conductrice enfouie sous 1 pied de terre environ 100 mètres à l'est du site. Il y avait 1% PO et des traces de CP dans l'échantillon pris à cet endroit. Ensuite, les points EM se trouvent dans un environnement de mousse et de drumlins. On est tombé sur 2 affleurements de basalte, dont un légèrement conducteur. Il y avait jusqu'à 10% PY à l'intérieur. L'autre affleurement de basalte (?) contenait des lits de magnétique. L'échantillon a été pris dans une section à veinules d'épidote avec 2-3% PY. Finalement, on a creusé où on détecte de la conductivité en surface. Ceci avait été vu en 2011, mais n'avait pas été travaillé. On est tombé sur une roche silicifiée, chloritisée contenant des amphiboles, 25% PO et 1% CP. Cet échantillon semble aligné avec l'indice Montagne situé environ 500 m à l'est.								
ÉQUIPE 4 :	Géologue : R. Audet	Assistant : L. Bynoe et A. Poirier	Propriété : Caumont	Claim : 2251795-2250913	Ech. De : L943046	Ech. À : L943049	BeepMat : 1	
					Ech. De : L943052	Ech. À :		
Commentaires : Prospection dans la propriété Caumont (Bloc Ouest). Les anomalies EM et MAG du secteur nord-ouest étaient ciblées. Plusieurs lithologies différentes ont été identifiées sur plus de 2 kilomètres, notamment des zones cisillées aux abords de métasédiments contenant de l'arsénopyrite (5%) ainsi qu'une zone à proximité de cette dernière à sulfures semi-massifs (CP, PO, PY). Un gabbro non minéralisé a également été cartographié ainsi que des sections à amphibolites. Une zone très schisteuse à séricite et tourmaline aux abords d'un orthogneiss à QZ-TL-GR a également été vue ainsi qu'une intrusion de gabbro aux alentours.								
PERSONNEL EXTERNE		TÂCHES			COMPAGNIE			
Zsombor Györfi		Pilote			Canadian Helicopters			
Marc-André Pouliot		Mécanicien			Canadian Helicopters			

RAPPORT JOURNALIER		Date: 19-06-2012		MÉTÉO :			
				Averses et orages passagers			
				CAMPEMENT :			
COMMENTAIRES SUR LES TRAVAUX:							
Départ du campement de la première équipe vers 10h30 et retour vers 15h30. Départ de la dernière équipe vers 11h00 et retour vers 16h15. En avant-midi, il y avait des orages et l'équipe a fait le tri des témoins et la préparation d'envois d'échantillons.							
Trois équipes sont allés faire de la cartographie et échantillonnage sur le bloc Caumont Ouest de la propriété Caumont.							
Jonathan et Louis-Philippe sont restés au campement pour faire la préparation du budget et de l'horaire de Sirmac.							
COMMENTAIRES SUR LES TRAVAUX AU CAMPEMENT:							
COMMENTAIRES SUR LA GÉOLOGIE:							
ÉQUIPE 1 :	Géologue : P. Tremblay	Assistant : C. Auger et J. Gunner	Propriété : Caumont	Claim : 2251794-2250911-2250912	Ech. De : L943050	Ech. À :	BeepMat : 1
Commentaires : Visites des anomalies EM à l'extrémité ouest du Bloc Caumont Ouest. Un seul affleurement de migmatite localement conducteur a été observé (5% PO, 5% PY et tr CP). Les EM et l'anomalie magnétique à l'extrémité ouest n'ont pas été expliqués. La forêt est très dense (aulnes et pin gris) et une couverture de sédiments glaciaires sableux est présente. En dehors de la propriété, un affleurement d'amphibolite (70-97% d'amphiboles noires et brunes) avec 2-3% de pyrrhotite est échantillonné (L943053).							
ÉQUIPE 2 :	Géologue : M.L. Michaud	Assistant : R. Ratt et J-F. Dion	Propriété : Caumont	Claim : 2250968-2250943-2250942	Ech. De : L943068	Ech. À :	BeepMat : 1
Commentaires : Prospection au nord de l'Indice Montagne dans la propriété Caumont. Le traîneau du BeepMat utilisé a commencé à être défectueux après moins d'une heure. Les deux anomalies EM associées à une anomalie magnétique de haute intensité n'ont pas pu être expliquées, car le terrain n'était pas affleurant et il était très humide (tourbière et swamp). La petite anomalie Mag au Nord-Est de l'Indice Montagne est associée à une intrusion ultramafique (péridotite) où un échantillon a été pris. Beaucoup d'affleurements de metabasalte ont aussi été observés dans le secteur.							
ÉQUIPE 3 :	Géologue : R. Audet et L. Bynoe	Assistant : A. Poirier et S. Gagnon	Propriété : Caumont	Claim : 2250912-2251794-2251795	Ech. De : L943058	Ech. À : L943062	BeepMat : 2
Commentaires : Visite des anomalies EM dans la zone nord-ouest de Caumont Ouest (continuité de la veille). Nous avons balayé principalement les flancs d'une colline sur une distance d'environ 700 mètres en direction OSO. Plusieurs affleurements ont été observés, mais peu d'anomalies sont expliquées. Le flanc sud de la colline est surtout composé d'une intrusion felsique (granite rose), contenant un peu de MG. Le flanc nord est plutôt composé de M4 avec des zones schisteuses, certaines à PO-PY-CP, d'autres avec AS. Une section centrale de gabbro à galène folié a également été échantillonnée près d'une zone cisailée et silicifiée à PO-PY et traces de CP.							
PERSONNEL EXTERNE		TÂCHES		COMPAGNIE			
Zsombor Györfi		Pilote		Canadian Helicopters			
Marc-André Pouliot		Mécanicien		Canadian Helicopters			

RAPPORT JOURNALIER	Date: 20-06-2012	MÉTÉO :	Frais et ensoleillé	
		CAMPEMENT :	Nemiscau	
COMMENTAIRES SUR LES TRAVAUX:				
Départ du campement de la première équipe vers 7h30 et retour vers 15h30. Départ de la dernière équipe vers 8h20 et retour vers 16h45.				
Trois équipes sont allées faire de la cartographie et échantillonnage sur la propriété Valiquette et une équipe est allée terminer le Bloc Lac Nemiscau.				
Samuel et Richard sont partis à 6h00 pour aller porter les échantillons chez ALS Chemex à Val d'Or. Leur retour est prévu en fin de soirée.				
COMMENTAIRES SUR LES TRAVAUX AU CAMPEMENT:				
COMMENTAIRES SUR LA GÉOLOGIE:				
ÉQUIPE 1 : Géologue : M.L. Michaud Assistant : R. Ratt et J-F. Dion Propriété : Caumont Claim : 2160855-2160857-2160858 Ech. De : L938554 Ech. À : BeepMat : 1				
Commentaires : Prospection dans la partie Est du bloc Lac Nemiscau de la propriété Caumont. L'objectif était de parcourir les anomalies magnétiques au travers des traces effectuées en 2010. Des petits affleurements de péridotite ont été observés en début de journée. Proche de la limite Est de ce bloc, deux collines de diabase sont présentes et elles sont magnétiques. Sur le versant Est de la colline Sud, une pegmatite de très grande superficie a été observée et échantillonnée. Elle contenait plusieurs minéraux accessoires (grenat, muscovite, biotite, tourmaline et apatite).				
PERSONNEL EXTERNE	TÂCHES	COMPAGNIE		
Zsombor Györfi	Pilote	Canadian Helicopters		
Marc-André Pouliot	Mécanicien	Canadian Helicopters		

RAPPORT JOURNALIER	Date: 16-08-2012	MÉTÉO :	Passages nuageux				
		CAMPEMENT :	Nemiscau				
COMMENTAIRES SUR LES TRAVAUX:							
Départ en hélico vers 8h00. La brume était au sol avant 8h00.							
Deux équipes ont fait de l'échantillonnage sur la propriété Caumont. Une équipe a fait de l'échantillonnage sur Dumulon. Une autre équipe a travaillé sur NI-7 et une autre a échantillonné la pegmatite à Lithium de NI-2.							
COMMENTAIRES SUR LES TRAVAUX AU CAMPEMENT:							
COMMENTAIRES SUR LA GÉOLOGIE:							
ÉQUIPE 1 :	Géologue : P. Tremblay et C. Auger	Assistant : J-F. Dion et D. Longshap	Propriété : Caumont	Claim : 2250948- 2250960- 2250965- 2250970	Ech. De : L943054	Ech. À : L943057	BeepMat : 1
					Ech. De : L943069	Ech. À : L943075	
					Ech. De : L943083	Ech. À : L943087	
					Ech. De : L943095	Ech. À : L943100	
					Ech. De : L943401	Ech. À : L943404	
Commentaires : Suivi sur le Bloc Caumont Ouest, autour des échantillons de juin 2012 L943077 et L943078. On peut suivre une bande de métasédiments à grenats, composé d'amphiboles, feldspaths localement épidotisés et de quartz. Cette bande est fortement oxydée et silicifiée. Elle est localement affleurante et conductrice. Sa largeur ne peut être définie clairement, mais elle s'observe sur plus de 5 m de large à quelques endroits. Entre les affleurements. le mort terrain semble épais et aucune conductivité ne peut être trouvée au Beepmat. 23 échantillons récoltés aujourd'hui. La bande est ouverte vers le SE et l'échantillonnage devra être poursuivi. La bande conductrice semble être au contact nord-ouest d'une unité de métasédiments magnétiques présentant localement des grenats, mais non oxydée et très localement minéralisée en PO-PY.							
PERSONNEL EXTERNE	TÂCHES		COMPAGNIE				
Jason Gamache	Pilote		Canadian Helicopters				

RAPPORT JOURNALIER	Date: 17-08-2012	MÉTÉO : Nuageux avec averses	
		CAMPEMENT : Nemiscau	
COMMENTAIRES SUR LES TRAVAUX:			
Départ en hélico vers 7h30 et retour à partir de 14h15 en raison des averses importantes.			
Quatre équipes ont fait de l'échantillonnage sur la propriété Caumont. Une équipe a fait de l'échantillonnage sur Valiquette.			
COMMENTAIRES SUR LES TRAVAUX AU CAMPEMENT:			
COMMENTAIRES SUR LA GÉOLOGIE:			
ÉQUIPE 1 :	Géologue : P. Tremblay et M.L.Michaud	Assistant : J-F. Dion et D. Longshap	Propriété : Caumont
			Claim : 2250948-2250965
			Ech. De : L943430
			Ech. À : L943448
			BeepMat : 1
Commentaires : Ré-échantillonnage dans un secteur de la propriété Caumont (bloc Caumont Ouest) où un échantillon pris en juin a retourné des valeurs en or et cuivre. Sur le site d'un ancien petit dynamitage, deux échantillons ont été pris dans des blocs du dynamitage qui contiennent de la chalcoppyrite dans une veine felsique. Cette veine est contenue dans un encaissant de pyroxénite amphibolitisée. Trois échantillons ont été pris dans cet encaissant où de la chalcoppyrite et de la pyrrhotite ont été observées. Une veine felsique (dans l'affleurement et non en bloc) a aussi été échantillonnée quoiqu'elle ne contenait que des traces de pyrite. Un affleurement à proximité composé de méta-sédiments avec une veine de quartz rouillée a aussi été ré-échantillonné dans les deux types de corps. En après-midi, des échantillons ont été récoltés sur l'extension sud-ouest de la bande oxydée travaillée le 16-08-2012. La bande peut être suivie sur plus de 400 mètres, mais elle est seulement localement affleurante. Beaucoup de dépôts glaciaires recouvrent le socle dans le secteur.			
ÉQUIPE 2 :	Géologue : C. Auger	Assistant : A. Bourassa	Propriété : Caumont
			Claim : 2308506-2250933
			Ech. De : L943405
			Ech. À : L943414
			BeepMat : 1
Commentaires : Retour sur l'échantillon L943005 qui a donné des valeurs en argent. Échantillonnage dans cette région comportant diverses lithologies différentes. Prises de 5 échantillons dans la région du L943005 qui ont été détecté à l'aide du BeepMat car non visible, 20-30 cm sous la mousse. On retrouve du M4 avec des bandes de F1 (PO-PY) avec traces de CP et SP? Un granite est en contact avec cette région et on y retrouve 2-3 % d'apatite et des sulfures. À proximité on retrouve du V3B ainsi que du I1G. Dans le V3B il y a quelques veines magnétiques et conductrices comportant de la pyrrhotite. La majorité des affleurements visibles sont du basalte, du M4 non minéralisé et de la pegmatite. Le secteur aux environs de L943005 a été couvert.			
ÉQUIPE 3 :	Géologue : A. Poirier	Assistant : R. Ratt	Propriété : Caumont
			Claim : 2251795-2250913
			Ech. De : L943418
			Ech. À : L943426
			BeepMat : 1
Commentaires : Traverse afin d'échantillonner un affleurement ayant une teneur en or de 0,2-0,5g/t Au. Plusieurs échantillons ont été pris sur l'affleurement et aux alentours (6 éch.) Le secteur contient plusieurs affleurements mais seulement 2 indiquent avec le BeepMat des zones minéralisées. La minéralisation se retrouve dans un métasédiment avec des micas et des grenats. Un affleurement de migmatite se retrouve un peu au nord de l'indice et un basalte à l'ouest. Le secteur minéralisé a été couvert.			
PERSONNEL EXTERNE	TÂCHES	COMPAGNIE	
Jason Gamache	Pilote	Canadian Helicopters	

ANNEXE 3: LISTE DES AFFLEUREMENTS

AFFLEUREMENT	PROPRIÉTÉ	No CARTE	UTMX Nad 83	UTMY Nad 83	Alt. (m)	Date	No CLAIM	MILIEU	DIMENSION	QUALITÉ	LITHOLOGIE 1						
											Lithologie	%	Minéralogie	Couleur fraîche	Couleur altérée	Épaisseur	Text. et/ou struct.
10073	Caumont	32N07	386032	5700153	289	2012-06-16	2160851	B	5	F	I4B	99	PX-FP-GR-PY	G7	O	M	GF-FO
10074	Caumont	32N07	386191	5700147	283	2012-06-16	2160851	B	5	F	M4	80	BO-QZ-FP-MG	G	O	M	GF-FO
10075	Caumont	32N07	386260	5700345	284	2012-06-16	2160852	B	6	F	I4I	99	PX-OL	G7	O	M	GF-FO
10076	Caumont	32N07	386351	5700422	275	2012-06-16	2160852	B	5	F	I1G	40	FP-QZ-BO-GR	BS	O	M	GG-MA
10077	Caumont	32N07	386443	5700671	278	2012-06-16	2160853	B	2	F	I4I	99	PX-OL	G7	O	M	GF-MA
10078	Caumont	32N07	386591	5700769	277	2012-06-16	2160853	B	3	F	I3A	99	AM-PG-PX-GR	G	O	M	GF-FO
10079	Caumont	32N07	386795	5701011	276	2012-06-16	2160853	B	5	F	I3A	90	FP-PX	G7	O	M	GF
10080	Caumont	32N07	386084	5700141	284	2012-06-16	2160851				I4I	99	PX-OL	G7	O	M	
40087	Caumont	32N07	387862	5701172	269	2012-06-16	2160855	V	6	R	M22	50	FP-QZ-BO-GR	B	B	DM	GG-MA-LX
40088	Caumont	32N07	387670	5701517	273	2012-06-16	2229624	B	7	R	M22	50	FP-QZ-BO-GR	B	B	DM	GG-MA-LX
40089	Caumont	32N07	387597	5701704	263	2012-06-16	2229624	B	6	R	I4I	15	MG-ST-CL-CS	V	O	M	GF-VN
40090	Caumont	32N07	387489	5701628	265	2012-06-16	2229624	B	6	R	V3B	50	CL-QZ-FP	V	VN	M	VN-GF-FO
40091	Caumont	32N07	387651	5701719	267	2012-06-16	2229624	B	5	R	I4I	95	MG-ST-CL-TC-MI	V	O	M	GM-VN-MA
50001	Caumont	32N07	385981	5699432	282	2012-06-16	2160851	B	3	R	M22	40	BO-QZ-FP	GN	G	M	GF
50002	Caumont	32N07	385950	5699607	277	2012-06-16	2160851	B	3	R	M22	80	MV-QZ-FP-BO	B	B	M	GG-VN
50003	Caumont	32N07	385522	5699551	285	2012-06-16	2160850	B	6	R	I1G	100	FP-QZ	BS	BS	A	GG
50004	Caumont	32N07	386019	5699611	274	2012-06-16	2160851	B	4	R	M22	85	BO-QZ-FP	GN	G	M	GF-FO
50005	Caumont	32N07	386370	5699661	279	2012-06-16	2160851	B	2	R	M22	40	QZ-FP-MI	G	GN	M	GF
50006	Caumont	32N07	386325	5699926	275	2012-06-16	2160851	B	3	R	M22	40	QZ-FP-MI	G	GN	M	GF
50007	Caumont	32N07	386022	5700002	289	2012-06-16	2160851	B	4	R	M22	95	QZ-FP-BO	B1	BS	M	GG-VN
50008	Caumont	32N07	385974	5700090	295	2012-06-16	2160851	B	7	R	M16	98	AM-BO-PO	GV	G5	A	FO-GF
20074	Caumont	32N09	411935	5709118	249	2012-06-17	2250970	B	3	E	M4	80	FP-BO-CL-AM-QZ-PY	G	O	MC	GF-FO
20075	Caumont	32N09	411825	5709166	246	2012-06-17	2250970	B	6	E	M4	99	AM-QZ-FP-GR-BO	G3	OE	M	GF-FO-PZ
40092	Caumont	32N09	411199	5708780	226	2012-06-17	2250965	B	2	A	M4	100	QZ-FP-GR-CL	GV	OR	DM	FP-GF
40093	Caumont	32N09	411108	5708872	225	2012-06-17	2250965	V	3	R	I1G	95	FP-QZ-MV-BO	BG	BG	M	GG
40094	Caumont	32N09	411094	5708936	227	2012-06-17	2250965	V	7	R	I4I	90	OL-ST-MG-PO	VG	NO	A	GM-MA
40095	Caumont	32N09	411253	5708940	226	2012-06-17	2250965	B	7	R	I3A	100	CL-FP-AM-PO-PY-CP	VB	VN	A	CS-VN-GM
50009	Caumont	32N09	407512	5706416	272	2012-06-17	2250917	B	5	R	V3B	30	QZ-FP-AM-PY-PO-GR	G3	GR	M	FO-GF
50010	Caumont	32N09	407172	5708320	268	2012-06-17	2250916	B	3	R	V3B	100	PY-FP-QZ-CL	G5V	G5V	M	GF-FO
20076	Caumont	32N09	411414	5708770	239	2012-06-18	2250965	B	7	E	M4	10	FP-QZ-GR-MG-BO	G4	GUO	M	GM-PO-FO
20077	Caumont	32N09	411515	5708983	249	2012-06-18	2250965	B	7	E	M4	99	FP-BO-GR-QZ-PY-PO-AS	G	O	M	GF-FO-PO
20078	Caumont	32N09	411637	5709053	243	2012-06-18	2250970	B	6	E	M4	99	FP-BO-GR-QZ-PY-PO-AS	G	O	M	GF-FO-PO
20079	Caumont	32N09	411480	5708928	242	2012-06-18	2250965	B	5	M	M4	99	AM-QZ_FP-SULF	G	E	M	GF-FO
30069	Caumont	32N09	408985	5707820	249	2012-06-18	2250957	B	1	M	I4I	99	MG-ST-MI-PO-CS-CP	G6	E	M	

AFFLEUREMENT	STRUCTURE 1			STRUCTURE 2			STRUCTURE 3			ÉCHANTILLONS	PHOTOS	REMARQUES
	Type	Direction (°)	Pendage (°)	Type	Direction (°)	Pendage (°)	Type	Direction (°)	Pendage (°)			
10073	L	55	70							L943051		Affleurement de pyroxénite, tr pyrite.
10074												Dyke de I1G dans du M4. M4 magnétique. Tr de Molybdénite dans I1G.
10075												Affleurement de péridotite magnétique, pas d'échantillon.
10076												Dyke de I1G dans I3A, magnétique.
10077												Affleurement de I4I, très magnétique, pas d'échantillon.
10078												Affleurement de métagabbro.
10079												Dyke de I1G dans I3A.
10080												Affleurement de péridotite magnétique, pas d'échantillon.
40087												Migmatite avec 50% leucosomes et 50% mélanosomes. Peu plissé. Quelques veines de quartz boudinées dans le mélanosome.
40088												Migmatite avec 80% leucosomes et 20% mélanosomes. Continuité N-S avec l'affleurement 40087.
40089				N	64	75	D	38	90	L943009-L943010	(MLM) 141-142-143-144	I4I encaissée dans V3B. La péridotite est très serpentinisée (5-7 mètres de large) et avec des veinules de chrysotile (fibreuse). Le metabasalte est folié et contient des veines de QZ-FP. Altération en CL+++ et EP+. Il est cisailé et déformé localement avec un peu de migmatite. La pegmatite a une altération K+++ . Amas de quartz décimétriques . Poches de FK décimétriques avec grains de plus de 1 cm.
40090										L943011-L943012		Les amphiboles dans la péridotite sont concentrées dans des zones altérées d'une couleur beaucoup plus vert pâle (trémolite ou actinote). Certaines zones sont avec des gros pyroxènes en relief positif. Colline d'affleurement où les deux lithologies s'entremêlent.
40091										L943014-L943015	(MLM) 145-146	Aff de I4I au nord de metabasalte. Altération ST+++ et TC+. Plusieurs veinules de magnétite et des bandes d'altération talqueuse.
50001												Affleurement (5mx5m) de migmatite. Non mag, Non conducteur, pas de sulfures. 40%: mélanosome, 60%:leucosome.
50002												Affleurement (2mx4m) de migmatite. Non mag, Non conducteur, pas de sulfures. 20%: mélanosome, 80%:leucosome.
50003	G	35										Pegmatite rosée d'environ (25mx40m) altération potassique (rosé) Non mag, Non conducteur, pas de sulfures.
50004												Affleurement (5mx8m) de migmatite. Non mag, Non conducteur. 85%Mélanosome, 15% leucosome, plusieurs pls secondaires.
50005												Affleurement (5mx3m) de migmatite. Non mag, Non conducteur. 40%Mélanosome, 60% leucosome. Altération potassique.
50006												Affleurement de migmatite. Non mag, Non conducteur. 40%Mélanosome, 60% leucosome.
50007	G	30										Affleurement de migmatite. Non mag, Non conducteur. 5%Mélanosome, 95% leucosome. Veine de quartz blanc laiteux (cm) légèrement rosé.
50008	L	40	75							L943034-L943035		Veines de quartz suivent la foliation 1à10cm plusieurs grosseurs. Veine de carbonate sur 4mx10cm de largeur. Dykes de feldpath 15cm de largeur. OF et Mag BM:3700 max par petites zones. Traces de PO.
20074	L	200	80							L943037	(JL) 043	Aff M4 avec bandes centimétriques de formations de fer, épidotisation de FP, Mag - 25000 (Beep Mat), Chloritisation de la BO dans S9, Trace Pyrite dans M4 (échantillonné), non conducteur.
20075	L	Plissé (variable)								L943038-L943039-L943040-L943042-L943078	(JL) 044-045-046	Aff de M4 avec zones fortement oxydées, Plissé, entre 2000-9000 HFR localement (zone déformée), PY-PO, traces CP.
40092										L943016	(MLM) 147-148	Conducteur HFR 26000, foliation légèrement plissée.
40093												Au contact d'une colline de péridotite, environ 20% FP gris et 60% FP blanc.
40094										L943017-L943018-L943019-L943020	(MLM) 149-150-157-158	Beaucoup d'affleurements de péridotite avec une bande d'amphibolite non-magnétique et non-conducteur à travers. Rappelle l'indice Montagne à moins de 1km à l'ouest, la bande d'amphibolite est très rouillée et a été passablement cassée antérieurement. L'amphibolite est très chloritisée et fait 1m d'épaisseur.
40095										L943021-L943022-L943023-L943065-L943066	(MLM) 159 à 166 (18juin)	Gabbro avec des zones à granulométrie plus fine (metabasalte), veines et veinules aléatoires de QZ-FP, plusieurs «spots» rouillés avec des sulfures associés à des zones de cisaillement.
50009	L	252	84							L943044-L943045	(RA) 008	Basalte silicifié avec amphiboles. SI++, OF++, léger MAG, HFR 6500. Affleurement discontinu avec plusieurs lithologies. Zone à metabasalte avec PO, zone à amphibolite, puis zone M22. Basalte minéralisé et folié.
50010	L	230	80									Pas de sulfures observés, non mag et non conducteur. Petites zones OF.
20076										L943043-L943076	(PT) 049-050	Aff. de M4 avec grenats roses porphyriques (3-7 mm). Très mag. Tr de sulf. Disséminés. HFR=-7000, mag = - 7000. Beaucoup de M22 autour.
20077	L	40	80							L943077		Aff. de M4 à porphyres de grenats (20%), 3-5% AS et 5-7% PY. Non mag, HFR = 14000 (plusieurs hautes valeurs dans le secteur), plusieurs M22 autour.
20078	L	52	90							L943080		Idem 20077, zone plus cisailée où HFR + élevé. Si+++.
20079	L	50	70							L943081-L943082		Aff. de M4 à amphiboles avec bandes de 50 cm avec HFR = 10000-22000, Si++, 2% PY-PO, Tr CP, OF++.
30069										L943088	(LPR) 088	Prêt du site 1400 et de l'échantillon 18209 (2011). Conducteur détecté en surface au BeepMat. HFR 7000. Péridotite très serpentinisée. Trace à 1% de PO, traces CP. Presque juste MG. 5% serpentine, 1% micas blancs, 1% PO, 3% chrysotile, tr CP, reste MG.

AFFLEUREMENT	PROPRIÉTÉ	No CARTE	UTMX Nad 83	UTMY Nad 83	Alt. (m)	Date	No CLAIM	MILIEU	DIMENSION	QUALITÉ	LITHOLOGIE 1						
											Lithologie	%	Minéralogie	Couleur fraîche	Couleur altérée	Épaisseur	Text. et/ou struct.
30070	Caumont	32N09	409621	5707723	255	2012-06-18	2250966	B	3	M	V3B			GV	E	M	GF
30071	Caumont	32N09	409608	5707825	252	2012-06-18	2250966	B	1	M	I4I						
30072	Caumont	32N09	409799	5707769	253	2012-06-18	2250959	B	4	R	V3B	99	QZ-FP-EP-MG- trace PY	G	G4	M	LM
30073	Caumont	32N09	409548	5708086	249	2012-06-18	2250966	B	4	R	I4B	99	AM-PX-ST-MI-BO	GV			
30074	Caumont	32N09	409448	5707986	245	2012-06-18	2250966	B	2	M			QZ-HB-PO-CP-GR-CL				
30075	Caumont	32N09	409426	5707987	238	2012-06-18	2250966	B	2	M				GN	GO	M	
40096	Caumont	32N09	411267	5709107	234	2012-06-18	2250948	B	3	M	M4	90	AM-FP-QZ-PY	NB	G	M	GM-VN
40097	Caumont	32N09	411296	5709055	241	2012-06-18	2250948	B	3	R	I1G	100	FP-QZ-MI	B	B		GG-MA
40098	Caumont	32N09	411363	5709087	242	2012-06-18	2250948	B	7	R	I4I	100	ST-MG-SF	VN	O	M	MA
40099	Caumont	32N09	411437	5709111	243	2012-06-18	2250948	B	4	R	I3A	70	CL-FP-AM	VB	GV	M	CS-GM-VN
40100	Caumont	32N09	411377	5709357	233	2012-06-18	2250948	B	4	P	V3B	50	CL-FP-QZ-AM	V	N	M	VN-BO-GF
50011	Caumont	32N08	405480	5706188	239	2012-06-18	2250913	B	3	M	M22	100	FP-QZ-BO-CL-MG	GVS	GO	M	FO-LX-MX
50012	Caumont	32N08	405399	5706025	246	2012-06-18	2250913	B	4	R	M4	100	QZ-FP-CL-MG-PY	G	O	M	GF-FO
50013	Caumont	32N08	405286	5706053	244	2012-06-18	2250913	B	4	R	M16	40	QZ-FP-AP-GR-TL-BO	GS	GS	M	GM
50014	Caumont	32N08	405266	5705947	241	2012-06-18	2250913	B	5	R	M4	100	QZ-FP-AZ-PY	G	O	M	GF-FO
50015	Caumont	32N08	405249	5705935	244	2012-06-18	2250913	B	3	M	M4	100	BO-PY-CP-PO-QZ	G7	GRO	M	GF
50016	Caumont	32N08	405207	5705887	252	2012-06-18	2250913	B	7	R	M16	100	AM-CL	G5V	G5	M	GF
50017	Caumont	32N08	404807	5705839	246	2012-06-18	2251795	B	5	R	M3	100	QZ-GR-TR-SR-BO-TL	G3	G3R	M	GF-GM-GG-SX
20080	Caumont	32N08	404007	5705426	254	2012-06-19	2251794	B	5	E	M22	99	BO-FP-QZ-PO-PY-CP	GB	OE	M	GF-FO-GM-MA
40101	Caumont	32N09	409422	5708604	239	2012-06-19	2250968	B									
40102	Caumont	32N09	410072	5708763	230	2012-06-19	2250943	B	5	R	I1G	100	FP-QZ-BO-GR	B	B	M	GG-GP-VN
40103	Caumont	32N09	410506	5708720	249	2012-06-19	2250942	B	6	R	I4I	100	ST-MG-BC-SF	VN	O	M	MA-GF
40104	Caumont	32N09	410467	5708393	245	2012-06-19	2250942	B	7	P	V3B	100	CL-FP-QZ	V	NV	M	GF-VN-PZ
50018	Caumont	32N08	404664	5705721	262	2012-06-19	2251795	B	5	R	M4	100	FP-QZ-AM-SR	G	G	M	GF-FO
50019	Caumont	32N08	404344	5705512	261	2012-06-19	2251794	B	2	A	M1	100	QZ-FP-PY-CL	V	O	M	GF-FO
50020	Caumont	32N08	404161	5705385	254	2012-06-19	2250912	B	4	M	M10	100	CL-QZ-AS-FP	V	GO	M	GF-FO
50021	Caumont	32N08	404035	5705471	251	2012-06-19	2251794	B	2	M	M10	100	QZ-FP-CL-AM	V	G	M	GM-FO
50022	Caumont	32N08	404672	5705547	237	2012-06-19	2251795	B	3	M	I1B	100	FP-QZ-BO	SB	SB	M	GM-FA
50023	Caumont	32N08	404583	5705459	241	2012-06-19	2251795	B	3	M	I1B	100	FP-QZ-BO-MV	SBN	SBN	M	GM-FA
50024	Caumont	32N08	404268	5705406	262	2012-06-19	2251794	B	5	M	M4	60	FP-QZ-BO-PY-PO-CP				
50025	Caumont	32N08	404502	5705556	277	2012-06-19	2251794	B	5	R	M4	100	TR-AM-QZ-FP	GV3	G3	M	FO-GF
40105	Caumont	32N07	387959	5701919	271	2012-06-20	2160855	B	6	R	M4	100	AM-FP-QZ-MI	G7	G	M	GF-MX
40106	Caumont	32N07	388031	5701894	271	2012-06-20	2160855	B	6	R	I4I	40	ST-MG	VG	O	M	GF
40107	Caumont	32N07	388259	5702063	261	2012-06-20	2238398	B	5	R	M22	90	AM-FP-QZ-MI	G7B	GB	M	GF(MS)-GG(LS)
40108	Caumont	32N07	388431	5702307	272	2012-06-20	2160857	B	5	M	M22	100	FP-QZ-BO	G	G	M	GF(MS)-GG(LS)
40109	Caumont	32N07	388718	5702472	308	2012-06-20	2160857	B	6	R	I3B	100	FP-PX-AM-MG-CL	VN	GO	MA	GG-DQ

AFFLEUREMENT	STRUCTURE 1			STRUCTURE 2			STRUCTURE 3			ÉCHANTILLONS	PHOTOS	REMARQUES
	Type	Direction (°)	Pendage (°)	Type	Direction (°)	Pendage (°)	Type	Direction (°)	Pendage (°)			
30070	L	60	70							L943089-L943090	(LPR) 089-090	L943089: Basalte silicifié, non conducteur, rouillé en surface, tr SF dissimulé, CL+, 10%, veine de QZ boudinée de 10 à 20cm. L943090: Basalte avec quelques passages QZ et 1 à 5% PY, basalte cisailé, HFR de 100 à 2000.
30071												Bloc arrondi 1x0.5x0.5m schisteux et très MAG.
30072										L943092		Aff 10x10m basalte avec lits MG massif. BeepMat 12000 MAG. 10% veinules épidoite, 1-3% PY grise parfois cubique, QZ-FP blanc.
30073												Méta-pyroxénite grise verdâtre, 30% amphibole blanc translucide, 40% minéraux ferromagnésien gris, 25% serpentine verte, 3% mica blanc, 2% BO.
30074										L943093	(LPR) 091	Conducteur détecté au BM en surface. Trou de 0.6m de profond, patch de rouille dans le fond sur le roc de 0.1x0.2m. HFR 30000. Très minéralisé, 45%QZ-20%HB-5%CL-25%PO-1%CP, tr GR. Prés de l'indice Montagne (même zone?). Litage bien défini.
30075										L943094	(LPR) 092-093	Trou plus de 1m de profond, roche semble extrêmement silicifiée. 22 000 HFR. Présence de graphite et jusqu'à 10% PO.
40096										L943024-L943025-L943064		Métasédiments amphibolitisés avec des veines boudinées de QZ et des veinules de QZ-FP auxquelles s'associent les sulfures. Les veines sont plissées et ne sont pas orientées. Elles sont rouillées et hématisées localement.
40097												Dimension 15x8m, affleurement de pegmatite très blanche à travers la série d'affleurements de gabbro/métabasalte. Direction de l'affleurement à 135°.
40098										L943067		Longue bande d'affleurements de péridotite en butte sur une largeur d'environ 15m.
40099												Veines de composition felsique à travers le gabbro, elles sont plissées ou boudinées.
40100												
50011												Aff de migmatite. Partie leucosome plutôt verdâtre. Sections avec beaucoup de biotite. Litage. Non conducteur, légèrement mag. Chloritisé.
50012										L943052-L943046	(RA) 010-011	Mag:185 HFR:130. Si++. Roche cisailée avec des bandes mélanosomes et leucosomes (chlorite, phyllite). Affleurement contient des boudins de roches mafiques chloritisées.
50013											(RA) 012	Non conducteur, non mag. Linéation des minéraux de biotite. Très plissé.
50014										L943047	(RA) 013	Si+++, Affleurement contenant des transpositions de foliation bien développées. Certaines zones ont une texture schisteuse et sont très chloritisées. Il ya présence de boudinage des veines de quartz. Non mag non conducteur enregistré (due au AS sûrement).
50015										L943048-L943049	(RA) 014-015	Stringers de chalcopyrite. Petites veines de quartz. HFR:15000, 30% de sulfures semi-massif. Mag+, OF++, L943049 à 1m au nord de L943048.
50016												Amphibolite très chloritisée, non mag, non conducteur et non OF. Continu sur 100m, plus loin gabbro.
50017												Quartz avec grenat et tourmaline = orthogneiss. Tourmaline en gros cristaux et dans certaines zones. OF.
20080										L943050		Aff de méta-sédiments migmatisés (M4/M22) il est localement rouillé et l'endroit échantillonné est au contact du leucosome/mélanosome. Échantillon M22 (LX+MX) avec 5% PY, 5%PO, tr CP.
40101												Piquets de claim, #1-5228596, #2-5228591, #3-5228592, #4-5228595, pas d'affleurement dans le secteur.
40102												Amas de quartz translucide ou en veines plissées.
40103										L943068		Entouré de pegmatite au pied des parois de la colline et un peu de métabasalte aussi au sud.
40104												Plusieurs veines de QZ-FP centimétriques très plissées.
50018												Affleurement M4 très silicifié dans certaines zones où le QZ monte jusqu'à 70%. D'autres zones à AM et FP avec un contenu en quartz de 20%. Aussi, zones schisteuses où la roche est altérée en sérécite. Affleurement très folié avec linéations minérales. 0 HFR. 0 mag.
50019	S	120	56							L943061		Gneiss déformé de 4m ² avec reliques porphyroblastiques de QZ et FP. Large cristaux subidioblastiques de PY jusqu'à 2 mm de diamètre. PY plus fine agrégée jusqu'à 2 cm entre foliation. HFR=2100. OF+-. Si+.
50020										L943062		Affleurement de M4 schisteux (schiste à CL) avec lentilles de QZ. Certaines zones plus schisteuses, probablement à cause du cisaillement.
50021												Schiste à CL avec 10% d'AM noire.
50022												Granitoïde banale très rosé, pas de minéralisation, légèrement mag.
50023											(RA) 017	Granitoïde rosé avec fracture. Zone de fluage avec des parties à AM et MV concentrées. Légèrement mag (MG).
50024										L943058-L943059-L943060		Grand affleurement de M4 avec un contact flou avec un gabbro plus au sud. Zones rouillées dans le M4 avec PY,PO et tr CP. Deux échantillons prélevés précédemment dans cette zone, 3 cette fois-ci. 2 avec des sulfures, l'autre du I3A avec galène.
50025												Non conducteur, non mag, non OF, mais chloritisé.
40105												Métasédiments amphibolitisés. Plusieurs affleurements à travers le bois.
40106												Alternance des deux types de lithologies dans le même secteur
40107												Petit affleurement de péridotite déjà travaillé en 2010, à travers plusieurs affleurements de migmatite.
40108												
40109												Colline (haut topo) de diabase. Borne géodésique SEBJ #79-H-745.

AFFLEUREMENT	PROPRIÉTÉ	No CARTE	UTMX Nad 83	UTMY Nad 83	Alt. (m)	Date	No CLAIM	MILIEU	DIMENSION	QUALITÉ	LITHOLOGIE 1						
											Lithologie	%	Minéralogie	Couleur fraîche	Couleur altérée	Épaisseur	Text. et/ou struct.
40110	Caumont	32N07	388774	5702525	290	2012-06-20	2160857	S	3	C	I1B	100	FP-QZ-BO	BG	G2	M	FO-GM
40111	Caumont	32N07	388888	5702501	274	2012-06-20	2160858	B	5	R	M22	100	FP-QZ-MI	GB	GB	M	GF(MS)-GG(LS)
40112	Caumont	32N07	389102	5702028	299	2012-06-20	2160858	B	5	R	I3B	100	FP-PX-AM-MG-CL	VN	GO	M	GG-DQ
40113	Caumont	32N07	389160	5702007	294	2012-06-20	2160858	B	7	R	I1G	95	FP-QZ-MV-TL-BO-GR	B	B	MA	GG-GP
20174	Caumont	32N09	411467	5708934	248	2012-08-16	2250965	B	3	R	M4	99	AM-FP-QZ-GR	GN	GE	M	GF-FO-PZ
20175	Caumont	32N09	411518	5708972	246	2012-08-16	2250965	B	4	R	M4	99	FP-QZ-GR-AM	GN	E	M	GF-FO
20176	Caumont	32N09	411597	5708886	245	2012-08-16	2250960	B	7	R	m4	90	BO-FP-QZ-MG	GN	G3	M	GF-FO
60045	Caumont	32N09	411539	5708917	241	2012-08-16	2250965	B	4	R	M4	70	FP-QZ-BO-MG	G5	GO	M	MA-GF
60046	Caumont	32N09	411640	5709057	240	2012-08-16	2250970	B	5	R	M4	100	QZ-FP-GR-PO-PY-BO	G3	GE	M	FA-GF
60047	Caumont	32N09	411590	5708962	242	2012-08-16	2250960	B	5	R	M4	80	FP-QZ-GR-BO-PY-AM	G3	GNO	M	VN-GF-FO
60048	Caumont	32N09	411477	5708984	238	2012-08-16	2250948	B	4	R	M4	100	FP-QZ-BO-PO-PY	G3	GO	M	MA-GF
20177	Caumont	32N09	411249	5709041	243	2012-08-17	2250948	B	7	R	I3A	80	AM-FP	GV5	GO	M	GF-FO
20178	Caumont	32N09	411407	5708691	240	2012-08-17	2250965	B	3	R	M4	99	FP-QZ-AM	G4	E	M	GF-FO
40136	Caumont	32N09	411270	5709109	241	2012-08-17	2250948	B	3	M	M4	95	FP-QZ-BO	G	GO	M	GF
40137	Caumont	32N09	411411	5708863	238	2012-08-17	2250965	B	2	A-M	M4	100	FP-QZ-MI	G	OR	M	GF
40138	Caumont	32N09	411169	5708792	236	2012-08-17	2250965	B	1	B	M4	100	FP-QZ-MG-PO-GR	G6	O	D	GF-MA
40139	Caumont	32N09	411198	5708787	233	2012-08-17	2250965	B	2	A-M	M4	100	FP-QZ-GR-MI	G6	OR	M	GF

AFFLEUREMENT	STRUCTURE 1			STRUCTURE 2			STRUCTURE 3			ÉCHANTILLONS	PHOTOS	REMARQUES
	Type	Direction (°)	Pendage (°)	Type	Direction (°)	Pendage (°)	Type	Direction (°)	Pendage (°)			
40110												En décrochement sur la paroi de la colline.
40111												
40112												Continuité de 40109 malgré une dépression entre les deux collines.
40113										L938554		Très gros affleurement de pegmatite qui occupe une bonne partie du versant est de la colline. Certains grenats sont noirs. En descendant la colline vers l'est, le pourcentage de M4 augmente et celui de pegmatite diminue, la pegmatite forme des dykes décimétriques.
20174										L943054-L943055-L943095	(PT) 364 à 366	Aff de M4 à grenats fortement silicifié avec quelques zones oxydées. HFR entre 400 et 2500 sur zones oxydées. Les FP sont épidotisés. Minéralisation en traces (1-2%) en PY-PO. Présence de plissement.
20175	L	220	85							L943056-L943057-L943074-L943075-L943083-L943096-L943097-L943098-L943099	(PT) 367-368	Aff de l'échantillon L943077. M4 à grenats très silicifié, oxydé. Variablement conducteur (0 à 15000). Plusieurs échantillons récoltés.
20176										L943084	(PT) 369	Aff de M4 sans grenats, magnétique, non oxydé, non conducteur. Quelques veines de pegmatite de 5 à 40 cm orientées selon la foliation.
60045										L943100	(PT) 268	M4 migmatisé avec veinule de QZ et veinule de magnétite. 5% de MG disséminé. I1G est rosé par endroit. L943100: MG disséminé, pas de sulfure, non conducteur.
60046	L	270	SUB-VERT.							L943401-L943069-L943070-L943071-L943085-L943086-L943087	(PT) 269-370 à 373	Aff de M4 à grenat sub-en-place et très fracturé. 20% de la zone est très rouillée et en relief (1m) dim 10x15m. Grenat de max 4mm. Biotite varie de traces jusqu'à 15 %. L943401: (idem) PO et PY 5% disséminé très fin, mag, cond HFR 5000, OF+++ , SI +, photo 269. L943070: (411627E, 5709067N) FP-QZ-GR-BO, 10% de SF disséminé (PO et PY), OF+, SI+, mag et conducteur. L943085: (411629E, 5709062N) M4, OF++, SI+++ , FP-GR-QZ-AM, EP+ des FP, 3% PO fine disséminée, bloc plurimétrique sub-en-place, photo 371. L943086: (411636E, 5709066N) M4 , OF+++ , SI++ , AM-QZ-GR-FP, CL+ localement, 1-2% PY, bloc plurimétrique détaché mais source locale, photo 372. L943087: (411663E, 5709096N) 2m au sud de L943078, BO-FP-QZ-CL , 3% PY, traces CP, OF++, SI+, la minéralisation semble associée aux concentrations de QZ (veinules) et à la silicification, la zone oxydée est moins large, pas de grenat. HFR 4800. L943071: (411670E, 5709107N) voir fiche de l'échantillon L943078, M4 très schisteux, FP-QZ, 50% BO, conducteur, non mag, 1% CP, 2% PY disséminé, OF+. L943069: (411632E, 5709059N), AM-FP-GR-QZ, OF+++ , SI+++ , traces de PO, faiblement mag et conducteur, très gros bloc sub en place, photo 100-0370.
60047	L	212	SUB-VERT.							L943402-L943072-L943073	(PT) 270-374	M4 en contact avec I1G, traces de sulfure max 3% en petites veinules et en placage. Présence grenats (6mm) très folié avec beaucoup de biotite. Petite veine de QZ par endroit (cm) mag, non conducteur. L943402: (411590E, 5708962N) M4 à grenat avec 1% PY, photo 270. L943072: (411581E, 5708967N) M4, SI++ , AM-FP-QZ-GR-MG, très mag, 2-3 % PY-PO finement disséminé, non conducteur, légèrement oxydé (OF-), photo 374. L943073: (411612E, 5708976N) M4, SI+++ , Gr ++, QZ-FP-GR-AM, de gros grenats de 3-6 mm sont entourés par une matrice de QZ, non mag, pas de sulfure, non oxydé.
60048										L943403-L943404		Aff de M4 10mX4m. HFR de 3000-25 000. Mag et conducteur, PO-PY disséminé (10%). Endroit fortement rouillé et silicifié avec veinules de PY, OF+++ , SI+++ . L943403: (411477E, 5708984N) M4, 8% PY disséminé et en veinules, 2% PO, HFR 3000. L943404: (411475E, 5708981N) M4 avec 2% PO disséminé et 2% PY disséminé, HFR 20 000.
20177	L	64	84	Y	90	45				L943430-L943431-L943432-L943433-L943434-L943435	(PT) 379 à 384	Grand affleurement de metabasalte (photo 379) avec quelques enclaves de pyroxénite (photo 381) verte. La foliation du métagabbro est plissée (photo 382). Sur la photo 383, on voit bien l'enclave de pyroxénite dans le métagabbro. La pyroxénite est localement fortement oxydée au contact d'une veine felsique. Elle présente 10% SF (PO-CP). La veine felsique est localement fortement minéralisée avec 10-15% CP (L943077) (photo 384). Un petit blast datant possiblement des années 1960 à 1980 a permis d'échantillonner quelques blocs. L'orientation de cette veine felsique ne peut être mesurée à cet endroit, mais plus au nord-ouest (photo 384), elle est orientée à environ 090/45. Elle est légèrement hématisée localement. La pyroxénite est complètement amphibolitisée (HB verte). (Voir dessin sur la fiche pour la localisation des échantillons sur l'affleurement.)
20178	L	206	65							L943442-L943443	(PT) 386-387	Foliation varie de 206 à 260° sur l'affleurement. Pas de grenat dans les méta-sédiments. Minéralisation semble associée à la silicification. HFR entre 1200 et 5000.
40136										L943436-L943437	(MLM) 436 à 439	Voir dessin sur la fiche pour la position des échantillons sur l'affleurement.
40137										L943438-L943439	(MLM) 440 à 443	HFR jusqu'à 5000, la surface est très altérée, la foliation est variable, présence de grenats localement, la minéralisation est très finement grenue.
40138										L943440-L943444	(MLM) 444 à 447	Il y a plusieurs blocs anguleux rouillés dans ce champ de blocs qui longe le bras du Lac Caumont, certains sont plus magnétiques que d'autres.
40139										L943445-L943446-L943447-L943448	(MLM) 448 à 457	Graphiteux localement, silicifié et présence de grenats localement.

AFFLEUREMENT	PROPRIÉTÉ	No CARTE	UTMX Nad 83	UTMY Nad 83	Alt. (m)	Date	No CLAIM	MILIEU	DIMENSION	QUALITÉ	LITHOLOGIE 1						
											Lithologie	%	Minéralogie	Couleur fraîche	Couleur altérée	Épaisseur	Text. et/ou struct.
60049	Caumont	32N08	404522	5704177	310	2012-08-17	2250933	B	2	M	M4	80	QZ-FP-AP-BO-PY-PO	GBV	NE	M	MA-GM-GF
60050	Caumont	32N08	404548	5704204	309	2012-08-17	2250933	B	2	M	M4	100	QZ-FP-BO-PY-PO	GV	B4	M	GF-MA
60051	Caumont	32N08	404567	5704210	306	2012-08-17	2250933	B	5	M	V3B	100	AM-FP-QZ-PO	NV	GNO	M	FO-GF
60052	Caumont	32N08	404530	5704417	314	2012-08-17	2250933	B	3	D	V3B	60	FP-QZ-AM-PO	GBV	GBV	M	GF-GO
60053	Caumont	32N08	404565	5704170	308	2012-08-17	2250933	B	3	D	M4	100	FP-QZ-BO-PO-PY	G3	ON	M	GM

AFFLEUREMENT	STRUCTURE 1			STRUCTURE 2			STRUCTURE 3			ÉCHANTILLONS	PHOTOS	REMARQUES
	Type	Direction (°)	Pendage (°)	Type	Direction (°)	Pendage (°)	Type	Direction (°)	Pendage (°)			
60049										L943405-L943406- L943407-L943410	(CA) 271 à 274- 277	M4, Si++, OF+++, en contact avec un granite avec apatite (2%) et avec une bande de F1 (80%) PO-PY avec FP et QZ. F1 avec trace de CP et SP. Conducteur sur 6x6m max HFR 42 000. L943405: (404522E, 5704177N) M4, OF +++, Si++, HFR 4000, 35% PY-PO trace apatite, pris à la même place que L943005, photo 271. L943406: (404523E, 5704178N), bande de F1 (PO-PY) 80 % avec FP, QZ, reflet verdâtre, traces de CP, HFR 42 000, sous mousse environ 30cm, photo 272. L943407: (404522E, 5704176N) I1B, FP-QZ-AP 2% disséminé, traces de CP-PO-PY, conducteur et mag, HFR 2000. L943410: (404607E, 5704242N), bloc sub-arrondi 80% SF idiomorphe (PY-PO), mag et conducteur, à grains grossiers, HFR 15 000, sous 25 cm de mousse couleur gris-vert, traces de AP?, photo 277.
60050										L943408	(CA) 275	L943408: (404548E, 5704204N) M4 gris-vert avec veine de QZ, 50 % de sulfure en veinules et PY cubique (0,4cm) traces de SP?, mag, OF+++, HFR 16000, FP-QZ-PY-PO-SP-BO en feuillet, photo 275.
60051										L943409	(CA) 276	Basalte de dimension de 20x10m en contact avec intrusion felsique (granite). Quelques endroit rouillés de couleur brun marron car veine magnétique et conductrice riche en PO. L943409: (404567E, 5704210N) Partie plus rouillée du V3B riche en PO (20%) d'une largeur de 5cm, PO disséminé, Si++, AM-FP-QZ(5%)-PO(20%) mag et conducteur, HFR 1000, photo 276.
60052										L943411	(CA) 278	Basalte avec ségrégation des minéraux mafiques et felsiques + intrusion de pegmatique. Mag, non conducteur, 2% PO disséminé dans V3B. L943411: (404530E, 5704417N) 2% PO diss, non conducteur, mag, OF+, Si+++, photo 278.
60053										L943412-L943414	(CA) 279	M4 sub-en-place 3% PY et PO, en contact avec I1G, OF+++, non conducteur, mag. L943412: (404565E, 5704170N) 3% PY et PO, en contact avec I1G, OF+++, non conducteur, mag. L943414: (404548E, 5703864N) QZ-FP-BO-GR(3%)+ SF (5%) disséminé PO et PY, massif, OF +++, SI +++, conducteur et mag.

ANNEXE 4: LISTE DES ÉCHANTILLONS ET ANALYSES

Table 1 : Analyses pour les métaux de base et métaux précieux

Table 2 : Analyses pour pegmatite (Lithium et éléments des terres rares)

Échantillon	Type d'échantillon	AFF / BLOC	UTMX (Nad 83)	UTMY (Nad 83)	Date	Géologue / Assistant	No Fiche Aff	Cellule	Lithologie	Minéralogie	Minéralisation	Altération
L943009	GRAB	AFF	387607	5701706	2012-06-16	PT/MLM/JFD	40089	2229624	I4I	SP/MG/CL		
L943010	GRAB	AFF	387609	5701648	2012-06-16	PT/MLM/JFD	40089	2229624	V3B	AM/CL/QZ/FP	PY	EP+/OF
L943011	GRAB	AFF	387489	5701628	2012-06-16	PT/MLM/JFD	40090	2229624	I4I	AM/MG		
L943012	GRAB	AFF	387500	5701624	2012-06-16	PT/MLM/JFD	40090	2229624	I4I	MG/PX/ST		
L943014	GRAB	AFF	387654	5701712	2012-06-16	PT/MLM/JFD	40091	2229624	I4I	MG/AM/ST/TC/CL/MV	MG	
L943015	GRAB	AFF	387628	5701702	2012-06-16	PT/MLM/JFD	40091	2229624	I4I	CL/MG/BO		CL+++
L943016	GRAB	AFF	411194	5708779	2012-06-17	MLM/JFD/RR	40092	2250965	M4	QZ/FP/GR	PO	SI++/CL+
L943017	GRAB	AFF	411087	5708913	2012-06-17	MLM/JFD/RR	40094	2250965	I4I	ST/MG/BC	PO	
L943018	GRAB	AFF	411132	5708975	2012-06-17	MLM/JFD/RR	40094	2250965	M16	CL/AM	PO/CP	CL+++
L943019	GRAB	AFF	411090	5708926	2012-06-17	MLM/JFD/RR	40094	2250965	I4I	OL/ST/MG	PO	
L943020	GRAB	AFF	411193	5708991	2012-06-17	MLM/JFD/RR	40094	2250948	I3A	AM/FP/CL	PO/CP	
L943021	GRAB	AFF	411246	5708921	2012-06-17	MLM/JFD/RR	40095	2250965	I3A	CL/FP/AM	PO/CP	SI+
L943022	GRAB	AFF	411247	5709038	2012-06-17	MLM/JFD/RR	40095	2250948	I1	FP/QZ	PY	
L943023	GRAB	AFF	411266	5709045	2012-06-18	MLM/JFD/RR	40095	2250948	I3A	FP/AM/CL	PO/CP	
L943024	GRAB	AFF	411267	5709107	2012-06-18	MLM/JFD/RR	40096	2250948	M4	AM/FP/QZ	PY	
L943025	GRAB	AFF	411267	5709107	2012-06-18	MLM/JFD/RR	40096	2250948	I1N	QZ/CL	PO/PY	
L943034	GRAB	AFF	385974	5700090	2012-06-16	RA/AP/CA	50008	2160851	I4Q	AM/GR/CB/QZ		
L943035	GRAB	AFF	385964	5700075	2012-06-16	RA/AP/CA	50008	2160851	M16	AM/FP/MG	PO	OF
L943036	GRAB	BLOC	412961	5709353	2012-06-17	PT/JL		2250956	M4	MG/AM/QZ/FP		
L943037	GRAB	AFF	411935	5709118	2012-06-17	PT/JL	20074	2250970	M4/S9	MG/QZ/AM/FP	PY	
L943038	GRAB	AFF	411850	5709130	2012-06-17	PT/JL	20075	2250970	M4	AM/FP/QZ	PO/PY	SI+++/OF
L943039	GRAB	AFF	411825	5709166	2012-06-17	PT/JL	20075	2250970	M4	AM/FP/GR/QZ	PY/PO/CP	OF+++
L943040	GRAB	AFF	411821	5709166	2012-06-17	PT/JL	20075	2250970	M4	AM/FP/GR/QZ	PY/PO	GR++/OF+/SI+
L943042	GRAB	AFF	411808	5709136	2012-06-17	PT/JL	20075	2250970	M4	AM/FP/GR/QZ	PY/PO	SI++
L943043	GRAB	AFF	411414	5708770	2012-06-18	PT/JL	20076	2250965	M4	GR/MG/FP/BO/QZ	PY	
L943044	GRAB	AFF	407512	5706416	2012-06-17	RA/CA/AP	50009	2250917	V3B	QZ/FP/AM	PY/PO	SI++/OF+
L943045	GRAB	AFF	407564	5706441	2012-06-17	RA/CA/AP	50010	2250917	V3B	QZ/FP/AM	PY/PO	SI++/OF+
L943046	GRAB	AFF	405399	5706025	2012-06-18	RA/LB/AP	50012	2250913	M4	QZ/FP/GR/MG/MI	PY	SI-/OF++
L943047	GRAB	AFF	405270	5705949	2012-06-18	RA/LB/AP	50014	2250913	M4	QZ/FP	PY/AS	OF+
L943048	GRAB	AFF	405249	5705935	2012-06-18	RA/LB/AP	50015	2250913	M4	QZ/BO/PO/GP	PY/PO/CP	OF++/SI+/MAG +
L943049	GRAB	AFF	405249	5705935	2012-06-18	RA/LB/AP	50015	2250913	M4	QZ/GR/FP	AS	
L943050	GRAB	AFF	404007	5705426	2012-06-19	PT/CA/JG	20080	2251794	M22	BO/FP/QZ	PO/PY/CP	
L943051	GRAB	AFF	386032	5700153	2012-06-16	JL/LB/SG	10073	2160851	I4B	FP/PX/GR	PY	

Échantillon	Description	Certificat	Cu-OG46	Au-TL43	PGM-ICP23			ME-MS41				
			Cu	Au	Au	Pt	Pd	Ag	Al	As	Au	B
			%	ppm	ppm	ppm	ppm	ppm	%	ppm	ppm	ppm
L943009	Péridotite magnétique, pas de sulfures.	VO12147437			0.002	-0.005	-0.001	0.04	0.5	0.5	-0.2	-10
L943010	Métabasalte amphibolitisé avec traces de pyrite. Légèrement oxydé.	VO12147437			0.001	0.006	0.004	0.06	0.94	4.6	-0.2	-10
L943011	Zone de contact entre I4I et V3B. Couleur vert pâle.	VO12147437			0.001	-0.005	0.001	-0.01	0.07	11.7	-0.2	-10
L943012	Péridotite, pas SF observé.	VO12147437			0.001	0.007	0.001	0.01	0.11	15	-0.2	30
L943014	Péridotite dans zone foliée et altérée avec présence de veines millimétriques (2-5mm) de magnétite.	VO12147437			0.001	-0.005	-0.001	0.01	0.02	4.8	-0.2	50
L943015	Bande de 20 cm très altérée en chlorite verte. Non folié.	VO12147437			-0.001	-0.005	-0.001	0.01	2.66	1	-0.2	-10
L943016	M4 silicifiés et légèrement chloritisés, 10% PO, HFR 26 000.	TB12148418		0.003				0.29	1.77	4.8	-0.2	-10
L943017	Péridotite noire, traces de sulfures dans les plans plus altérés.	VO12147437			0.001	0.047	0.044	0.05	0.63	8.4	-0.2	10
L943018	Amphibolite très chloritisée avec 8% PO et 2% CP disséminés, très faiblement conducteur.	VO12147437			0.003	0.053	0.15	0.28	1.69	2.7	-0.2	-10
L943019	Péridotite grise avec des traces PO.	VO12147437			0.001	0.011	0.011	0.03	0.99	10.6	-0.2	20
L943020	Gabbro avec 3% PO et traces de CP disséminés.	VO12147437			0.014	0.093	0.216	0.43	1.19	1	-0.2	-10
L943021	Gabbro silicifié avec 2% PO et 1% CP disséminés.	VO12147437			0.023	0.021	0.006	1.04	0.88	33.4	-0.2	-10
L943022	Veine felsique encaissée dans le gabbro dans une zone de cisaillement, 15% PY, ancien site de travaux où cette veine a été dynamitée, l'échantillon a été pris dans un bloc angulaire sub en place.	TB12148418 / VO12232119	4.02	0.917	1.095	-0.005	1.945	15.4	1.28	0.8	0.7	-10
L943023	3% PO, traces CP disséminés.	VO12147437			0.004	0.03	0.08	0.11	0.39	0.7	-0.2	-10
L943024	Riche en amphibole, 2% PY en veinules.	TB12148418		0.001				0.1	0.63	1.3	-0.2	-10
L943025	1% PO, 1% PY disséminés.	TB12148418		0.002				0.19	0.26	2.6	-0.2	-10
L943034	Petites veines dans une M16.	TB12148418		-0.001				0.01	1.1	5.3	-0.2	-10
L943035	Un peu magnétique sur quelques zones de l'affleurement, PO disséminée.	VO12147437			0.003	0.006	0.002	0.59	0.93	2	-0.2	-10
L943036	Bloc subarrondi de 0,6 x 0,6 x 0,6m. M4 magnétique. Pas de sulfures.	TB12148418		0.001				0.03	0.2	0.9	-0.2	-10
L943037	Affleurement interlité entre bandes de magnétite massive et métasédiment. 1% pyrite dans M4.	TB12148418		0.001				0.14	2.5	3.4	-0.2	-10
L943038	M4 silicifié, plissé avec 5% PO et tr PY.	TB12148418		0.005				0.52	1.6	82.8	-0.2	-10
L943039	M4 fortement plissé avec zone très conductrice dans les secteurs les plus déformés. HFR 8000. 20% PY-PO, tr CP.	TB12148418		0.007				0.62	1.36	2.4	-0.2	-10
L943040	M4 à grenats silicifié et oxydé. HFR 2000. Tr PY-PO fine disséminée.	TB12148418		0.001				0.17	2.4	3.8	-0.2	-10
L943042	M4 à GR, HFR 23000. 5% PY-PO.	TB12148418		0.007				0.47	1.28	0.8	-0.2	-10
L943043	Métasédiment à grenats (20%) idiomorphes (3-7mm) et traces de pyrite.	TB12148418		-0.001				0.1	2.09	8.6	-0.2	-10
L943044	Métabasalte amphibolitisé avec traces de pyrite et pyrrhotite. Légèrement MAG et conducteur.	VO12147437			0.003	0.005	0.003	0.15	2.24	9.4	-0.2	-10
L943045	Métabasalte amphibolitisé avec traces de pyrite et pyrrhotite. Légèrement MAG et conducteur.	VO12147437			0.005	-0.005	0.001	0.21	0.8	8.9	-0.2	-10
L943046	HFR: 130, faiblement magnétique.	TB12148418 / VO12232119		0.239	0.203	-0.005	0.006	0.08	2.49	605	0.2	-10
L943047	Non conducteur, non magnétique.	TB12148418		0.012				0.37	1.79	2250	-0.2	-10
L943048	HFR:15000, sulfures semi-massifs abondants.	TB12148418		-0.001				1.08	1.09	33.6	-0.2	-10
L943049	HFR:160, Traces AS.	TB12148418		0.006				0.31	2.41	349	-0.2	-10
L943050	Migmatite dont le leucosome et le mélanosome présentent des sulfures. 5% PO, 5% PY et tr CP. HFR 8000.	TB12148418		-0.001				0.75	0.64	32.8	-0.2	-10
L943051	Pyroxénite faiblement magnétique avec traces de pyrite.	VO12147437			0.002	-0.005	0.001	0.18	1.75	0.4	-0.2	-10

Échantillon	ME-MS41																								
	Ba	Be	Bi	Ca	Cd	Ce	Co	Cr	Cs	Cu	Fe	Ga	Ge	Hf	Hg	In	K	La	Li	Mg	Mn	Mo	Na	Nb	Ni
	ppm	ppm	ppm	%	ppm	ppm	ppm	ppm	ppm	ppm	%	ppm	ppm	ppm	ppm	ppm	%	ppm	ppm	%	ppm	ppm	%	ppm	ppm
L943009	-10	0.24	0.95	0.19	0.04	0.39	33.8	91	5.19	114	1.76	1.76	0.05	-0.02	-0.01	0.005	0.01	0.2	4.7	1.57	143	0.26	0.03	-0.05	659
L943010	10	0.11	0.04	1.8	0.06	2.81	14.7	21	0.54	52.2	0.88	2.34	0.07	0.1	-0.01	0.008	-0.01	1.3	8.5	0.54	196	0.31	0.03	0.16	37
L943011	-10	0.06	0.08	0.14	0.02	0.15	10.3	99	0.22	3.1	0.86	0.68	-0.05	-0.02	-0.01	-0.005	-0.01	-0.2	1	1	59	0.14	0.02	-0.05	54.9
L943012	-10	0.15	0.59	0.14	0.04	0.76	44.1	184	0.61	1.8	2.88	0.72	0.12	-0.02	-0.01	0.006	-0.01	0.4	1.6	5.6	237	0.1	0.02	-0.05	618
L943014	-10	0.11	0.02	0.83	0.04	0.49	82.9	276	-0.05	1.3	4.9	0.33	0.19	-0.02	-0.01	0.008	-0.01	0.2	2.1	20.1	439	0.32	0.02	0.06	2170
L943015	-10	0.08	0.01	0.07	0.03	4.42	79	130	0.42	2.1	6.24	4.99	0.14	0.07	-0.01	0.016	-0.01	1.8	1	5.61	345	0.05	0.02	0.08	222
L943016	10	0.23	0.27	0.3	0.12	15.65	15.1	19	2.84	78.5	10.3	8.14	0.26	0.04	0.02	0.005	0.11	8	66.3	0.83	1450	0.65	0.05	0.52	32.4
L943017	-10	0.29	0.2	0.07	0.01	0.7	58.6	1150	1.35	7.6	6.48	1.48	0.22	0.02	-0.01	0.009	-0.01	0.3	1.1	8.22	593	0.08	0.02	0.06	709
L943018	-10	-0.05	0.49	0.71	0.1	0.52	76.7	89	0.6	1190	3.56	2.44	0.11	0.02	-0.01	0.012	0.01	0.3	66.6	2.03	247	0.27	0.11	-0.05	524
L943019	-10	0.43	0.26	0.07	0.03	0.94	88.1	905	1.56	46.6	6	1.97	0.37	0.02	-0.01	0.01	-0.01	0.4	1.7	9.58	581	0.14	0.02	0.06	1040
L943020	10	-0.05	0.19	0.36	0.17	0.26	52.3	113	3.16	1260	2.52	1.65	-0.05	-0.02	-0.01	0.008	0.09	0.2	80.4	1.04	123	0.17	0.06	-0.05	430
L943021	10	0.07	0.95	0.69	0.18	45	55.2	34	0.82	2480	3.71	1.44	0.13	0.02	-0.01	0.024	0.03	33.6	89.8	0.64	113	1.49	0.04	0.06	2320
L943022	30	1.69	6.29	0.37	2.49	1.29	18	3	12.25	>10000	5.61	5.8	0.16	0.27	0.02	1.115	0.22	0.8	88.1	1.04	164	1.16	0.03	0.23	76.5
L943023	10	-0.05	0.09	0.32	0.1	5.93	36.9	14	2.5	594	1.44	0.74	-0.05	-0.02	-0.01	0.006	0.08	2.7	21	0.19	43	0.14	0.03	0.05	234
L943024	10	0.1	0.21	0.66	0.03	5.86	21.9	9	1.09	298	2.79	2.76	0.1	0.08	-0.01	0.012	0.05	3	21.8	0.46	222	0.58	0.07	0.29	18.7
L943025	-10	0.08	0.27	0.31	0.01	1.89	6.2	14	0.4	313	1.11	1.18	-0.05	0.03	0.01	-0.005	0.02	1.5	4.2	0.08	57	2.05	0.02	0.16	5.9
L943034	10	0.16	0.06	2.55	0.1	1.24	10.4	18	0.33	3.4	1.34	2.9	0.07	0.09	-0.01	0.007	0.01	0.6	9	0.41	360	0.52	0.05	0.18	15.6
L943035	10	0.05	0.07	0.69	0.09	3.48	30.9	38	0.61	386	2.91	3.43	0.07	0.09	-0.01	0.017	0.05	1.4	18.8	0.62	252	0.37	0.12	0.13	67.5
L943036	10	0.16	0.05	0.27	0.03	6.97	4.2	10	3.75	30.4	2.59	1.02	0.09	-0.02	-0.01	0.015	0.03	3.6	0.5	0.1	108	0.31	0.01	0.12	14.5
L943037	130	0.42	0.43	0.31	0.01	17.85	12.9	83	10.3	56.7	11.2	9.59	0.55	0.07	0.02	0.005	0.68	8.5	91.1	1.31	642	0.54	0.03	0.47	46.5
L943038	20	0.11	0.46	0.23	0.02	8.93	23.6	105	0.54	94.7	6.29	6.27	0.13	0.06	0.01	0.007	0.06	4.9	43.4	0.99	797	1.3	0.03	0.51	47.5
L943039	10	0.13	0.83	0.18	0.08	12.35	49.4	53	1.01	408	22.6	4.28	0.47	0.09	0.03	0.007	0.06	6.5	56.4	1.04	589	1.06	0.02	0.88	104
L943040	40	0.22	0.29	0.36	0.14	17.45	11.9	138	2.12	101	7.26	7.03	0.18	0.13	0.01	0.007	0.13	8.9	93.9	1.47	1670	1.07	0.05	0.41	33.9
L943042	10	0.17	0.19	0.38	0.31	16.65	12.8	20	1.73	66.7	9.5	5.09	0.26	0.06	0.01	0.014	0.07	9.4	35.5	0.67	1220	0.79	0.05	0.52	18.4
L943043	140	0.28	0.38	0.46	0.02	11.05	9.3	53	20.5	16.1	12.2	13.1	0.73	0.08	0.02	0.014	0.72	4.9	91.6	0.81	232	0.85	0.03	0.49	32.9
L943044	10	0.13	0.3	0.56	0.33	10.9	30.6	180	1.36	103	5.31	6.38	0.1	0.06	-0.01	0.024	0.08	5.3	72.4	1.42	549	0.71	0.12	0.25	96.7
L943045	10	-0.05	0.7	0.51	0.18	3.46	51.4	31	0.53	582	7.97	1.85	0.11	0.06	-0.01	0.008	0.05	1.8	14.3	0.31	293	1.04	0.05	0.31	131.5
L943046	40	0.29	0.08	0.36	0.57	12.05	51.8	316	1.46	40.1	5.11	8.03	0.15	0.05	0.01	0.023	0.16	5.6	81.1	1.25	1240	0.5	0.05	0.33	168
L943047	10	0.28	1.92	0.25	8.98	20.8	52.6	269	0.98	342	5.06	7.71	0.15	0.1	0.01	0.34	0.08	10.2	107	1.6	479	3.88	0.04	0.65	160
L943048	10	0.34	2.03	0.1	0.24	9.28	84.3	109	1.2	990	26.5	6.08	0.64	0.06	0.03	0.046	0.07	4.3	80.2	0.85	612	2.21	0.01	0.7	250
L943049	10	0.34	0.31	0.23	0.09	5.33	41.3	105	8.09	31.5	5.99	5.82	0.16	0.02	0.01	0.016	0.29	2.1	123	0.81	1070	0.46	0.01	0.28	89.6
L943050	-10	0.28	11.25	0.08	0.13	2.59	34.9	168	0.73	315	9.9	6.18	0.17	0.03	0.01	0.034	0.06	1.3	15.4	0.3	246	2.41	0.01	0.92	95.1
L943051	-10	0.14	0.27	1.35	0.07	11.25	27.3	17	0.49	306	3.96	4.38	0.12	0.14	-0.01	0.025	0.03	5.5	41.9	0.88	400	0.25	0.22	0.17	27.5

Échantillon	ME-MS41																				
	P	Pb	Rb	Re	S	Sb	Sc	Se	Sn	Sr	Ta	Te	Th	Ti	Tl	U	V	W	Y	Zn	Zr
	ppm	ppm	ppm	ppm	%	ppm	ppm	ppm	ppm	ppm	ppm	ppm	ppm	ppm	%	ppm	ppm	ppm	ppm	ppm	ppm
L943009	20	1	4.9	-0.001	0.24	-0.05	0.8	0.5	0.5	0.7	-0.01	0.06	-0.2	0.015	0.13	0.2	18	0.05	0.45	12	-0.5
L943010	210	0.9	0.7	-0.001	0.06	0.1	3.8	0.4	-0.2	21.6	-0.01	0.02	-0.2	0.125	-0.02	-0.05	30	0.3	4.93	10	2.1
L943011	160	0.5	0.2	-0.001	0.03	-0.05	0.5	-0.2	-0.2	0.7	-0.01	-0.01	-0.2	-0.005	-0.02	0.1	3	1	0.07	8	-0.5
L943012	20	0.5	0.4	-0.001	0.03	-0.05	1.3	-0.2	0.3	0.9	-0.01	0.03	-0.2	-0.005	0.02	1.89	6	0.17	0.58	11	-0.5
L943014	20	0.6	-0.1	-0.001	0.02	0.06	3.7	-0.2	0.5	0.9	-0.01	0.02	-0.2	-0.005	-0.02	0.11	3	0.63	0.21	18	-0.5
L943015	280	0.9	0.6	-0.001	0.01	-0.05	16.7	0.2	1.2	0.8	-0.01	0.01	0.5	0.078	-0.02	0.15	180	0.11	4.13	14	2.8
L943016	240	3	11.9	0.002	4.63	-0.05	1.6	0.8	-0.2	9.7	-0.01	0.08	1.4	0.078	0.11	0.24	24	1.06	1.28	62	1.5
L943017	40	0.8	0.4	-0.001	0.07	0.1	5.1	0.2	3.7	0.3	-0.01	0.03	-0.2	0.02	0.03	-0.05	67	0.24	1.29	36	0.7
L943018	90	0.7	0.6	0.004	1.28	0.07	2.9	3	-0.2	2.9	-0.01	0.28	-0.2	0.019	0.11	-0.05	18	-0.05	0.62	24	0.7
L943019	50	0.8	0.6	-0.001	0.25	0.09	7.2	0.4	4.6	0.2	-0.01	0.07	-0.2	0.015	0.09	0.2	46	0.42	1.63	35	0.8
L943020	30	2.1	14.9	0.001	0.79	-0.05	2.1	2.8	-0.2	4.1	-0.01	0.35	-0.2	0.015	0.17	0.13	13	-0.05	0.3	25	-0.5
L943021	960	1.9	4	0.006	2.5	0.05	2.6	6.7	0.3	6.7	-0.01	1.05	0.9	0.012	0.22	2.17	18	0.21	2.11	22	0.6
L943022	1580	25.5	51	0.001	2.6	0.17	0.4	20.5	1.3	7.4	0.02	15.25	1.6	-0.005	0.57	1.05	6	0.06	0.36	127	2.1
L943023	20	0.8	15.3	0.001	0.6	-0.05	1.8	1.2	-0.2	7.2	-0.01	0.16	-0.2	0.022	0.09	-0.05	7	0.05	0.36	20	-0.5
L943024	430	1.2	5.1	0.001	0.61	0.06	6.1	2.1	-0.2	5.6	-0.01	0.2	0.4	0.141	0.05	0.24	56	0.17	5.09	18	1.5
L943025	170	1.1	2.2	0.001	0.2	0.05	1	1.4	-0.2	4.5	-0.01	0.25	-0.2	0.042	-0.02	0.22	10	5.71	1.37	4	0.5
L943034	370	1.4	1.7	-0.001	0.04	-0.05	5	0.2	0.6	12.4	-0.01	0.01	-0.2	0.072	-0.02	-0.05	39	0.92	5.42	23	2.8
L943035	370	3.8	7.2	0.003	0.49	-0.05	8.1	1.3	-0.2	2.8	-0.01	0.06	0.6	0.125	0.06	0.19	68	0.32	4.71	36	1.6
L943036	590	0.7	2.8	0.002	0.22	0.06	0.7	1.1	-0.2	5.5	-0.01	0.12	0.8	0.008	0.02	0.21	6	0.06	1.72	9	0.7
L943037	680	3.2	85.8	0.001	0.32	-0.05	5.8	0.7	0.3	15.9	-0.01	0.08	3	0.165	0.51	0.64	61	0.45	4.67	68	2.7
L943038	340	16.7	5.2	0.001	2.63	0.5	3.5	1.1	-0.2	6.7	-0.01	0.12	1.7	0.123	0.05	0.67	48	0.75	1.75	35	2.7
L943039	180	2.1	3.5	0.003	>10.0	-0.05	3.5	2.5	0.2	3.9	-0.01	0.36	1.7	0.079	0.03	0.91	32	0.75	3.97	47	3.6
L943040	250	3.2	7.6	0.002	2.6	0.05	6.2	0.8	0.2	11.8	0.01	0.07	3.1	0.157	0.07	1.24	84	0.34	3.26	107	5.3
L943042	180	4.7	6.5	0.002	4.84	0.08	1.3	6.6	0.4	5.4	-0.01	0.17	2.4	0.062	0.06	0.51	15	0.31	1.82	88	2.3
L943043	1620	5.5	69.9	0.001	0.12	-0.05	3.5	0.4	0.6	11.5	-0.01	0.08	3.3	0.153	0.47	0.7	60	0.49	1.89	53	3.1
L943044	230	5.9	5.1	0.002	2.17	0.14	4.5	1.6	0.3	16	-0.01	0.27	2.3	0.158	0.08	0.74	91	0.4	2.62	195	2
L943045	220	1.5	4.9	0.004	4.45	0.25	2	2.6	2.4	5.2	-0.01	0.48	0.6	0.087	0.04	2.06	23	0.7	3.59	45	1
L943046	140	4.2	9	0.003	0.48	0.25	9.4	0.7	0.5	17.2	0.01	0.18	2.2	0.146	0.1	0.47	137	0.65	2.75	227	2
L943047	320	16.6	7.9	0.009	1.6	0.31	9.1	3.3	1.4	4	0.01	0.18	4.9	0.18	0.21	0.97	86	0.81	5.46	1930	3.9
L943048	210	6.1	7.5	0.007	>10.0	0.06	7.1	6.8	2.6	1.8	-0.01	0.41	2.2	0.053	0.07	2.97	53	0.45	3.91	421	2.2
L943049	220	0.5	41.1	0.002	0.3	0.24	7.4	0.8	1.1	1.5	0.01	0.13	0.5	0.192	0.45	0.27	85	0.41	3.99	133	-0.5
L943050	190	10.7	9.3	0.004	6.3	0.06	4.9	3.1	0.7	0.8	0.01	0.1	0.7	0.048	0.05	3.23	29	0.27	2.24	65	1.1
L943051	650	1.2	2.7	0.001	0.49	0.05	11.8	2.1	0.2	10.2	0.01	0.08	0.7	0.14	0.02	0.14	94	0.29	9.03	28	2.2

Échantillon	Type d'échantillon	AFF / BLOC	UTMX (Nad 83)	UTMY (Nad 83)	Date	Géologue / Assistant	No Fiche Aff	Cellule	Lithologie	Minéralogie	Minéralisation	Altération
L943052	GRAB	AFF	405399	5706025	2012-06-18	RA/LB/AP	50012	2250913	M4	QZ/GR/FP	MG	CL++
L943054	GRAB	AFF	411467	5708934	2012-08-16	PT/CA/JFD/DL	20174	2250965	M4	AM/FP/QZ/GR	PO/PY	SI++/OF++/EP++
L943055	GRAB	AFF	411466	5708932	2012-08-16	PT/CA/JFD/DL	20174	2250965	M4	AM/FP/QZ	PO/PY	SI++/OF++
L943056	GRAB	AFF	411516	5708977	2012-08-16	PT/CA/JFD/DL	20175	2250965	M4	AM/FP/QZ/GR	PO/PY	SI+++/OF++/EP++
L943057	GRAB	AFF	411518	5708972	2012-08-16	PT/CA/JFD/DL	20175	2250965	M4	MV/FP/QZ/BO/GR	AS	OF+++/SI+++
L943058	GRAB	AFF	404280	5705431	2012-06-19	RA/SG	50024	2251794	M4	FP/QZ	PO/PY	
L943059	GRAB	AFF	404288	5705392	2012-06-19	RA/SG	50024	2250912	I3A	PG/AM	GL	
L943060	GRAB	AFF	404268	5705392	2012-06-19	RA/SG	50024	2250912	M4	FP/QZ/BO	PO/PY/CP	
L943061	GRAB	AFF	404341	5705512	2012-06-19	LB/AP	50019	2251794	M1	FP/QZ/CL	PY	OF+++
L943062	GRAB	AFF	404161	5705385	2012-06-19	LB/AP	50020	2250912	M10	QZ/FP/CL	AS	CL+++
L943064	GRAB	AFF	411267	5709107	2012-06-18	MLM/JFD/RR	40096	2250948	M4	AM/FP/QZ	PO/PY/CP	
L943065	GRAB	AFF	411266	5709045	2012-06-18	MLM/JFD/RR	40095	2250948	I3A	AM/MI/CL	PO/CP	CL+
L943066	GRAB	AFF	411246	5709045	2012-06-18	MLM/JFD/RR	40095	2250948	I3A	AM/MI/CL	PO/CP	CL+++
L943067	GRAB	AFF	411404	5709085	2012-06-18	MLM/JFD/RR	40098	2250948	I4I	ST/MG	SF	
L943068	GRAB	AFF	410505	5708715	2012-06-19	MLM/JFD/RR	40103	2250942	I4I	ST/MG/BC	SF	ST+++
L943069	GRAB	BLOC (sub en place)	411632	5709059	2012-08-16	PT/CA/JFD/DL	60046	2250970	M4	AM/FP/GR/QZ	PO	OF+++/SI++
L943070	GRAB	AFF	411627	5709067	2012-08-16	PT/CA/JFD/DL	60046	2250970	M4	FP/QZ/GR/BO	PO/PY	OF+/SI+
L943071	GRAB	AFF	411670	5709107	2012-08-16	PT/CA/JFD/DL	60046	2250970	M4	FP/QZ/BO	CP/PY	OF+
L943072	GRAB	AFF	411581	5708967	2012-08-16	PT/CA/JFD/DL	60047	2250960	M4	AM/FP/QZ/GR/MG	PO/PY	SI++/OF-
L943073	GRAB	AFF	411612	5708976	2012-08-16	PT/CA/JFD/DL	60047	2250960	M4	QZ/FP/GR/AM		GR++/SI+++
L943074	GRAB	AFF	411485	5708931	2012-08-16	PT/CA/JFD/DL	20174	2250965	M4	AM/FP/QZ/GR	PO	OF+++/SI+++
L943075	GRAB	AFF	411476	5708924	2012-08-16	PT/CA/JFD/DL	20174	2250965	M4	FP/QZ/GR/SF	PO/PY	OF++/SI+
L943076	GRAB	AFF	411566	5708901	2012-06-18	PT/JL	20076	2250960	M4	MG/GR/FP/BO/QZ	PY	
L943077	GRAB	AFF	411515	5708983	2012-06-18	PT/JL	20077	2250948	M4	GR/FP/QZ/BO/CL	PY/AS	CL+
L943078	GRAB	AFF	411660	5709099	2012-06-18	PT/JL	20075	2250970	M4	FP/BO/QZ	PO/PY/CP	SI+++
L943080	GRAB	AFF	411637	5709053	2012-06-18	PT/JL	20078	2250970	M4	GR/QZ/FP/MG	PY/PO	SI+/OF+
L943081	GRAB	AFF	411480	5708928	2012-06-18	PT/JL	20079	2250965	M4	AM/QZ/FP	PO/PY	SI++/OF
L943082	GRAB	AFF	411399	5708887	2012-06-18	PT/JL	20079	2250965	M4	AM/QZ/FP	PO/PY	SI++/OF++
L943083	GRAB	AFF	411523	5708972	2012-08-16	PT/CA/JFD/DL	20175	2250965	M4	AM/FP/QZ/GR	PO	OF++/SI+++
L943084	GRAB	AFF	411597	5708886	2012-08-16	PT/CA/JFD/DL	20176	2250960	M4	BO/FP/QZ/MG	PY	
L943085	GRAB	BLOC (sub en place)	411629	5709062	2012-08-16	PT/CA/JFD/DL	60046	2250970	M4	FP/QZ/GR/AM	PO	OF+/SI+++

Échantillon	Description	Certificat	Cu-OG46	Au-TL43	PGM-ICP23			ME-MS41					
			Cu	Au	Au	Pt	Pd	Ag	Al	As	Au	B	
			%	ppm	ppm	ppm	ppm	ppm	%	ppm	ppm	ppm	
L943052		TB12148418		0.035					0.1	1.49	164.5	-0.2	-10
L943054	M4 avec 15% de grenats. Fortement silicifié. Les FP sont épidotisés. 1% PO, 1% PY. HFR = 400. Photo 364.	VO12198682		0.011					0.06	1.94	66.8	-0.2	-10
L943055	M4 sans grenats. 1% PO-PY. Photo 365.	VO12198682		0.004					0.2	2.4	47.9	-0.2	-10
L943056	M4 avec HFR de 6000. Épidotisation des FP. 25% grenats de 3-4mm. 1% PO-PY. Photo 366.	VO12198682		0.018					0.12	2.01	15.1	-0.2	-10
L943057	À 2m de L943077. Veine de QZ fumé à côté d'une bande très riche en muscovite. Un secteur avec 15% AS de 3-5mm. Photo 367.	VO12198682 / VO12224244		>1.00	0.001	0.005	0.001		0.47	0.35	>10000	1.6	-10
L943058	HFR: 1600.	TB12148418		-0.001					0.5	1.4	2.4	-0.2	-10
L943059	Gabbro à galène.	TB12148418		-0.001					0.01	1.63	184	-0.2	-10
L943060	Zone à veine de QZ cisailée.	TB12148418		0.012					0.54	1.3	74.7	-0.2	-10
L943061	HFR: 2100.	TB12148418		0.001					1.36	3.1	103	-0.2	-10
L943062		TB12148418		-0.001					0.04	3.1	1.8	-0.2	-10
L943064	2% PO, 1% PY, tr.CP, disséminés.	TB12148418		0.052					2.69	0.83	7.8	-0.2	-10
L943065	Cisaillé, 3% PO, tr. CP.	VO12147437			0.006	0.416	1.21		0.23	3.49	7.1	-0.2	-10
L943066	Cisaillé, 5% PO, 5% CP.	VO12147437			0.01	0.117	1.67		1.84	1.81	3.1	-0.2	-10
L943067	I4I fraîche, tr. SF.	VO12147437			0.001	-0.005	0.006		0.2	0.9	1.7	-0.2	10
L943068	Péridotite altérée, tr. sulfures.	VO12147437			0.001	-0.005	0.006		0.03	0.37	8.9	-0.2	60
L943069	AM-FP-GR-QZ. OF+++ , SI++ , traces de PO, faiblement magnétique et conducteur. Très gros bloc sub en place. Photo 370.	VO12198682		0.023					0.23	2.23	210	-0.2	-10
L943070	FP-QZ-GR-BO, 10% de SF disséminé (PO et PY) OF+, SI+, magnétique et conducteur.	VO12198682		0.01					0.14	2.32	13.7	-0.2	-10
L943071	Voir fiche de l'échantillon L943078. M4 très schisteux, FP-QZ-50% BO, cond. non mag. 1% CP, 2% PY diss. OF+.	VO12198682		0.008					0.63	5.13	83	-0.2	-10
L943072	M4, SI++, AM-FP-QZ-GR-MG. Très mag, 2-3 % PY-PO finement diss. non cond. légèrement oxydé (OF-) photo 374.	VO12198682		0.004					0.18	2.81	2.7	-0.2	-10
L943073	M4, SI+++ , GR ++, QZ-FP-GR-AM. De gros grenats de 3-6 mm sont entourés par une matrice de QZ. Non mag, pas de sulfure, non oxydé.	VO12198682		0.003					0.06	3.1	2.7	-0.2	-10
L943074	M4 avec grenats en traces. 1% de PO associé aux concentrations de QZ. Photo 377.	VO12198682		0.007					0.22	0.97	45.1	-0.2	-10
L943075	M4 avec traces de grenats. Légèrement magnétique (PO). Photo 378.	VO12198682		0.004					0.31	2.25	29.4	-0.2	-10
L943076	M4 riche en grenats et magnétique. Traces de sulfures à 1% (PY).	TB12148418		-0.001					0.08	3.2	1.4	-0.2	-10
L943077	M4 à grenats, non magnétique. 5% PY et 5% AS.	TB12148418 / VO12232119		0.219	0.215	-0.005	0.01		0.88	0.85	>10000	0.2	-10
L943078	M4 avec 90% de feldspaths épidotisés. HFR 50000. 5-10% sulfures (PY-PO), traces de chalcoppyrite.	TB12148418		0.024					2.25	1.94	6150	-0.2	-10
L943080	M4 à grenats (20%). Faiblement magnétique. 1% PY-PO.	TB12148418		0.001					0.38	2.19	10.2	-0.2	-10
L943081	M4 à amphiboles silicifié avec 2% PY-PO, traces CP. HFR 18000.	TB12148418		-0.001					0.88	2.22	32.8	-0.2	-10
L943082	M4 à amphiboles silicifié avec 1% PY-PO fine disséminée. HFR 18000.	TB12148418		0.008					0.59	3.1	278	-0.2	-10
L943083	M4 de couleur noire avec beaucoup d'amphiboles et traces de grenats. 5% de PO fine disséminée dans la foliation. Photo 368.	VO12198682		0.092					0.13	1.48	1860	-0.2	-10
L943084	M4 et 11G non oxydé, non conducteur, magnétique. Traces de pyrite. Photo 369.	VO12198682		0.025					0.12	2.14	16.2	-0.2	-10
L943085	M4, OF++, SI+++ . FP-GR-QZ-AM-EP des FP. 3% PO fine disséminée. Bloc plurimétrique sub-en-place. Photo 371.	VO12198682		0.003					0.15	1.27	11.7	-0.2	-10

Échantillon	ME-MS41																								
	Ba	Be	Bi	Ca	Cd	Ce	Co	Cr	Cs	Cu	Fe	Ga	Ge	Hf	Hg	In	K	La	Li	Mg	Mn	Mo	Na	Nb	Ni
	ppm	ppm	ppm	%	ppm	ppm	ppm	ppm	ppm	ppm	%	ppm	ppm	ppm	ppm	ppm	%	ppm	ppm	%	ppm	ppm	%	ppm	ppm
L943052	-10	0.12	0.21	0.27	0.43	10.8	33	44	1.52	45.2	3.59	4.84	0.12	0.04	-0.01	0.031	0.09	5	44	0.77	634	1.25	0.01	0.3	54.1
L943054	10	0.3	0.1	0.84	0.04	14.35	6	11	3.79	48.6	3.19	7.04	0.07	0.03	-0.01	0.006	0.17	7.9	23.7	0.32	840	0.49	0.15	0.32	11
L943055	70	0.32	0.29	0.51	0.55	9.36	21	106	14.1	157.5	4.76	9.42	0.12	0.07	-0.01	0.034	0.71	5.1	81.4	1.36	635	1.18	0.14	0.32	54.2
L943056	50	0.24	0.18	0.45	0.08	14.1	3.5	13	21.6	38.3	5.55	9.57	0.13	0.06	-0.01	0.007	0.35	8.4	50.2	0.69	1380	0.6	0.06	0.42	10.5
L943057	10	5.35	18.15	0.02	0.02	4.52	1160	5	1.57	135	10.35	1.97	0.45	0.18	-0.01	0.074	0.14	1.9	4.7	0.02	176	1.32	0.01	0.87	1145
L943058	50	0.21	2.15	0.22	0.66	23	30.3	51	6.51	235	9.13	5.72	0.25	0.13	0.01	0.074	0.19	11	57	0.81	520	1.07	0.04	0.82	58.7
L943059	20	0.26	0.22	0.49	0.05	0.53	28.6	118	1.11	2.1	1.74	2.18	-0.05	0.02	-0.01	-0.005	0.12	0.3	84.8	1.56	283	0.1	0.02	0.28	102
L943060	10	0.33	0.4	0.28	0.26	8	40.3	101	1.35	206	4.26	3.75	0.09	0.03	0.01	0.017	0.14	3.6	50.4	0.79	535	2.7	0.03	0.3	100.5
L943061	-10	0.44	3.98	0.24	0.71	4.23	22.5	68	1.92	163.5	10.7	13.5	0.26	0.06	0.02	0.028	0.04	2.1	77.6	2.6	1070	0.6	0.02	0.8	52.9
L943062	40	0.19	0.09	0.19	0.07	7.25	32.2	2	45.8	7.4	7.03	13.65	0.2	0.06	0.01	0.054	1.09	3.2	87.8	2.54	300	0.17	0.03	0.19	1.4
L943064	10	0.1	0.7	0.97	0.12	10	63.4	5	0.81	6630	4.67	2.99	0.11	0.1	-0.01	0.009	0.05	6.4	16.7	0.35	156	1.28	0.05	0.42	37.3
L943065	100	0.56	0.85	0.12	0.11	0.56	157	583	70.5	1710	6.58	5.26	0.19	-0.02	-0.01	0.015	1.13	0.3	366	4.42	163	1.38	0.03	0.08	2190
L943066	20	0.19	1.37	0.28	0.12	0.53	347	186	23.4	8260	8.03	2.55	0.25	0.02	-0.01	0.024	0.2	0.3	176.5	2.19	141	1.98	0.05	0.1	5240
L943067	-10	0.16	0.22	0.05	0.03	0.64	76.7	484	0.96	63.9	6.32	1.68	0.22	0.03	-0.01	0.01	-0.01	0.3	1.9	7.83	512	0.1	0.02	0.06	853
L943068	-10	0.78	0.32	0.01	0.05	0.81	42.6	695	2.86	11.1	4.66	1.05	0.33	0.06	0.01	0.007	0.01	0.3	1	15.95	297	0.23	0.02	0.06	1830
L943069	20	0.38	0.25	0.38	0.08	23	7	15	10.15	34.6	6.22	9.51	0.17	0.04	0.01	-0.005	0.22	14.1	65.7	1	1460	0.56	0.05	0.17	12.4
L943070	70	0.18	0.09	0.36	0.17	20.8	5.1	24	23.2	31.1	5.34	9.77	0.15	0.05	-0.01	0.006	0.72	11.6	124	0.99	1080	0.31	0.1	0.18	12.8
L943071	20	0.26	0.62	0.33	0.7	7.17	36.8	55	19.1	335	10.2	18.55	0.32	0.09	-0.01	0.116	0.41	3.5	440	5.91	964	0.72	0.01	0.25	53.4
L943072	250	0.14	0.53	0.39	0.02	22	14.9	103	23.9	52.1	15.35	20.2	0.51	0.06	-0.01	0.02	1.58	11.5	126.5	1.41	315	0.85	0.06	0.35	50.3
L943073	90	0.23	0.13	0.5	0.02	36.3	14.1	114	6.24	12.6	7.73	14.5	0.36	0.07	-0.01	0.013	0.41	19.6	118	1.28	296	0.17	0.03	0.34	62.1
L943074	10	0.19	0.25	0.36	0.34	14.9	17.8	55	1.86	78.3	5.97	3.03	0.09	0.06	-0.01	0.011	0.14	8.3	24.4	0.51	384	0.98	0.03	0.39	41.9
L943075	40	0.28	0.28	0.61	0.38	9.7	20.4	65	4.77	84.4	5.36	8.7	0.13	0.09	-0.01	0.018	0.27	5.3	49.7	0.98	1120	1.2	0.15	0.32	43.8
L943076	320	0.79	0.22	0.41	0.01	28.6	14	79	50.9	22.7	10.75	12.7	0.6	0.04	-0.01	0.009	1.8	13.4	130.5	1.13	98	0.86	0.11	0.16	46.2
L943077	-10	2.9	2.71	0.33	0.05	5.42	441	4	2.25	217	12.25	3.39	0.38	0.1	-0.01	0.047	0.04	2.5	12	0.13	1590	1.74	0.02	1.23	225
L943078	20	4.61	11.7	0.45	2.44	18.1	210	145	5.46	629	13.5	10.8	0.23	0.27	-0.01	0.023	0.17	8.6	158.5	1.04	757	1.97	0.04	1.31	143.5
L943080	40	0.49	0.34	0.27	0.21	22.3	7.9	16	104	44.9	8.28	7.61	0.16	0.07	-0.01	-0.005	0.62	11	111.5	1.15	1340	0.65	0.02	0.41	11.4
L943081	10	0.6	0.7	0.23	0.44	24.8	22.1	101	1.94	74.4	8.36	7.04	0.14	0.14	-0.01	0.029	0.12	11.4	93.1	1.94	1160	2.01	0.02	0.27	53.1
L943082	30	0.93	1.31	0.33	0.74	9.38	53.3	211	14.25	195	11.1	11.1	0.26	0.07	-0.01	0.03	0.36	4.3	186.5	2.45	1660	1.36	0.06	0.29	137
L943083	10	1.55	0.97	1.27	0.04	82	38.8	127	0.29	28.3	3.73	3.83	0.25	0.17	0.01	0.012	0.05	42	22	1.26	617	0.33	0.07	1.34	275
L943084	50	0.29	0.92	0.21	0.03	17.95	7.6	42	13.95	135	6.36	12.65	0.18	0.09	-0.01	0.015	0.46	9.2	81.8	0.66	492	0.46	0.03	1.44	26.5
L943085	50	0.75	0.22	0.33	0.08	10.1	5.1	16	30.9	40.1	4.36	4.53	0.1	0.05	0.01	0.007	0.42	5.7	68.2	0.61	798	0.46	0.01	0.23	11.3

Échantillon	ME-MS41																				
	P	Pb	Rb	Re	S	Sb	Sc	Se	Sn	Sr	Ta	Te	Th	Ti	Tl	U	V	W	Y	Zn	Zr
	ppm	ppm	ppm	ppm	%	ppm	ppm	ppm	ppm	ppm	ppm	ppm	ppm	ppm	%	ppm	ppm	ppm	ppm	ppm	ppm
L943052	210	2.5	6.4	0.002	0.5	0.07	3.1	1.2	0.3	4.6	-0.01	0.27	1.5	0.078	0.07	0.43	43	0.34	2.72	374	1.2
L943054	240	5.2	14.4	-0.001	0.86	0.05	1.1	0.3	2.8	72.8	-0.01	0.06	1.3	0.052	0.13	0.21	10	3.2	1.67	20	1.3
L943055	220	4.9	39.5	0.003	1.38	-0.05	8.4	1.4	0.5	20.8	-0.01	0.19	2.2	0.168	0.36	0.55	71	0.27	3.15	148	3
L943056	230	2.7	33.2	-0.001	0.67	0.05	1.4	0.4	0.5	16.1	-0.01	0.04	1.3	0.105	0.34	0.23	21	0.34	1.92	51	2.5
L943057	20	6.1	19.2	0.028	4.9	24.3	0.2	1.6	0.3	2.4	0.07	3.82	4.1	-0.005	0.1	7.87	1	0.53	1.13	5	1.8
L943058	370	2.5	27.4	0.005	4.31	-0.05	5.5	3.2	2.9	3.3	-0.01	0.07	3.3	0.159	0.29	0.48	43	1.01	6.39	303	5.4
L943059	90	1.5	18.5	-0.001	0.03	0.06	1.2	0.2	0.3	9.2	0.01	0.02	-0.2	0.116	0.1	0.09	23	0.16	0.54	36	-0.5
L943060	190	12.1	14	0.002	1.63	0.1	8.2	1.6	0.9	6.7	-0.01	0.27	0.8	0.168	0.22	0.51	89	0.94	3.67	98	0.7
L943061	700	209	7.6	0.001	3.19	0.22	8.8	1.7	3.3	1.6	0.04	0.12	2.6	0.17	0.1	3.58	94	1.53	5.07	375	1.4
L943062	440	3.5	164.5	0.001	0.03	-0.05	9.9	0.5	0.9	1.4	0.01	0.04	1.1	0.2	0.91	0.23	342	0.52	11.4	87	1
L943064	590	3.1	8.1	0.001	2.49	0.15	4.5	6.1	0.2	11.6	-0.01	0.83	0.2	0.155	0.06	0.39	37	1.2	6.99	39	1.8
L943065	70	25	118.5	0.01	1.74	0.17	2	5.9	0.3	1.4	-0.01	0.8	-0.2	0.117	1.67	0.13	67	0.1	0.25	49	-0.5
L943066	70	2.7	34.1	0.014	5.08	0.14	1.8	9	0.4	1	-0.01	1.91	-0.2	0.068	0.79	0.23	32	0.26	0.46	49	0.5
L943067	40	1.3	0.6	-0.001	0.24	0.06	6.1	0.6	3	0.2	-0.01	0.11	-0.2	0.012	0.07	0.08	40	0.27	1.26	29	0.9
L943068	40	0.9	5.7	-0.001	0.06	0.19	7.5	0.2	2.2	0.4	-0.01	0.03	-0.2	0.015	0.04	0.07	10	1.37	1.64	23	2.6
L943069	270	3	29.8	0.001	1.39	0.07	1.6	0.3	0.3	11	-0.01	0.05	1.5	0.086	0.29	0.3	21	0.46	1.7	61	1.6
L943070	220	2.4	44	-0.001	0.8	-0.05	2.7	0.3	0.5	11.6	-0.01	0.01	1.6	0.12	0.36	0.26	26	0.39	1.77	54	2
L943071	370	5.1	59.5	0.002	2.44	0.06	30.3	3.4	2.7	1.5	0.01	0.2	3.2	0.387	0.52	0.5	244	0.6	13.55	303	3.4
L943072	1230	3.3	134.5	-0.001	0.2	-0.05	9.1	0.6	0.9	9.4	0.01	0.06	5.1	0.214	0.72	1.05	120	0.3	6.71	65	2
L943073	1290	3.2	32.9	-0.001	0.05	-0.05	7.8	0.3	0.7	11.7	0.01	0.02	7.9	0.181	0.22	1.34	93	0.41	4.59	62	2.9
L943074	290	4.7	12.8	0.001	3.02	0.09	1.6	1.7	0.4	10.6	-0.01	0.2	3.1	0.083	0.11	0.85	27	1.65	3.57	122	2.1
L943075	220	6.6	25	0.002	2.66	0.07	4	1.2	0.5	34.4	0.01	0.15	2.1	0.127	0.34	0.43	43	0.57	1.76	131	3.3
L943076	640	5.3	220	-0.001	0.13	-0.05	6.9	0.3	0.6	52.8	-0.01	0.03	3.7	0.193	1.5	0.78	77	0.75	1.77	50	1.3
L943077	1100	2.8	7.6	0.011	>10.0	11.75	0.6	2	0.2	3.6	0.3	2.55	1.9	0.009	0.08	2.77	4	0.3	0.96	12	1.8
L943078	1430	32.4	29.1	0.009	6.5	1.6	6.6	6	2.1	4.9	0.03	0.81	4.1	0.108	0.16	1.15	58	0.67	8.77	330	10.9
L943080	280	4.1	160.5	0.001	2.68	0.05	1.8	0.5	1	6.6	-0.01	0.06	1.9	0.101	1.44	0.36	23	1.35	2.31	78	3
L943081	270	19.5	9.8	0.004	4.74	0.1	7.6	2.4	0.8	3.2	0.01	0.29	5.1	0.132	0.08	1.19	56	2.34	7.27	196	5
L943082	270	14.1	49.1	0.003	6.97	0.07	11.6	2.5	1.1	6.1	0.01	0.39	1.6	0.212	0.56	0.51	147	2.48	3.72	268	2.7
L943083	1120	2.8	1.5	0.001	1.38	1.29	4.1	0.5	2.6	101	0.01	0.09	4.5	0.077	0.03	0.78	36	4.35	4.94	40	6.1
L943084	720	4	84.5	-0.001	0.49	-0.05	4	0.6	3.2	5.4	0.05	0.18	6.6	0.121	0.72	3.3	36	0.87	4.08	51	2.8
L943085	150	1.1	94.1	-0.001	1.7	-0.05	1.4	0.3	1.5	10.7	-0.01	0.03	1	0.065	0.79	0.23	13	6.72	1.4	42	1.9

Échantillon	Type d'échantillon	AFF / BLOC	UTMX (Nad 83)	UTMY (Nad 83)	Date	Géologue / Assistant	No Fiche Aff	Cellule	Lithologie	Minéralogie	Minéralisation	Altération
L943086	GRAB	BLOC (sub en place)	411636	5709066	2012-08-16	PT/CA/JFD/DL	60046	2250970	M4	AM/QZ/GR/FP	PY	CL+/OF+++/SI++
L943087	GRAB	AFF	411663	5709096	2012-08-16	PT/CA/JFD/DL	60046	2250970	M4	BO/FP/QZ/CL	PY/CP	OF++/SI++
L943088	GRAB	AFF	408985	5707820	2012-06-18	LPR/CA	30069	2250957	I4I	MG/ST/MI/PO/CS/CP	PO/CP	ST
L943089	GRAB	AFF	409621	5707723	2012-06-18	LPR/CA	30070	2250966	V3B		PY/PO	CL+
L943090	GRAB	AFF	409621	5707723	2012-06-18	LPR/CA	30070	2250966	V3B		PY	CL+
L943092	GRAB	AFF	409799	5707769	2012-06-18	LPR/CA	30072	2250959	V3B		PY	
L943093	GRAB	AFF	409448	5707986	2012-06-18	LPR/CA	30074	2250966	V3B	QZ/HB/CL/PO/CP/GR	PO/CP	
L943094	GRAB	AFF	409426	5707987	2012-06-18	LPR/CA	30075	2250966	V3B		PO	SI++
L943095	GRAB	AFF	411471	5708940	2012-08-16	PT/CA/JFD/DL	20174	2250965	M4	FP/QZ/BO	PO/PY	OF+++
L943096	GRAB	AFF	411514	5708981	2012-08-16	PT/CA/JFD/DL	20175	2250948	M4	FP/QZ/GR/MI	PO/PY	EP/OF+++/SI+++
L943097	GRAB	BLOC (sub en place)	411511	5708979	2012-08-16	PT/CA/JFD/DL	20175	2250965	M4	FP/QZ/BO	PY	OF++/SI++
L943098	GRAB	AFF	411519	5708982	2012-08-16	PT/CA/JFD/DL	20175	2250948	M4	FP/QZ/GR	PY	OF+++
L943099	GRAB	AFF	411525	5708980	2012-08-16	PT/CA/JFD/DL	20175	2250965	M4	FP/QZ/GR	PY	SI+++
L943100	GRAB	AFF	411539	5708917	2012-08-16	PT/CA/JFD/DL	60045	2250965	M4	FP/QZ/BO/MG		
L943401	GRAB	AFF	411640	5709057	2012-08-16	PT/CA/JFD/DL	60046	2250970	M4	FP/QZ/BO/GR	PO/PY	OF+++/SI+
L943402	GRAB	AFF	411590	5708962	2012-08-16	PT/CA/JFD/DL	60047	2250960	M4	FP/QZ/GR/BO	PY	
L943403	GRAB	AFF	411477	5708984	2012-08-16	PT/CA/JFD/DL	60048	2250948	M4	FP/QZ/BO	PO/PO	OF++/SI+
L943404	GRAB	AFF	411475	5708981	2012-08-16	PT/CA/JFD/DL	60048	2250965	M4	FP/QZ/BO	PO/PO	OF+++/SI+++
L943405	GRAB	AFF	404522	5704177	2012-08-17	CA/AB	60049	2250933	M4	FP/QZ/AP	PO/PY	OF+++/SI++
L943406	GRAB	AFF	404523	5704178	2012-08-17	CA/AB	60049	2250933	F1	FP/QZ	PO/PY/CP	OF+++
L943407	GRAB	AFF	404522	5704176	2012-08-17	CA/AB	60049	2250933	I1B	FP/QZ/AP	CP/PO/PY	SI+
L943408	GRAB	AFF	404548	5704204	2012-08-17	CA/AB	60050	2250933	M4	FP/QZ/BO	PY/PO/SP	OF+++

Échantillon	Description	Certificat	Cu-OG46	Au-TL43	PGM-ICP23			ME-MS41					
			Cu	Au	Au	Pt	Pd	Ag	Al	As	Au	B	
			%	ppm	ppm	ppm	ppm	ppm	%	ppm	ppm	ppm	
L943086	M4 , OF+++ , Si++ , AM-QZ-GR-FP. CL+ localement. 1-2% PY, bloc plurimétrique détaché source locale. Photo 372.	VO12198682		0.002					0.27	1.45	11.3	-0.2	-10
L943087	2m au sud de L943078 BO-FP-QZ-CL , 3% PY, traces CP, OF++ , Si+. La minéralisation semble associée aux concentrations de QZ (veinules) et à la silicification. La zone oxydée est moins large, pas de grenat, HFR 4800.	VO12198682		0.025					0.93	1.79	2830	-0.2	-10
L943088	Prêt du site 1400 et de l'échantillon 18209 (2011). Conducteur détecté en surface au BeepMat. HFR 7000. Péridotite très serpentinisée. Trace à 1% de PO, traces CP. Presque juste MG. 5% serpentine, 1% mica blanc, 1% PO, 3% chrysotile, tr CP, reste MG.	VO12147437			0.001	0.064	0.23	0.84	0.33	12.4	-0.2	60	
L943089	Basalte silicifié, non conducteur, rouillé en surface. Tr SF dissimulé, CL+, 10% veine de QZ boudinée de 10 à 20cm. PY-PO disséminées.	VO12147437			0.003	0.005	0.005	0.31	0.78	25	-0.2	-10	
L943090	1-5% PY.	VO12147437			0.004	-0.005	0.003	0.3	2.51	28.9	-0.2	-10	
L943092	Aff 10x10m basalte avec lits MG massive. BeepMat 12000 MAG. 10% veinules épидote, 1-3% PY grise parfois cubique, QZ-FP blanc.	VO12147437			0.015	-0.005	0.002	0.16	1.98	128	-0.2	-10	
L943093	Conducteur détecté au BM en surface. Trou de 0,6m de profond, patch de rouille dans le fond sur le roc de 0,1x0,2m. HFR 30000. Très minéralisé, 45%QZ-20%HB-5%CL-25%PO-1%CP, tr GR. Près de l'indice Montagne. Même zone?	VO12147437			0.01	0.009	0.002	1.2	0.19	48.9	-0.2	-10	
L943094	Trou plus de 1m de profond, roche semble extrêmement silicifiée. 22 000 HFR. Présence de graphite et jusqu'à 10% PO.	VO12147437			0.003	0.022	-0.001	0.81	0.93	34.6	-0.2	-10	
L943095	M4 avec veine de QZ. 2% PY, 1% PO, mag, conducteur, HFR 2500. Très rouillé en surface.	VO12198682		0.007				0.1	1.27	212	-0.2	-10	
L943096	Mag et conducteur, traces de PO et PY. Épidotisé. Photo 264.	VO12198682		0.004				0.44	0.83	21.8	-0.2	-10	
L943097	Trace de PY. Couleur M4 gris-vert. Non magnétique, grenat 5mm. Bloc sub en place. Photo 265.	VO12198682		0.002				0.06	1.82	73.8	-0.2	-10	
L943098	Traces de PY disséminée à grains fins. Non conducteur, non magétique. Photo 266.	VO12198682		0.01				0.13	1.31	19.3	-0.2	-10	
L943099	1% PY disséminée, non magnétique, en relief.	VO12198682		0.004				0.21	0.98	112	-0.2	-10	
L943100	M4 migmatisé avec veinule de QZ et veinule de magnétite. 5% de MG disséminée. I1G est rosé par endroit. Pas de sulfure, non conducteur.	VO12198682		0.002				0.06	3.15	8.1	-0.2	-10	
L943401	PO et PY 5% disséminé très fin, magnétique, conducteur, HFR 5000. OF+++ , Si+ , photo 269.	VO12198682		0.001				0.15	1.54	4.9	-0.2	-10	
L943402	M4 à grenat avec 1% PY. Photo 270.	VO12198682		0.003				0.09	3.17	6	-0.2	-10	
L943403	M4, 8% PY disséminée et en veinules, 2% PO. HFR 3000.	VO12198682		0.002				0.47	0.58	206	-0.2	-10	
L943404	M4 avec 2% PO disséminée et 2% PY disséminée. HFR 20 000.	VO12198682		0.001				0.31	1.35	32.3	-0.2	-10	
L943405	Aff de M4, 35% (PO-PY) couleur gris-vert. Avec pyrrhotite et pyrite idiomorphe, d'environ 0,8 cm. HFR 20 000, mag et conducteur sur environ 6x6m.	VO12198682		0.001				4.17	0.55	2.9	-0.2	-10	
L943406	Bande de F1 (PO-PY) 80 % avec FP-QZ. Reflet verdâtre, traces de CP. HFR 42 000. Sous mousse environ 30cm. Photo 272.	VO12198682		0.001				2.24	0.19	1	-0.2	-10	
L943407	FP-QZ-AP 2% disséminée. Traces de CP-PO-PY. Conducteur et magnétique. HFR 2000.	VO12198682		0.002				0.54	0.44	1.9	-0.2	-10	
L943408	M4 gris-vert avec veine de QZ, 50 % de sulfure en veinules et PY cubique (0,4cm) traces de SP?, magnétique, OF+++ , HFR 16000, FP-QZ-PY-PO-SP-BO en feuillet. Photo 275.	VO12198682		0.003				2.51	1.29	34.4	-0.2	-10	

Échantillon	ME-MS41																								
	Ba ppm	Be ppm	Bi ppm	Ca %	Cd ppm	Ce ppm	Co ppm	Cr ppm	Cs ppm	Cu ppm	Fe %	Ga ppm	Ge ppm	Hf ppm	Hg ppm	In ppm	K %	La ppm	Li ppm	Mg %	Mn ppm	Mo ppm	Na %	Nb ppm	Ni ppm
L943086	20	0.46	0.35	0.59	0.17	10.7	11.6	8	24.5	133.5	5.55	5.48	0.16	0.09	-0.01	0.01	0.26	6.7	47.4	0.58	1980	0.48	0.04	0.27	21
L943087	30	1.04	7.46	0.47	0.67	25.1	106.5	79	38.9	356	8.86	9.93	0.2	0.37	0.01	0.01	0.28	12.6	131	0.94	627	2.54	0.05	0.74	96.4
L943088	-10	0.15	1.15	0.05	0.09	1.22	146.5	649	2.25	1080	7.8	1.12	0.25	0.02	-0.01	0.011	-0.01	0.5	0.6	11.1	395	0.25	0.02	0.08	1080
L943089	10	0.11	0.15	0.24	0.14	11.3	25.1	96	1.14	98.8	2.81	2.22	0.05	0.09	-0.01	0.005	0.09	6.2	44.6	0.58	180	0.59	0.03	0.31	80.3
L943090	30	0.23	0.34	0.28	0.33	30	23.5	104	5.39	104	7.66	6.94	0.14	0.17	-0.01	0.016	0.27	17.3	133	2.07	926	1.22	0.03	0.3	68.4
L943092	20	0.45	0.54	0.63	0.02	34.8	5.9	55	0.95	9.2	6.72	11.45	0.42	0.17	0.01	0.018	0.09	17.9	41.3	0.83	388	0.86	0.03	0.46	27.3
L943093	-10	0.08	0.51	0.21	0.66	12.7	35.3	7	0.35	1440	11.6	0.91	0.25	0.02	-0.01	0.093	0.02	6.8	3.6	0.13	279	0.65	0.03	0.16	64
L943094	10	0.1	1.51	0.22	1.12	8.01	62.2	23	3.15	631	20.5	4.61	0.46	0.07	0.01	0.069	0.1	3.7	37.8	0.46	237	2.8	0.04	0.55	115
L943095	10	0.21	0.16	0.42	0.15	16.25	9.3	68	2.86	50	3.54	3.31	0.08	0.05	0.01	0.009	0.16	8.6	34.6	0.71	428	0.67	0.01	0.3	54.7
L943096	10	0.1	0.75	0.29	0.06	12.35	4.1	6	3.04	90.6	9.98	3.69	0.18	0.08	0.02	0.008	0.06	7	13.1	0.37	1130	1.21	0.01	0.41	13.8
L943097	30	0.27	0.09	0.59	0.02	16.15	3.7	11	19.15	11	4.93	6.43	0.15	0.07	-0.01	0.005	0.29	9.2	34.3	0.53	2060	0.38	0.02	0.31	9.9
L943098	10	0.21	0.51	0.42	0.06	17	3.2	7	1.98	40.5	4.15	4.16	0.11	0.04	-0.01	0.005	0.08	9.8	13.6	0.29	1730	0.86	0.02	0.2	9.2
L943099	10	0.35	0.33	0.34	0.04	9.79	3.1	6	4.65	43.3	4.83	3.87	0.12	0.05	0.02	0.006	0.08	5.8	10.3	0.26	2050	0.94	0.01	0.27	9.5
L943100	20	0.6	0.69	0.29	0.02	26.3	16.9	118	2.28	5.1	7.23	19.05	0.19	0.15	0.01	0.02	0.13	13.5	149	1.69	592	1.14	0.03	0.45	69.4
L943401	10	0.13	0.16	0.27	0.04	11.9	4.8	23	3.14	37.3	4.78	6.17	0.1	0.04	-0.01	0.005	0.14	6.6	46.5	0.79	1230	0.67	0.01	0.21	11.4
L943402	120	0.28	0.26	0.31	0.04	48.2	19.8	120	8.34	37.6	7.05	13.15	0.23	0.09	-0.01	0.021	0.61	26.3	136.5	1.43	359	1.19	0.03	0.28	71.8
L943403	20	-0.05	0.91	0.05	5.95	15.35	25.6	36	0.94	118.5	4.94	4.73	0.11	0.13	-0.01	0.161	0.15	8.1	29.5	0.33	448	2.2	0.02	0.32	27.4
L943404	20	0.21	0.27	0.27	0.61	16.45	21.2	104	3.28	103	6.29	5.06	0.1	0.12	0.01	0.02	0.17	8.6	87.4	1.09	665	1.37	0.03	0.31	53.7
L943405	10	0.1	6.95	0.29	0.67	14.45	33.8	8	0.71	244	26.9	2.22	0.36	0.08	0.01	0.037	0.06	7.6	3.6	0.04	345	1.6	0.07	1.08	65.8
L943406	10	-0.05	2.76	0.04	0.15	2.03	2.7	15	0.22	386	46.8	0.91	0.64	0.02	0.01	0.011	0.02	1.1	3	0.07	130	2.37	0.01	0.53	118.5
L943407	10	0.1	0.99	0.38	0.1	17.35	7.1	27	0.65	15.8	2	2.57	0.05	0.19	-0.01	0.011	0.19	8.4	6.4	0.18	248	0.93	0.09	0.27	18.6
L943408	10	0.17	8.6	0.16	1.78	20.4	67.2	53	0.69	83.9	16.25	7.14	0.28	0.2	0.01	0.092	0.08	10.4	33.1	0.96	980	2.71	0.07	0.32	40.6

Échantillon	ME-MS41																				
	P	Pb	Rb	Re	S	Sb	Sc	Se	Sn	Sr	Ta	Te	Th	Ti	Tl	U	V	W	Y	Zn	Zr
	ppm	ppm	ppm	ppm	%	ppm	ppm	ppm	ppm	ppm	ppm	ppm	ppm	%	ppm	ppm	ppm	ppm	ppm	ppm	ppm
L943086	130	0.8	69.7	0.001	1.93	-0.05	1.2	0.4	2.7	3.9	-0.01	0.06	1.2	0.062	0.64	0.24	9	0.38	1.88	31	3.2
L943087	1440	6.9	79.9	0.012	4.21	0.83	8.7	3.8	2.6	5.6	0.01	0.36	5.5	0.143	0.62	1.26	58	0.65	10.2	140	14.2
L943088	220	2.6	0.6	0.001	1.43	0.16	5.7	1.5	0.8	2.1	-0.01	0.19	-0.2	0.009	0.15	0.09	31	0.51	3.28	13	0.5
L943089	200	6.5	5.8	0.001	1.04	0.16	1.9	1.2	-0.2	5.2	-0.01	0.16	2.7	0.11	0.06	0.6	28	2.46	1.09	41	3.3
L943090	220	10.2	14.1	0.002	2.86	0.16	5.8	2	0.4	3.8	0.01	0.36	6.7	0.156	0.18	2.47	85	0.55	4.92	145	5.9
L943092	680	8.9	4.6	-0.001	1.27	0.71	4.8	1.9	0.5	73.7	0.01	0.13	6.6	0.124	0.03	0.75	41	0.75	4.84	33	6.7
L943093	270	2.5	0.8	0.002	8.07	0.13	0.7	3.7	1	2.6	-0.01	0.76	0.5	0.006	0.07	1.49	5	0.55	3.3	318	0.6
L943094	170	4.8	6.1	0.007	>10.0	0.13	2	9.6	0.4	5	-0.01	1.18	1.1	0.052	0.15	1.7	23	0.5	2.15	157	2.5
L943095	270	1.7	18	0.001	1.18	-0.05	2.9	0.8	0.3	19.2	-0.01	0.08	3.4	0.06	0.11	0.65	33	9.97	2.99	51	1.8
L943096	220	2.1	8	0.002	4.33	0.07	0.7	1.1	0.8	2.9	-0.01	0.2	0.8	0.035	0.07	0.24	8	14.85	1.65	25	2.7
L943097	250	1.1	58.2	-0.001	0.42	0.11	1.5	0.2	0.8	5.2	-0.01	0.02	1.3	0.074	0.49	0.2	11	0.3	2.15	21	2.4
L943098	150	1.1	8.9	0.001	1.47	0.07	1.3	0.6	0.2	8.6	-0.01	0.08	1.2	0.028	0.05	0.22	6	0.31	2.08	26	1.8
L943099	210	1.2	16.2	0.001	1.37	0.2	1	0.7	0.5	3.7	-0.01	0.1	1	0.024	0.13	0.23	5	19.45	1.91	19	2
L943100	530	4.2	22.7	0.001	0.04	-0.05	10.4	0.5	2.3	3.4	0.02	0.02	11	0.236	0.08	2.4	90	0.68	10.25	47	6
L943401	230	1.4	17	-0.001	1.31	-0.05	1.4	0.4	0.2	6.5	-0.01	0.04	1.3	0.077	0.11	0.24	20	0.36	1.51	45	1.6
L943402	760	5.9	47.5	0.001	0.14	-0.05	7.7	0.5	0.8	6.5	0.01	0.05	8.7	0.195	0.43	1.8	89	0.37	7.78	64	3.7
L943403	160	8.3	4.7	0.013	0.88	-0.05	4.2	4.7	0.5	3.1	-0.01	0.69	2.5	0.12	0.07	0.34	43	0.32	1.48	472	4.8
L943404	230	5.2	13.6	0.003	2.56	-0.05	6.5	1.6	0.5	7.3	-0.01	0.2	4.3	0.141	0.1	1.23	67	0.4	4.84	198	4.6
L943405	240	3.4	7.9	0.009	>10.0	-0.05	1.2	4.9	2.7	12.7	0.01	0.09	1.8	0.062	0.04	0.71	9	0.94	3.92	162	1.9
L943406	50	1.3	1.9	0.005	9.57	-0.05	1.7	4.6	0.6	0.8	-0.01	0.07	0.4	0.009	0.03	0.13	9	1.85	0.7	45	-0.5
L943407	1560	3.5	8.1	0.001	0.88	-0.05	3.6	0.4	0.5	3.6	-0.01	0.01	2.3	0.016	0.06	3.98	18	0.3	5.83	15	5.1
L943408	400	157	7.2	0.01	>10.0	-0.05	7	4.7	3.6	3.3	-0.01	0.04	3.9	0.049	0.07	3.76	63	1.67	6.03	755	7.9

Échantillon	Type d'échantillon	AFF / BLOC	UTMX (Nad 83)	UTMY (Nad 83)	Date	Géologue / Assistant	No Fiche Aff	Cellule	Lithologie	Minéralogie	Minéralisation	Altération
L943409	GRAB	AFF	404567	5704210	2012-08-17	CA/AB	60051	2250933	V3B	AM/FP/QZ	PO	OF++
L943410	GRAB	BLOC	404607	5704242	2012-08-17	CA/AB	60049	2250933	F1	QZ/FP/AP	PO/PY	OF++
L943411	GRAB	AFF	404530	5704417	2012-08-17	CA/AB	60052	2250933	V3B	AM/FP/QZ	PO	OF+/SI+++
L943412	GRAB	AFF	404565	5704170	2012-08-17	CA/AB	60053	2250933	M4	QZ/FP/BO	PY/PO	OF+++
L943414	GRAB	AFF	404548	5703864	2012-08-17	CA/AB	60053	2250933	M4	FP/QZ/BO/GR	PO/PY	OF+++/SI+++
L943418	GRAB	AFF	405406	5706014	2012-08-17	AP/RR		2250913	M4	QZ/FP/GRMI	SF	OF++/SI+++
L943419	GRAB	AFF	405388	5706008	2012-08-17	AP/RR		2250913	M4	QZ/FP/MI	PY	OF++/SI++
L943420	GRAB	AFF	405379	5706004	2012-08-17	AP/RR		2250913	M4	QZ/FP/MI/GR	PY/PO	OF++/SI++
L943421	GRAB	AFF	405380	5705990	2012-08-17	AP/RR		2250913	M4	QZ/FP/MI	PY	OF++/SI+
L943422	GRAB	AFF	405345	5705966	2012-08-17	AP/RR		2250913	M4	QZ/FP/MG/GR	SF	OF+/SI+
L943423	GRAB	AFF	405277	5706050	2012-08-17	AP/RR		2250913	M22	QZ/FP/BO/AP	PY	OF
L943424	GRAB	AFF	405274	5705956	2012-08-17	AP/RR		2250913	M4	QZ/FP/MI	AS/SF	OF++/SI+
L943425	GRAB	AFF	405259	5705935	2012-08-17	AP/RR		2250913	M4	QZ/FP	PY	OF++/SI+++
L943426	GRAB	AFF	405256	5705934	2012-08-17	AP/RR		2250913	M4	QZ/FP/MI	PY	OF/SI++
L943430	GRAB	AFF	411251	5709040	2012-08-17	MLM/PT/JFD/DL	20177	2250948	I3A	FP/CL/AM	CP	
L943431	GRAB	BLOC	411252	5709040	2012-08-17	MLM/PT/JFD/DL	20177	2250948	I1	QZ/FP	CP	
L943432	GRAB	BLOC	411252	5709040	2012-08-17	MLM/PT/JFD/DL	20177	2250948	I1	QZ/FP	CP	
L943433	GRAB	AFF	411249	5709045	2012-08-17	MLM/PT/JFD/DL	20177	2250948	I4B	AM/CL/PX	PO/CP	
L943434	GRAB	AFF	411248	5709045	2012-08-17	MLM/PT/JFD/DL	20177	2250948	I4B	AM/CL/PX	PO/CP	
L943435	GRAB	AFF	411252	5709043	2012-08-17	MLM/PT/JFD/DL	20177	2250948	I1	FP	PY	HM+
L943436	GRAB	AFF	411266	5709110	2012-08-17	MLM/PT/JFD/DL	40136	2250948	VQZ	QZ		
L943437	GRAB	AFF	411266	5709111	2012-08-17	MLM/PT/JFD/DL	40136	2250948	M4	FP/QZ/BO	PO	
L943438	GRAB	AFF	411412	5708863	2012-08-17	MLM/PT/JFD/DL	40137	2250965	M4	FP/QZ/GR/MI	PO/CP	SI+++/OF++
L943439	GRAB	AFF	411413	5708861	2012-08-17	MLM/PT/JFD/DL	40137	2250965	M4	FP/QZ/MI	PO	SI++/OF++
L943440	GRAB	BLOC	411169	5708792	2012-08-17	MLM/PT/JFD/DL	40138	2250965	M4	FP/QZ/MG/GR	PO	OF+
L943442	GRAB	AFF	411407	5708891	2012-08-17	MLM/PT/JFD/DL	20178	2250965	M4	FP/QZ/MI/GR	PO	OF+++/SI++
L943443	GRAB	AFF	411405	5708885	2012-08-17	MLM/PT/JFD/DL	20178	2250965	M4	FP/QZ/MI	PY	OF++/SI+
L943444	GRAB	BLOC	411171	5708796	2012-08-17	MLM/PT/JFD/DL	40138	2250965	M4	FP/QZ/GR/AM/CL	PO	OF+
L943445	GRAB	AFF	411198	5708787	2012-08-17	MLM/PT/JFD/DL	40139	2250965	M4	FP/QZ/GP/MI	PO	SI+
L943446	GRAB	AFF	411188	5708782	2012-08-17	MLM/PT/JFD/DL	40139	2250965	M4	FP/QZ/MI	PO/PY	SI++
L943447	GRAB	AFF	411177	5708772	2012-08-17	MLM/PT/JFD/DL	40139	2250965	M4	FP/QZ/GR/MI	PO	SI+
L943448	GRAB	AFF	411184	5708779	2012-08-17	MLM/PT/JFD/DL	40139	2250965	M4	FP/QZ/GR	PO/CP	SI

Échantillon	Description	Certificat	Cu-OG46	Au-TL43	PGM-ICP23			ME-MS41					
			Cu	Au	Au	Pt	Pd	Ag	Al	As	Au	B	
			%	ppm	ppm	ppm	ppm	ppm	%	ppm	ppm	ppm	
L943409	Partie plus rouillée du V3B riche en PO (20%) d'une largeur de 5cm. PO disséminée, SI++, AM-FP-QZ(5%)-PO(20%) magnétique et conducteur, HFR 1000. Photo 276.	VO12198682		0.007					0.2	2.6	2.9	-0.2	-10
L943410	Bloc sub-arrondi 80% SF idiomorphe (PY-PO), magnétique et conducteur, à grains grossiers. HFR 15 000, sous 25cm de mousse couleur gris-vert trace de AP?, photo 277.	VO12198682		0.002					1.36	0.43	40.3	-0.2	-10
L943411	2% PO disséminée, non conducteur, magnétique, OF+, SI+++.	VO12198682		0.002					0.19	1.27	14.4	-0.2	-10
L943412	3% PY et PO, en contact avec I1G, OF+++.	VO12198682		0.001					0.37	0.64	2.3	-0.2	-10
L943414	QZ-FP-BO-GR(3%)+ SF(5%) disséminé (PO-PY). Massif, OF +++, SI +++, conducteur et magnétique.	VO12198682		0.001					0.27	1.51	1.5	-0.2	-10
L943418	Aff magnétique et conducteur par endroits. À 2m de l'échantillon L943046 avec teneur en or, sur la même bande. Photo JFD#1.	VO12198682 / VO12224244		0.167	0.143	0.005	0.002	0.07	1.27	269	-0.2	-10	
L943419	Œil de quartz à 1m, zone plissé. Photo JFD#2.	VO12198682		0.068				0.19	2.18	31.7	-0.2	-10	
L943420	Magnétique, PY(1%) et PO(2%), photo: JFD#3.	VO12198682		0.04				0.08	0.78	113.5	-0.2	-10	
L943421	Très schisteux. Photo JFD#4.	VO12198682		0.005				0.25	1.03	44.5	-0.2	-10	
L943422	Mag: -12000, GF-GT, SF disséminé et en petites veinules, photo JFD#5.	VO12198682		0.003				0.05	0.43	5.5	-0.2	-10	
L943423	Énormément de biotite, traces de PY, photo JFD#6.	VO12198682		0.001				0.06	2.03	1.8	-0.2	-10	
L943424	Aff déjà échantillonné à 10m. Photo JFD#7.	VO12198682		0.003				0.18	2.21	2290	-0.2	-10	
L943425	Photo JFD#8.	VO12198682		0.011				0.3	1.37	77.8	-0.2	-10	
L943426	HFR:8000. Schisteux. Photo JFD#9.	VO12198682		0.005				0.23	0.76	40.4	-0.2	-10	
L943430	Finement grenu, 1% CP en placage.	VO12198682		0.004				0.27	1.4	7.2	-0.2	-10	
L943431	Bloc sub en place, ancien blast, veine felsique dans métagabbro, 10% CP.	VO12198682 / VO12224244	4.29	>1.00	4.34	-0.005	1.74	16.65	0.74	1.4	3.1	-10	
L943432	Bloc sub en place, ancien blast, veine felsique dans métagabbro, 10% CP.	VO12198682 / VO12224244	3.58	0.766	0.808	-0.005	1.625	13.1	1.3	2.1	1	-10	
L943433	3% CP, 5% PO disséminé.	VO12198682		0.036				0.79	1.5	2.8	-0.2	-10	
L943434	3% PO, tr. CP disséminé.	VO12198682		0.023				0.39	1.81	2.6	-0.2	-10	
L943435	Veine felsique peu minéralisée, tr. PY.	VO12198682		0.021				0.05	0.54	2.2	-0.2	-10	
L943436	Veine de quartz blanche non-minéralisée.	VO12198682		0.006				0.02	0.09	1.5	-0.2	-10	
L943437	M4 à BO, 1% PO disséminée.	VO12198682		0.004				0.16	0.73	1.3	-0.2	-10	
L943438	1% PO très fine et disséminée, tr. CP, très altéré en surface.	VO12198682		0.004				0.48	1.39	17.2	-0.2	-10	
L943439	2% PO disséminée, très altéré en surface, pas de grenat.	VO12198682		0.003				0.41	2.01	173.5	-0.2	-10	
L943440	M4 magnétique, 1% PO en veinules et disséminée, bloc anguleux 1x1x0,5m.	VO12198682		0.032				0.19	0.83	1.6	-0.2	-10	
L943442	HFR 5000, 3% PO disséminée.	VO12198682		0.003				0.24	2.34	79.3	-0.2	-10	
L943443	3% PY disséminée, pas de grenat.	VO12198682		0.003				0.17	2.71	104	-0.2	-10	
L943444	Bloc anguleux 0,7x0,5x0,3m, tr. PO disséminée, veinules de QZ, AM sans direction préférentielle.	VO12198682		0.026				0.27	1.07	0.5	-0.2	-10	
L943445	2% PO disséminée, grains fins, HFR 12000.	VO12198682		0.006				0.4	1.54	4.1	-0.2	-10	
L943446	3% PO en veinules, 1% PY disséminée, HFR 9000.	VO12198682		0.006				0.26	1.4	3.1	-0.2	-10	
L943447	2% PO en veinules et disséminée, concentrée autour des grenats.	VO12198682		0.005				0.1	2.41	3.1	-0.2	-10	
L943448	1% PO disséminée, tr. CP.	VO12198682		0.023				0.16	1.72	3.8	-0.2	-10	

Échantillon	ME-MS41																								
	Ba	Be	Bi	Ca	Cd	Ce	Co	Cr	Cs	Cu	Fe	Ga	Ge	Hf	Hg	In	K	La	Li	Mg	Mn	Mo	Na	Nb	Ni
	ppm	ppm	ppm	%	ppm	ppm	ppm	ppm	ppm	ppm	%	ppm	ppm	ppm	ppm	ppm	%	ppm	ppm	%	ppm	ppm	%	ppm	ppm
L943409	20	0.11	0.18	1.78	0.16	12.1	40.3	61	0.84	442	4.16	5.25	0.12	0.08	-0.01	0.024	0.1	5.2	14	0.56	332	0.52	0.16	0.19	103.5
L943410	10	0.13	8.19	0.15	0.06	2	196.5	13	0.13	187	34.6	2.53	0.55	0.04	0.03	0.026	0.04	0.8	7	0.22	316	1.53	0.02	0.59	60.5
L943411	20	0.4	0.35	1.08	0.08	36.7	20.6	24	0.73	65.2	2.71	3.61	0.07	0.12	0.01	0.011	0.1	19.8	13.3	0.44	464	0.75	0.1	0.91	40.9
L943412	20	0.06	1.84	0.25	0.55	22.6	15	38	0.46	56.5	2.74	3.11	0.07	0.16	-0.01	0.025	0.09	11.4	20.5	0.55	307	1.02	0.05	0.28	19.9
L943414	10	0.26	0.38	1.01	0.21	60.7	22.5	41	0.91	24	4.83	4.41	0.14	0.1	-0.01	0.024	0.12	29.4	19.1	0.72	1170	8.46	0.09	0.8	62.5
L943418	30	0.12	0.15	0.18	0.95	10.75	30.1	153	0.84	58.8	4.01	3.77	0.08	0.05	-0.01	0.046	0.15	4.8	28.9	0.6	748	0.64	0.01	0.34	76.1
L943419	50	0.13	0.4	0.3	0.13	19.35	43	154	5.12	120	6.86	6.79	0.16	0.17	-0.01	0.013	0.53	9.9	82.7	2.42	475	1.46	0.05	0.24	53.1
L943420	20	0.12	0.08	0.04	0.04	6.55	11.5	92	1.8	40	3.14	2.39	0.05	0.02	-0.01	0.007	0.16	3.2	15.1	0.14	159	0.61	0.01	0.3	24.4
L943421	20	0.21	0.77	0.04	0.36	19.8	18.1	62	1.95	103.5	3.37	4.15	0.06	0.14	-0.01	0.069	0.36	10.8	62.8	0.92	346	2.05	0.03	0.17	29.7
L943422	20	-0.05	0.06	0.16	-0.01	5.94	3	15	1.56	12.8	15	5.16	0.61	0.02	0.03	0.006	0.13	2.9	9	0.14	65	2.09	0.02	0.5	6.3
L943423	10	1.97	1.45	0.63	0.07	1.95	18.7	118	34.6	9.6	3.11	9.01	0.11	0.06	-0.01	0.02	1.37	0.7	111.5	1.63	716	0.15	0.05	0.8	59
L943424	10	0.2	1.56	0.25	1.43	13	40.8	87	1.1	230	5.88	6.54	0.13	0.06	-0.01	0.084	0.14	6.3	92.2	1.98	448	2.75	0.03	0.36	78.6
L943425	20	0.16	1.55	0.21	0.53	28.6	53.6	111	1.17	135.5	8.29	3.91	0.16	0.24	-0.01	0.026	0.1	14.5	72.1	1.41	509	1.36	0.04	0.39	61.1
L943426	10	0.14	0.84	0.07	0.42	20.9	11.3	55	0.99	83.4	4.82	4.45	0.09	0.2	-0.01	0.065	0.13	10.9	47.6	0.67	314	2.13	0.04	0.36	21.2
L943430	-10	0.46	0.12	0.39	0.02	0.47	22.4	530	1.67	441	1.87	3.24	0.06	-0.02	-0.01	0.024	0.03	0.2	96	2.08	192	0.24	0.03	0.12	183
L943431	40	2.93	5.78	0.3	2.63	0.97	7.3	3	4.32	>10000	4.43	3.04	0.1	0.18	0.01	1.19	0.28	0.7	35.9	0.41	69	0.49	0.04	0.14	34.7
L943432	30	1.77	6.59	0.35	2.37	1.44	18.3	9	12	>10000	4.98	4.52	0.12	0.14	-0.01	1.025	0.25	1	56.4	0.92	152	0.48	0.03	0.1	103
L943433	10	0.09	1.07	0.42	0.06	0.63	312	177	10.65	3570	7.15	2.29	0.27	0.02	-0.01	0.021	0.08	0.4	118	1.99	173	2.17	0.04	0.08	3950
L943434	20	1.4	0.8	0.58	0.16	2.29	168	229	34.9	2190	4.85	4.39	0.2	0.04	-0.01	0.022	0.31	0.9	164.5	2.24	232	1.71	0.07	0.14	1875
L943435	40	6.82	0.06	0.82	0.02	2.56	3.3	11	2.72	73.4	0.34	2.79	-0.05	0.06	-0.01	-0.005	0.16	1.2	21.5	0.12	42	0.11	0.05	0.16	43.6
L943436	-10	0.13	0.05	0.11	-0.01	0.61	2.3	10	0.25	24.8	0.39	0.42	-0.05	0.03	-0.01	-0.005	0.01	0.3	2.1	0.05	43	1.58	0.02	0.07	11.7
L943437	10	0.07	0.25	0.76	0.04	8.85	33.6	10	1.02	453	3.17	2.95	0.1	0.08	-0.01	0.013	0.05	4.1	27.2	0.52	243	0.88	0.09	0.32	38.4
L943438	70	0.11	0.28	0.26	1.74	9.97	25.5	27	2.26	359	6.89	5.08	0.13	0.1	-0.01	0.068	0.27	5.2	44.4	0.83	1180	0.72	0.09	0.44	73.9
L943439	10	0.16	0.36	0.29	1.74	8.79	24.2	188	3.24	108	6.59	8.13	0.13	0.09	-0.01	0.041	0.11	4.3	70	2.02	1090	1.07	0.06	0.2	70.4
L943440	10	0.11	0.36	0.21	0.27	8.71	7.2	9	22.6	34.9	9.19	6.9	0.27	0.04	-0.01	0.012	0.24	4.5	14.1	0.27	1800	1.04	0.02	0.16	15.1
L943442	20	0.2	0.37	0.85	0.3	21	22	78	13.7	71.6	6.12	7.15	0.13	0.08	-0.01	0.013	0.53	11.1	71.7	1.03	688	1.05	0.21	0.31	52.6
L943443	40	2.1	0.23	0.66	0.12	18.4	19.4	91	8.68	68.4	5.62	8.57	0.13	0.07	-0.01	0.012	0.39	9.1	110	1.67	882	1.01	0.15	0.43	44.7
L943444	30	0.08	0.29	0.15	0.08	8.79	13.8	9	6.13	63.7	5.78	5.24	0.21	0.05	-0.01	0.007	0.15	4.2	43.1	0.54	992	1.13	0.02	0.14	26.4
L943445	10	0.16	0.29	0.27	0.07	18.95	14.4	23	1.93	85.3	8.71	5.28	0.16	0.06	-0.01	-0.005	0.15	9.5	58.3	0.93	1420	0.61	0.02	0.32	31
L943446	30	0.12	0.1	0.51	0.11	18.1	8.7	17	3.03	77.6	7.76	5.29	0.18	0.07	-0.01	0.006	0.17	9.6	51.4	0.61	1240	0.46	0.07	0.42	23
L943447	30	0.27	0.09	0.5	0.05	13.35	5.9	15	3.6	24	6.6	7.97	0.1	0.05	0.01	0.008	0.2	6.6	74.3	0.89	1800	0.42	0.07	0.23	13.3
L943448	10	0.18	0.08	0.63	0.07	18.85	8.3	13	1.53	44.8	6.9	6.87	0.1	0.09	0.01	0.015	0.11	9.1	42.6	0.67	1780	0.56	0.06	0.3	19.2

Échantillon	ME-MS41																				
	P	Pb	Rb	Re	S	Sb	Sc	Se	Sn	Sr	Ta	Te	Th	Ti	Tl	U	V	W	Y	Zn	Zr
	ppm	ppm	ppm	ppm	%	ppm	ppm	ppm	ppm	ppm	ppm	ppm	ppm	%	ppm	ppm	ppm	ppm	ppm	ppm	ppm
L943409	220	2.5	5.9	0.001	1.66	-0.05	4.8	2.8	0.2	56.6	-0.01	0.43	1.9	0.091	0.04	0.32	42	0.2	4.04	78	1.7
L943410	560	18.3	3.5	0.003	>10.0	-0.05	2.3	5.3	4.3	1.8	-0.01	0.09	1	0.008	0.03	1.58	11	11.6	2.88	25	1.2
L943411	1200	12.2	7.3	0.001	1.58	-0.05	1.8	0.5	1.2	39.9	0.01	0.12	3.6	0.116	0.04	0.7	24	4.55	6.65	37	2.3
L943412	610	6.7	5	0.002	2.06	-0.05	4.5	2.3	1.4	3.3	-0.01	0.07	4.3	0.081	0.03	2.39	45	0.57	5.45	125	4.9
L943414	880	4.3	7.5	0.002	2.99	-0.05	2.7	1	0.6	60.1	0.01	0.59	6.8	0.128	0.05	1.04	28	0.57	6.15	58	2.1
L943418	320	1.9	6.1	0.001	0.88	0.22	4.3	0.8	0.2	3.6	-0.01	0.22	2	0.102	0.06	1.67	66	1.11	2.11	277	1.5
L943419	390	6.1	26	0.001	3.58	0.23	7.7	1.5	1	13.9	-0.01	0.07	6	0.17	0.3	1.12	87	1.25	4.2	85	5.9
L943420	110	5.1	7.4	0.001	0.27	0.26	2.1	0.6	0.3	5.8	-0.01	0.08	1.3	0.091	0.12	0.54	49	0.31	1.16	26	0.8
L943421	120	10.7	16.1	0.003	1.52	0.28	3.1	0.9	1.3	3.4	-0.01	0.05	6.5	0.055	0.27	1.3	32	0.58	3.13	87	5.7
L943422	460	7.2	8.2	-0.001	0.04	0.09	0.6	-0.2	5	5.9	-0.01	0.03	1.3	0.035	0.06	0.17	16	18.6	1.66	15	0.9
L943423	700	2.2	258	-0.001	0.02	-0.05	9.9	0.3	12	6.1	0.01	0.01	0.3	0.174	1.56	0.32	92	0.62	4.27	57	1.3
L943424	320	11.9	11.2	0.007	0.85	0.47	6.8	3.5	1.1	2.6	0.01	0.47	4.3	0.166	0.09	0.8	80	0.38	4	317	2
L943425	210	8.4	6.2	0.002	5.51	0.29	6.3	1.8	1.9	9	-0.01	0.1	7.7	0.095	0.06	1.7	48	0.6	8.02	220	8.1
L943426	260	9.2	5.6	0.006	1.44	0.33	4.1	1.3	1.9	3	-0.01	0.07	6.5	0.089	0.05	1.09	35	0.93	4.51	140	7.4
L943430	30	0.6	5.6	0.001	0.06	-0.05	1.6	0.4	0.3	0.7	0.03	0.13	-0.2	0.031	0.04	0.1	17	0.1	0.33	29	-0.5
L943431	1030	25.9	39.6	-0.001	3.31	0.19	0.2	16.8	1.4	9.6	0.02	13.4	0.7	-0.005	0.48	0.71	2	0.13	0.27	109	1.2
L943432	1510	22.6	46.5	-0.001	2.74	0.17	0.3	14.9	1.1	7.5	0.01	12.6	0.8	-0.005	0.59	0.52	6	0.19	0.35	112	0.8
L943433	70	2	18.6	0.01	3.75	0.17	2.2	6.5	0.4	1.3	-0.01	1.37	-0.2	0.062	0.57	0.1	32	0.12	0.56	26	0.7
L943434	70	2.3	83.5	0.013	2.16	0.22	3.8	5.7	1.1	2.2	0.01	0.91	-0.2	0.082	1.13	0.09	42	0.11	1	41	0.9
L943435	620	22.8	20.8	-0.001	0.03	-0.05	0.3	-0.2	-0.2	32.2	0.01	0.06	1.1	-0.005	0.09	0.51	1	0.51	0.31	5	0.5
L943436	20	0.6	1	-0.001	0.03	-0.05	0.6	0.2	-0.2	1.9	-0.01	0.03	-0.2	0.016	-0.02	0.13	4	0.35	0.56	-2	-0.5
L943437	550	1.7	4.8	0.001	0.94	0.06	6.4	2.8	0.2	5.8	-0.01	0.31	0.5	0.141	0.03	0.22	62	0.17	5.27	17	1.3
L943438	150	4.9	14	0.002	4.61	-0.05	2.1	1	0.4	12.7	-0.01	0.16	1.1	0.104	0.21	0.2	33	0.12	1.34	434	3.6
L943439	210	52.4	8.8	0.003	3.28	0.07	10.9	1.3	0.7	4.6	-0.01	0.15	2.3	0.191	0.09	0.53	145	0.47	4.19	470	2.7
L943440	140	1.6	36.9	0.001	2.16	0.06	0.7	0.5	0.3	2	-0.01	0.1	0.8	0.032	0.3	0.18	16	0.21	1.77	94	1.6
L943442	280	6.5	51.1	0.002	3.32	0.05	4.1	1.3	0.6	23.6	-0.01	0.27	4.4	0.163	0.82	1.03	96	0.3	5.71	115	2.2
L943443	400	7.2	34.2	0.002	2.28	0.05	5.4	1.3	0.6	22.2	0.01	0.13	4.3	0.16	0.41	0.9	72	0.29	4.98	99	2.3
L943444	240	2.6	13.4	0.002	3.01	-0.05	0.9	0.8	-0.2	1.8	-0.01	0.16	0.9	0.041	0.15	0.31	20	0.23	2.66	46	1.8
L943445	240	2.7	9.1	0.001	5.32	-0.05	1.7	0.8	0.2	3.4	-0.01	0.14	1.7	0.083	0.08	0.27	34	0.89	1.95	50	2.2
L943446	240	2.7	10.8	0.001	3.49	0.06	1.8	0.6	0.2	9	-0.01	0.1	1.8	0.091	0.17	0.39	24	0.27	1.8	52	2
L943447	230	1.6	16.1	-0.001	1.56	0.09	1.3	0.3	0.4	14.7	-0.01	0.04	1.6	0.081	0.19	0.35	18	0.7	1.55	57	1.8
L943448	240	1.4	5.4	0.001	2.27	0.12	1.4	0.5	0.3	5.7	-0.01	0.08	1.5	0.079	0.07	0.36	15	0.68	2.17	49	2.1

Tableau 2: Analyses pour pegmatite (lithium et éléments des terres rares)

Échantillon	Type d'échantillon	AFF / BLOC	UTMX (Nad 83)	UTMY (Nad 83)	Date	Géologue / Assistant	No Fiche Aff	Cellule	Lithologie	Minéralogie	Minéralisation	Altération
L938554	GRAB	OUTCROP	389160	5702007	2012-06-20	MLM/JFD/RR	40113	2160858	I1G	FP/QZ/GR/MV/BO/TL		

Tableau 2: Analyses pour pegmatite (lithium et éléments des terres rares)

Échantillon	Description	Certificat	Li-OG63	ME-MS81										
			Li	Ba	Ce	Cr	Cs	Dy	Er	Eu	Ga	Gd	Hf	Ho
			%	ppm	ppm	ppm	ppm	ppm	ppm	ppm	ppm	ppm	ppm	ppm
L938554	Pegmatite blanche avec 2% TL qui couvre une très grande superficie	VO12176507	-0.005	42.7	3.5	30	4.22	1.04	1.12	0.05	35.7	0.33	1.1	0.27

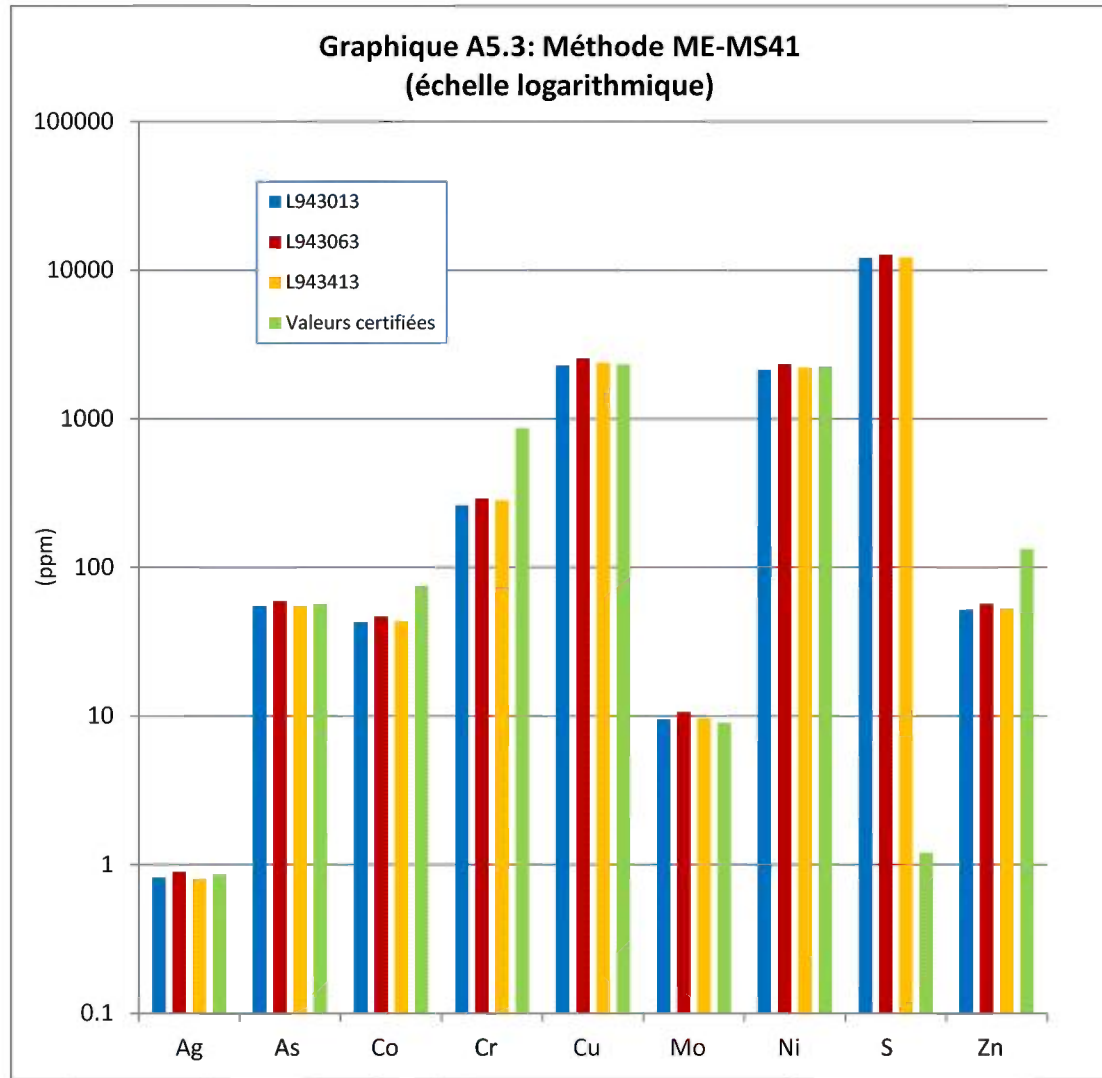
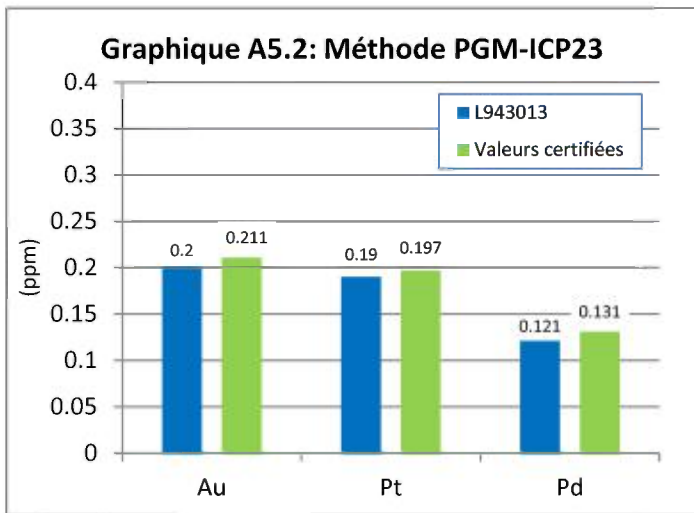
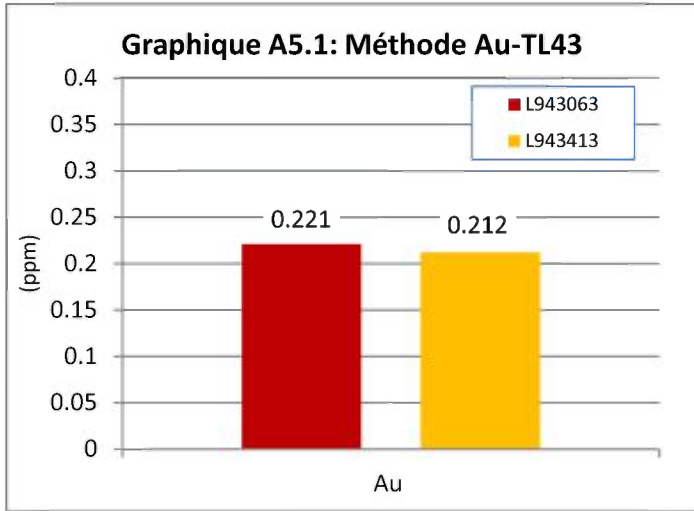
Tableau 2: Analyses pour pegmatite (lithium et éléments des terres rares)

Échantillon	ME-MS81																			
	La	Lu	Nb	Nd	Pr	Rb	Sm	Sn	Sr	Ta	Tb	Th	Tl	Tm	U	V	W	Y	Yb	Zr
	ppm	ppm	ppm	ppm	ppm	ppm	ppm	ppm	ppm	ppm	ppm	ppm	ppm	ppm	ppm	ppm	ppm	ppm	ppm	ppm
L938554	1.9	0.44	11.2	1.3	0.4	195.5	0.36	3	23.4	2.9	0.1	2.94	0.8	0.29	3.47	8	1	8.3	2.57	-20

ANNEXE 5: CONTRÔLE DE QUALITÉ

Tableau 1: Insertion de standard certifié

Échantillon			L943013	L943063	L943413	Valeurs certifiées
Type			Standard	Standard	Standard	
Description			OREAS 13B	OREAS 13B	OREAS 13B	OREAS 13B
Certificat			VO12147437	TB12148418	VO12198682	
Au-TL43	Au	ppm		0.221	0.212	
PGM-ICP23	Au	ppm	0.2			0.211
	Pt	ppm	0.19			0.197
	Pd	ppm	0.121			0.131
ME-MS41	Ag	ppm	0.82	0.9	0.8	0.86
	Al	ppm	20200	21400	18900	
	As	ppm	55	59.7	54.9	57
	Au	ppm	0.2	0.2	0.2	
	B	ppm	10	10	10	
	Ba	ppm	140	150	150	
	Be	ppm	0.5	0.39	0.33	
	Bi	ppm	1.78	1.72	1.57	
	Ca	ppm	14600	15800	14700	
	Cd	ppm	0.1	0.1	0.09	
	Ce	ppm	37.4	39.6	35.1	
	Co	ppm	42.9	47	43.5	75
	Cr	ppm	262	291	282	865
	Cs	ppm	4.96	4.96	4.38	
	Cu	ppm	2290	2570	2380	2327
	Fe	ppm	34300	35700	33500	
	Ga	ppm	5.85	6.35	5.77	
	Ge	ppm	0.15	0.24	0.18	
	Hf	ppm	0.21	0.21	0.19	
	Hg	ppm	0.02	0.03	0.03	
	In	ppm	0.228	0.238	0.207	
	K	ppm	4200	4400	4300	
	La	ppm	19.6	18.2	16.4	
	Li	ppm	8.4	8.5	6.2	
	Mg	ppm	5600	5900	5500	
	Mn	ppm	216	235	217	
	Mo	ppm	9.49	10.65	9.63	9
	Na	ppm	3700	3700	3300	
	Nb	ppm	0.44	0.45	0.39	
	Ni	ppm	2150	2350	2210	2247
	P	ppm	1730	1910	1790	
	Pb	ppm	15.2	15.4	16	
	Rb	ppm	49.7	53.3	46.9	
	Re	ppm	0.004	0.003	0.003	
	S	ppm	12100	12800	12200	1.2
	Sb	ppm	1.75	1.85	1.7	
	Sc	ppm	3.7	3.8	3.3	
	Se	ppm	3.2	3.3	2.8	
	Sn	ppm	4.1	4.4	3.9	
	Sr	ppm	108	125	109.5	
	Ta	ppm	0.01	0.01	0.01	
	Te	ppm	0.26	0.25	0.22	
Th	ppm	10.5	10.5	11.3		
Ti	ppm	1810	1850	1730		
Tl	ppm	0.8	0.84	0.81		
U	ppm	2.16	2.19	2.12		
V	ppm	170	193	180		
W	ppm	1.23	1.22	1.32		
Y	ppm	8.65	10	8.23		
Zn	ppm	52	57	53	133	
Zr	ppm	6.4	7.2	5.8		



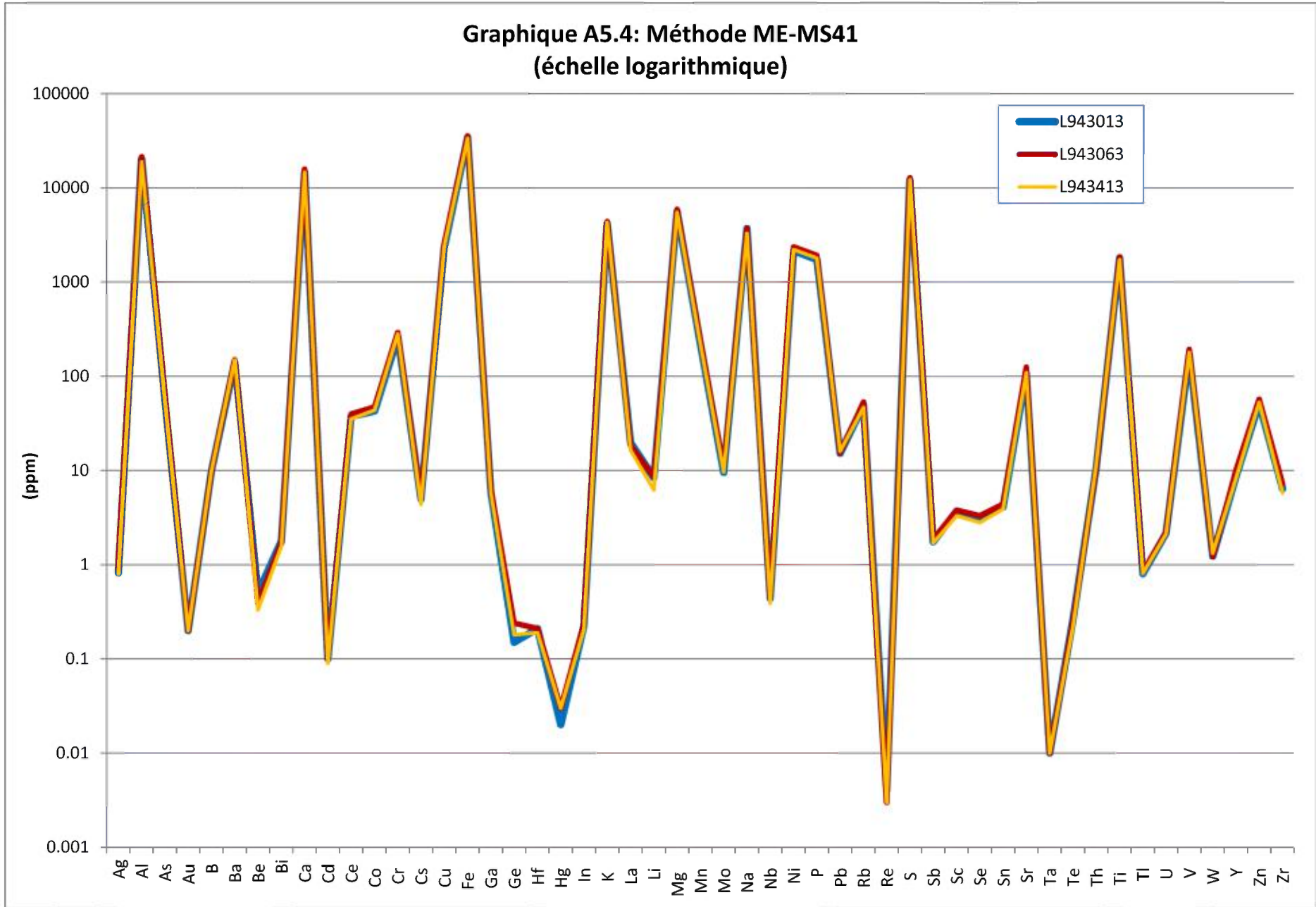
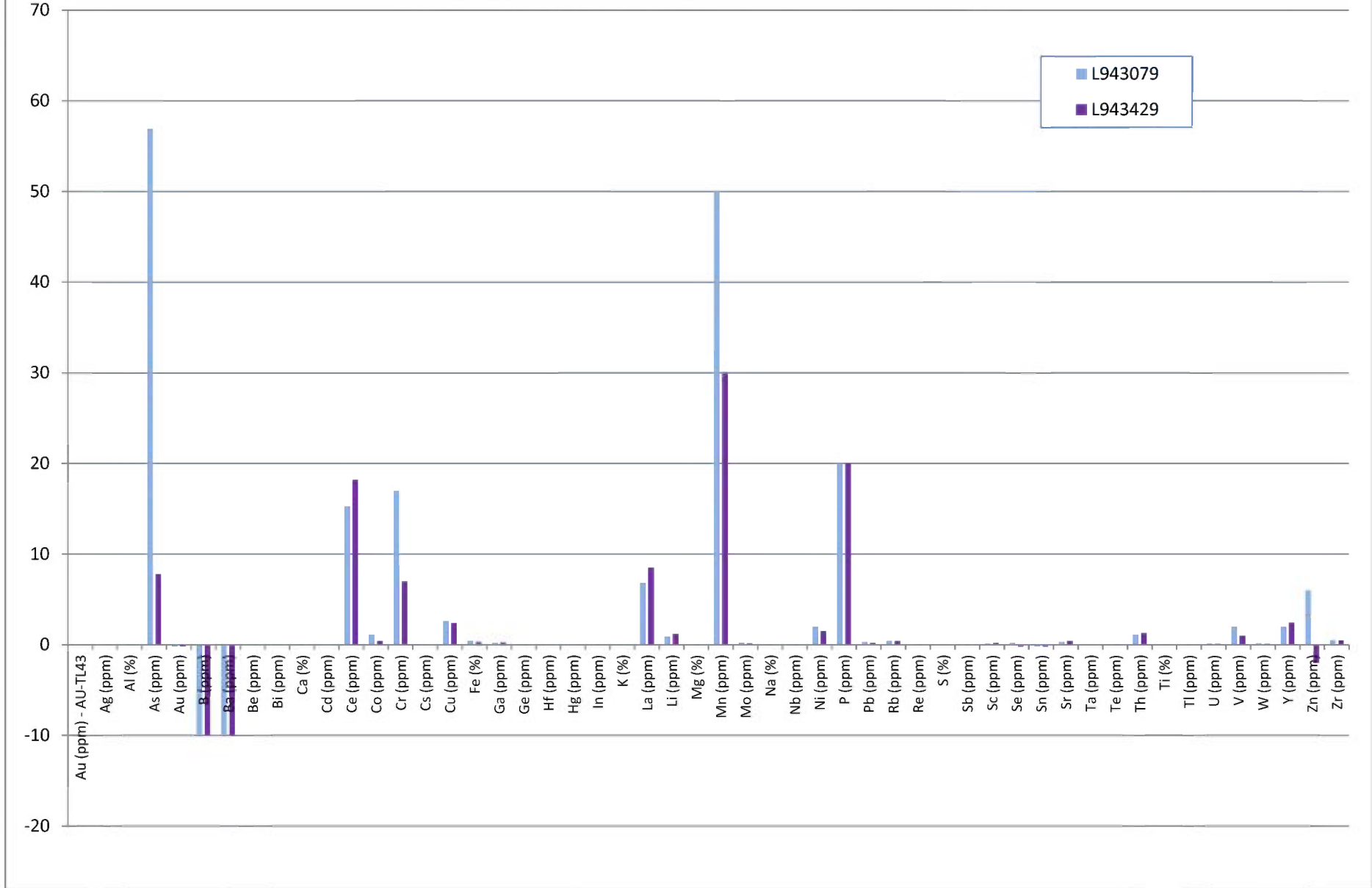


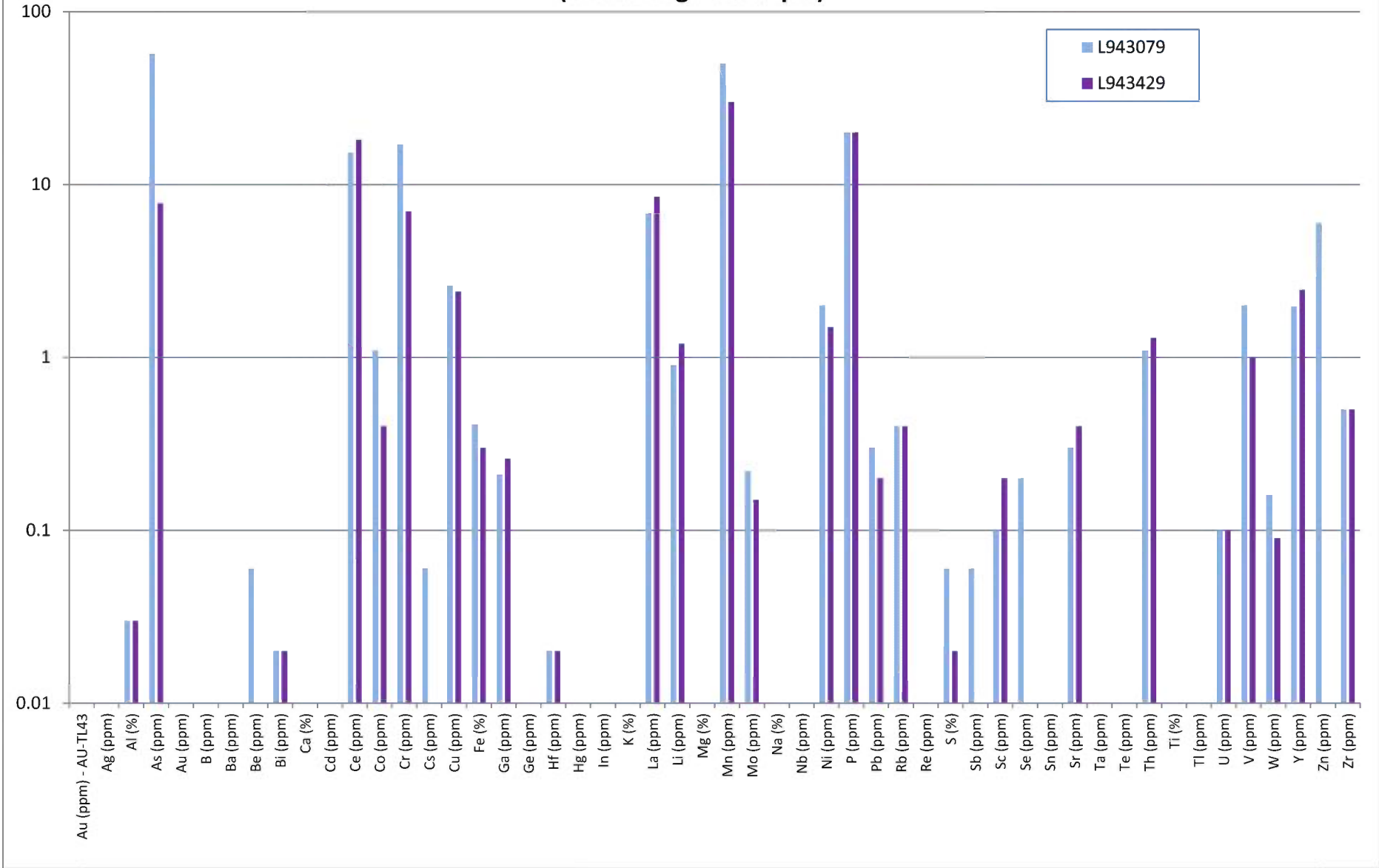
Tableau 2: Insertion de blanc de silice

Échantillon			L943079	L943429	
Type			GRAB	GRAB	
Description			Quartz blank - SITEC	Quartz blank - SITEC	
Certificat			TB12148418	VO12198682	
ME-MS41	Au-TL43	Au	ppm	-0.001	-0.001
		Ag	ppm	0.01	-0.01
		Al	%	0.03	0.03
		As	ppm	56.9	7.8
		Au	ppm	-0.2	-0.2
		B	ppm	-10	-10
		Ba	ppm	-10	-10
		Be	ppm	0.06	-0.05
		Bi	ppm	0.02	0.02
		Ca	%	0.01	0.01
		Cd	ppm	-0.01	0.01
		Ce	ppm	15.3	18.2
		Co	ppm	1.1	0.4
		Cr	ppm	17	7
		Cs	ppm	0.06	-0.05
		Cu	ppm	2.6	2.4
		Fe	%	0.41	0.3
		Ga	ppm	0.21	0.26
		Ge	ppm	-0.05	-0.05
		Hf	ppm	0.02	0.02
		Hg	ppm	-0.01	-0.01
		In	ppm	-0.005	-0.005
		K	%	0.01	-0.01
		La	ppm	6.8	8.5
		Li	ppm	0.9	1.2
		Mg	%	0.01	0.01
		Mn	ppm	50	30
		Mo	ppm	0.22	0.15
		Na	%	-0.01	-0.01
		Nb	ppm	-0.05	-0.05
		Ni	ppm	2	1.5
		P	ppm	20	20
		Pb	ppm	0.3	0.2
		Rb	ppm	0.4	0.4
		Re	ppm	-0.001	-0.001
		S	%	0.06	0.02
		Sb	ppm	0.06	-0.05
		Sc	ppm	0.1	0.2
		Se	ppm	0.2	-0.2
		Sn	ppm	-0.2	-0.2
		Sr	ppm	0.3	0.4
	Ta	ppm	-0.01	-0.01	
	Te	ppm	-0.01	-0.01	
	Th	ppm	1.1	1.3	
	Ti	%	-0.005	-0.005	
	Tl	ppm	-0.02	-0.02	
	U	ppm	0.1	0.1	
	V	ppm	2	1	
	W	ppm	0.16	0.09	
	Y	ppm	1.97	2.46	
	Zn	ppm	6	-2	
	Zr	ppm	0.5	0.5	

Graphique A5.5: Méthodes AU-TL43 et ME-MS41



**Graphique A5.6: Méthodes AU-TL43 et ME-MS41
(Échelle logarithmique)**

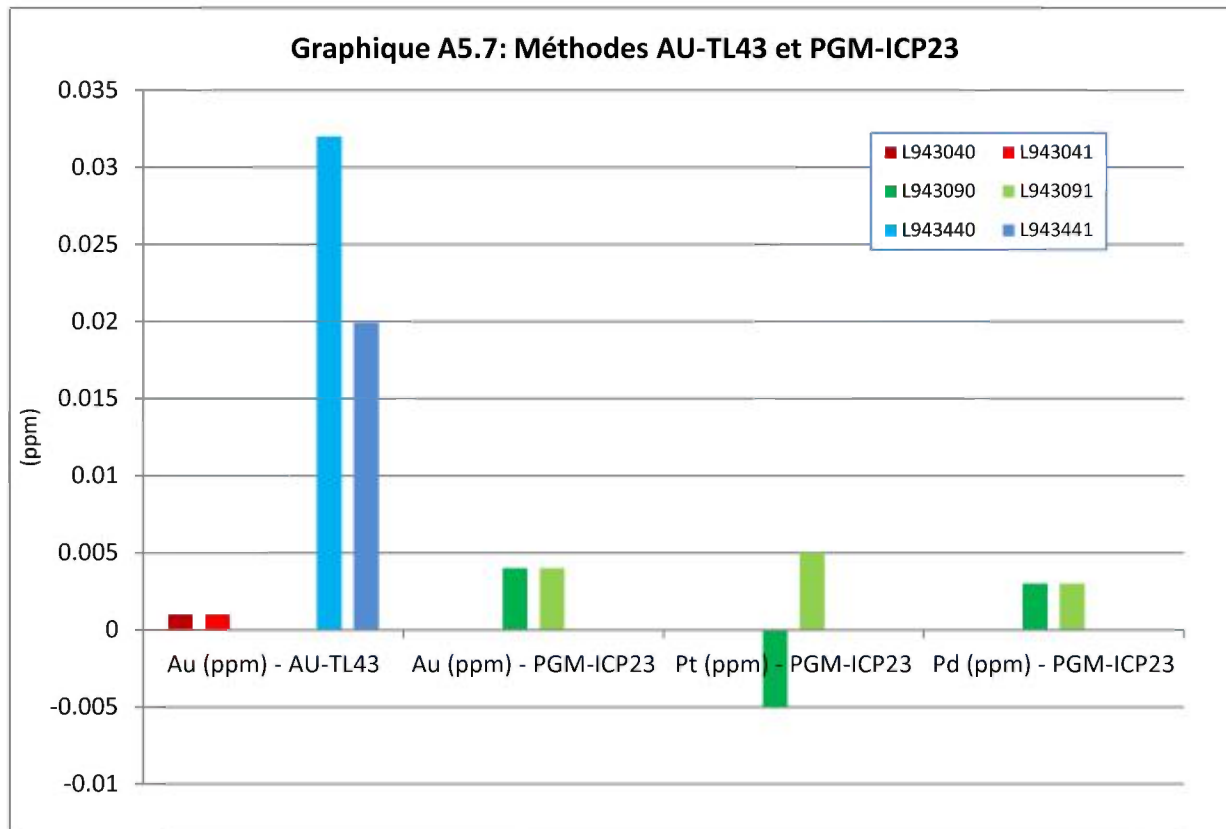


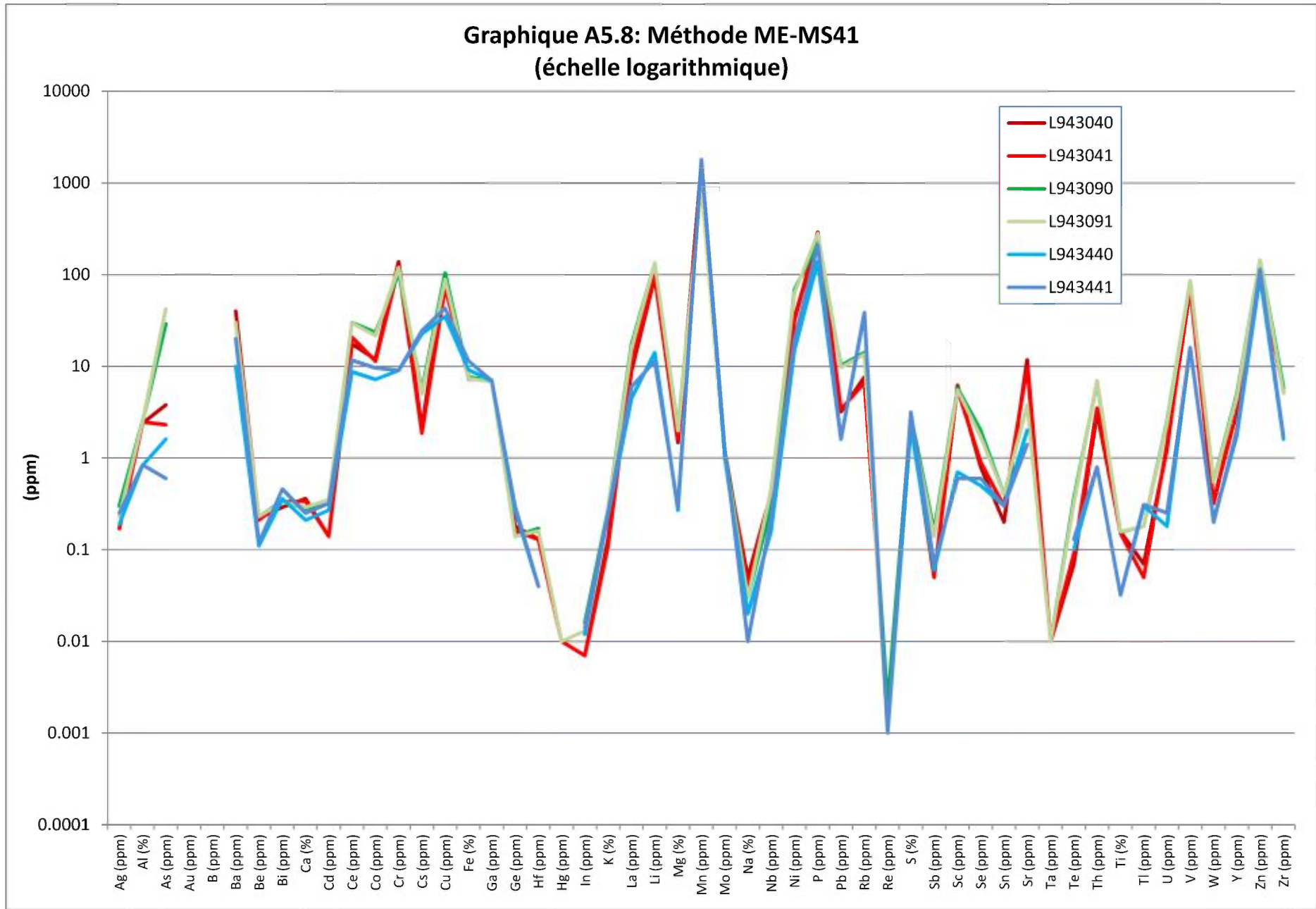
Échantillon			L943040	L943041	L943090	L943091	L943440	L943441
Type			GRAB	GRAB	GRAB	GRAB	GRAB	GRAB
Description			OUTCROP	Doublon de L943040	OUTCROP	Doublon de L943090	BLOC	Doublon de L943440
Certificat			TB12148418	TB12148418	VO12147437	VO12147437	VO12198682	VO12198682
Au-TL43	Au	ppm	0.001	0.001			0.032	0.02
	Pt	ppm			0.004	0.004		
	Pd	ppm			-0.005	0.005		
PGM-ICP23	Ag	ppm			0.003	0.003		
	Al	%						
	As	ppm						
ME-MS41	Au	ppm	0.17	0.17	0.3	0.23	0.19	0.25
	Al	%	2.4	2.46	2.51	2.48	0.83	0.84
	As	ppm	3.8	2.3	28.9	42.1	1.6	0.6
	Au	ppm	-0.2	-0.2	-0.2	-0.2	-0.2	-0.2
	B	ppm	-10	-10	-10	-10	-10	-10
	Ba	ppm	40	30	30	30	10	20
	Be	ppm	0.22	0.21	0.23	0.23	0.11	0.12
	Bi	ppm	0.29	0.33	0.34	0.33	0.36	0.46
	Ca	%	0.36	0.34	0.28	0.29	0.21	0.25
	Cd	ppm	0.14	0.14	0.33	0.35	0.27	0.32
	Ce	ppm	17.45	20.7	30	29.6	8.71	11.65
	Co	ppm	11.9	11.4	23.5	21.6	7.2	9.6
	Cr	ppm	138	120	104	120	9	9
	Cs	ppm	2.12	1.87	5.39	4.97	22.6	24.5
	Cu	ppm	101	72.5	104	89	34.9	43
	Fe	%	7.26	7.43	7.66	7.35	9.19	11.45
	Ga	ppm	7.03	6.92	6.94	6.78	6.9	6.97
	Ge	ppm	0.18	0.16	0.14	0.14	0.27	0.3
	Hf	ppm	0.13	0.13	0.17	0.16	0.04	0.04
	Hg	ppm	0.01	0.01	-0.01	0.01	-0.01	-0.01
	In	ppm	0.007	0.007	0.016	0.013	0.012	0.014
	K	%	0.13	0.11	0.27	0.26	0.24	0.25
	La	ppm	8.9	10.7	17.3	15.7	4.5	6
	Li	ppm	93.9	98.4	133	134	14.1	11.4
	Mg	%	1.47	1.63	2.07	1.99	0.27	0.29
	Mn	ppm	1670	1500	926	919	1800	1790
	Mo	ppm	1.07	1.24	1.22	1.05	1.04	1.31
	Na	%	0.05	0.04	0.03	0.03	0.02	0.01
	Nb	ppm	0.41	0.39	0.3	0.45	0.16	0.22
	Ni	ppm	33.9	31.6	68.4	63.3	15.1	19.6
	P	ppm	250	290	220	280	140	210
	Pb	ppm	3.2	3.4	10.2	9.7	1.6	1.6
	Rb	ppm	7.6	6.6	14.1	13.5	36.9	38.6
	Re	ppm	0.002	0.002	0.002	0.001	0.001	0.001
	S	%	2.6	2.48	2.86	2.47	2.16	3.16
	Sb	ppm	0.05	0.05	0.16	0.14	0.06	0.07
	Sc	ppm	6.2	5.6	5.8	5.5	0.7	0.6
	Se	ppm	0.8	0.9	2	1.7	0.5	0.6
	Sn	ppm	0.2	0.3	0.4	0.4	0.3	0.3
	Sr	ppm	11.8	9.7	3.8	3.8	2	1.4
	Ta	ppm	0.01	0.01	0.01	0.01	-0.01	-0.01
	Te	ppm	0.07	0.09	0.36	0.32	0.1	0.13
Th	ppm	3.1	3.5	6.7	7	0.8	0.8	
Ti	%	0.157	0.151	0.156	0.157	0.032	0.032	
Tl	ppm	0.07	0.05	0.18	0.18	0.3	0.31	
U	ppm	1.24	1.39	2.47	2.35	0.18	0.25	
V	ppm	84	69	85	86	16	16	
W	ppm	0.34	0.32	0.55	0.54	0.21	0.2	
Y	ppm	3.26	3.8	4.92	4.58	1.77	1.99	
Zn	ppm	107	112	145	145	94	114	
Zr	ppm	5.3	5.3	5.9	5.1	1.6	1.7	

Échantillon			L943040	L943041	Écart-type	(L943041 - L943040)	(L943041 - L943040) > (2x (Écart-type))	(L943041 - L943040) > (3x (Écart-type))
Type			GRAB	GRAB				
Description			OUTCROP	Doublon de L943040				
Certificat			TB12148418	TB12148418				
Au-TL43	Au	ppm	0.001	0.001	0.000	0	non	non
	PGM-ICP23	Au	ppm					
		Pt	ppm					
Pd		ppm						
ME-MS41	Ag	ppm	0.17	0.17	0.00	0	non	non
	Al	%	2.4	2.46	0.04	0.06	non	non
	As	ppm	3.8	2.3	1.1	1.5	non	non
	Au	ppm	-0.2	-0.2	0.0	0	non	non
	B	ppm	-10	-10	0	0	non	non
	Ba	ppm	40	30	7	10	non	non
	Be	ppm	0.22	0.21	0.01	0.01	non	non
	Bi	ppm	0.29	0.33	0.03	0.04	non	non
	Ca	%	0.36	0.34	0.01	0.02	non	non
	Cd	ppm	0.14	0.14	0.00	0	non	non
	Ce	ppm	17.45	20.7	2.30	3.25	non	non
	Co	ppm	11.9	11.4	0.4	0.5	non	non
	Cr	ppm	138	120	13	18	non	non
	Cs	ppm	2.12	1.87	0.18	0.25	non	non
	Cu	ppm	101	72.5	20.2	28.5	non	non
	Fe	%	7.26	7.43	0.12	0.17	non	non
	Ga	ppm	7.03	6.92	0.08	0.11	non	non
	Ge	ppm	0.18	0.16	0.01	0.02	non	non
	Hf	ppm	0.13	0.13	0.00	0	non	non
	Hg	ppm	0.01	0.01	0.00	0	non	non
	In	ppm	0.007	0.007	0.000	0	non	non
	K	%	0.13	0.11	0.01	0.02	non	non
	La	ppm	8.9	10.7	1.3	1.8	non	non
	Li	ppm	93.9	98.4	3.2	4.5	non	non
	Mg	%	1.47	1.63	0.11	0.16	non	non
	Mn	ppm	1670	1500	120	170	non	non
	Mo	ppm	1.07	1.24	0.12	0.17	non	non
	Na	%	0.05	0.04	0.01	0.01	non	non
	Nb	ppm	0.41	0.39	0.01	0.02	non	non
	Ni	ppm	33.9	31.6	1.6	2.3	non	non
	P	ppm	250	290	28	40	non	non
	Pb	ppm	3.2	3.4	0.1	0.2	non	non
	Rb	ppm	7.6	6.6	0.7	1	non	non
	Re	ppm	0.002	0.002	0.000	0	non	non
	S	%	2.6	2.48	0.08	0.12	non	non
	Sb	ppm	0.05	0.05	0.00	0	non	non
	Sc	ppm	6.2	5.6	0.4	0.6	non	non
	Se	ppm	0.8	0.9	0.1	0.1	non	non
	Sn	ppm	0.2	0.3	0.1	0.1	non	non
	Sr	ppm	11.8	9.7	1.5	2.1	non	non
	Ta	ppm	0.01	0.01	0.00	0	non	non
Te	ppm	0.07	0.09	0.01	0.02	non	non	
Th	ppm	3.1	3.5	0.3	0.4	non	non	
Ti	%	0.157	0.151	0.004	0.006	non	non	
Tl	ppm	0.07	0.05	0.01	0.02	non	non	
U	ppm	1.24	1.39	0.11	0.15	non	non	
V	ppm	84	69	11	15	non	non	
W	ppm	0.34	0.32	0.01	0.02	non	non	
Y	ppm	3.26	3.8	0.38	0.54	non	non	
Zn	ppm	107	112	4	5	non	non	
Zr	ppm	5.3	5.3	0.0	0	non	non	

Échantillon			L943090	L943091	Écart-type	(L943041 - L943040)	(L943041 - L943040) > (2x (Écart-type))	(L943041 - L943040) > (3x (Écart-type))
Type			GRAB	GRAB				
Description			OUTCROP	Doublon de L943090				
Certificat			VO12147437	VO12147437				
Au-TL43	Au	ppm						
PGM-ICP23	Au	ppm	0.004	0.004	0.000	0	non	non
	Pt	ppm	-0.005	0.005	0.007	0.01	non	non
	Pd	ppm	0.003	0.003	0.000	0	non	non
ME-MS41	Ag	ppm	0.3	0.23	0.05	0.07	non	non
	Al	%	2.51	2.48	0.02	0.03	non	non
	As	ppm	28.9	42.1	9.3	13.2	non	non
	Au	ppm	-0.2	-0.2	0.0	0	non	non
	B	ppm	-10	-10	0	0	non	non
	Ba	ppm	30	30	0	0	non	non
	Be	ppm	0.23	0.23	0.00	0	non	non
	Bi	ppm	0.34	0.33	0.01	0.01	non	non
	Ca	%	0.28	0.29	0.01	0.01	non	non
	Cd	ppm	0.33	0.35	0.01	0.02	non	non
	Ce	ppm	30	29.6	0.28	0.4	non	non
	Co	ppm	23.5	21.6	1.3	1.9	non	non
	Cr	ppm	104	120	11	16	non	non
	Cs	ppm	5.39	4.97	0.30	0.42	non	non
	Cu	ppm	104	89	10.6	15	non	non
	Fe	%	7.66	7.35	0.22	0.31	non	non
	Ga	ppm	6.94	6.78	0.11	0.16	non	non
	Ge	ppm	0.14	0.14	0.00	0	non	non
	Hf	ppm	0.17	0.16	0.01	0.01	non	non
	Hg	ppm	-0.01	0.01	0.01	0.02	non	non
	In	ppm	0.016	0.013	0.002	0.003	non	non
	K	%	0.27	0.26	0.01	0.01	non	non
	La	ppm	17.3	15.7	1.1	1.6	non	non
	Li	ppm	133	134	0.7	1	non	non
	Mg	%	2.07	1.99	0.06	0.08	non	non
	Mn	ppm	926	919	5	7	non	non
	Mo	ppm	1.22	1.05	0.12	0.17	non	non
	Na	%	0.03	0.03	0.00	0	non	non
	Nb	ppm	0.3	0.45	0.11	0.15	non	non
	Ni	ppm	68.4	63.3	3.6	5.1	non	non
	P	ppm	220	280	42	60	non	non
	Pb	ppm	10.2	9.7	0.4	0.5	non	non
	Rb	ppm	14.1	13.5	0.4	0.6	non	non
	Re	ppm	0.002	0.001	0.001	0.001	non	non
	S	%	2.86	2.47	0.28	0.39	non	non
	Sb	ppm	0.16	0.14	0.01	0.02	non	non
	Sc	ppm	5.8	5.5	0.2	0.3	non	non
	Se	ppm	2	1.7	0.2	0.3	non	non
	Sn	ppm	0.4	0.4	0.0	0	non	non
	Sr	ppm	3.8	3.8	0.0	0	non	non
	Ta	ppm	0.01	0.01	0.00	0	non	non
	Te	ppm	0.36	0.32	0.03	0.04	non	non
Th	ppm	6.7	7	0.2	0.3	non	non	
Ti	%	0.156	0.157	0.001	0.001	non	non	
Tl	ppm	0.18	0.18	0.00	0	non	non	
U	ppm	2.47	2.35	0.08	0.12	non	non	
V	ppm	85	86	1	1	non	non	
W	ppm	0.55	0.54	0.01	0.01	non	non	
Y	ppm	4.92	4.58	0.24	0.34	non	non	
Zn	ppm	145	145	0	0	non	non	
Zr	ppm	5.9	5.1	0.6	0.8	non	non	

Échantillon			L943440	L943441	Écart-type	(L943041 - L943040)	(L943041 - L943040) > (2x (Écart-type))	(L943041 - L943040) > (3x (Écart-type))
Type			GRAB	GRAB				
Description			BLOC	Doublon de L943440				
Certificat			VO12198682	VO12198682				
Au-TL43	Au	ppm	0.032	0.02	0.008	0.012	non	non
PGM-ICP23	Au	ppm						
	Pt	ppm						
	Pd	ppm						
ME-MS41	Ag	ppm	0.19	0.25	0.04	0.06	non	non
	Al	%	0.83	0.84	0.01	0.01	non	non
	As	ppm	1.6	0.6	0.7	1	non	non
	Au	ppm	-0.2	-0.2	0.0	0	non	non
	B	ppm	-10	-10	0	0	non	non
	Ba	ppm	10	20	7	10	non	non
	Be	ppm	0.11	0.12	0.01	0.01	non	non
	Bi	ppm	0.36	0.46	0.07	0.1	non	non
	Ca	%	0.21	0.25	0.03	0.04	non	non
	Cd	ppm	0.27	0.32	0.04	0.05	non	non
	Ce	ppm	8.71	11.65	2.08	2.94	non	non
	Co	ppm	7.2	9.6	1.7	2.4	non	non
	Cr	ppm	9	9	0	0	non	non
	Cs	ppm	22.6	24.5	1.34	1.9	non	non
	Cu	ppm	34.9	43	5.7	8.1	non	non
	Fe	%	9.19	11.45	1.60	2.26	non	non
	Ga	ppm	6.9	6.97	0.05	0.07	non	non
	Ge	ppm	0.27	0.3	0.02	0.03	non	non
	Hf	ppm	0.04	0.04	0.00	0	non	non
	Hg	ppm	-0.01	-0.01	0.00	0	non	non
	In	ppm	0.012	0.014	0.001	0.002	non	non
	K	%	0.24	0.25	0.01	0.01	non	non
	La	ppm	4.5	6	1.1	1.5	non	non
	Li	ppm	14.1	11.4	1.9	2.7	non	non
	Mg	%	0.27	0.29	0.01	0.02	non	non
	Mn	ppm	1800	1790	7	10	non	non
	Mo	ppm	1.04	1.31	0.19	0.27	non	non
	Na	%	0.02	0.01	0.01	0.01	non	non
	Nb	ppm	0.16	0.22	0.04	0.06	non	non
	Ni	ppm	15.1	19.6	3.2	4.5	non	non
	P	ppm	140	210	49	70	non	non
	Pb	ppm	1.6	1.6	0.0	0	non	non
	Rb	ppm	36.9	38.6	1.2	1.7	non	non
	Re	ppm	0.001	0.001	0.000	0	non	non
	S	%	2.16	3.16	0.71	1	non	non
	Sb	ppm	0.06	0.07	0.01	0.01	non	non
	Sc	ppm	0.7	0.6	0.1	0.1	non	non
	Se	ppm	0.5	0.6	0.1	0.1	non	non
	Sn	ppm	0.3	0.3	0.0	0	non	non
	Sr	ppm	2	1.4	0.4	0.6	non	non
	Ta	ppm	-0.01	-0.01	0.00	0	non	non
	Te	ppm	0.1	0.13	0.02	0.03	non	non
Th	ppm	0.8	0.8	0.0	0	non	non	
Ti	%	0.032	0.032	0.000	0	non	non	
Tl	ppm	0.3	0.31	0.01	0.01	non	non	
U	ppm	0.18	0.25	0.05	0.07	non	non	
V	ppm	16	16	0	0	non	non	
W	ppm	0.21	0.2	0.01	0.01	non	non	
Y	ppm	1.77	1.99	0.16	0.22	non	non	
Zn	ppm	94	114	14	20	non	non	
Zr	ppm	1.6	1.7	0.1	0.1	non	non	





ANNEXE 6: CERTIFICATS D'ANALYSES



ALS Canada Ltd.
2103 Dollarton Hwy
North Vancouver BC V7H 0A7
Téléphone: 604 984 0221 Télécopieur: 604 984 0218
www.alsglobal.com

À: RESSOURCES MONARQUES INC.
450 RUE DE LA GARE DU PALAIS
B.P. 10
QUEBEC QC G1K 3X2

Page: 1
Finalisée date: 16- JUIL- 2012
Compte: REMONA

CERTIFICAT TB12148418

Projet: CAU- GE- 202
Bon de commande #: 5009
Ce rapport s'applique aux 49 échantillons de roche soumis à notre laboratoire de Val d'Or, QC, Canada le 22- JUIN- 2012.

Les résultats sont transmis à:

GUY BOURASSA
YVES CARON

ISABELLE BOURASSA
MAUDE LEVESQUE- MICHAUD

GUY BOURASSA
LOUIS- PHILIPPE RICHARD

PRÉPARATION ÉCHANTILLONS

CODE ALS	DESCRIPTION
WEI- 21	Poids échantillon reçu
LOG- 24	Entrée pulpe - Reçu sans code barre
LOG- 22	Entrée échantillon - Reçu sans code barre
CRU- QC	Test concassage QC
PUL- QC	Test concassage QC
CRU- 31	Granulation - 70 % < 2 mm
SPL- 21	Échant. fractionné - div. riffles
PUL- 31	Pulvérisé à 85 % < 75 um

PROCÉDURES ANALYTIQUES

CODE ALS	DESCRIPTION	INSTRUMENT
ME- OG46	Teneur marchandes éléments - Aqua regia	ICP- AES
Cu- OG46	Teneur marchande Cu - Aqua regia	VARIABLE
Au- TL43	Teneur trace Au - 25 g AR	ICP- MS
ME- MS41	Aqua regia 51 éléments ICP- MS	

À: RESSOURCES MONARQUES INC.
ATTN: MAUDE LEVESQUE- MICHAUD
450 RUE DE LA GARE DU PALAIS
B.P. 10
QUEBEC QC G1K 3X2

Ce rapport est final et remplace tout autre rapport préliminaire portant ce numéro de certificat. Les résultats s'appliquent aux échantillons soumis. Toutes les pages de ce rapport ont été vérifiées et approuvées avant publication.

***** Voir la page d'annexe pour les commentaires en ce qui concerne ce certificat *****

Signature:

Colin Ramshaw, Vancouver Laboratory Manager



ALS Canada Ltd.
 2103 Dollarton Hwy
 North Vancouver BC V7H 0A7
 Téléphone: 604 984 0221 Télécopieur: 604 984 0218
 www.alsglobal.com

À: RESSOURCES MONARQUES INC.
 450 RUE DE LA GARE DU PALAIS
 B.P. 10
 QUEBEC QC G1K 3X2

Page: 2 - A
 Nombre total de pages: 3 (A - D)
 plus les pages d'annexe
 Finalisée date: 16-JUIL-2012
 Compte: REMONA

Projet: CAU- GE- 202

CERTIFICAT D'ANALYSE TB12148418

Description échantillon	Méthode	WEI- 21	Au- TL43	ME- MS41												
	élément	Poids reçu	Au	Ag	Al	As	Au	B	Ba	Be	Bi	Ca	Cd	Ce	Co	Cr
	unités	kg	ppm	ppm	%	ppm	ppm	ppm	ppm	ppm	ppm	%	ppm	ppm	ppm	ppm
	L.D.	0.02	0.001	0.01	0.01	0.1	0.2	10	10	0.05	0.01	0.01	0.01	0.02	0.1	1
L943001		1.10	0.001	0.17	3.02	0.5	<0.2	<10	20	0.09	0.18	1.82	0.05	7.10	32.2	195
L943002		0.84	<0.001	1.95	0.26	39.5	<0.2	<10	<10	0.08	14.30	0.08	0.95	3.70	85.2	5
L943003		0.91	<0.001	1.37	0.33	54.6	<0.2	<10	10	0.10	5.92	0.16	0.46	5.36	136.5	5
L943004		1.07	0.046	3.10	1.70	0.5	<0.2	<10	10	0.05	0.22	1.15	2.75	9.82	25.4	112
L943005		1.79	<0.001	16.10	0.69	13.5	<0.2	<10	20	0.22	36.6	0.43	4.83	11.85	73.0	53
L943006		0.93	0.003	0.63	2.18	2.7	<0.2	<10	60	0.15	0.64	1.60	0.28	10.15	41.9	30
L943008		1.29	<0.001	1.54	0.15	6.9	<0.2	<10	<10	0.18	8.25	0.17	4.67	2.62	4.4	5
L943016		1.15	0.003	0.29	1.77	4.8	<0.2	<10	10	0.23	0.27	0.30	0.12	15.65	15.1	19
L943022		1.28	0.917	15.40	1.28	0.8	0.7	<10	30	1.69	6.29	0.37	2.49	1.29	18.0	3
L943024		1.33	0.001	0.10	0.63	1.3	<0.2	<10	10	0.10	0.21	0.66	0.03	5.86	21.9	9
L943025		1.37	0.002	0.19	0.26	2.6	<0.2	<10	<10	0.08	0.27	0.31	0.01	1.89	6.2	14
L943026		0.89	<0.001	0.12	0.78	1.8	<0.2	<10	150	0.37	0.30	0.50	0.05	13.30	4.8	31
L943027		1.05	<0.001	1.16	0.26	56.4	<0.2	<10	<10	0.19	10.80	0.05	0.25	5.14	120.0	19
L943028		0.89	<0.001	0.07	3.94	1.6	<0.2	<10	370	0.54	0.18	2.08	0.04	45.8	9.9	63
L943029		0.99	<0.001	<0.01	0.02	<0.1	<0.2	<10	<10	0.08	0.01	0.01	<0.01	36.5	0.2	14
L943030		0.99	<0.001	1.13	0.70	17.2	<0.2	<10	10	0.13	8.38	0.32	0.16	17.90	309	27
L943031		0.80	<0.001	0.24	0.95	0.5	<0.2	<10	60	0.10	0.76	0.33	0.17	13.30	62.8	94
L943032		0.73	<0.001	0.41	0.13	70.0	<0.2	<10	<10	0.09	1.80	0.07	0.22	3.67	58.6	3
L943033		0.93	<0.001	0.34	0.90	4.2	<0.2	<10	10	0.15	0.44	0.22	0.23	22.7	11.9	36
L943034		0.71	<0.001	0.01	1.10	5.3	<0.2	<10	10	0.16	0.06	2.55	0.10	1.24	10.4	18
L943036		1.18	0.001	0.03	0.20	0.9	<0.2	<10	10	0.16	0.05	0.27	0.03	6.97	4.2	10
L943037		1.14	0.001	0.14	2.50	3.4	<0.2	<10	130	0.42	0.43	0.31	0.01	17.85	12.9	83
L943038		0.70	0.005	0.52	1.60	82.8	<0.2	<10	20	0.11	0.46	0.23	0.02	8.93	23.6	105
L943039		0.88	0.007	0.62	1.36	2.4	<0.2	<10	10	0.13	0.83	0.18	0.08	12.35	49.4	53
L943040		1.08	0.001	0.17	2.40	3.8	<0.2	<10	40	0.22	0.29	0.36	0.14	17.45	11.9	138
L943041		0.75	0.001	0.17	2.46	2.3	<0.2	<10	30	0.21	0.33	0.34	0.14	20.7	11.4	120
L943042		1.01	0.007	0.47	1.28	0.8	<0.2	<10	10	0.17	0.19	0.38	0.31	16.65	12.8	20
L943043		1.09	<0.001	0.10	2.09	8.6	<0.2	<10	140	0.28	0.38	0.46	0.02	11.05	9.3	53
L943046		1.10	0.239	0.08	2.49	605	0.2	<10	40	0.29	0.08	0.36	0.57	12.05	51.8	316
L943047		1.24	0.012	0.37	1.79	2250	<0.2	<10	10	0.28	1.92	0.25	8.98	20.8	52.6	269
L943048		0.79	<0.001	1.08	1.09	33.6	<0.2	<10	10	0.34	2.03	0.10	0.24	9.28	84.3	109
L943049		0.98	0.006	0.31	2.41	349	<0.2	<10	10	0.34	0.31	0.23	0.09	5.33	41.3	105
L943050		1.00	<0.001	0.75	0.64	32.8	<0.2	<10	<10	0.28	11.25	0.08	0.13	2.59	34.9	168
L943052		1.49	0.035	0.10	1.49	164.5	<0.2	<10	<10	0.12	0.21	0.27	0.43	10.80	33.0	44
L943053		0.52	<0.001	0.34	1.13	3.5	<0.2	<10	10	0.11	0.84	0.91	0.05	2.25	98.3	28
L943058		0.93	<0.001	0.50	1.40	2.4	<0.2	<10	50	0.21	2.15	0.22	0.66	23.0	30.3	51
L943059		1.14	<0.001	0.01	1.63	184.0	<0.2	<10	20	0.26	0.22	0.49	0.05	0.53	28.6	118
L943060		0.60	0.012	0.54	1.30	74.7	<0.2	<10	10	0.33	0.40	0.28	0.26	8.00	40.3	101
L943061		1.49	0.001	1.36	3.10	103.0	<0.2	<10	<10	0.44	3.98	0.24	0.71	4.23	22.5	68
L943062		0.89	<0.001	0.04	3.10	1.8	<0.2	<10	40	0.19	0.09	0.19	0.07	7.25	32.2	2



ALS Canada Ltd.
 2103 Dollarton Hwy
 North Vancouver BC V7H 0A7
 Téléphone: 604 984 0221 Télécopieur: 604 984 0218
 www.alsglobal.com

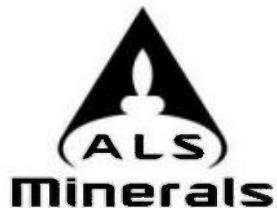
À: RESSOURCES MONARQUES INC.
 450 RUE DE LA GARE DU PALAIS
 B.P. 10
 QUEBEC QC G1K 3X2

Page: 2 - B
 Nombre total de pages: 3 (A - D)
 plus les pages d'annexe
 Finalisée date: 16-JUIL-2012
 Compte: REMONA

Projet: CAU- GE- 202

CERTIFICAT D'ANALYSE TB12148418

Description échantillon	Méthode élément unités L.D.	ME- MS41														
		Cs ppm	Cu ppm	Fe %	Ga ppm	Ge ppm	Hf ppm	Hg ppm	In ppm	K %	La ppm	Li ppm	Mg %	Mn ppm	Mo ppm	Na %
L943001		3.33	549	9.20	6.87	0.14	0.07	0.01	0.021	0.16	3.1	17.5	0.55	940	0.46	0.19
L943002		0.19	135.5	35.0	0.93	0.34	0.03	0.02	0.025	0.01	1.8	3.9	0.11	240	0.99	0.01
L943003		0.27	103.5	28.6	1.48	0.33	0.05	0.01	0.018	0.02	2.4	2.8	0.06	165	0.80	0.01
L943004		0.41	>10000	5.51	4.04	0.11	0.13	<0.01	0.118	0.05	3.9	17.1	0.68	631	0.88	0.07
L943005		1.58	197.5	25.3	3.79	0.22	0.08	0.02	0.276	0.11	4.8	17.6	0.43	1540	0.85	0.04
L943006		1.48	474	7.59	4.94	0.22	0.08	0.01	0.022	0.06	5.3	16.0	0.62	648	0.57	0.12
L943008		0.26	32.1	3.43	0.74	0.05	0.13	0.01	0.267	0.13	1.2	0.8	0.01	98	0.35	0.03
L943016		2.84	78.5	10.30	8.14	0.26	0.04	0.02	0.005	0.11	8.0	66.3	0.83	1450	0.65	0.05
L943022		12.25	>10000	5.61	5.80	0.16	0.27	0.02	1.115	0.22	0.8	88.1	1.04	164	1.16	0.03
L943024		1.09	298	2.79	2.76	0.10	0.08	<0.01	0.012	0.05	3.0	21.8	0.46	222	0.58	0.07
L943025		0.40	313	1.11	1.18	<0.05	0.03	0.01	<0.005	0.02	1.5	4.2	0.08	57	2.05	0.02
L943026		4.99	5.5	25.5	7.33	1.50	0.04	0.04	0.006	0.26	7.7	44.5	0.42	159	0.19	0.05
L943027		0.27	93.8	30.2	1.61	0.75	0.04	0.01	0.010	0.02	2.7	22.4	0.19	274	0.45	0.01
L943028		2.77	31.4	3.09	11.45	0.18	0.11	0.02	0.013	0.80	23.1	26.2	0.71	568	0.79	0.40
L943029		<0.05	1.4	0.26	0.23	<0.05	0.02	<0.01	<0.005	<0.01	16.2	1.3	<0.01	27	0.11	<0.01
L943030		0.84	206	22.4	2.63	0.49	0.08	0.04	0.036	0.04	10.8	23.9	0.41	245	2.39	0.04
L943031		1.79	207	6.37	3.80	0.16	0.05	<0.01	0.007	0.22	5.8	22.2	0.46	361	1.68	0.08
L943032		0.13	108.0	29.0	0.78	0.64	0.03	0.03	0.017	0.02	1.9	0.6	0.10	169	0.42	0.01
L943033		3.83	34.3	3.99	4.46	0.15	0.32	0.01	0.008	0.20	11.4	36.1	1.10	573	0.87	0.04
L943034		0.33	3.4	1.34	2.90	0.07	0.09	<0.01	0.007	0.01	0.6	9.0	0.41	360	0.52	0.05
L943036		3.75	30.4	2.59	1.02	0.09	<0.02	<0.01	0.015	0.03	3.6	0.5	0.10	108	0.31	0.01
L943037		10.30	56.7	11.20	9.59	0.55	0.07	0.02	0.005	0.68	8.5	91.1	1.31	642	0.54	0.03
L943038		0.54	94.7	6.29	6.27	0.13	0.06	0.01	0.007	0.06	4.9	43.4	0.99	797	1.30	0.03
L943039		1.01	408	22.6	4.28	0.47	0.09	0.03	0.007	0.06	6.5	56.4	1.04	589	1.06	0.02
L943040		2.12	101.0	7.26	7.03	0.18	0.13	0.01	0.007	0.13	8.9	93.9	1.47	1670	1.07	0.05
L943041		1.87	72.5	7.43	6.92	0.16	0.13	0.01	0.007	0.11	10.7	98.4	1.63	1500	1.24	0.04
L943042		1.73	66.7	9.50	5.09	0.26	0.06	0.01	0.014	0.07	9.4	35.5	0.67	1220	0.79	0.05
L943043		20.5	16.1	12.20	13.10	0.73	0.08	0.02	0.014	0.72	4.9	91.6	0.81	232	0.85	0.03
L943046		1.46	40.1	5.11	8.03	0.15	0.05	0.01	0.023	0.16	5.6	81.1	1.25	1240	0.50	0.05
L943047		0.98	342	5.06	7.71	0.15	0.10	0.01	0.340	0.08	10.2	107.0	1.60	479	3.88	0.04
L943048		1.20	990	26.5	6.08	0.64	0.06	0.03	0.046	0.07	4.3	80.2	0.85	612	2.21	0.01
L943049		8.09	31.5	5.99	5.82	0.16	0.02	0.01	0.016	0.29	2.1	123.0	0.81	1070	0.46	0.01
L943050		0.73	315	9.90	6.18	0.17	0.03	0.01	0.034	0.06	1.3	15.4	0.30	246	2.41	0.01
L943052		1.52	45.2	3.59	4.84	0.12	0.04	<0.01	0.031	0.09	5.0	44.0	0.77	634	1.25	0.01
L943053		1.48	782	4.30	3.11	0.16	0.10	0.01	0.034	0.06	1.1	15.4	0.80	252	0.54	0.16
L943058		6.51	235	9.13	5.72	0.25	0.13	0.01	0.074	0.19	11.0	57.0	0.81	520	1.07	0.04
L943059		1.11	2.1	1.74	2.18	<0.05	0.02	<0.01	<0.005	0.12	0.3	84.8	1.56	283	0.10	0.02
L943060		1.35	206	4.26	3.75	0.09	0.03	0.01	0.017	0.14	3.6	50.4	0.79	535	2.70	0.03
L943061		1.92	163.5	10.70	13.50	0.26	0.06	0.02	0.028	0.04	2.1	77.6	2.60	1070	0.60	0.02
L943062		45.8	7.4	7.03	13.65	0.20	0.06	0.01	0.054	1.09	3.2	87.8	2.54	300	0.17	0.03



ALS Canada Ltd.
 2103 Dollarton Hwy
 North Vancouver BC V7H 0A7
 Téléphone: 604 984 0221 Télécopieur: 604 984 0218
 www.alsglobal.com

À: RESSOURCES MONARQUES INC.
 450 RUE DE LA GARE DU PALAIS
 B.P. 10
 QUEBEC QC G1K 3X2

Page: 2 - C
 Nombre total de pages: 3 (A - D)
 plus les pages d'annexe
 Finalisée date: 16-JUIL-2012
 Compte: REMONA

Projet: CAU- GE- 202

CERTIFICAT D'ANALYSE TB12148418

Description échantillon	Méthode élément unités L.D.	ME- MS41														
		Nb ppm	Ni ppm	P ppm	Pb ppm	Rb ppm	Re ppm	S %	Sb ppm	Sc ppm	Se ppm	Sn ppm	Sr ppm	Ta ppm	Te ppm	Th ppm
L943001		0.14	114.0	270	1.4	10.8	0.002	0.74	<0.05	13.1	1.4	0.2	35.1	<0.01	0.12	0.2
L943002		0.53	71.4	50	4.1	1.0	0.003	>10.0	<0.05	1.9	5.7	1.7	2.5	<0.01	0.08	0.5
L943003		0.43	64.4	700	5.0	2.2	0.004	>10.0	<0.05	2.1	8.2	1.5	2.2	<0.01	0.07	0.9
L943004		0.25	76.9	180	1.6	2.7	0.004	2.02	<0.05	13.9	3.4	0.6	15.8	<0.01	0.65	0.8
L943005		0.43	57.7	1720	10.7	13.3	0.003	>10.0	0.09	10.4	4.9	4.7	4.3	0.01	0.13	1.3
L943006		0.29	99.9	480	2.3	3.0	0.002	3.97	<0.05	7.6	1.3	0.2	42.0	0.01	0.10	0.9
L943008		0.09	11.3	870	8.8	6.1	0.001	2.01	<0.05	0.3	1.1	0.3	4.4	<0.01	0.02	0.5
L943016		0.52	32.4	240	3.0	11.9	0.002	4.63	<0.05	1.6	0.8	<0.2	9.7	<0.01	0.08	1.4
L943022		0.23	76.5	1580	25.5	51.0	0.001	2.60	0.17	0.4	20.5	1.3	7.4	0.02	15.25	1.6
L943024		0.29	18.7	430	1.2	5.1	0.001	0.61	0.06	6.1	2.1	<0.2	5.6	<0.01	0.20	0.4
L943025		0.16	5.9	170	1.1	2.2	0.001	0.20	0.05	1.0	1.4	<0.2	4.5	<0.01	0.25	<0.2
L943026		0.61	13.7	1010	0.7	62.0	0.001	0.02	<0.05	1.9	0.3	0.3	22.1	<0.01	0.03	1.8
L943027		0.91	62.9	100	4.0	2.7	0.002	>10.0	<0.05	2.0	5.2	0.9	1.5	<0.01	0.20	0.8
L943028		0.62	15.5	1220	6.7	41.8	0.001	0.13	<0.05	5.7	0.7	0.9	115.5	0.01	0.03	5.0
L943029		<0.05	1.0	20	0.2	0.3	<0.001	0.01	<0.05	0.1	0.2	<0.2	0.6	<0.01	0.01	1.6
L943030		1.78	83.9	630	2.9	5.1	0.003	>10.0	<0.05	1.8	4.1	0.6	6.3	0.01	0.70	1.8
L943031		0.38	123.5	510	0.9	11.3	0.003	3.48	<0.05	8.8	1.5	<0.2	11.6	<0.01	0.20	1.2
L943032		0.87	55.8	90	4.2	1.4	0.003	>10.0	<0.05	1.2	6.0	0.2	1.4	<0.01	0.12	0.5
L943033		0.23	20.7	680	5.0	18.4	0.001	2.77	<0.05	6.7	1.3	0.4	8.6	<0.01	0.07	4.5
L943034		0.18	15.6	370	1.4	1.7	<0.001	0.04	<0.05	5.0	0.2	0.6	12.4	<0.01	0.01	<0.2
L943036		0.12	14.5	590	0.7	2.8	0.002	0.22	0.06	0.7	1.1	<0.2	5.5	<0.01	0.12	0.8
L943037		0.47	46.5	680	3.2	85.8	0.001	0.32	<0.05	5.8	0.7	0.3	15.9	<0.01	0.08	3.0
L943038		0.51	47.5	340	16.7	5.2	0.001	2.63	0.50	3.5	1.1	<0.2	6.7	<0.01	0.12	1.7
L943039		0.88	104.0	180	2.1	3.5	0.003	>10.0	<0.05	3.5	2.5	0.2	3.9	<0.01	0.36	1.7
L943040		0.41	33.9	250	3.2	7.6	0.002	2.60	0.05	6.2	0.8	0.2	11.8	0.01	0.07	3.1
L943041		0.39	31.6	290	3.4	6.6	0.002	2.48	0.05	5.6	0.9	0.3	9.7	0.01	0.09	3.5
L943042		0.52	18.4	180	4.7	6.5	0.002	4.84	0.08	1.3	6.6	0.4	5.4	<0.01	0.17	2.4
L943043		0.49	32.9	1620	5.5	69.9	0.001	0.12	<0.05	3.5	0.4	0.6	11.5	<0.01	0.08	3.3
L943046		0.33	168.0	140	4.2	9.0	0.003	0.48	0.25	9.4	0.7	0.5	17.2	0.01	0.18	2.2
L943047		0.65	160.0	320	16.6	7.9	0.009	1.60	0.31	9.1	3.3	1.4	4.0	0.01	0.18	4.9
L943048		0.70	250	210	6.1	7.5	0.007	>10.0	0.06	7.1	6.8	2.6	1.8	<0.01	0.41	2.2
L943049		0.28	89.6	220	0.5	41.1	0.002	0.30	0.24	7.4	0.8	1.1	1.5	0.01	0.13	0.5
L943050		0.92	95.1	190	10.7	9.3	0.004	6.30	0.06	4.9	3.1	0.7	0.8	0.01	0.10	0.7
L943052		0.30	54.1	210	2.5	6.4	0.002	0.50	0.07	3.1	1.2	0.3	4.6	<0.01	0.27	1.5
L943053		0.13	34.3	10	0.6	4.9	0.006	1.79	<0.05	5.3	6.2	0.4	1.1	<0.01	0.18	<0.2
L943058		0.82	58.7	370	2.5	27.4	0.005	4.31	<0.05	5.5	3.2	2.9	3.3	<0.01	0.07	3.3
L943059		0.28	102.0	90	1.5	18.5	<0.001	0.03	0.06	1.2	0.2	0.3	9.2	0.01	0.02	<0.2
L943060		0.30	100.5	190	12.1	14.0	0.002	1.63	0.10	8.2	1.6	0.9	6.7	<0.01	0.27	0.8
L943061		0.80	52.9	700	209	7.6	0.001	3.19	0.22	8.8	1.7	3.3	1.6	0.04	0.12	2.6
L943062		0.19	1.4	440	3.5	164.5	0.001	0.03	<0.05	9.9	0.5	0.9	1.4	0.01	0.04	1.1



ALS Canada Ltd.
 2103 Dollarton Hwy
 North Vancouver BC V7H 0A7
 Téléphone: 604 984 0221 Télécopieur: 604 984 0218
 www.alsglobal.com

À: RESSOURCES MONARQUES INC.
 450 RUE DE LA GARE DU PALAIS
 B.P. 10
 QUEBEC QC G1K 3X2

Page: 2 - D
 Nombre total de pages: 3 (A - D)
 plus les pages d'annexe
 Finalisée date: 16- JUIL- 2012
 Compte: REMONA

Projet: CAU- GE- 202

CERTIFICAT D'ANALYSE TB12148418

Description échantillon	Méthode	ME- MS41	Cu- OG46							
	élément	Ti	Ti	U	V	W	Y	Zn	Zr	Cu
unités		%	ppm	%						
L.D.		0.005	0.02	0.05	1	0.05	0.05	2	0.5	0.001
L943001		0.121	0.07	0.07	214	0.29	9.21	81	1.1	
L943002		0.012	0.02	1.25	12	7.96	1.37	206	0.7	
L943003		0.014	0.29	5.85	9	8.18	3.76	38	1.0	
L943004		0.200	0.03	0.44	82	0.92	5.01	602	2.1	0.985
L943005		0.037	0.09	0.48	27	0.68	11.60	1180	2.6	
L943006		0.085	0.02	0.26	53	0.16	5.65	81	1.6	
L943008		<0.005	0.05	4.29	1	0.23	2.50	1360	2.3	
L943016		0.078	0.11	0.24	24	1.06	1.28	62	1.5	
L943022		<0.005	0.57	1.05	6	0.06	0.36	127	2.1	4.02
L943024		0.141	0.05	0.24	56	0.17	5.09	18	1.5	
L943025		0.042	<0.02	0.22	10	5.71	1.37	4	0.5	
L943026		0.054	0.34	0.39	26	3.20	3.55	20	1.0	
L943027		0.013	0.03	0.40	9	0.14	1.46	53	1.3	
L943028		0.262	0.22	1.43	68	10.80	10.10	64	2.9	
L943029		<0.005	<0.02	0.14	1	0.09	2.78	<2	0.5	
L943030		0.103	0.03	0.51	25	2.51	4.74	31	2.0	
L943031		0.141	0.10	0.24	125	0.64	5.66	80	1.5	
L943032		0.009	0.03	0.44	5	0.09	1.96	103	1.1	
L943033		0.075	0.20	0.73	49	0.20	6.89	100	14.1	
L943034		0.072	<0.02	<0.05	39	0.92	5.42	23	2.8	
L943036		0.008	0.02	0.21	6	0.06	1.72	9	0.7	
L943037		0.165	0.51	0.64	61	0.45	4.67	68	2.7	
L943038		0.123	0.05	0.67	48	0.75	1.75	35	2.7	
L943039		0.079	0.03	0.91	32	0.75	3.97	47	3.6	
L943040		0.157	0.07	1.24	84	0.34	3.26	107	5.3	
L943041		0.151	0.05	1.39	69	0.32	3.80	112	5.3	
L943042		0.062	0.06	0.51	15	0.31	1.82	88	2.3	
L943043		0.153	0.47	0.70	60	0.49	1.89	53	3.1	
L943046		0.146	0.10	0.47	137	0.65	2.75	227	2.0	
L943047		0.180	0.21	0.97	86	0.81	5.46	1930	3.9	
L943048		0.053	0.07	2.97	53	0.45	3.91	421	2.2	
L943049		0.192	0.45	0.27	85	0.41	3.99	133	<0.5	
L943050		0.048	0.05	3.23	29	0.27	2.24	65	1.1	
L943052		0.078	0.07	0.43	43	0.34	2.72	374	1.2	
L943053		0.053	0.03	0.05	61	<0.05	4.53	8	2.7	
L943058		0.159	0.29	0.48	43	1.01	6.39	303	5.4	
L943059		0.116	0.10	0.09	23	0.16	0.54	36	<0.5	
L943060		0.168	0.22	0.51	89	0.94	3.67	98	0.7	
L943061		0.170	0.10	3.58	94	1.53	5.07	375	1.4	
L943062		0.200	0.91	0.23	342	0.52	11.40	87	1.0	



ALS Canada Ltd.
 2103 Dollarton Hwy
 North Vancouver BC V7H 0A7
 Téléphone: 604 984 0221 Télécopieur: 604 984 0218
 www.alsglobal.com

À: RESSOURCES MONARQUES INC.
 450 RUE DE LA GARE DU PALAIS
 B.P. 10
 QUEBEC QC G1K 3X2

Page: 3 - A
 Nombre total de pages: 3 (A - D)
 plus les pages d'annexe
 Finalisée date: 16-JUIL- 2012
 Compte: REMONA

Projet: CAU- GE- 202

CERTIFICAT D'ANALYSE TB12148418

Description échantillon	Méthode élément unités L.D.	WEI- 21 Poids reçu kg	Au- TL43 Au ppm	ME- MS41 Ag ppm	ME- MS41 Al %	ME- MS41 As ppm	ME- MS41 Au ppm	ME- MS41 B ppm	ME- MS41 Ba ppm	ME- MS41 Be ppm	ME- MS41 Bi ppm	ME- MS41 Ca %	ME- MS41 Cd ppm	ME- MS41 Ce ppm	ME- MS41 Co ppm	ME- MS41 Cr ppm
L943063		0.06	0.221	0.90	2.14	59.7	0.2	10	150	0.39	1.72	1.58	0.10	39.6	47.0	291
L943064		1.27	0.052	2.69	0.83	7.8	<0.2	<10	10	0.10	0.70	0.97	0.12	10.00	63.4	5
L943076		1.02	<0.001	0.08	3.20	1.4	<0.2	<10	320	0.79	0.22	0.41	0.01	28.6	14.0	79
L943077		1.34	0.219	0.88	0.85	>10000	0.2	<10	<10	2.90	2.71	0.33	0.05	5.42	441	4
L943078		0.78	0.024	2.25	1.94	6150	<0.2	<10	20	4.61	11.70	0.45	2.44	18.10	210	145
L943079		1.50	<0.001	0.01	0.03	56.9	<0.2	<10	<10	0.06	0.02	0.01	<0.01	15.30	1.1	17
L943080		0.71	0.001	0.38	2.19	10.2	<0.2	<10	40	0.49	0.34	0.27	0.21	22.3	7.9	16
L943081		1.03	<0.001	0.88	2.22	32.8	<0.2	<10	10	0.60	0.70	0.23	0.44	24.8	22.1	101
L943082		0.67	0.008	0.59	3.10	278	<0.2	<10	30	0.93	1.31	0.33	0.74	9.38	53.3	211



ALS Canada Ltd.
 2103 Dollarton Hwy
 North Vancouver BC V7H 0A7
 Téléphone: 604 984 0221 Télécopieur: 604 984 0218
 www.alsglobal.com

À: RESSOURCES MONARQUES INC.
 450 RUE DE LA GARE DU PALAIS
 B.P. 10
 QUEBEC QC G1K 3X2

Page: 3 - B
 Nombre total de pages: 3 (A - D)
 plus les pages d'annexe
 Finalisée date: 16-JUIL- 2012
 Compte: REMONA

Projet: CAU- GE- 202

CERTIFICAT D'ANALYSE TB12148418

Description échantillon	Méthode élément unités L.D.	ME- MS41	ME- MS41	ME- MS41	ME- MS41	ME- MS41	ME- MS41	ME- MS41	ME- MS41	ME- MS41	ME- MS41	ME- MS41	ME- MS41	ME- MS41	ME- MS41	
		Cs ppm 0.05	Cu ppm 0.2	Fe % 0.01	Ga ppm 0.05	Ge ppm 0.05	Hf ppm 0.02	Hg ppm 0.01	In ppm 0.005	K % 0.01	La ppm 0.2	Li ppm 0.1	Mg % 0.01	Mn ppm 5	Mo ppm 0.05	Na % 0.01
L943063		4.96	2570	3.57	6.35	0.24	0.21	0.03	0.238	0.44	18.2	8.5	0.59	235	10.65	0.37
L943064		0.81	6630	4.67	2.99	0.11	0.10	<0.01	0.009	0.05	6.4	16.7	0.35	156	1.28	0.05
L943076		50.9	22.7	10.75	12.70	0.60	0.04	<0.01	0.009	1.80	13.4	130.5	1.13	98	0.86	0.11
L943077		2.25	217	12.25	3.39	0.38	0.10	<0.01	0.047	0.04	2.5	12.0	0.13	1590	1.74	0.02
L943078		5.46	629	13.50	10.80	0.23	0.27	<0.01	0.023	0.17	8.6	158.5	1.04	757	1.97	0.04
L943079		0.06	2.6	0.41	0.21	<0.05	0.02	<0.01	<0.005	0.01	6.8	0.9	0.01	50	0.22	<0.01
L943080		104.0	44.9	8.28	7.61	0.16	0.07	<0.01	<0.005	0.62	11.0	111.5	1.15	1340	0.65	0.02
L943081		1.94	74.4	8.36	7.04	0.14	0.14	<0.01	0.029	0.12	11.4	93.1	1.94	1160	2.01	0.02
L943082		14.25	195.0	11.10	11.10	0.26	0.07	<0.01	0.030	0.36	4.3	186.5	2.45	1660	1.36	0.06



ALS Canada Ltd.
 2103 Dollarton Hwy
 North Vancouver BC V7H 0A7
 Téléphone: 604 984 0221 Télécopieur: 604 984 0218
 www.alsglobal.com

À: RESSOURCES MONARQUES INC.
 450 RUE DE LA GARE DU PALAIS
 B.P. 10
 QUEBEC QC G1K 3X2

Page: 3 - C
 Nombre total de pages: 3 (A - D)
 plus les pages d'annexe
 Finalisée date: 16-JUIL- 2012
 Compte: REMONA

Projet: CAU- GE- 202

CERTIFICAT D'ANALYSE TB12148418

Description échantillon	Méthode élément unités L.D.	ME- MS41	ME- MS41	ME- MS41	ME- MS41	ME- MS41	ME- MS41	ME- MS41	ME- MS41	ME- MS41	ME- MS41	ME- MS41	ME- MS41	ME- MS41	ME- MS41	ME- MS41
		Nb ppm 0.05	Ni ppm 0.2	P ppm 10	Pb ppm 0.2	Rb ppm 0.1	Re ppm 0.001	S % 0.01	Sb ppm 0.05	Sc ppm 0.1	Se ppm 0.2	Sn ppm 0.2	Sr ppm 0.2	Ta ppm 0.01	Te ppm 0.01	Th ppm 0.2
L943063		0.45	2350	1910	15.4	53.3	0.003	1.28	1.85	3.8	3.3	4.4	125.0	0.01	0.25	10.5
L943064		0.42	37.3	590	3.1	8.1	0.001	2.49	0.15	4.5	6.1	0.2	11.6	<0.01	0.83	0.2
L943076		0.16	46.2	640	5.3	220	<0.001	0.13	<0.05	6.9	0.3	0.6	52.8	<0.01	0.03	3.7
L943077		1.23	225	1100	2.8	7.6	0.011	>10.0	11.75	0.6	2.0	0.2	3.6	0.30	2.55	1.9
L943078		1.31	143.5	1430	32.4	29.1	0.009	6.50	1.60	6.6	6.0	2.1	4.9	0.03	0.81	4.1
L943079		<0.05	2.0	20	0.3	0.4	<0.001	0.06	0.06	0.1	0.2	<0.2	0.3	<0.01	<0.01	1.1
L943080		0.41	11.4	280	4.1	160.5	0.001	2.68	0.05	1.8	0.5	1.0	6.6	<0.01	0.06	1.9
L943081		0.27	53.1	270	19.5	9.8	0.004	4.74	0.10	7.6	2.4	0.8	3.2	0.01	0.29	5.1
L943082		0.29	137.0	270	14.1	49.1	0.003	6.97	0.07	11.6	2.5	1.1	6.1	0.01	0.39	1.6



ALS Canada Ltd.
 2103 Dollarton Hwy
 North Vancouver BC V7H 0A7
 Téléphone: 604 984 0221 Télécopieur: 604 984 0218
 www.alsglobal.com

À: RESSOURCES MONARQUES INC.
 450 RUE DE LA GARE DU PALAIS
 B.P. 10
 QUEBEC QC G1K 3X2

Page: 3 - D
 Nombre total de pages: 3 (A - D)
 plus les pages d'annexe
 Finalisée date: 16-JUIL- 2012
 Compte: REMONA

Projet: CAU- GE- 202

CERTIFICAT D'ANALYSE TB12148418

Description échantillon	Méthode élément unités L.D.	ME- MS41	ME- MS41	ME- MS41	ME- MS41	ME- MS41	ME- MS41	ME- MS41	ME- MS41	Cu- OG46
		Ti %	Ti ppm	U ppm	V ppm	W ppm	Y ppm	Zn ppm	Zr ppm	Cu %
		0.005	0.02	0.05	1	0.05	0.05	2	0.5	0.001
L943063		0.185	0.84	2.19	193	1.22	10.00	57	7.2	
L943064		0.155	0.06	0.39	37	1.20	6.99	39	1.8	
L943076		0.193	1.50	0.78	77	0.75	1.77	50	1.3	
L943077		0.009	0.08	2.77	4	0.30	0.96	12	1.8	
L943078		0.108	0.16	1.15	58	0.67	8.77	330	10.9	
L943079		<0.005	<0.02	0.10	2	0.16	1.97	6	0.5	
L943080		0.101	1.44	0.36	23	1.35	2.31	78	3.0	
L943081		0.132	0.08	1.19	56	2.34	7.27	196	5.0	
L943082		0.212	0.56	0.51	147	2.48	3.72	268	2.7	



ALS Canada Ltd.
2103 Dollarton Hwy
North Vancouver BC V7H 0A7
Téléphone: 604 984 0221 Télécopieur: 604 984 0218
www.alsglobal.com

À: RESSOURCES MONARQUES INC.
450 RUE DE LA GARE DU PALAIS
B.P. 10
QUEBEC QC G1K 3X2

Page: Annexe 1
Total # les pages d'annexe: 1
Finalisée date: 16- JUIL- 2012
Compte: REMONA

Projet: CAU- GE- 202

CERTIFICAT D'ANALYSE TB12148418

Méthode	COMMENTAIRE DE CERTIFICAT
ME- MS41	L'analyses de l'or par cette méthode sont semi- quantitatif à cause du peu d'échantillon pesée (0.5g).



ALS Canada Ltd.
2103 Dollarton Hwy
North Vancouver BC V7H 0A7
Téléphone: 604 984 0221 Télécopieur: 604 984 0218
www.alsglobal.com

À: RESSOURCES MONARQUES INC.
450 RUE DE LA GARE DU PALAIS
B.P. 10
QUEBEC QC G1K 3X2

Page: 1
Finalisée date: 9- OCT- 2012
Compte: REMONA

CERTIFICAT VO12232119

Projet: CAU- GE- 202

Bon de commande #: 5009

Ce rapport s'applique aux 3 échantillons de roche soumis à notre laboratoire de Val d'Or, QC, Canada le 2- OCT- 2012.

Les résultats sont transmis à:

GUY BOURASSA
YVES CARON
ACCÈS WEBTRIEVE

ISABELLE BOURASSA
MAUDE LEVESQUE- MICHAUD

GUY BOURASSA
LOUIS- PHILIPPE RICHARD

PRÉPARATION ÉCHANTILLONS

CODE ALS	DESCRIPTION
FND- 02	Local. échantillon pour analyse suppl.

PROCÉDURES ANALYTIQUES

CODE ALS	DESCRIPTION	INSTRUMENT
PGM- ICP23	Pt, Pd et Au 30 g FA ICP	ICP- AES

À: RESSOURCES MONARQUES INC.
ATTN: MAUDE LEVESQUE- MICHAUD
450 RUE DE LA GARE DU PALAIS
B.P. 10
QUEBEC QC G1K 3X2

Ce rapport est final et remplace tout autre rapport préliminaire portant ce numéro de certificat. Les résultats s'appliquent aux échantillons soumis. Toutes les pages de ce rapport ont été vérifiées et approuvées avant publication.

Signature:

Colin Ramshaw, Vancouver Laboratory Manager



ALS Canada Ltd.
2103 Dollarton Hwy
North Vancouver BC V7H 0A7
Téléphone: 604 984 0221 Télécopieur: 604 984 0218
www.alsglobal.com

À: RESSOURCES MONARQUES INC.
450 RUE DE LA GARE DU PALAIS
B.P. 10
QUEBEC QC G1K 3X2

Page: 2 - A
Nombre total de pages: 2 (A)
Finalisée date: 9- OCT- 2012
Compte: REMONA

Projet: CAU- GE- 202

CERTIFICAT D'ANALYSE VO12232119

Description échantillon	Méthode élément unités L.D.	PGM- ICP23	PGM- ICP23	PGM- ICP23
		Au ppm 0.001	Pt ppm 0.005	Pd ppm 0.001
L943022		1.095	<0.005	1.945
L943046		0.203	<0.005	0.006
L943077		0.215	<0.005	0.010



ALS Canada Ltd.
2103 Dollarton Hwy
North Vancouver BC V7H 0A7
Téléphone: 604 984 0221 Télécopieur: 604 984 0218
www.alsglobal.com

À: RESSOURCES MONARQUES INC.
450 RUE DE LA GARE DU PALAIS
B.P. 10
QUEBEC QC G1K 3X2

Page: 1
Finalisée date: 8- JUIL- 2012
Compte: REMONA

CERTIFICAT VO12147437

Projet: CAU- GE- 202

Bon de commande #: 5009

Ce rapport s'applique aux 29 échantillons de roche soumis à notre laboratoire de Val d'Or, QC, Canada le 27- JUIN- 2012.

Les résultats sont transmis à:

GUY BOURASSA
YVES CARON

ISABELLE BOURASSA
MAUDE LEVESQUE- MICHAUD

GUY BOURASSA
LOUIS- PHILIPPE RICHARD

PRÉPARATION ÉCHANTILLONS

CODE ALS	DESCRIPTION
WEI- 21	Poids échantillon reçu
LOG- 22	Entrée échantillon - Reçu sans code barre
LOG- 24	Entrée pulpe - Reçu sans code barre
CRU- QC	Test concassage QC
CRU- 31	Granulation - 70 % < 2 mm
SPL- 21	Échant. fractionné - div. riffles
PUL- 31	Pulvérisé à 85 % < 75 um

PROCÉDURES ANALYTIQUES

CODE ALS	DESCRIPTION
ME- MS41	Aqua regia 51 éléments ICP- MS
PGM- ICP23	Pt, Pd et Au 30 g FA ICP ICP- AES

À: RESSOURCES MONARQUES INC.
ATTN: MAUDE LEVESQUE- MICHAUD
450 RUE DE LA GARE DU PALAIS
B.P. 10
QUEBEC QC G1K 3X2

Ce rapport est final et remplace tout autre rapport préliminaire portant ce numéro de certificat. Les résultats s'appliquent aux échantillons soumis. Toutes les pages de ce rapport ont été vérifiées et approuvées avant publication.

***** Voir la page d'annexe pour les commentaires en ce qui concerne ce certificat *****

Signature:

Colin Ramshaw, Vancouver Laboratory Manager



ALS Canada Ltd.
 2103 Dollarton Hwy
 North Vancouver BC V7H 0A7
 Téléphone: 604 984 0221 Télécopieur: 604 984 0218
 www.alsglobal.com

À: RESSOURCES MONARQUES INC.
 450 RUE DE LA GARE DU PALAIS
 B.P. 10
 QUEBEC QC G1K 3X2

Page: 2 - A
 Nombre total de pages: 2 (A - D)
 plus les pages d'annexe
 Finalisée date: 8- JUIL- 2012
 Compte: REMONA

Projet: CAU- GE- 202

CERTIFICAT D'ANALYSE VO12147437

Description échantillon	Méthode élément unités L.D.	WEI- 21	PGM- ICP23	PGM- ICP23	PGM- ICP23	ME- MS41										
		Poids reçu kg	Au ppm	Pt ppm	Pd ppm	Ag ppm	Al %	As ppm	Au ppm	B ppm	Ba ppm	Be ppm	Bi ppm	Ca %	Cd ppm	Ce ppm
L943007		0.73	0.009	<0.005	<0.001	1.20	0.97	0.7	<0.2	<10	20	0.06	2.12	1.01	0.11	3.62
L943009		1.01	0.002	<0.005	<0.001	0.04	0.50	0.5	<0.2	<10	<10	0.24	0.95	0.19	0.04	0.39
L943010		1.21	0.001	0.006	0.004	0.06	0.94	4.6	<0.2	<10	10	0.11	0.04	1.80	0.06	2.81
L943011		1.12	0.001	<0.005	0.001	<0.01	0.07	11.7	<0.2	<10	<10	0.06	0.08	0.14	0.02	0.15
L943012		0.75	0.001	0.007	0.001	0.01	0.11	15.0	<0.2	30	<10	0.15	0.59	0.14	0.04	0.76
L943013		0.06	0.200	0.190	0.121	0.82	2.02	55.0	0.2	10	140	0.50	1.78	1.46	0.10	37.4
L943014		0.87	0.001	<0.005	<0.001	0.01	0.02	4.8	<0.2	50	<10	0.11	0.02	0.83	0.04	0.49
L943015		0.73	<0.001	<0.005	<0.001	0.01	2.66	1.0	<0.2	<10	<10	0.08	0.01	0.07	0.03	4.42
L943017		1.11	0.001	0.047	0.044	0.05	0.63	8.4	<0.2	10	<10	0.29	0.20	0.07	0.01	0.70
L943018		1.46	0.003	0.053	0.150	0.28	1.69	2.7	<0.2	<10	<10	<0.05	0.49	0.71	0.10	0.52
L943019		1.55	0.001	0.011	0.011	0.03	0.99	10.6	<0.2	20	<10	0.43	0.26	0.07	0.03	0.94
L943020		1.05	0.014	0.093	0.216	0.43	1.19	1.0	<0.2	<10	10	<0.05	0.19	0.36	0.17	0.26
L943021		1.05	0.023	0.021	0.006	1.04	0.88	33.4	<0.2	<10	10	0.07	0.95	0.69	0.18	45.0
L943023		1.28	0.004	0.030	0.080	0.11	0.39	0.7	<0.2	<10	10	<0.05	0.09	0.32	0.10	5.93
L943035		0.96	0.003	0.006	0.002	0.59	0.93	2.0	<0.2	<10	10	0.05	0.07	0.69	0.09	3.48
L943044		1.10	0.003	0.005	0.003	0.15	2.24	9.4	<0.2	<10	10	0.13	0.30	0.56	0.33	10.90
L943045		0.90	0.005	<0.005	0.001	0.21	0.80	8.9	<0.2	<10	10	<0.05	0.70	0.51	0.18	3.46
L943051		1.25	0.002	<0.005	0.001	0.18	1.75	0.4	<0.2	<10	<10	0.14	0.27	1.35	0.07	11.25
L943065		1.09	0.006	0.416	1.210	0.23	3.49	7.1	<0.2	<10	100	0.56	0.85	0.12	0.11	0.56
L943066		1.19	0.010	0.117	1.670	1.84	1.81	3.1	<0.2	<10	20	0.19	1.37	0.28	0.12	0.53
L943067		1.12	0.001	<0.005	0.006	0.20	0.90	1.7	<0.2	10	<10	0.16	0.22	0.05	0.03	0.64
L943068		1.78	0.001	<0.005	0.006	0.03	0.37	8.9	<0.2	60	<10	0.78	0.32	0.01	0.05	0.81
L943088		1.81	0.001	0.064	0.230	0.84	0.33	12.4	<0.2	60	<10	0.15	1.15	0.05	0.09	1.22
L943089		1.02	0.003	0.005	0.005	0.31	0.78	25.0	<0.2	<10	10	0.11	0.15	0.24	0.14	11.30
L943090		1.20	0.004	<0.005	0.003	0.30	2.51	28.9	<0.2	<10	30	0.23	0.34	0.28	0.33	30.0
L943091		1.36	0.004	0.005	0.003	0.23	2.48	42.1	<0.2	<10	30	0.23	0.33	0.29	0.35	29.6
L943092		0.95	0.015	<0.005	0.002	0.16	1.98	128.0	<0.2	<10	20	0.45	0.54	0.63	0.02	34.8
L943093		1.21	0.010	0.009	0.002	1.20	0.19	48.9	<0.2	<10	<10	0.08	0.51	0.21	0.66	12.70
L943094		0.48	0.003	0.022	<0.001	0.81	0.93	34.6	<0.2	<10	10	0.10	1.51	0.22	1.12	8.01



ALS Canada Ltd.
 2103 Dollarton Hwy
 North Vancouver BC V7H 0A7
 Téléphone: 604 984 0221 Télécopieur: 604 984 0218
 www.alsglobal.com

À: RESSOURCES MONARQUES INC.
 450 RUE DE LA GARE DU PALAIS
 B.P. 10
 QUEBEC QC G1K 3X2

Page: 2 - B
 Nombre total de pages: 2 (A - D)
 plus les pages d'annexe
 Finalisée date: 8-JUIL- 2012
 Compte: REMONA

Projet: CAU- GE- 202

CERTIFICAT D'ANALYSE VO12147437

Description échantillon	Méthode élément unités L.D.	ME- MS41 Co ppm 0.1	ME- MS41 Cr ppm 1	ME- MS41 Cs ppm 0.05	ME- MS41 Cu ppm 0.2	ME- MS41 Fe % 0.01	ME- MS41 Ga ppm 0.05	ME- MS41 Ge ppm 0.05	ME- MS41 Hf ppm 0.02	ME- MS41 Hg ppm 0.01	ME- MS41 In ppm 0.005	ME- MS41 K % 0.01	ME- MS41 La ppm 0.2	ME- MS41 Li ppm 0.1	ME- MS41 Mg % 0.01	ME- MS41 Mn ppm 5
	L943007		76.2	34	0.95	566	22.5	2.15	0.35	0.09	0.01	0.019	0.14	1.9	4.8	0.45
L943009		33.8	91	5.19	114.0	1.76	1.76	0.05	<0.02	<0.01	0.005	0.01	0.2	4.7	1.57	143
L943010		14.7	21	0.54	52.2	0.88	2.34	0.07	0.10	<0.01	0.008	<0.01	1.3	8.5	0.54	196
L943011		10.3	99	0.22	3.1	0.86	0.68	<0.05	<0.02	<0.01	<0.005	<0.01	<0.2	1.0	1.00	59
L943012		44.1	184	0.61	1.8	2.88	0.72	0.12	<0.02	<0.01	0.006	<0.01	0.4	1.6	5.60	237
L943013		42.9	262	4.96	2290	3.43	5.85	0.15	0.21	0.02	0.228	0.42	19.6	8.4	0.56	216
L943014		82.9	276	<0.05	1.3	4.90	0.33	0.19	<0.02	<0.01	0.008	<0.01	0.2	2.1	20.1	439
L943015		79.0	130	0.42	2.1	6.24	4.99	0.14	0.07	<0.01	0.016	<0.01	1.8	1.0	5.61	345
L943017		58.6	1150	1.35	7.6	6.48	1.48	0.22	0.02	<0.01	0.009	<0.01	0.3	1.1	8.22	593
L943018		76.7	89	0.60	1190	3.56	2.44	0.11	0.02	<0.01	0.012	0.01	0.3	66.6	2.03	247
L943019		88.1	905	1.56	46.6	6.00	1.97	0.37	0.02	<0.01	0.010	<0.01	0.4	1.7	9.58	581
L943020		52.3	113	3.16	1260	2.52	1.65	<0.05	<0.02	<0.01	0.008	0.09	0.2	80.4	1.04	123
L943021		55.2	34	0.82	2480	3.71	1.44	0.13	0.02	<0.01	0.024	0.03	33.6	89.8	0.64	113
L943023		36.9	14	2.50	594	1.44	0.74	<0.05	<0.02	<0.01	0.006	0.08	2.7	21.0	0.19	43
L943035		30.9	38	0.61	386	2.91	3.43	0.07	0.09	<0.01	0.017	0.05	1.4	18.8	0.62	252
L943044		30.6	180	1.36	103.0	5.31	6.38	0.10	0.06	<0.01	0.024	0.08	5.3	72.4	1.42	549
L943045		51.4	31	0.53	582	7.97	1.85	0.11	0.06	<0.01	0.008	0.05	1.8	14.3	0.31	293
L943051		27.3	17	0.49	306	3.96	4.38	0.12	0.14	<0.01	0.025	0.03	5.5	41.9	0.88	400
L943065		157.0	583	70.5	1710	6.58	5.26	0.19	<0.02	<0.01	0.015	1.13	0.3	366	4.42	163
L943066		347	186	23.4	8260	8.03	2.55	0.25	0.02	<0.01	0.024	0.20	0.3	176.5	2.19	141
L943067		76.7	484	0.96	63.9	6.32	1.68	0.22	0.03	<0.01	0.010	<0.01	0.3	1.9	7.83	512
L943068		42.6	695	2.86	11.1	4.66	1.05	0.33	0.06	0.01	0.007	0.01	0.3	1.0	15.95	297
L943088		146.5	649	2.25	1080	7.80	1.12	0.25	0.02	<0.01	0.011	<0.01	0.5	0.6	11.10	395
L943089		25.1	96	1.14	98.8	2.81	2.22	0.05	0.09	<0.01	0.005	0.09	6.2	44.6	0.58	180
L943090		23.5	104	5.39	104.0	7.66	6.94	0.14	0.17	<0.01	0.016	0.27	17.3	133.0	2.07	926
L943091		21.6	120	4.97	89.0	7.35	6.78	0.14	0.16	0.01	0.013	0.26	15.7	134.0	1.99	919
L943092		5.9	55	0.95	9.2	6.72	11.45	0.42	0.17	0.01	0.018	0.09	17.9	41.3	0.83	388
L943093		35.3	7	0.35	1440	11.60	0.91	0.25	0.02	<0.01	0.093	0.02	6.8	3.6	0.13	279
L943094		62.2	23	3.15	631	20.5	4.61	0.46	0.07	0.01	0.069	0.10	3.7	37.8	0.46	237



ALS Canada Ltd.
 2103 Dollarton Hwy
 North Vancouver BC V7H 0A7
 Téléphone: 604 984 0221 Télécopieur: 604 984 0218
 www.alsglobal.com

À: RESSOURCES MONARQUES INC.
 450 RUE DE LA GARE DU PALAIS
 B.P. 10
 QUEBEC QC G1K 3X2

Page: 2 - C
 Nombre total de pages: 2 (A - D)
 plus les pages d'annexe
 Finalisée date: 8-JUIL-2012
 Compte: REMONA

Projet: CAU-GE-202

CERTIFICAT D'ANALYSE VO12147437

Description échantillon	Méthode élément unités L.D.	ME- MS41 Mo ppm	ME- MS41 Na %	ME- MS41 Nb ppm	ME- MS41 Ni ppm	ME- MS41 P ppm	ME- MS41 Pb ppm	ME- MS41 Rb ppm	ME- MS41 Re ppm	ME- MS41 S %	ME- MS41 Sb ppm	ME- MS41 Sc ppm	ME- MS41 Se ppm	ME- MS41 Sn ppm	ME- MS41 Sr ppm	ME- MS41 Ta ppm
		0.05	0.01	0.05	0.2	10	0.2	0.1	0.001	0.01	0.05	0.1	0.2	0.2	0.2	0.01
L943007		2.18	0.13	0.28	216	120	2.2	5.5	0.003	>10.0	<0.05	5.6	9.4	0.2	10.2	<0.01
L943009		0.26	0.03	<0.05	659	20	1.0	4.9	<0.001	0.24	<0.05	0.8	0.5	0.5	0.7	<0.01
L943010		0.31	0.03	0.16	37.0	210	0.9	0.7	<0.001	0.06	0.10	3.8	0.4	<0.2	21.6	<0.01
L943011		0.14	0.02	<0.05	54.9	160	0.5	0.2	<0.001	0.03	<0.05	0.5	<0.2	<0.2	0.7	<0.01
L943012		0.10	0.02	<0.05	618	20	0.5	0.4	<0.001	0.03	<0.05	1.3	<0.2	0.3	0.9	<0.01
L943013		9.49	0.37	0.44	2150	1730	15.2	49.7	0.004	1.21	1.75	3.7	3.2	4.1	108.0	0.01
L943014		0.32	0.02	0.06	2170	20	0.6	<0.1	<0.001	0.02	0.06	3.7	<0.2	0.5	0.9	<0.01
L943015		0.05	0.02	0.08	222	280	0.9	0.6	<0.001	0.01	<0.05	16.7	0.2	1.2	0.8	<0.01
L943017		0.08	0.02	0.06	709	40	0.8	0.4	<0.001	0.07	0.10	5.1	0.2	3.7	0.3	<0.01
L943018		0.27	0.11	<0.05	524	90	0.7	0.6	0.004	1.28	0.07	2.9	3.0	<0.2	2.9	<0.01
L943019		0.14	0.02	0.06	1040	50	0.8	0.6	<0.001	0.25	0.09	7.2	0.4	4.6	0.2	<0.01
L943020		0.17	0.06	<0.05	430	30	2.1	14.9	0.001	0.79	<0.05	2.1	2.8	<0.2	4.1	<0.01
L943021		1.49	0.04	0.06	2320	960	1.9	4.0	0.006	2.50	0.05	2.6	6.7	0.3	6.7	<0.01
L943023		0.14	0.03	0.05	234	20	0.8	15.3	0.001	0.60	<0.05	1.8	1.2	<0.2	7.2	<0.01
L943035		0.37	0.12	0.13	67.5	370	3.8	7.2	0.003	0.49	<0.05	8.1	1.3	<0.2	2.8	<0.01
L943044		0.71	0.12	0.25	96.7	230	5.9	5.1	0.002	2.17	0.14	4.5	1.6	0.3	16.0	<0.01
L943045		1.04	0.05	0.31	131.5	220	1.5	4.9	0.004	4.45	0.25	2.0	2.6	2.4	5.2	<0.01
L943051		0.25	0.22	0.17	27.5	650	1.2	2.7	0.001	0.49	0.05	11.8	2.1	0.2	10.2	0.01
L943065		1.38	0.03	0.08	2190	70	25.0	118.5	0.010	1.74	0.17	2.0	5.9	0.3	1.4	<0.01
L943066		1.98	0.05	0.10	5240	70	2.7	34.1	0.014	5.08	0.14	1.8	9.0	0.4	1.0	<0.01
L943067		0.10	0.02	0.06	853	40	1.3	0.6	<0.001	0.24	0.06	6.1	0.6	3.0	0.2	<0.01
L943068		0.23	0.02	0.06	1830	40	0.9	5.7	<0.001	0.06	0.19	7.5	0.2	2.2	0.4	<0.01
L943088		0.25	0.02	0.08	1080	220	2.6	0.6	0.001	1.43	0.16	5.7	1.5	0.8	2.1	<0.01
L943089		0.59	0.03	0.31	80.3	200	6.5	5.8	0.001	1.04	0.16	1.9	1.2	<0.2	5.2	<0.01
L943090		1.22	0.03	0.30	68.4	220	10.2	14.1	0.002	2.86	0.16	5.8	2.0	0.4	3.8	0.01
L943091		1.05	0.03	0.45	63.3	280	9.7	13.5	0.001	2.47	0.14	5.5	1.7	0.4	3.8	0.01
L943092		0.86	0.03	0.46	27.3	680	8.9	4.6	<0.001	1.27	0.71	4.8	1.9	0.5	73.7	0.01
L943093		0.65	0.03	0.16	64.0	270	2.5	0.8	0.002	8.07	0.13	0.7	3.7	1.0	2.6	<0.01
L943094		2.80	0.04	0.55	115.0	170	4.8	6.1	0.007	>10.0	0.13	2.0	9.6	0.4	5.0	<0.01



ALS Canada Ltd.
 2103 Dollarton Hwy
 North Vancouver BC V7H 0A7
 Téléphone: 604 984 0221 Télécopieur: 604 984 0218
 www.alsglobal.com

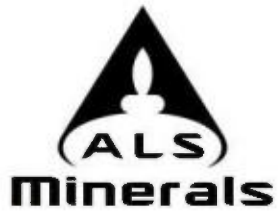
À: RESSOURCES MONARQUES INC.
 450 RUE DE LA GARE DU PALAIS
 B.P. 10
 QUEBEC QC G1K 3X2

Page: 2 - D
 Nombre total de pages: 2 (A - D)
 plus les pages d'annexe
 Finalisée date: 8- JUIL- 2012
 Compte: REMONA

Projet: CAU- GE- 202

CERTIFICAT D'ANALYSE VO12147437

Description échantillon	Méthode élément unités L.D.	ME- MS41									
		Te ppm	Th ppm	Ti %	Tl ppm	U ppm	V ppm	W ppm	Y ppm	Zn ppm	Zr ppm
L943007		0.75	0.3	0.051	0.07	0.08	37	3.75	3.51	38	2.3
L943009		0.06	<0.2	0.015	0.13	0.20	18	0.05	0.45	12	<0.5
L943010		0.02	<0.2	0.125	<0.02	<0.05	30	0.30	4.93	10	2.1
L943011		<0.01	<0.2	<0.005	<0.02	0.10	3	1.00	0.07	8	<0.5
L943012		0.03	<0.2	<0.005	0.02	1.89	6	0.17	0.58	11	<0.5
L943013		0.26	10.5	0.181	0.80	2.16	170	1.23	8.65	52	6.4
L943014		0.02	<0.2	<0.005	<0.02	0.11	3	0.63	0.21	18	<0.5
L943015		0.01	0.5	0.078	<0.02	0.15	180	0.11	4.13	14	2.8
L943017		0.03	<0.2	0.020	0.03	<0.05	67	0.24	1.29	36	0.7
L943018		0.28	<0.2	0.019	0.11	<0.05	18	<0.05	0.62	24	0.7
L943019		0.07	<0.2	0.015	0.09	0.20	46	0.42	1.63	35	0.8
L943020		0.35	<0.2	0.015	0.17	0.13	13	<0.05	0.30	25	<0.5
L943021		1.05	0.9	0.012	0.22	2.17	18	0.21	2.11	22	0.6
L943023		0.16	<0.2	0.022	0.09	<0.05	7	0.05	0.36	20	<0.5
L943035		0.06	0.6	0.125	0.06	0.19	68	0.32	4.71	36	1.6
L943044		0.27	2.3	0.158	0.08	0.74	91	0.40	2.62	195	2.0
L943045		0.48	0.6	0.087	0.04	2.06	23	0.70	3.59	45	1.0
L943051		0.08	0.7	0.140	0.02	0.14	94	0.29	9.03	28	2.2
L943065		0.80	<0.2	0.117	1.67	0.13	67	0.10	0.25	49	<0.5
L943066		1.91	<0.2	0.068	0.79	0.23	32	0.26	0.46	49	0.5
L943067		0.11	<0.2	0.012	0.07	0.08	40	0.27	1.26	29	0.9
L943068		0.03	<0.2	0.015	0.04	0.07	10	1.37	1.64	23	2.6
L943088		0.19	<0.2	0.009	0.15	0.09	31	0.51	3.28	13	0.5
L943089		0.16	2.7	0.110	0.06	0.60	28	2.46	1.09	41	3.3
L943090		0.36	6.7	0.156	0.18	2.47	85	0.55	4.92	145	5.9
L943091		0.32	7.0	0.157	0.18	2.35	86	0.54	4.58	145	5.1
L943092		0.13	6.6	0.124	0.03	0.75	41	0.75	4.84	33	6.7
L943093		0.76	0.5	0.006	0.07	1.49	5	0.55	3.30	318	0.6
L943094		1.18	1.1	0.052	0.15	1.70	23	0.50	2.15	157	2.5



ALS Canada Ltd.
2103 Dollarton Hwy
North Vancouver BC V7H 0A7
Téléphone: 604 984 0221 Télécopieur: 604 984 0218
www.alsglobal.com

À: RESSOURCES MONARQUES INC.
450 RUE DE LA GARE DU PALAIS
B.P. 10
QUEBEC QC G1K 3X2

Page: Annexe 1
Total # les pages d'annexe: 1
Finalisée date: 8- JUIL- 2012
Compte: REMONA

Projet: CAU- GE- 202

CERTIFICAT D'ANALYSE VO12147437

Méthode	COMMENTAIRE DE CERTIFICAT
ME- MS41	L'analyses de l'or par cette méthode sont semi- quantitatif à cause du peu d'échantillon pesée (0.5g).



ALS Canada Ltd.
2103 Dollarton Hwy
North Vancouver BC V7H 0A7
Téléphone: 604 984 0221 Télécopieur: 604 984 0218
www.alsglobal.com

À: RESSOURCES MONARQUES INC.
450 RUE DE LA GARE DU PALAIS
B.P. 10
QUEBEC QC G1K 3X2

Page: 1
Finalisée date: 9- SEPT- 2012
Compte: REMONA

CERTIFICAT VO12198682

Projet: CAU- GE- 202

Bon de commande #: 5009

Ce rapport s'applique aux 65 échantillons de roche soumis à notre laboratoire de Val d'Or, QC, Canada le 24- AOUT- 2012.

Les résultats sont transmis à:

GUY BOURASSA
JONATHAN LALANCETTE
ACCÈS WEBTRIEVE

ISABELLE BOURASSA
MAUDE LEVESQUE- MICHAUD

GUY BOURASSA
LOUIS- PHILIPPE RICHARD

PRÉPARATION ÉCHANTILLONS

CODE ALS	DESCRIPTION
WEI- 21	Poids échantillon reçu
LOG- 22	Entrée échantillon - Reçu sans code barre
LOG- 24	Entrée pulpe - Reçu sans code barre
CRU- QC	Test concassage QC
PUL- QC	Test concassage QC
CRU- 31	Granulation - 70 % < 2 mm
SPL- 21	Échant. fractionné - div. riffles
PUL- 31	Pulvérisé à 85 % < 75 um

PROCÉDURES ANALYTIQUES

CODE ALS	DESCRIPTION	INSTRUMENT
ME- OG46	Teneur marchandes éléments - Aqua regia	ICP- AES
Cu- OG46	Teneur marchande Cu - Aqua regia	VARIABLE
Au- TL43	Teneur trace Au - 25 g AR	ICP- MS
ME- MS41	Aqua regia 51 éléments ICP- MS	

À: RESSOURCES MONARQUES INC.
ATTN: MAUDE LEVESQUE- MICHAUD
450 RUE DE LA GARE DU PALAIS
B.P. 10
QUEBEC QC G1K 3X2

Ce rapport est final et remplace tout autre rapport préliminaire portant ce numéro de certificat. Les résultats s'appliquent aux échantillons soumis. Toutes les pages de ce rapport ont été vérifiées et approuvées avant publication.

***** Voir la page d'annexe pour les commentaires en ce qui concerne ce certificat *****

Signature: 
Colin Ramshaw, Vancouver Laboratory Manager



ALS Canada Ltd.
 2103 Dollarton Hwy
 North Vancouver BC V7H 0A7
 Téléphone: 604 984 0221 Télécopieur: 604 984 0218
 www.alsglobal.com

À: RESSOURCES MONARQUES INC.
 450 RUE DE LA GARE DU PALAIS
 B.P. 10
 QUEBEC QC G1K 3X2

Page: 2 - A
 Nombre total de pages: 3 (A - D)
 plus les pages d'annexe
 Finalisée date: 9- SEPT- 2012
 Compte: REMONA

Projet: CAU- GE- 202

CERTIFICAT D'ANALYSE VO12198682

Description échantillon	Méthode élément	WEI- 21	Au- TL43	ME- MS41												
	unités L.D.	Poids reçu kg	Au ppm	Ag ppm	Al %	As ppm	Au ppm	B ppm	Ba ppm	Be ppm	Bi ppm	Ca %	Cd ppm	Ce ppm	Co ppm	Cr ppm
L943054		1.52	0.011	0.06	1.94	66.8	<0.2	<10	10	0.30	0.10	0.84	0.04	14.35	6.0	11
L943055		0.80	0.004	0.20	2.40	47.9	<0.2	<10	70	0.32	0.29	0.51	0.55	9.36	21.0	106
L943056		0.91	0.018	0.12	2.01	15.1	<0.2	<10	50	0.24	0.18	0.45	0.08	14.10	3.5	13
L943057		0.77	>1.00	0.47	0.35	>10000	1.6	<10	10	5.35	18.15	0.02	0.02	4.52	1160	5
L943069		1.06	0.023	0.23	2.23	210	<0.2	<10	20	0.38	0.25	0.38	0.08	23.0	7.0	15
L943070		1.25	0.010	0.14	2.32	13.7	<0.2	<10	70	0.18	0.09	0.36	0.17	20.8	5.1	24
L943071		0.82	0.008	0.63	5.13	83.0	<0.2	<10	20	0.26	0.62	0.33	0.70	7.17	36.8	55
L943072		0.97	0.004	0.18	2.81	2.7	<0.2	<10	250	0.14	0.53	0.39	0.02	22.0	14.9	103
L943073		1.02	0.003	0.06	3.10	2.7	<0.2	<10	90	0.23	0.13	0.50	0.02	36.3	14.1	114
L943074		1.08	0.007	0.22	0.97	45.1	<0.2	<10	10	0.19	0.25	0.36	0.34	14.90	17.8	55
L943075		0.78	0.004	0.31	2.25	29.4	<0.2	<10	40	0.28	0.28	0.61	0.38	9.70	20.4	65
L943083		0.98	0.092	0.13	1.48	1860	<0.2	<10	10	1.55	0.97	1.27	0.04	82.0	38.8	127
L943084		0.92	0.025	0.12	2.14	16.2	<0.2	<10	50	0.29	0.92	0.21	0.03	17.95	7.6	42
L943085		0.84	0.003	0.15	1.27	11.7	<0.2	<10	50	0.75	0.22	0.33	0.08	10.10	5.1	16
L943086		0.87	0.002	0.27	1.45	11.3	<0.2	<10	20	0.46	0.35	0.59	0.17	10.70	11.6	8
L943087		0.81	0.025	0.93	1.79	2830	<0.2	<10	30	1.04	7.46	0.47	0.67	25.1	106.5	79
L943095		1.49	0.007	0.10	1.27	212	<0.2	<10	10	0.21	0.16	0.42	0.15	16.25	9.3	68
L943096		0.79	0.004	0.44	0.83	21.8	<0.2	<10	10	0.10	0.75	0.29	0.06	12.35	4.1	6
L943097		1.54	0.002	0.06	1.82	73.8	<0.2	<10	30	0.27	0.09	0.59	0.02	16.15	3.7	11
L943098		0.94	0.010	0.13	1.31	19.3	<0.2	<10	10	0.21	0.51	0.42	0.06	17.00	3.2	7
L943099		0.74	0.004	0.21	0.98	112.0	<0.2	<10	10	0.35	0.33	0.34	0.04	9.79	3.1	6
L943100		0.79	0.002	0.06	3.15	8.1	<0.2	<10	20	0.60	0.69	0.29	0.02	26.3	16.9	118
L943401		1.07	0.001	0.15	1.54	4.9	<0.2	<10	10	0.13	0.16	0.27	0.04	11.90	4.8	23
L943402		1.01	0.003	0.09	3.17	6.0	<0.2	<10	120	0.28	0.26	0.31	0.04	48.2	19.8	120
L943403		1.04	0.002	0.47	0.58	206	<0.2	<10	20	<0.05	0.91	0.05	5.95	15.35	25.6	36
L943404		0.54	0.001	0.31	1.35	32.3	<0.2	<10	20	0.21	0.27	0.27	0.61	16.45	21.2	104
L943405		0.94	0.001	4.17	0.55	2.9	<0.2	<10	10	0.10	6.95	0.29	0.67	14.45	33.8	8
L943406		1.73	0.001	2.24	0.19	1.0	<0.2	<10	10	<0.05	2.76	0.04	0.15	2.03	2.7	15
L943407		0.79	0.002	0.54	0.44	1.9	<0.2	<10	10	0.10	0.99	0.38	0.10	17.35	7.1	27
L943408		0.84	0.003	2.51	1.29	34.4	<0.2	<10	10	0.17	8.60	0.16	1.78	20.4	67.2	53
L943409		1.31	0.007	0.20	2.60	2.9	<0.2	<10	20	0.11	0.18	1.78	0.16	12.10	40.3	61
L943410		1.85	0.002	1.36	0.43	40.3	<0.2	<10	10	0.13	8.19	0.15	0.06	2.00	196.5	13
L943411		0.90	0.002	0.19	1.27	14.4	<0.2	<10	20	0.40	0.35	1.08	0.08	36.7	20.6	24
L943412		1.18	0.001	0.37	0.64	2.3	<0.2	<10	20	0.06	1.84	0.25	0.55	22.6	15.0	38
L943413		0.07	0.212	0.80	1.89	54.9	0.2	10	150	0.33	1.57	1.47	0.09	35.1	43.5	282
L943414		1.49	0.001	0.27	1.51	1.5	<0.2	<10	10	0.26	0.38	1.01	0.21	60.7	22.5	41
L943418		0.95	0.167	0.07	1.27	269	<0.2	<10	30	0.12	0.15	0.18	0.95	10.75	30.1	153
L943419		0.72	0.068	0.19	2.18	31.7	<0.2	<10	50	0.13	0.40	0.30	0.13	19.35	43.0	154
L943420		1.09	0.040	0.08	0.78	113.5	<0.2	<10	20	0.12	0.08	0.04	0.04	6.55	11.5	92
L943421		0.61	0.005	0.25	1.03	44.5	<0.2	<10	20	0.21	0.77	0.04	0.36	19.80	18.1	62



ALS Canada Ltd.
 2103 Dollarton Hwy
 North Vancouver BC V7H 0A7
 Téléphone: 604 984 0221 Télécopieur: 604 984 0218
 www.alsglobal.com

À: RESSOURCES MONARQUES INC.
 450 RUE DE LA GARE DU PALAIS
 B.P. 10
 QUEBEC QC G1K 3X2

Page: 2 - B
 Nombre total de pages: 3 (A - D)
 plus les pages d'annexe
 Finalisée date: 9- SEPT- 2012
 Compte: REMONA

Projet: CAU- GE- 202

CERTIFICAT D'ANALYSE VO12198682

Description échantillon	Méthode élément unités L.D.	ME- MS41														
		Cs ppm	Cu ppm	Fe %	Ga ppm	Ge ppm	Hf ppm	Hg ppm	In ppm	K %	La ppm	Li ppm	Mg %	Mn ppm	Mo ppm	Na %
L943054		3.79	48.6	3.19	7.04	0.07	0.03	<0.01	0.006	0.17	7.9	23.7	0.32	840	0.49	0.15
L943055		14.10	157.5	4.76	9.42	0.12	0.07	<0.01	0.034	0.71	5.1	81.4	1.36	635	1.18	0.14
L943056		21.6	38.3	5.55	9.57	0.13	0.06	<0.01	0.007	0.35	8.4	50.2	0.69	1380	0.60	0.06
L943057		1.57	135.0	10.35	1.97	0.45	0.18	<0.01	0.074	0.14	1.9	4.7	0.02	176	1.32	0.01
L943069		10.15	34.6	6.22	9.51	0.17	0.04	0.01	<0.005	0.22	14.1	65.7	1.00	1460	0.56	0.05
L943070		23.2	31.1	5.34	9.77	0.15	0.05	<0.01	0.006	0.72	11.6	124.0	0.99	1080	0.31	0.10
L943071		19.10	335	10.20	18.55	0.32	0.09	<0.01	0.116	0.41	3.5	440	5.91	964	0.72	0.01
L943072		23.9	52.1	15.35	20.2	0.51	0.06	<0.01	0.020	1.58	11.5	126.5	1.41	315	0.85	0.06
L943073		6.24	12.6	7.73	14.50	0.36	0.07	<0.01	0.013	0.41	19.6	118.0	1.28	296	0.17	0.03
L943074		1.86	78.3	5.97	3.03	0.09	0.06	<0.01	0.011	0.14	8.3	24.4	0.51	384	0.98	0.03
L943075		4.77	84.4	5.36	8.70	0.13	0.09	<0.01	0.018	0.27	5.3	49.7	0.98	1120	1.20	0.15
L943083		0.29	28.3	3.73	3.83	0.25	0.17	0.01	0.012	0.05	42.0	22.0	1.26	617	0.33	0.07
L943084		13.95	135.0	6.36	12.65	0.18	0.09	<0.01	0.015	0.46	9.2	81.8	0.66	492	0.46	0.03
L943085		30.9	40.1	4.36	4.53	0.10	0.05	0.01	0.007	0.42	5.7	68.2	0.61	798	0.46	0.01
L943086		24.5	133.5	5.55	5.48	0.16	0.09	<0.01	0.010	0.26	6.7	47.4	0.58	1980	0.48	0.04
L943087		38.9	356	8.86	9.93	0.20	0.37	0.01	0.010	0.28	12.6	131.0	0.94	627	2.54	0.05
L943095		2.86	50.0	3.54	3.31	0.08	0.05	0.01	0.009	0.16	8.6	34.6	0.71	428	0.67	0.01
L943096		3.04	90.6	9.98	3.69	0.18	0.08	0.02	0.008	0.06	7.0	13.1	0.37	1130	1.21	0.01
L943097		19.15	11.0	4.93	6.43	0.15	0.07	<0.01	0.005	0.29	9.2	34.3	0.53	2060	0.38	0.02
L943098		1.98	40.5	4.15	4.16	0.11	0.04	<0.01	0.005	0.08	9.8	13.6	0.29	1730	0.86	0.02
L943099		4.65	43.3	4.83	3.87	0.12	0.05	0.02	0.006	0.08	5.8	10.3	0.26	2050	0.94	0.01
L943100		2.28	5.1	7.23	19.05	0.19	0.15	0.01	0.020	0.13	13.5	149.0	1.69	592	1.14	0.03
L943401		3.14	37.3	4.78	6.17	0.10	0.04	<0.01	0.005	0.14	6.6	46.5	0.79	1230	0.67	0.01
L943402		8.34	37.6	7.05	13.15	0.23	0.09	<0.01	0.021	0.61	26.3	136.5	1.43	359	1.19	0.03
L943403		0.94	118.5	4.94	4.73	0.11	0.13	<0.01	0.161	0.15	8.1	29.5	0.33	448	2.20	0.02
L943404		3.28	103.0	6.29	5.06	0.10	0.12	0.01	0.020	0.17	8.6	87.4	1.09	665	1.37	0.03
L943405		0.71	244	26.9	2.22	0.36	0.08	0.01	0.037	0.06	7.6	3.6	0.04	345	1.60	0.07
L943406		0.22	386	46.8	0.91	0.64	0.02	0.01	0.011	0.02	1.1	3.0	0.07	130	2.37	0.01
L943407		0.65	15.8	2.00	2.57	0.05	0.19	<0.01	0.011	0.19	8.4	6.4	0.18	248	0.93	0.09
L943408		0.69	83.9	16.25	7.14	0.28	0.20	0.01	0.092	0.08	10.4	33.1	0.96	980	2.71	0.07
L943409		0.84	442	4.16	5.25	0.12	0.08	<0.01	0.024	0.10	5.2	14.0	0.56	332	0.52	0.16
L943410		0.13	187.0	34.6	2.53	0.55	0.04	0.03	0.026	0.04	0.8	7.0	0.22	316	1.53	0.02
L943411		0.73	65.2	2.71	3.61	0.07	0.12	0.01	0.011	0.10	19.8	13.3	0.44	464	0.75	0.10
L943412		0.46	56.5	2.74	3.11	0.07	0.16	<0.01	0.025	0.09	11.4	20.5	0.55	307	1.02	0.05
L943413		4.38	2380	3.35	5.77	0.18	0.19	0.03	0.207	0.43	16.4	6.2	0.55	217	9.63	0.33
L943414		0.91	24.0	4.83	4.41	0.14	0.10	<0.01	0.024	0.12	29.4	19.1	0.72	1170	8.46	0.09
L943418		0.84	58.8	4.01	3.77	0.08	0.05	<0.01	0.046	0.15	4.8	28.9	0.60	748	0.64	0.01
L943419		5.12	120.0	6.86	6.79	0.16	0.17	<0.01	0.013	0.53	9.9	82.7	2.42	475	1.46	0.05
L943420		1.80	40.0	3.14	2.39	0.05	0.02	<0.01	0.007	0.16	3.2	15.1	0.14	159	0.61	0.01
L943421		1.95	103.5	3.37	4.15	0.06	0.14	<0.01	0.069	0.36	10.8	62.8	0.92	346	2.05	0.03



ALS Canada Ltd.
 2103 Dollarton Hwy
 North Vancouver BC V7H 0A7
 Téléphone: 604 984 0221 Télécopieur: 604 984 0218
 www.alsglobal.com

À: RESSOURCES MONARQUES INC.
 450 RUE DE LA GARE DU PALAIS
 B.P. 10
 QUEBEC QC G1K 3X2

Page: 2 - C
 Nombre total de pages: 3 (A - D)
 plus les pages d'annexe
 Finalisée date: 9- SEPT- 2012
 Compte: REMONA

Projet: CAU- GE- 202

CERTIFICAT D'ANALYSE VO12198682

Description échantillon	Méthode élément	ME- MS41														
	unités L.D.	Nb ppm	Ni ppm	P ppm	Pb ppm	Rb ppm	Re ppm	S %	Sb ppm	Sc ppm	Se ppm	Sn ppm	Sr ppm	Ta ppm	Te ppm	Th ppm
L943054		0.32	11.0	240	5.2	14.4	<0.001	0.86	0.05	1.1	0.3	2.8	72.8	<0.01	0.06	1.3
L943055		0.32	54.2	220	4.9	39.5	0.003	1.38	<0.05	8.4	1.4	0.5	20.8	<0.01	0.19	2.2
L943056		0.42	10.5	230	2.7	33.2	<0.001	0.67	0.05	1.4	0.4	0.5	16.1	<0.01	0.04	1.3
L943057		0.87	1145	20	6.1	19.2	0.028	4.90	24.3	0.2	1.6	0.3	2.4	0.07	3.82	4.1
L943069		0.17	12.4	270	3.0	29.8	0.001	1.39	0.07	1.6	0.3	0.3	11.0	<0.01	0.05	1.5
L943070		0.18	12.8	220	2.4	44.0	<0.001	0.80	<0.05	2.7	0.3	0.5	11.6	<0.01	0.01	1.6
L943071		0.25	53.4	370	5.1	59.5	0.002	2.44	0.06	30.3	3.4	2.7	1.5	0.01	0.20	3.2
L943072		0.35	50.3	1230	3.3	134.5	<0.001	0.20	<0.05	9.1	0.6	0.9	9.4	0.01	0.06	5.1
L943073		0.34	62.1	1290	3.2	32.9	<0.001	0.05	<0.05	7.8	0.3	0.7	11.7	0.01	0.02	7.9
L943074		0.39	41.9	290	4.7	12.8	0.001	3.02	0.09	1.6	1.7	0.4	10.6	<0.01	0.20	3.1
L943075		0.32	43.8	220	6.6	25.0	0.002	2.66	0.07	4.0	1.2	0.5	34.4	0.01	0.15	2.1
L943083		1.34	275	1120	2.8	1.5	0.001	1.38	1.29	4.1	0.5	2.6	101.0	0.01	0.09	4.5
L943084		1.44	26.5	720	4.0	84.5	<0.001	0.49	<0.05	4.0	0.6	3.2	5.4	0.05	0.18	6.6
L943085		0.23	11.3	150	1.1	94.1	<0.001	1.70	<0.05	1.4	0.3	1.5	10.7	<0.01	0.03	1.0
L943086		0.27	21.0	130	0.8	69.7	0.001	1.93	<0.05	1.2	0.4	2.7	3.9	<0.01	0.06	1.2
L943087		0.74	96.4	1440	6.9	79.9	0.012	4.21	0.83	8.7	3.8	2.6	5.6	0.01	0.36	5.5
L943095		0.30	54.7	270	1.7	18.0	0.001	1.18	<0.05	2.9	0.8	0.3	19.2	<0.01	0.08	3.4
L943096		0.41	13.8	220	2.1	8.0	0.002	4.33	0.07	0.7	1.1	0.8	2.9	<0.01	0.20	0.8
L943097		0.31	9.9	250	1.1	58.2	<0.001	0.42	0.11	1.5	0.2	0.8	5.2	<0.01	0.02	1.3
L943098		0.20	9.2	150	1.1	8.9	0.001	1.47	0.07	1.3	0.6	0.2	8.6	<0.01	0.08	1.2
L943099		0.27	9.5	210	1.2	16.2	0.001	1.37	0.20	1.0	0.7	0.5	3.7	<0.01	0.10	1.0
L943100		0.45	69.4	530	4.2	22.7	0.001	0.04	<0.05	10.4	0.5	2.3	3.4	0.02	0.02	11.0
L943401		0.21	11.4	230	1.4	17.0	<0.001	1.31	<0.05	1.4	0.4	0.2	6.5	<0.01	0.04	1.3
L943402		0.28	71.8	760	5.9	47.5	0.001	0.14	<0.05	7.7	0.5	0.8	6.5	0.01	0.05	8.7
L943403		0.32	27.4	160	8.3	4.7	0.013	0.88	<0.05	4.2	4.7	0.5	3.1	<0.01	0.69	2.5
L943404		0.31	53.7	230	5.2	13.6	0.003	2.56	<0.05	6.5	1.6	0.5	7.3	<0.01	0.20	4.3
L943405		1.08	65.8	240	3.4	7.9	0.009	>10.0	<0.05	1.2	4.9	2.7	12.7	0.01	0.09	1.8
L943406		0.53	118.5	50	1.3	1.9	0.005	9.57	<0.05	1.7	4.6	0.6	0.8	<0.01	0.07	0.4
L943407		0.27	18.6	1560	3.5	8.1	0.001	0.88	<0.05	3.6	0.4	0.5	3.6	<0.01	0.01	2.3
L943408		0.32	40.6	400	157.0	7.2	0.010	>10.0	<0.05	7.0	4.7	3.6	3.3	<0.01	0.04	3.9
L943409		0.19	103.5	220	2.5	5.9	0.001	1.66	<0.05	4.8	2.8	0.2	56.6	<0.01	0.43	1.9
L943410		0.59	60.5	560	18.3	3.5	0.003	>10.0	<0.05	2.3	5.3	4.3	1.8	<0.01	0.09	1.0
L943411		0.91	40.9	1200	12.2	7.3	0.001	1.58	<0.05	1.8	0.5	1.2	39.9	0.01	0.12	3.6
L943412		0.28	19.9	610	6.7	5.0	0.002	2.06	<0.05	4.5	2.3	1.4	3.3	<0.01	0.07	4.3
L943413		0.39	221.0	1790	16.0	46.9	0.003	1.22	1.70	3.3	2.8	3.9	109.5	<0.01	0.22	11.3
L943414		0.80	62.5	880	4.3	7.5	0.002	2.99	<0.05	2.7	1.0	0.6	60.1	0.01	0.59	6.8
L943418		0.34	76.1	320	1.9	6.1	0.001	0.88	0.22	4.3	0.8	0.2	3.6	<0.01	0.22	2.0
L943419		0.24	53.1	390	6.1	26.0	0.001	3.58	0.23	7.7	1.5	1.0	13.9	<0.01	0.07	6.0
L943420		0.30	24.4	110	5.1	7.4	0.001	0.27	0.26	2.1	0.6	0.3	5.8	<0.01	0.08	1.3
L943421		0.17	29.7	120	10.7	16.1	0.003	1.52	0.28	3.1	0.9	1.3	3.4	<0.01	0.05	6.5



ALS Canada Ltd.
 2103 Dollarton Hwy
 North Vancouver BC V7H 0A7
 Téléphone: 604 984 0221 Télécopieur: 604 984 0218
 www.alsglobal.com

À: RESSOURCES MONARQUES INC.
 450 RUE DE LA GARE DU PALAIS
 B.P. 10
 QUEBEC QC G1K 3X2

Page: 2 - D
 Nombre total de pages: 3 (A - D)
 plus les pages d'annexe
 Finalisée date: 9- SEPT- 2012
 Compte: REMONA

Projet: CAU- GE- 202

CERTIFICAT D'ANALYSE VO12198682

Description échantillon	Méthode élément unités L.D.	ME- MS41	Cu- OG46							
		Ti %	Ti ppm	U ppm	V ppm	W ppm	Y ppm	Zn ppm	Zr ppm	Cu %
		0.005	0.02	0.05	1	0.05	0.05	2	0.5	0.001
L943054		0.052	0.13	0.21	10	3.20	1.67	20	1.3	
L943055		0.168	0.36	0.55	71	0.27	3.15	148	3.0	
L943056		0.105	0.34	0.23	21	0.34	1.92	51	2.5	
L943057		<0.005	0.10	7.87	1	0.53	1.13	5	1.8	
L943069		0.086	0.29	0.30	21	0.46	1.70	61	1.6	
L943070		0.120	0.36	0.26	26	0.39	1.77	54	2.0	
L943071		0.387	0.52	0.50	244	0.60	13.55	303	3.4	
L943072		0.214	0.72	1.05	120	0.30	6.71	65	2.0	
L943073		0.181	0.22	1.34	93	0.41	4.59	62	2.9	
L943074		0.083	0.11	0.85	27	1.65	3.57	122	2.1	
L943075		0.127	0.34	0.43	43	0.57	1.76	131	3.3	
L943083		0.077	0.03	0.78	36	4.35	4.94	40	6.1	
L943084		0.121	0.72	3.30	36	0.87	4.08	51	2.8	
L943085		0.065	0.79	0.23	13	6.72	1.40	42	1.9	
L943086		0.062	0.64	0.24	9	0.38	1.88	31	3.2	
L943087		0.143	0.62	1.26	58	0.65	10.20	140	14.2	
L943095		0.060	0.11	0.65	33	9.97	2.99	51	1.8	
L943096		0.035	0.07	0.24	8	14.85	1.65	25	2.7	
L943097		0.074	0.49	0.20	11	0.30	2.15	21	2.4	
L943098		0.028	0.05	0.22	6	0.31	2.08	26	1.8	
L943099		0.024	0.13	0.23	5	19.45	1.91	19	2.0	
L943100		0.236	0.08	2.40	90	0.68	10.25	47	6.0	
L943401		0.077	0.11	0.24	20	0.36	1.51	45	1.6	
L943402		0.195	0.43	1.80	89	0.37	7.78	64	3.7	
L943403		0.120	0.07	0.34	43	0.32	1.48	472	4.8	
L943404		0.141	0.10	1.23	67	0.40	4.84	198	4.6	
L943405		0.062	0.04	0.71	9	0.94	3.92	162	1.9	
L943406		0.009	0.03	0.13	9	1.85	0.70	45	<0.5	
L943407		0.016	0.06	3.98	18	0.30	5.83	15	5.1	
L943408		0.049	0.07	3.76	63	1.67	6.03	755	7.9	
L943409		0.091	0.04	0.32	42	0.20	4.04	78	1.7	
L943410		0.008	0.03	1.58	11	11.60	2.88	25	1.2	
L943411		0.116	0.04	0.70	24	4.55	6.65	37	2.3	
L943412		0.081	0.03	2.39	45	0.57	5.45	125	4.9	
L943413		0.173	0.81	2.12	180	1.32	8.23	53	5.8	
L943414		0.128	0.05	1.04	28	0.57	6.15	58	2.1	
L943418		0.102	0.06	1.67	66	1.11	2.11	277	1.5	
L943419		0.170	0.30	1.12	87	1.25	4.20	85	5.9	
L943420		0.091	0.12	0.54	49	0.31	1.16	26	0.8	
L943421		0.055	0.27	1.30	32	0.58	3.13	87	5.7	



ALS Canada Ltd.
 2103 Dollarton Hwy
 North Vancouver BC V7H 0A7
 Téléphone: 604 984 0221 Télécopieur: 604 984 0218
 www.alsglobal.com

À: RESSOURCES MONARQUES INC.
 450 RUE DE LA GARE DU PALAIS
 B.P. 10
 QUEBEC QC G1K 3X2

Page: 3 - A
 Nombre total de pages: 3 (A - D)
 plus les pages d'annexe
 Finalisée date: 9- SEPT- 2012
 Compte: REMONA

Projet: CAU- GE- 202

CERTIFICAT D'ANALYSE VO12198682

Description échantillon	Méthode élément unités L.D.	WEI- 21	Au- TL43	ME- MS41												
		Poids reçu kg	Au ppm	Ag ppm	Al %	As ppm	Au ppm	B ppm	Ba ppm	Be ppm	Bi ppm	Ca %	Cd ppm	Ce ppm	Co ppm	Cr ppm
L943422		0.74	0.003	0.05	0.43	5.5	<0.2	<10	20	<0.05	0.06	0.16	<0.01	5.94	3.0	15
L943423		0.60	0.001	0.06	2.03	1.8	<0.2	<10	10	1.97	1.45	0.63	0.07	1.95	18.7	118
L943424		0.69	0.003	0.18	2.21	2290	<0.2	<10	10	0.20	1.56	0.25	1.43	13.00	40.8	87
L943425		0.60	0.011	0.30	1.37	77.8	<0.2	<10	20	0.16	1.55	0.21	0.53	28.6	53.6	111
L943426		0.74	0.005	0.23	0.76	40.4	<0.2	<10	10	0.14	0.84	0.07	0.42	20.9	11.3	55
L943429		0.67	<0.001	<0.01	0.03	7.8	<0.2	<10	<10	<0.05	0.02	0.01	0.01	18.20	0.4	7
L943430		1.53	0.004	0.27	1.40	7.2	<0.2	<10	<10	0.46	0.12	0.39	0.02	0.47	22.4	530
L943431		1.76	>1.00	16.65	0.74	1.4	3.1	<10	40	2.93	5.78	0.30	2.63	0.97	7.3	3
L943432		1.54	0.766	13.10	1.30	2.1	1.0	<10	30	1.77	6.59	0.35	2.37	1.44	18.3	9
L943433		0.58	0.036	0.79	1.50	2.8	<0.2	<10	10	0.09	1.07	0.42	0.06	0.63	312	177
L943434		1.50	0.023	0.39	1.81	2.6	<0.2	<10	20	1.40	0.80	0.58	0.16	2.29	168.0	229
L943435		1.26	0.021	0.05	0.54	2.2	<0.2	<10	40	6.82	0.06	0.82	0.02	2.56	3.3	11
L943436		0.63	0.006	0.02	0.09	1.5	<0.2	<10	<10	0.13	0.05	0.11	<0.01	0.61	2.3	10
L943437		1.22	0.004	0.16	0.73	1.3	<0.2	<10	10	0.07	0.25	0.76	0.04	8.85	33.6	10
L943438		0.72	0.004	0.48	1.39	17.2	<0.2	<10	70	0.11	0.28	0.26	1.74	9.97	25.5	27
L943439		0.77	0.003	0.41	2.01	173.5	<0.2	<10	10	0.16	0.36	0.29	1.74	8.79	24.2	188
L943440		1.94	0.032	0.19	0.83	1.6	<0.2	<10	10	0.11	0.36	0.21	0.27	8.71	7.2	9
L943441		1.68	0.020	0.25	0.84	0.6	<0.2	<10	20	0.12	0.46	0.25	0.32	11.65	9.6	9
L943442		1.61	0.003	0.24	2.34	79.3	<0.2	<10	20	0.20	0.37	0.85	0.30	21.0	22.0	78
L943443		1.31	0.003	0.17	2.71	104.0	<0.2	<10	40	2.10	0.23	0.66	0.12	18.40	19.4	91
L943444		1.22	0.026	0.27	1.07	0.5	<0.2	<10	30	0.08	0.29	0.15	0.08	8.79	13.8	9
L943445		0.62	0.006	0.40	1.54	4.1	<0.2	<10	10	0.16	0.29	0.27	0.07	18.95	14.4	23
L943446		1.12	0.006	0.26	1.40	3.1	<0.2	<10	30	0.12	0.10	0.51	0.11	18.10	8.7	17
L943447		1.77	0.005	0.10	2.41	3.1	<0.2	<10	30	0.27	0.09	0.50	0.05	13.35	5.9	15
L943448		1.66	0.023	0.16	1.72	3.8	<0.2	<10	10	0.18	0.08	0.63	0.07	18.85	8.3	13



ALS Canada Ltd.
 2103 Dollarton Hwy
 North Vancouver BC V7H 0A7
 Téléphone: 604 984 0221 Télécopieur: 604 984 0218
 www.alsglobal.com

À: RESSOURCES MONARQUES INC.
 450 RUE DE LA GARE DU PALAIS
 B.P. 10
 QUEBEC QC G1K 3X2

Page: 3 - B
 Nombre total de pages: 3 (A - D)
 plus les pages d'annexe
 Finalisée date: 9- SEPT- 2012
 Compte: REMONA

Projet: CAU- GE- 202

CERTIFICAT D'ANALYSE VO12198682

Description échantillon	Méthode élément unités L.D.	ME- MS41														
		Cs ppm	Cu ppm	Fe %	Ga ppm	Ge ppm	Hf ppm	Hg ppm	In ppm	K %	La ppm	Li ppm	Mg %	Mn ppm	Mo ppm	Na %
L943422		1.56	12.8	15.00	5.16	0.61	0.02	0.03	0.006	0.13	2.9	9.0	0.14	65	2.09	0.02
L943423		34.6	9.6	3.11	9.01	0.11	0.06	<0.01	0.020	1.37	0.7	111.5	1.63	716	0.15	0.05
L943424		1.10	230	5.88	6.54	0.13	0.06	<0.01	0.084	0.14	6.3	92.2	1.98	448	2.75	0.03
L943425		1.17	135.5	8.29	3.91	0.16	0.24	<0.01	0.026	0.10	14.5	72.1	1.41	509	1.36	0.04
L943426		0.99	83.4	4.82	4.45	0.09	0.20	<0.01	0.065	0.13	10.9	47.6	0.67	314	2.13	0.04
L943429		<0.05	2.4	0.30	0.26	<0.05	0.02	<0.01	<0.005	<0.01	8.5	1.2	0.01	30	0.15	<0.01
L943430		1.67	441	1.87	3.24	0.06	<0.02	<0.01	0.024	0.03	0.2	96.0	2.08	192	0.24	0.03
L943431		4.32	>10000	4.43	3.04	0.10	0.18	0.01	1.190	0.28	0.7	35.9	0.41	69	0.49	0.04
L943432		12.00	>10000	4.98	4.52	0.12	0.14	<0.01	1.025	0.25	1.0	56.4	0.92	152	0.48	0.03
L943433		10.65	3570	7.15	2.29	0.27	0.02	<0.01	0.021	0.08	0.4	118.0	1.99	173	2.17	0.04
L943434		34.9	2190	4.85	4.39	0.20	0.04	<0.01	0.022	0.31	0.9	164.5	2.24	232	1.71	0.07
L943435		2.72	73.4	0.34	2.79	<0.05	0.06	<0.01	<0.005	0.16	1.2	21.5	0.12	42	0.11	0.05
L943436		0.25	24.8	0.39	0.42	<0.05	0.03	<0.01	<0.005	0.01	0.3	2.1	0.05	43	1.58	0.02
L943437		1.02	453	3.17	2.95	0.10	0.08	<0.01	0.013	0.05	4.1	27.2	0.52	243	0.88	0.09
L943438		2.26	359	6.89	5.08	0.13	0.10	<0.01	0.068	0.27	5.2	44.4	0.83	1180	0.72	0.09
L943439		3.24	108.0	6.59	8.13	0.13	0.09	<0.01	0.041	0.11	4.3	70.0	2.02	1090	1.07	0.06
L943440		22.6	34.9	9.19	6.90	0.27	0.04	<0.01	0.012	0.24	4.5	14.1	0.27	1800	1.04	0.02
L943441		24.5	43.0	11.45	6.97	0.30	0.04	<0.01	0.014	0.25	6.0	11.4	0.29	1790	1.31	0.01
L943442		13.70	71.6	6.12	7.15	0.13	0.08	<0.01	0.013	0.53	11.1	71.7	1.03	688	1.05	0.21
L943443		8.68	68.4	5.62	8.57	0.13	0.07	<0.01	0.012	0.39	9.1	110.0	1.67	882	1.01	0.15
L943444		6.13	63.7	5.78	5.24	0.21	0.05	<0.01	0.007	0.15	4.2	43.1	0.54	992	1.13	0.02
L943445		1.93	85.3	8.71	5.28	0.16	0.06	<0.01	<0.005	0.15	9.5	58.3	0.93	1420	0.61	0.02
L943446		3.03	77.6	7.76	5.29	0.18	0.07	<0.01	0.006	0.17	9.6	51.4	0.61	1240	0.46	0.07
L943447		3.60	24.0	6.60	7.97	0.10	0.05	0.01	0.008	0.20	6.6	74.3	0.89	1800	0.42	0.07
L943448		1.53	44.8	6.90	6.87	0.10	0.09	0.01	0.015	0.11	9.1	42.6	0.67	1780	0.56	0.06



ALS Canada Ltd.
 2103 Dollarton Hwy
 North Vancouver BC V7H 0A7
 Téléphone: 604 984 0221 Télécopieur: 604 984 0218
 www.alsglobal.com

À: RESSOURCES MONARQUES INC.
 450 RUE DE LA GARE DU PALAIS
 B.P. 10
 QUEBEC QC G1K 3X2

Page: 3 - C
 Nombre total de pages: 3 (A - D)
 plus les pages d'annexe
 Finalisée date: 9- SEPT- 2012
 Compte: REMONA

Projet: CAU- GE- 202

CERTIFICAT D'ANALYSE VO12198682

Description échantillon	Méthode élément	ME- MS41														
	unités L.D.	Nb ppm	Ni ppm	P ppm	Pb ppm	Rb ppm	Re ppm	S %	Sb ppm	Sc ppm	Se ppm	Sn ppm	Sr ppm	Ta ppm	Te ppm	Th ppm
L943422		0.50	6.3	460	7.2	8.2	<0.001	0.04	0.09	0.6	<0.2	5.0	5.9	<0.01	0.03	1.3
L943423		0.80	59.0	700	2.2	258	<0.001	0.02	<0.05	9.9	0.3	12.0	6.1	0.01	0.01	0.3
L943424		0.36	78.6	320	11.9	11.2	0.007	0.85	0.47	6.8	3.5	1.1	2.6	0.01	0.47	4.3
L943425		0.39	61.1	210	8.4	6.2	0.002	5.51	0.29	6.3	1.8	1.9	9.0	<0.01	0.10	7.7
L943426		0.36	21.2	260	9.2	5.6	0.006	1.44	0.33	4.1	1.3	1.9	3.0	<0.01	0.07	6.5
L943429		<0.05	1.5	20	0.2	0.4	<0.001	0.02	<0.05	0.2	<0.2	<0.2	0.4	<0.01	<0.01	1.3
L943430		0.12	183.0	30	0.6	5.6	0.001	0.06	<0.05	1.6	0.4	0.3	0.7	0.03	0.13	<0.2
L943431		0.14	34.7	1030	25.9	39.6	<0.001	3.31	0.19	0.2	16.8	1.4	9.6	0.02	13.40	0.7
L943432		0.10	103.0	1510	22.6	46.5	<0.001	2.74	0.17	0.3	14.9	1.1	7.5	0.01	12.60	0.8
L943433		0.08	3950	70	2.0	18.6	0.010	3.75	0.17	2.2	6.5	0.4	1.3	<0.01	1.37	<0.2
L943434		0.14	1875	70	2.3	83.5	0.013	2.16	0.22	3.8	5.7	1.1	2.2	0.01	0.91	<0.2
L943435		0.16	43.6	620	22.8	20.8	<0.001	0.03	<0.05	0.3	<0.2	<0.2	32.2	0.01	0.06	1.1
L943436		0.07	11.7	20	0.6	1.0	<0.001	0.03	<0.05	0.6	0.2	<0.2	1.9	<0.01	0.03	<0.2
L943437		0.32	38.4	550	1.7	4.8	0.001	0.94	0.06	6.4	2.8	0.2	5.8	<0.01	0.31	0.5
L943438		0.44	73.9	150	4.9	14.0	0.002	4.61	<0.05	2.1	1.0	0.4	12.7	<0.01	0.16	1.1
L943439		0.20	70.4	210	52.4	8.8	0.003	3.28	0.07	10.9	1.3	0.7	4.6	<0.01	0.15	2.3
L943440		0.16	15.1	140	1.6	36.9	0.001	2.16	0.06	0.7	0.5	0.3	2.0	<0.01	0.10	0.8
L943441		0.22	19.6	210	1.6	38.6	0.001	3.16	0.07	0.6	0.6	0.3	1.4	<0.01	0.13	0.8
L943442		0.31	52.6	280	6.5	51.1	0.002	3.32	0.05	4.1	1.3	0.6	23.6	<0.01	0.27	4.4
L943443		0.43	44.7	400	7.2	34.2	0.002	2.28	0.05	5.4	1.3	0.6	22.2	0.01	0.13	4.3
L943444		0.14	26.4	240	2.6	13.4	0.002	3.01	<0.05	0.9	0.8	<0.2	1.8	<0.01	0.16	0.9
L943445		0.32	31.0	240	2.7	9.1	0.001	5.32	<0.05	1.7	0.8	0.2	3.4	<0.01	0.14	1.7
L943446		0.42	23.0	240	2.7	10.8	0.001	3.49	0.06	1.8	0.6	0.2	9.0	<0.01	0.10	1.8
L943447		0.23	13.3	230	1.6	16.1	<0.001	1.56	0.09	1.3	0.3	0.4	14.7	<0.01	0.04	1.6
L943448		0.30	19.2	240	1.4	5.4	0.001	2.27	0.12	1.4	0.5	0.3	5.7	<0.01	0.08	1.5



ALS Canada Ltd.
 2103 Dollarton Hwy
 North Vancouver BC V7H 0A7
 Téléphone: 604 984 0221 Télécopieur: 604 984 0218
 www.alsglobal.com

À: RESSOURCES MONARQUES INC.
 450 RUE DE LA GARE DU PALAIS
 B.P. 10
 QUEBEC QC G1K 3X2

Page: 3 - D
 Nombre total de pages: 3 (A - D)
 plus les pages d'annexe
 Finalisée date: 9- SEPT- 2012
 Compte: REMONA

Projet: CAU- GE- 202

CERTIFICAT D'ANALYSE VO12198682

Description échantillon	Méthode élément unités L.D.	ME- MS41	ME- MS41	ME- MS41	ME- MS41	ME- MS41	ME- MS41	ME- MS41	ME- MS41	Cu- OG46
		Ti %	Ti ppm	U ppm	V ppm	W ppm	Y ppm	Zn ppm	Zr ppm	Cu %
		0.005	0.02	0.05	1	0.05	0.05	2	0.5	0.001
L943422		0.035	0.06	0.17	16	18.60	1.66	15	0.9	
L943423		0.174	1.56	0.32	92	0.62	4.27	57	1.3	
L943424		0.166	0.09	0.80	80	0.38	4.00	317	2.0	
L943425		0.095	0.06	1.70	48	0.60	8.02	220	8.1	
L943426		0.089	0.05	1.09	35	0.93	4.51	140	7.4	
L943429		<0.005	<0.02	0.10	1	0.09	2.46	<2	0.5	
L943430		0.031	0.04	0.10	17	0.10	0.33	29	<0.5	
L943431		<0.005	0.48	0.71	2	0.13	0.27	109	1.2	4.29
L943432		<0.005	0.59	0.52	6	0.19	0.35	112	0.8	3.58
L943433		0.062	0.57	0.10	32	0.12	0.56	26	0.7	
L943434		0.082	1.13	0.09	42	0.11	1.00	41	0.9	
L943435		<0.005	0.09	0.51	1	0.51	0.31	5	0.5	
L943436		0.016	<0.02	0.13	4	0.35	0.56	<2	<0.5	
L943437		0.141	0.03	0.22	62	0.17	5.27	17	1.3	
L943438		0.104	0.21	0.20	33	0.12	1.34	434	3.6	
L943439		0.191	0.09	0.53	145	0.47	4.19	470	2.7	
L943440		0.032	0.30	0.18	16	0.21	1.77	94	1.6	
L943441		0.032	0.31	0.25	16	0.20	1.99	114	1.7	
L943442		0.163	0.82	1.03	96	0.30	5.71	115	2.2	
L943443		0.160	0.41	0.90	72	0.29	4.98	99	2.3	
L943444		0.041	0.15	0.31	20	0.23	2.66	46	1.8	
L943445		0.083	0.08	0.27	34	0.89	1.95	50	2.2	
L943446		0.091	0.17	0.39	24	0.27	1.80	52	2.0	
L943447		0.081	0.19	0.35	18	0.70	1.55	57	1.8	
L943448		0.079	0.07	0.36	15	0.68	2.17	49	2.1	



ALS Canada Ltd.
2103 Dollarton Hwy
North Vancouver BC V7H 0A7
Téléphone: 604 984 0221 Télécopieur: 604 984 0218
www.alsglobal.com

À: RESSOURCES MONARQUES INC.
450 RUE DE LA GARE DU PALAIS
B.P. 10
QUEBEC QC G1K 3X2

Page: Annexe 1
Total # les pages d'annexe: 1
Finalisée date: 9- SEPT- 2012
Compte: REMONA

Projet: CAU- GE- 202

CERTIFICAT D'ANALYSE VO12198682

Méthode	COMMENTAIRE DE CERTIFICAT
ME- MS41	L'analyses de l'or par cette méthode sont semi- quantitatif à cause du peu d'échantillon pesée (0.5g).



ALS Canada Ltd.
2103 Dollarton Hwy
North Vancouver BC V7H 0A7
Téléphone: 604 984 0221 Télécopieur: 604 984 0218
www.alsglobal.com

À: RESSOURCES MONARQUES INC.
450 RUE DE LA GARE DU PALAIS
B.P. 10
QUEBEC QC G1K 3X2

Page: 1
Finalisée date: 27- SEPT- 2012
Compte: REMONA

CERTIFICAT VO12224244

Projet: CAU- GE- 202

Bon de commande #: 5009

Ce rapport s'applique aux 4 échantillons de roche soumis à notre laboratoire de Val d'Or, QC, Canada le 24- SEPT- 2012.

Les résultats sont transmis à:

GUY BOURASSA
JONATHAN LALANCETTE
ACCÈS WEBTRIEVE

ISABELLE BOURASSA
MAUDE LEVESQUE- MICHAUD

GUY BOURASSA
LOUIS- PHILIPPE RICHARD

PRÉPARATION ÉCHANTILLONS

CODE ALS	DESCRIPTION
FND- 02a	Localiser échantillon au laboratoire subsidiair

PROCÉDURES ANALYTIQUES

CODE ALS	DESCRIPTION	INSTRUMENT
PGM- ICP23	Pt, Pd et Au 30 g FA ICP	ICP- AES

À: RESSOURCES MONARQUES INC.
ATTN: MAUDE LEVESQUE- MICHAUD
450 RUE DE LA GARE DU PALAIS
B.P. 10
QUEBEC QC G1K 3X2

Ce rapport est final et remplace tout autre rapport préliminaire portant ce numéro de certificat. Les résultats s'appliquent aux échantillons soumis. Toutes les pages de ce rapport ont été vérifiées et approuvées avant publication.

Signature:

Colin Ramshaw, Vancouver Laboratory Manager



ALS Canada Ltd.
 2103 Dollarton Hwy
 North Vancouver BC V7H 0A7
 Téléphone: 604 984 0221 Télécopieur: 604 984 0218
 www.alsglobal.com

À: RESSOURCES MONARQUES INC.
 450 RUE DE LA GARE DU PALAIS
 B.P. 10
 QUEBEC QC G1K 3X2

Page: 2 - A
 Nombre total de pages: 2 (A)
 Finalisée date: 27- SEPT- 2012
 Compte: REMONA

Projet: CAU- GE- 202

CERTIFICAT D'ANALYSE VO12224244

Description échantillon	Méthode élément unités L.D.	PGM- ICP23	PGM- ICP23	PGM- ICP23
		Au ppm 0.001	Pt ppm 0.005	Pd ppm 0.001
L943057		0.001	0.005	0.001
L943418		0.143	0.005	0.002
L943431		4.34	<0.005	1.740
L943432		0.808	<0.005	1.625



ALS Canada Ltd.
2103 Dollarton Hwy
North Vancouver BC V7H 0A7
Téléphone: 604 984 0221 Télécopieur: 604 984 0218
www.alsglobal.com

À: RESSOURCES MONARQUES INC.
450 RUE DE LA GARE DU PALAIS
B.P. 10
QUEBEC QC G1K 3X2

Page: 1
Finalisée date:
14- AOUT- 2012
Compte: REMONA

CERTIFICAT VO12176507

Projet: AMI- GE- 202

Bon de commande #: 5009

Ce rapport s'applique aux 12 échantillons de roche soumis à notre laboratoire de Val d'Or, QC, Canada le 29- JUIL- 2012.

Les résultats sont transmis à:

GUY BOURASSA
MAUDE LEVESQUE- MICHAUD

ISABELLE BOURASSA
LOUIS- PHILIPPE RICHARD

GUY BOURASSA

PRÉPARATION ÉCHANTILLONS

CODE ALS	DESCRIPTION
WEI- 21	Poids échantillon reçu
CRU- QC	Test concassage QC
LOG- 22	Entrée échantillon - Reçu sans code barre
CRU- 31	Granulation - 70 % < 2 mm
SPL- 21	Échant. fractionné - div. riffles
PUL- 31	Pulvérisé à 85 % < 75 um

PROCÉDURES ANALYTIQUES

CODE ALS	DESCRIPTION	INSTRUMENT
ME- MS81	Fusion 38 éléments ICP- MS	ICP- MS
Li- OG63	Catégorie Li - 4ACID de minerai	ICP- AES
ME- OG62o	Becher ouvert de catégorie de minerai	ICP- AES

À: RESSOURCES MONARQUES INC.
ATTN: MAUDE LEVESQUE- MICHAUD
450 RUE DE LA GARE DU PALAIS
B.P. 10
QUEBEC QC G1K 3X2

Ce rapport est final et remplace tout autre rapport préliminaire portant ce numéro de certificat. Les résultats s'appliquent aux échantillons soumis. Toutes les pages de ce rapport ont été vérifiées et approuvées avant publication.

Signature:

Colin Ramshaw, Vancouver Laboratory Manager



ALS Canada Ltd.
 2103 Dollarton Hwy
 North Vancouver BC V7H 0A7
 Téléphone: 604 984 0221 Télécopieur: 604 984 0218
 www.alsglobal.com

À: RESSOURCES MONARQUES INC.
 450 RUE DE LA GARE DU PALAIS
 B.P. 10
 QUEBEC QC G1K 3X2

Page: 2 - A
 Nombre total de pages: 2 (A - C)
 Finalisée date:
 14- AOUT- 2012
 Compte: REMONA

Projet: AMI- GE- 202

CERTIFICAT D'ANALYSE VO12176507

Description échantillon	Méthode	WEI- 21	ME- MS81													
	élément	Poids reçu	Ba	Ce	Cr	Cs	Dy	Er	Eu	Ga	Gd	Hf	Ho	La	Lu	Nb
	unités	kg	ppm													
	L.D.	0.02	0.5	0.5	10	0.01	0.05	0.03	0.03	0.1	0.05	0.2	0.01	0.5	0.01	0.2
L938551		1.24	389	14.7	30	4.42	6.76	5.46	0.34	14.6	3.85	2.2	1.57	7.2	1.18	5.8
L938552		1.63	320	7.4	40	1.92	2.15	2.18	0.49	14.0	1.12	1.0	0.56	4.6	0.64	1.8
L938553		0.71	123.0	3.1	30	0.55	1.23	0.99	0.18	6.2	0.74	10.5	0.29	1.7	0.27	0.2
L938554		1.17	42.7	3.5	30	4.22	1.04	1.12	0.05	35.7	0.33	1.1	0.27	1.9	0.44	11.2
L938555		1.34	8.6	3.8	20	4.37	1.98	0.94	<0.03	32.3	1.14	0.6	0.31	1.7	0.21	53.3
L938556		0.81	11.0	0.5	30	171.5	<0.05	<0.03	<0.03	43.4	<0.05	1.0	<0.01	0.5	<0.01	61.6
L938557		0.93	31.6	0.6	20	33.3	<0.05	<0.03	<0.03	44.8	0.06	3.8	<0.01	<0.5	<0.01	56.2
L938558		0.73	44.7	0.6	30	58.1	<0.05	<0.03	<0.03	29.4	<0.05	1.7	<0.01	<0.5	<0.01	43.4
L938559		1.91	12.7	1.4	40	50.4	<0.05	<0.03	<0.03	33.0	0.06	0.8	0.01	1.1	<0.01	62.1
L938560		1.00	78.1	10.4	30	27.8	2.42	2.12	0.23	35.5	1.43	5.8	0.56	5.9	0.79	43.4
L938561		1.93	20.2	7.0	20	9.92	0.54	0.49	0.29	34.4	0.51	4.9	0.12	2.4	0.22	20.6
L938562		1.06	781	6.1	30	10.00	0.79	0.46	0.42	13.3	0.61	0.8	0.15	3.4	0.11	3.4



ALS Canada Ltd.
 2103 Dollarton Hwy
 North Vancouver BC V7H 0A7
 Téléphone: 604 984 0221 Télécopieur: 604 984 0218
 www.alsglobal.com

À: RESSOURCES MONARQUES INC.
 450 RUE DE LA GARE DU PALAIS
 B.P. 10
 QUEBEC QC G1K 3X2

Page: 2 - B
 Nombre total de pages: 2 (A - C)
 Finalisée date:
 14- AOÛT- 2012
 Compte: REMONA

Projet: AMI- GE- 202

CERTIFICAT D'ANALYSE VO12176507

Description échantillon	Méthode élément unités L.D.	ME- MS81	ME- MS81	ME- MS81	ME- MS81	ME- MS81	ME- MS81	ME- MS81	ME- MS81	ME- MS81	ME- MS81	ME- MS81	ME- MS81	ME- MS81	ME- MS81	
		Nd ppm 0.1	Pr ppm 0.03	Rb ppm 0.2	Sm ppm 0.03	Sn ppm 1	Sr ppm 0.1	Ta ppm 0.1	Tb ppm 0.01	Th ppm 0.05	Tl ppm 0.5	Tm ppm 0.01	U ppm 0.05	V ppm 5	W ppm 1	Y ppm 0.5
L938551		7.6	1.94	298	2.74	4	67.8	1.4	0.87	30.2	1.2	1.02	13.65	<5	2	54.0
L938552		3.0	0.84	93.1	0.83	2	115.5	0.7	0.26	33.2	<0.5	0.47	7.94	6	2	18.9
L938553		1.3	0.33	46.9	0.52	<1	50.0	0.1	0.17	19.95	<0.5	0.20	19.85	<5	1	9.0
L938554		1.3	0.40	195.5	0.36	3	23.4	2.9	0.10	2.94	0.8	0.29	3.47	8	1	8.3
L938555		1.5	0.45	415	0.83	15	2.5	4.8	0.31	13.55	1.7	0.20	8.31	<5	3	13.1
L938556		0.2	0.05	901	0.03	163	8.3	165.5	<0.01	2.55	5.4	0.01	6.21	<5	1	<0.5
L938557		0.3	0.07	880	0.06	143	10.6	64.6	0.01	1.75	4.1	0.02	8.13	5	1	<0.5
L938558		0.4	0.10	1735	0.05	62	14.4	47.5	0.01	1.91	8.8	0.02	3.96	<5	1	<0.5
L938559		0.5	0.14	940	0.07	101	9.0	80.9	0.01	2.02	5.3	0.02	3.70	<5	1	<0.5
L938560		4.0	1.18	500	1.05	5	65.6	14.4	0.32	13.30	2.3	0.50	17.75	12	1	32.8
L938561		3.2	0.83	543	0.72	<1	60.9	3.8	0.09	17.75	2.6	0.15	26.5	5	1	5.3
L938562		2.5	0.70	220	0.61	2	194.0	3.0	0.13	3.43	0.9	0.10	3.28	11	2	4.9



ALS Canada Ltd.
 2103 Dollarton Hwy
 North Vancouver BC V7H 0A7
 Téléphone: 604 984 0221 Télécopieur: 604 984 0218
 www.alsglobal.com

À: RESSOURCES MONARQUES INC.
 450 RUE DE LA GARE DU PALAIS
 B.P. 10
 QUEBEC QC G1K 3X2

Page: 2 - C
 Nombre total de pages: 2 (A - C)
 Finalisée date:
 14- AOUT- 2012
 Compte: REMONA

Projet: AMI- GE- 202

CERTIFICAT D'ANALYSE VO12176507

Description échantillon	Méthode élément unités L.D.	ME- MS81	ME- MS81	Li- OG63
		Yb ppm	Zr ppm	Li %
		0.03	20	0.005
L938551		7.18	30	<0.005
L938552		3.54	20	<0.005
L938553		1.37	270	<0.005
L938554		2.57	<20	<0.005
L938555		1.46	<20	<0.005
L938556		<0.03	<20	1.045
L938557		<0.03	<20	0.480
L938558		<0.03	<20	0.125
L938559		<0.03	<20	0.555
L938560		4.18	100	<0.005
L938561		1.17	90	<0.005
L938562		0.65	<20	<0.005

ANNEXE 7: PROTOCOLES D'ÉCHANTILLONNAGE (INTERNE)

PROTOCOLE D'ÉCHANTILLONAGE ÉCHANTILLONS CHOISIS

Étapes à suivre lors de la prise d'un échantillon choisi:

1. Casser à l'aide d'une masse et, au besoin, d'un ciseau à froid, un ou des morceaux de roche d'une grosseur totalisant environ 1 dm³.
2. Placer la roche à l'intérieur d'un sac d'échantillon de plastique transparent préalablement identifié sur les deux côtés avec le numéro de l'échantillon approprié.
3. Déchirer une partie de l'identifiant du carnet et le placer dans le sac d'échantillon avec celui-ci.
4. Fermer et attacher solidement le sac d'échantillon à l'aide d'une attaque autobloquante (tie wrap) ou de ruban de repérage (flagging tape).
5. Attacher du ruban proche du site où l'échantillon a été pris afin de mieux repérer l'endroit avec le numéro de l'échantillon écrit sur celui-ci.
6. Inscrire le numéro d'échantillon sur un autre bout de ruban, l'enrouler autour d'une roche, bien l'attacher et déposer la roche à l'endroit exact d'où provient l'échantillon.
7. Prendre un autre morceau de roche similaire à l'échantillon afin de le conserver comme témoin au bureau. Bien l'identifier avec un code pour les témoins et/ou le numéro d'échantillon.
8. Inscrire les renseignements suivants dans le carnet d'échantillonnage :
 - Propriété
 - Date
 - Initiales des membres de l'équipe
 - Estant et Nordant en coordonnées UTM NAD83
 - Description de l'échantillon
 - Méthode d'analyse pour laquelle l'échantillon sera envoyé

Assurance et contrôle de la qualité (QA/QC) Protocole d'insertion d'échantillon

Dans le cadre de ses travaux d'exploration, Ressources Monarques a mis sur pied un protocole d'insertion d'échantillon afin d'assurer un contrôle de qualité parmi les échantillons analysés au laboratoire. Tout dépendant du type d'échantillons et des commodités analysées, le protocole varie et il est donc présenté pour chaque programme d'échantillonnage effectué.

Date	Juin, juillet et août 2012
Propriété	Valiquette-Caumont-Lemare-Nisk-Duval
Type de travaux	Prospection
Type d'échantillons	Choisi
Commodité	Métaux de base + PGM
Méthode d'analyse	PGM-ICP23 + ME-MS41
Laboratoire	Als Chemex Val d'Or

Trois types d'échantillons de QA/QC sont proposés pour ce programme :

- Standard : il s'agit d'une préparation certifiée de roche pulvérisée. Ils servent à qualifier la précision des résultats analytiques. Le standard certifié présentement utilisé est le *Oreas 13b* pour les métaux. Le certificat d'analyses est joint à ce document.
- Duplicata : il s'agit d'échantillon pour lesquels il existe déjà un résultat analytique. Ils servent à quantifier la répétitivité des résultats analytiques. Dans certains cas, il peut s'agir d'un duplicata de l'échantillon d'origine, permettant ainsi de caractériser la préparation et l'analyse. Dans d'autres cas, il s'agit d'un duplicata de la partie pulvérisée qui est pris après la préparation, permettant ainsi seulement de caractériser l'analyse.
- Blanc : il s'agit d'échantillon qui ne retourne pas de valeur significative. Il est couramment appelé blanc de silice. Des blancs certifiés peuvent être utilisés. S'ils ne sont pas certifiés, il faut alors connaître l'origine des blancs utilisés. Il peut parfois s'agir d'une unité lithologique connue dans le secteur qui ne retourne habituellement pas de valeur significative dans les commodités à caractériser.

Dans le cadre de ce programme, les échantillons sont du type :

- Choisi : échantillons ponctuels sur un affleurement ou un bloc erratique généralement prélevé à l'aide d'une masse et d'un ciseau à froid.

L'insertion des échantillons de QA/QC s'effectue comme suit :

- Par les équipes de Ressources Monarques avant l'envoi des échantillons pour la préparation. Ainsi, les duplicatas sont des échantillons pris en double sur le terrain. Les standards, qui sont déjà préparés, sont introduits dans la séquence, ainsi que les blancs. Les blancs utilisés pour ce programme ne sont pas certifiés et proviennent de :
 - Mine SITEC (silice)

Afin de simplifier la gestion parmi les différents niveaux d'intervenants qui participent à la préparation des échantillons, il est suggéré de numéroter les échantillons de contrôle de la qualité selon une séquence préétablie (tableau 1). Cette procédure présente l'avantage de permettre un contrôle séquentiel simplifié de la préparation d'échantillons jusqu'à l'extraction de résultats d'une banque de données. Il est possible que dans certains cas, le matériel ne soit pas suffisant pour obtenir un duplicata. Toute modification dans la séquence doit être approuvée par un géologue et celui-ci s'assure de noter la modification dans la banque de données.

Tableau 1: Numérotation préétablie

Numérotation (par carnet de 50 éch.)	
Type QC	Numéro se terminant par
Standard	13 - 63
Blanc	29 - 79
Duplicata	41 - 91

Tableau 2: Pourcentages

Par carnet (50 échantillons)		
Roche	47	Pourcentage
Standard	1	2.1%
Blanc	1	2.1%
Duplicata	1	2.1%
	Total	6.4%



**CERTIFICATE OF ANALYSIS FOR
PGE-Cu-Ni REFERENCE MATERIAL
OREAS 13b**

SUMMARY STATISTICS

Constituent	Certified Value	1SD
<u>Fusion</u>		
Aluminium, Al (wt.%)	8.41	0.14
Calcium, Ca (wt.%)	5.57	0.09
Chromium, Cr (wt.%)	1.08	0.04
Iron, Fe (wt.%)	8.41	0.11
Potassium, K (wt.%)	2.30	0.02
Magnesium, Mg (wt.%)	3.01	0.04
Manganese, Mn (wt.%)	0.130	0.006
Sodium, Na (wt.%)	1.67	0.05
Silicon, Si (wt.%)	22.9	0.3
Titanium, Ti (wt.%)	0.711	0.009
Phosphorus, P (wt.%)	0.189	0.008
Sulphur, S (wt.%)	1.19	0.03
LOI (wt.%)	0.64	0.19
Barium, Ba (wt.%)	694	6
Strontium, Sr (wt.%)	537	8
Vanadium, V (wt.%)	330	32
Zirconium, Zr (wt.%)	108	8
<u>4-Acid Digest</u>		
Silver, Ag (ppm)	0.86	0.10
Arsenic, As (ppm)	57	7
Chromium, Cr (wt.%)	0.865	0.099
Cobalt, Co (ppm)	75	8
Copper, Cu (ppm)	2327	48
Molybdenum, Mo (ppm)	9.0	0.6
Nickel, Ni (ppm)	2247	155
Sulphur, S (wt.%)	1.20	0.05
Zinc, Zn (ppm)	133	12
<u>Pb Fire Assay</u>		
Platinum, Pt (ppb)	197	13
Palladium, Pd (ppb)	131	9
Gold, Au (ppb)	211	13
<u>Ni-S Fire Assay</u>		
Platinum, Pt (ppb)	204	13
Palladium, Pd (ppb)	134	4
Rhodium, Rh (ppb)	43	2
Ruthenium, Ru (ppb)	78	6
Iridium, Ir (ppb)	17.9	1.3
Osmium, Os (ppb)	12	2
Gold, Au (ppb)	201	7

Prepared by:

ORE Research & Exploration Pty Ltd

July 2009

Assurance et contrôle de la qualité (QA/QC) Protocole d'insertion d'échantillon

Dans le cadre de ses travaux d'exploration, Ressources Monarques a mis sur pied un protocole d'insertion d'échantillon afin d'assurer un contrôle de qualité parmi les échantillons analysés au laboratoire. Tout dépendant du type d'échantillons et des commodités analysées, le protocole varie et il est donc présenté pour chaque programme d'échantillonnage effectué.

Date	Juin, juillet et août 2012
Propriété	Amiral-Rosebay-Dumulon- Bourier-Caumont-Lemare
Type de travaux	Prospection
Type d'échantillons	Choisi
Commodité	Métaux de base (Zn, Cu) et métaux précieux (Au, Ag)
Méthode d'analyse	TL43-PKG
Laboratoire	Als Chemex Val d'Or

Trois types d'échantillons de QA/QC sont proposés pour ce programme :

- Standard : il s'agit d'une préparation certifiée de roche pulvérisée. Ils servent à qualifier la précision des résultats analytiques. Le standard certifié présentement utilisé est le *Oreas 13b* pour les métaux. Le certificat d'analyses est joint à ce document.
- Duplicata : il s'agit d'échantillon pour lesquels il existe déjà un résultat analytique. Ils servent à quantifier la répétitivité des résultats analytiques. Dans certains cas, il peut s'agir d'un duplicata de l'échantillon d'origine, permettant ainsi de caractériser la préparation et l'analyse. Dans d'autres cas, il s'agit d'un duplicata de la partie pulvérisée qui est pris après la préparation, permettant ainsi seulement de caractériser l'analyse.
- Blanc : il s'agit d'échantillon qui ne retourne pas de valeur significative. Il est couramment appelé blanc de silice. Des blancs certifiés peuvent être utilisés. S'ils ne sont pas certifiés, il faut alors connaître l'origine des blancs utilisés. Il peut parfois s'agir d'une unité lithologique connue dans le secteur qui ne retourne habituellement pas de valeur significative dans les commodités à caractériser.

Dans le cadre de ce programme, les échantillons sont du type :

- Choisi : échantillons ponctuels sur un affleurement ou un bloc erratique généralement prélevé à l'aide d'une masse et d'un ciseau à froid.

L'insertion des échantillons de QA/QC s'effectue comme suit :

- Par les équipes de Ressources Monarques avant l'envoi des échantillons pour la préparation. Ainsi, les duplicatas sont des échantillons pris en double sur le terrain. Les standards, qui sont déjà préparés, sont introduits dans la séquence, ainsi que les blancs. Les blancs utilisés pour ce programme ne sont pas certifiés et proviennent de :
 - Mine SITEC (silice)

Afin de simplifier la gestion parmi les différents niveaux d'intervenants qui participent à la préparation des échantillons, il est suggéré de numéroter les échantillons de contrôle de la qualité selon une séquence préétablie (tableau 1). Cette procédure présente l'avantage de permettre un contrôle séquentiel simplifié de la préparation d'échantillons jusqu'à l'extraction de résultats d'une banque de données. Il est possible que dans certains cas, le matériel ne soit pas suffisant pour obtenir un duplicata. Toute modification dans la séquence doit être approuvée par un géologue et celui-ci s'assure de noter la modification dans la banque de données.

Tableau 1: Numérotation préétablie

Numérotation (par carnet de 50 éch.)	
Type QC	Numéro se terminant par
Standard	13 - 63
Blanc	29 - 79
Duplicata	41 - 91

Tableau 2: Pourcentages

Par carnet (50 échantillons)		
Roche	47	Pourcentage
Standard	1	2.1%
Blanc	1	2.1%
Duplicata	1	2.1%
	Total	6.4%



**CERTIFICATE OF ANALYSIS FOR
PGE-Cu-Ni REFERENCE MATERIAL
OREAS 13b**

SUMMARY STATISTICS

Constituent	Certified Value	1SD
<u>Fusion</u>		
Aluminium, Al (wt.%)	8.41	0.14
Calcium, Ca (wt.%)	5.57	0.09
Chromium, Cr (wt.%)	1.08	0.04
Iron, Fe (wt.%)	8.41	0.11
Potassium, K (wt.%)	2.30	0.02
Magnesium, Mg (wt.%)	3.01	0.04
Manganese, Mn (wt.%)	0.130	0.006
Sodium, Na (wt.%)	1.67	0.05
Silicon, Si (wt.%)	22.9	0.3
Titanium, Ti (wt.%)	0.711	0.009
Phosphorus, P (wt.%)	0.189	0.008
Sulphur, S (wt.%)	1.19	0.03
LOI (wt.%)	0.64	0.19
Barium, Ba (wt.%)	694	6
Strontium, Sr (wt.%)	537	8
Vanadium, V (wt.%)	330	32
Zirconium, Zr (wt.%)	108	8
<u>4-Acid Digest</u>		
Silver, Ag (ppm)	0.86	0.10
Arsenic, As (ppm)	57	7
Chromium, Cr (wt.%)	0.865	0.099
Cobalt, Co (ppm)	75	8
Copper, Cu (ppm)	2327	48
Molybdenum, Mo (ppm)	9.0	0.6
Nickel, Ni (ppm)	2247	155
Sulphur, S (wt.%)	1.20	0.05
Zinc, Zn (ppm)	133	12
<u>Pb Fire Assay</u>		
Platinum, Pt (ppb)	197	13
Palladium, Pd (ppb)	131	9
Gold, Au (ppb)	211	13
<u>Ni-S Fire Assay</u>		
Platinum, Pt (ppb)	204	13
Palladium, Pd (ppb)	134	4
Rhodium, Rh (ppb)	43	2
Ruthenium, Ru (ppb)	78	6
Iridium, Ir (ppb)	17.9	1.3
Osmium, Os (ppb)	12	2
Gold, Au (ppb)	201	7

Prepared by:

ORE Research & Exploration Pty Ltd

July 2009

ANNEXE 8: PROTOCOLES DE LABORATOIRE (ALS CHEMEX)



Sample Preparation Package

PREP- 31

Standard Sample Preparation: Dry, Crush, Split and Pulverize

Sample preparation is the most critical step in the entire laboratory operation. The purpose of preparation is to produce a homogeneous analytical sub-sample that is fully representative of the material submitted to the laboratory.

The sample is logged in the tracking system, weighed, dried and finely crushed to better than 70 % passing a 2 mm (Tyler 9 mesh, US Std. No.10) screen. A split of up to 250 g is taken and pulverized to better than 85 % passing a 75 micron (Tyler 200 mesh, US Std. No. 200) screen. This method is appropriate for rock chip or drill samples.

Method Code	Description
LOG-22	Sample is logged in tracking system and a bar code label is attached.
DRY-21	Drying of excessively wet samples in drying ovens. This is the default drying procedure for most rock chip and drill samples.
CRU-31	Fine crushing of rock chip and drill samples to better than 70 % of the sample passing 2 mm.
SPL-21	Split sample using riffle splitter.
PUL-31	A sample split of up to 250 g is pulverized to better than 85 % of the sample passing 75 microns.

Revision 02.03
Feb 22, 2010

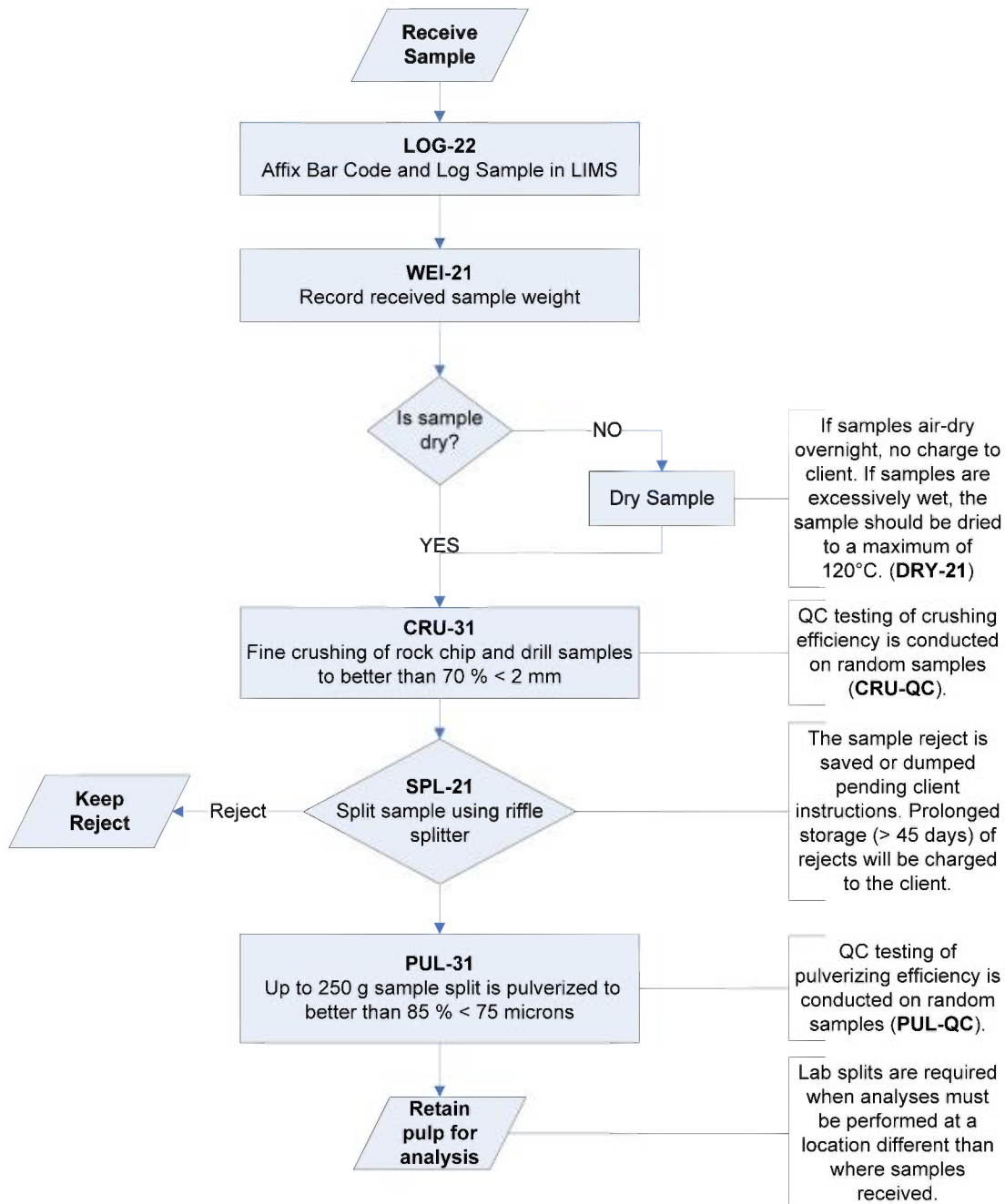
RIGHT SOLUTIONS RIGHT PARTNER

www.alsglobal.com



Sample Preparation Package

Flow Chart - Sample Preparation Package - PREP- 31 Standard Sample Preparation: Dry, Crush, Split and Pulverize



Revision 02.03
Feb 22, 2010

RIGHT SOLUTIONS RIGHT PARTNER

www.alsglobal.com



Geochemical Procedure

ME- MS41

Ultra- Trace Level Methods Using ICP- MS and ICP- AES

Sample Decomposition:

Aqua Regia Digestion (GEO-AR01)

Analytical Method:

Inductively Coupled Plasma-Atomic Emission Spectroscopy (ICP-AES) Inductively Coupled Plasma - Mass Spectrometry (ICP-MS)

A prepared sample (0.50 g) is digested with aqua regia in a graphite heating block. After cooling, the resulting solution is diluted to with deionized water, mixed and analyzed by inductively coupled plasma-atomic emission spectrometry. Following this analysis, the results are reviewed for high concentrations of bismuth, mercury, molybdenum, silver and tungsten and diluted accordingly. Samples are then analysed by ICP-MS for the remaining suite of elements. The analytical results are corrected for inter-element spectral interferences.

Element	Symbol	Units	Lower Limit	Upper Limit
Silver	Ag	ppm	0.01	100
Aluminum	Al	%	0.01	25
Arsenic	As	ppm	0.1	10 000
Gold	Au	ppm	0.2	25
Boron	B	ppm	10	10 000
Barium	Ba	ppm	10	10 000
Beryllium	Be	ppm	0.05	1 000
Bismuth	Bi	ppm	0.01	10 000
Calcium	Ca	%	0.01	25
Cadmium	Cd	ppm	0.01	1 000
Cerium	Ce	ppm	0.02	500
Cobalt	Co	ppm	0.1	10 000
Chromium	Cr	ppm	1	10 000

Revision 04.00
Sep 20, 2006

RIGHT SOLUTIONS RIGHT PARTNER

www.alsglobal.com



Geochemical Procedure

Element	Symbol	Units	Lower Limit	Upper Limit
Cesium	Cs	ppm	0.05	500
Copper	Cu	ppm	0.2	10 000
Iron	Fe	%	0.01	50
Gallium	Ga	ppm	0.05	10 000
Germanium	Ge	ppm	0.05	500
Hafnium	Hf	ppm	0.02	500
Mercury	Hg	ppm	0.01	10 000
Indium	In	ppm	0.005	500
Potassium	K	%	0.01	10
Lanthanum	La	ppm	0.2	10 000
Lithium	Li	ppm	0.1	10 000
Magnesium	Mg	%	0.01	25
Manganese	Mn	ppm	5	50 000
Molybdenum	Mo	ppm	0.05	10 000
Sodium	Na	%	0.01	10
Niobium	Nb	ppm	0.05	500
Nickel	Ni	ppm	0.2	10 000
Phosphorus	P	ppm	10	10 000
Lead	Pb	ppm	0.2	10 000
Rubidium	Rb	ppm	0.1	10 000
Rhenium	Re	ppm	0.001	50
Sulphur	S	%	0.01	10
Antimony	Sb	ppm	0.05	10 000
Scandium	Sc	ppm	0.1	10 000
Selenium	Se	ppm	0.2	1 000
Tin	Sn	ppm	0.2	500
Strontium	Sr	ppm	0.2	10 000

Revision 04.00
Sep 20, 2006

RIGHT SOLUTIONS RIGHT PARTNER

www.alsglobal.com



Geochemical Procedure

Element	Symbol	Units	Lower Limit	Upper Limit
Tantalum	Ta	ppm	0.01	500
Tellurium	Te	ppm	0.01	500
Thorium	Th	ppm	0.2	10000
Titanium	Ti	%	0.005	10
Thallium	Tl	ppm	0.02	10 000
Uranium	U	ppm	0.05	10 000
Vanadium	V	ppm	1	10 000
Tungsten	W	ppm	0.05	10 000
Yttrium	Y	ppm	0.05	500
Zinc	Zn	ppm	2	10 000
Zirconium	Zr	ppm	0.5	500

NOTE: In the majority of geological matrices, data reported from an aqua regia leach should be considered as representing only the leachable portion of the particular analyte.

Revision 04.00
Sep 20, 2006

RIGHT SOLUTIONS RIGHT PARTNER

www.alsglobal.com



Assay Procedure

ME- OG46

Ore Grade Elements by Aqua Regia Digestion Using Conventional ICP- AES Analysis

Sample Decomposition:

HNO₃-HCl Digestion (ASY-4R01)

Analytical Method:

Inductively Coupled Plasma – Atomic Emission Spectroscopy (ICP – AES)*

Assays for the evaluation of ores and high-grade materials are optimized for accuracy and precision at high concentrations. Ultra high concentration samples (> 15 –20%) may require the use of methods such as titrimetric and gravimetric analysis, in order to achieve maximum accuracy.

A prepared sample is digested in 75% aqua regia for 120 minutes. After cooling, the resulting solution is diluted to volume (100 mL) with de-ionized water, mixed and then analyzed by inductively coupled plasma – atomic emission spectrometry or by atomic absorption spectrometry.

*NOTE: ICP-AES is the default finish technique for ME-OG46. However, under some conditions and at the discretion of the laboratory an AA finish may be substituted. The certificate will clearly reflect which instrument finish was used.

Element	Symbol	Units	Lower Limit	Upper Limit
Silver	Ag	ppm	1	1500
Arsenic	As	%	0.01	30
Cadmium	Cd	%	0.001	10
Cobalt	Co	%	0.001	20
Copper	Cu	%	0.001	40
Iron	Fe	%	0.01	100
Manganese	Mn	%	0.01	50
Molybdenum	Mo	%	0.001	10
Nickel	Ni	%	0.001	10
Lead	Pb	%	0.001	20
Zinc	Zn	%	0.001	60

Revision 02.02
Jan 22, 2009

RIGHT SOLUTIONS RIGHT PARTNER

www.alsglobal.com



Geochemical Procedure - PGM-ICP23 and PGM-ICP24
Precious Metals Analysis Methods

Sample Decomposition: Fire Assay Fusion (FA-FUSPG1, FA-FUSPG2)

Analytical Method: Inductively Coupled Plasma – Atomic Emission Spectrometry (ICP-AES)

A prepared sample (30 – 50 g) is fused with a mixture of lead oxide, sodium carbonate, borax and silica, inquarted with 6 mg of gold-free silver and then cupelled to yield a precious metal bead. The bead is digested for 2 minutes at high power by microwave in dilute nitric acid. The solution is cooled and hydrochloric acid is added. The solution is digested for an additional 2 minutes at half power by microwave. The digested solution is then cooled, diluted to 4 mL with 2 % hydrochloric acid, homogenized and then analyzed for gold, platinum and palladium by inductively coupled plasma – atomic emission spectrometry.

Method Code	Element	Symbol	Units	Sample Mass (g)	Lower Limit	Upper Limit	Default Overlimit Method
PGM-ICP23	Gold	Au	ppm	30	0.001	10	Au-GRA21
PGM-ICP23	Platinum	Pt	ppm	30	0.005	10	PGM-ICP27
PGM-ICP23	Palladium	Pd	ppm	30	0.001	10	PGM-ICP27
PGM-ICP24	Gold	Au	ppm	50	0.001	10	Au-GRA21
PGM-ICP24	Platinum	Pt	ppm	50	0.005	10	PGM-ICP27
PGM-ICP24	Palladium	Pd	ppm	50	0.001	10	PGM-ICP27



Geochemical Procedure

Au- TL43, Au- TL44

Determination of Trace Level Gold by Solvent Extraction - Graphite furnace AAS or ICPMS finish

Sample Decomposition:

Aqua regia gold digestion (GEO-AuAR01/02)

Analytical Method:

Inductively coupled mass spectrometry (ICPMS) or Atomic absorption spectrometry (AAS)

A finely pulverised sample (25 – 50 g) is digested in a mixture of 3 parts hydrochloric acid and 1 part nitric acid (aqua regia). This acid mixture generates nascent chlorine and nitrosyl chloride, which will dissolve free gold and gold compounds such as calaverite, AuTe₂.

The dissolved gold is complexed and extracted with Kerosene/DBS and determined by graphite furnace AAS. Alternatively gold is determined by ICPMS directly from the digestion liquor. This method allows for the simple and economical addition of extra elements by running the digestion liquor through the ICPAES or ICPMS.

Note: Samples high in sulphide or carbon content may lead to low gold recoveries unless they are roasted prior to digestion.

Method	Element	Sample Mass	Units	Lower Limit	Upper Limit	Default Overlimit Method
Au-TL43	Gold	25 g	ppm	0.001	1	Au-OG43
Au-TL44	Gold	50 g	ppm	0.001	1	Au-OG44

Revision 01.00
Mar 27, 2006

RIGHT SOLUTIONS RIGHT PARTNER

www.alsglobal.com



Geochemical Procedure

ME- MS81 Ultra- Trace Level Methods

Sample Decomposition:

Lithium Metaborate Fusion (FUS-LI01)

Analytical Method:

Inductively Coupled Plasma – Mass Spectroscopy (ICP – MS)

A prepared sample (0.200 g) is added to lithium metaborate flux (0.90 g), mixed well and fused in a furnace at 1000°C. The resulting melt is then cooled and dissolved in 100 mL of 4% HNO₃ / 2% HCl solution. This solution is then analyzed by inductively coupled plasma – mass spectrometry.

Element	Symbol	Units	Lower Limit	Upper Limit
Silver*	Ag	ppm	1	1000
Barium	Ba	ppm	0.5	10000
Cerium	Ce	ppm	0.5	10000
Cobalt*	Co	ppm	0.5	10000
Chromium	Cr	ppm	10	10000
Cesium	Cs	ppm	0.01	10000
Copper*	Cu	ppm	5	10000
Dysprosium	Dy	ppm	0.05	1000
Erbium	Er	ppm	0.03	1000
Europium	Eu	ppm	0.03	1000
Gallium	Ga	ppm	0.1	1000
Gadolinium	Gd	ppm	0.05	1000
Hafnium	Hf	ppm	0.2	10000
Holmium	Ho	ppm	0.01	1000

Revision 05.00
Feb 26, 2009

RIGHT SOLUTIONS RIGHT PARTNER

www.alsglobal.com



Geochemical Procedure

Element	Symbol	Units	Lower Limit	Upper Limit
Lanthanum	La	ppm	0.5	10000
Lutetium	Lu	ppm	0.01	1000
Molybdenum*	Mo	ppm	2	10000
Niobium	Nb	ppm	0.2	10000
Neodymium	Nd	ppm	0.1	10000
Nickel*	Ni	ppm	5	10000
Lead*	Pb	ppm	5	10000
Praseodymium	Pr	ppm	0.03	1000
Rubidium	Rb	ppm	0.2	10000
Samarium	Sm	ppm	0.03	1000
Tin	Sn	ppm	1	10000
Strontium	Sr	ppm	0.1	10000
Tantalum	Ta	ppm	0.1	10000
Terbium	Tb	ppm	0.01	1000
Thorium	Th	ppm	0.05	1000
Thallium	Tl	ppm	0.5	1000
Thulium	Tm	ppm	0.01	1000
Uranium	U	ppm	0.05	1000
Vanadium	V	ppm	5	10000
Tungsten	W	ppm	1	10000
Yttrium	Y	ppm	0.5	10000
Ytterbium	Yb	ppm	0.03	1000
Zinc*	Zn	ppm	5	10000
Zirconium	Zr	ppm	2	10000

***Note:** Some base metal oxides and sulfides may not be completely decomposed by the lithium borate fusion. Results for Ag, Co, Cu, Mo, Ni, Pb, and Zn will not likely be quantitative by this method.

Revision 05.00
Feb 26, 2009

RIGHT SOLUTIONS RIGHT PARTNER

www.alsglobal.com



Geochemical Procedure

Adding Base Metals – ME- AQ81, ME- 4ACD81

Sample Decomposition: Aqua Regia (GEO-AR01) or 4-acid (GEO-4ACID)
Analytical Method: Inductively Coupled Plasma – Atomic Emission spectroscopy (ICP – AES)

The lithium metaborate fusion is not the preferred method for the determination of base metals. Many sulfides and some metal oxides are only partially decomposed by the borate fusion and some elements such as cadmium and zinc can be volatilized.

Base metals can be reported with ME-MS81 for either an aqua regia digestion (**ME- AQ81**) or a four acid digestion (**ME- 4ACD81**). The four acid digestion is preferred when the targets include more resistive mineralization such as that associated with nickel and cobalt.

Element	Symbol	Units	Lower Limit	Upper Limit
Silver	Ag	ppm	0.5	100
Arsenic	As	ppm	5	10000
Cadmium	Cd	ppm	0.5	10000
Cobalt	Co	ppm	1	10000
Copper	Cu	ppm	1	10000
Mercury**	Hg	ppm	1	10000
Molybdenum	Mo	ppm	1	10000
Nickel	Ni	ppm	1	10000
Lead	Pb	ppm	1	10000
Zinc	Zn	ppm	2	10000

**Hg is only offered with the aqua regia digestion.

Revision 05.00
Feb 26, 2009

RIGHT SOLUTIONS RIGHT PARTNER

www.alsglobal.com



ME- OG62

Ore Grade Elements by Four Acid Digestion Using Conventional ICP- AES Analysis

Sample Decomposition:

$\text{HNO}_3\text{-HClO}_4\text{-HF-HCl}$ Digestion (ASY-4A01)

Analytical Method:

Inductively Coupled Plasma – Atomic Emission Spectroscopy (ICP – AES)*

Assays for the evaluation of ores and high-grade materials are optimized for accuracy and precision at high concentrations. Ultra high concentration samples (> 15 –20%) may require the use of methods such as titrimetric and gravimetric analysis, in order to achieve maximum accuracy.

A prepared sample is digested with nitric, perchloric, hydrofluoric, and hydrochloric acids, and then evaporated to incipient dryness. Hydrochloric acid and de-ionized water is added for further digestion, and the sample is heated for an additional allotted time. The sample is cooled to room temperature and transferred to a volumetric flask (100 mL). The resulting solution is diluted to volume with de-ionized water, homogenized and the solution is analyzed by inductively coupled plasma – atomic emission spectroscopy or by atomic absorption spectrometry.

*NOTE: ICP-AES is the default finish technique for ME-OG62. However, under some conditions and at the discretion of the laboratory an AA finish may be substituted. The certificate will clearly reflect which instrument finish was used.

Element	Symbol	Units	Lower Limit	Upper Limit
Silver	Ag	ppm	1	1500
Arsenic	As	%	0.01	30
Bismuth	Bi	%	0.01	30
Cadmium	Cd	%	0.0001	10
Cobalt	Co	%	0.001	20
Chromium	Cr	%	0.002	30



Assay Procedure

Element	Symbol	Units	Lower Limit	Upper Limit
Copper	Cu	%	0.001	40
Iron	Fe	%	0.01	100
Manganese	Mn	%	0.01	50
Molybdenum	Mo	%	0.001	10
Nickel	Ni	%	0.001	30
Lead	Pb	%	0.001	20
Zinc	Zn	%	0.001	30

Revision 03.04
Jan 22, 2009

RIGHT SOLUTIONS RIGHT PARTNER

www.alsglobal.com